

3•2009

## РАДИО

АУДИО • ВИДЕО • СВЯЗЬ • ЭЛЕКТРОНИКА • КОМПЬЮТЕРЫ


 ЗОЛОТОЙ  
ФОНД  
ПРЕССЫ  
ММХ

«В 1895 году Попов во время своих исследований, целью которых было изучение электрических разрядов в атмосфере, придумал формирование телеграфных сигналов при помощи волн Герца, именно ему мы обязаны первым радиотелеграфным аппаратом».

*Из документов «Предварительной конференции по беспроволочной телеграфии», Берлин, 1903.*

ПОПОВ

Александр Степанович

150  
к 150-летию  
со дня рождения

- Регулятор громкости с буферным каскадом
- Частотомер — приставка к компьютеру
- Ремонт и эксплуатация струйного принтера
- Вторая жизнь паяльной станции "Термит"



...и еще 20 конструкций

 3  
2009

# РАДИОЛЮБИТЕЛЬСКИЕ МУЗЕИ *Москвы*

Борис СТЕПАНОВ (RU3AX), г. Москва

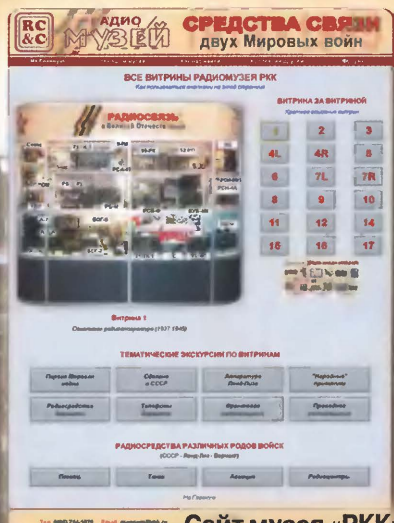


Руководители музеев Валерий Громов,  
Евгений Суховерхов и Павел Владимиров

В последние годы в стране возрождается интерес к ее истории вообще и к истории техники, неразрывно связанной с историей как таковой. Возникли (и не только в Москве) радиоловительские (т. е. непрофессиональные) музеи, в которых энтузиасты собирают образцы радиотехнических приборов и аппаратуры, появившиеся чуть больше чем за 100 лет существования Радио. Они дают нам возможность прикоснуться к радиораритетам, которые служили человечеству все эти годы.

(см. статью на с. 4)

Один из четырех залов музея  
«Радио и радиоловительство»



Сайт музея «РКК» – самый лучший  
по информативности



Экспозиция бытовой радиоаппаратуры  
музея «Всё о радио»



ОБО ВСЕХ МОДЕЛЯХ НА  
[www.aktakom.ru](http://www.aktakom.ru)

**ЦИФРОВЫЕ ОСЦИЛЛОГРАФЫ**  
подробнее на [www.aktakom.ru](http://www.aktakom.ru)

**АКТАКОМ® ACK-2034/ACK-2067**

| Параметры             | ACK-2028   | ACK-2034   |
|-----------------------|------------|------------|
| Каналы                | 2          | 2          |
| Полоса пропускания    | 20 МГц     | 40 МГц     |
| Частота дискретизации | 100 Мвыб/с | 100 Мвыб/с |
| Объем памяти          | 6 К        | 6 К        |
| Логический анализатор | -          | -          |
| Диагональ экрана      | 3,5", цвет | 8", цвет   |

**АКТАКОМ® ACK-6022/ACK-2028**

| Параметры             | ACK-2067   | ACK-6022   |
|-----------------------|------------|------------|
| Каналы                | 2          | 2          |
| Полоса пропускания    | 100 МГц    | 25 МГц     |
| Частота дискретизации | 250 Мвыб/с | 100 Мвыб/с |
| Объем памяти          | 6 К        | 6 К        |
| Логический анализатор | -          | 16 каналов |
| Диагональ экрана      | 8", цвет   | 8", цвет   |

**АКТАКОМ® ACK-2032/ACK-2043**

| Параметры             | ACK-2032   | ACK-2043   |
|-----------------------|------------|------------|
| Полоса пропускания    | 25 МГц     | 40 МГц     |
| Частота дискретизации | -          | -          |
| Реальное время        | 200 Мвыб/с | 400 Мвыб/с |
| Эквивалентный режим   | 20 Гвыб/с  | 40 Гвыб/с  |
| Объем памяти          | 4 К        | 4 К        |
| Диагональ экрана      | 5,7", моно | 5,7", цвет |

**АНТИКРИЗИСНАЯ ПРОГРАММА.  
СПРАШИВАЙТЕ О ЦЕНАХ!**

**ЦИФРОВЫЕ ОСЦИЛЛОГРАФЫ**  
подробнее на [www.aktakom.ru](http://www.aktakom.ru)

**АКТАКОМ® ACK-2105/ACK-2205**

| Параметры             | ACK-2105   | ACK-2205   |
|-----------------------|------------|------------|
| Полоса пропускания    | 100 МГц    | 200 МГц    |
| Частота дискретизации | -          | -          |
| Реальное время        | 1 Гвыб/с   | 1 Гвыб/с   |
| Эквивалентный режим   | 50 Гвыб/с  | 50 Гвыб/с  |
| Объем памяти          | 4 К        | 4 К        |
| Диагональ экрана      | 5,7", моно | 5,7", цвет |

**ИСТОЧНИКИ ПИТАНИЯ**  
подробнее на [www.aktakom.ru](http://www.aktakom.ru)

**АКТАКОМ® ATH-1333/ATH-1335/ATH-3333/ATH-3335**

| Параметры                            | ATH-1333                     | ATH-1335                     | ATH-3333                     | ATH-3335                     |
|--------------------------------------|------------------------------|------------------------------|------------------------------|------------------------------|
| Количество каналов                   | 1                            | 1                            | 3                            | 3                            |
| Выходное напряжение                  | 0...30 В                     | 0...30 В                     | 2 x 0...30 В                 | 2 x 0...30 В                 |
| Выходной ток                         | 0...3 А                      | 0...5 А                      | 2 x 0...3 А                  | 2 x 0...5 А                  |
| Фиксированный канал                  | -                            | -                            | 5 В/3 А                      | 5 В/3 А                      |
| Погрешность установки                | 1% U <sub>уст</sub> +2 епр   | 1% U <sub>уст</sub> +2 епр   | 1% U <sub>уст</sub> +2 епр   | 1% U <sub>уст</sub> +2 епр   |
| Погрешность установки выходного тока | 1,5% I <sub>уст</sub> +2 епр | 1,5% I <sub>уст</sub> +2 епр | 1,5% I <sub>уст</sub> +2 епр | 1,5% I <sub>уст</sub> +2 епр |
| Пульсация+шум по напряжению          | не более 1 мВ                |                              |                              |                              |

**ВИДЕОТЕХНИКА 10**

**ЗВУКОТЕХНИКА 12**

**РАДИОПРИЕМ 18**

**ИЗМЕРЕНИЯ 19**

**МИКРОПРОЦЕССОРНАЯ ТЕХНИКА 22**

**КОМПЬЮТЕРЫ 24**

**ИСТОЧНИКИ ПИТАНИЯ 26**

**РАДИОЛЮБИТЕЛЮ-КОНСТРУКТОРУ 30**

**ПРИКЛАДНАЯ ЭЛЕКТРОНИКА 31**

**РАДИОЛЮБИТЕЛЬСКАЯ ТЕХНОЛОГИЯ 36**

**ЭЛЕКТРОНИКА ЗА РУЛЕМ 40**

**СПРАВОЧНЫЙ ЛИСТОК 42**

**"РАДИО" — НАЧИНАЮЩИМ 45**

**"РАДИО" — О СВЯЗИ 53**

|  |             |
|--|-------------|
| Б. Степанов. РАДИОЛЮБИТЕЛЬСКИЕ МУЗЕИ МОСКВЫ .....  | 2-я с. обл. |
| ЛИСТАЯ СТАРЫЕ ЖУРНАЛЫ... (1946—1949 гг.) .....   | 5           |
| В. Меркулов. ИСТОРИЯ ОТКРЫТИЯ РАДИО .....  | 6           |
| А. Пахомов. АНТЕННАЯ СИСТЕМА НА ОСНОВЕ АНТЕННЫ ASP .....   | 10          |
| Я. Токарев. РЕГУЛЯТОР ГРОМКОСТИ С БУФЕРНЫМ КАСКАДОМ .....  | 12          |
| К. Филатов. УМЗЧ С ПОЛЕВЫМИ ТРАНЗИСТОРАМИ IRFZ44 .....   | 15          |
| П. Михайлов. НОВОСТИ ВЕЩАНИЯ .....   | 18          |
| В. Павлик. ЧАСТОТОМЕР — ПРИСТАВКА К КОМПЬЮТЕРУ .....   | 19          |
| А. Долгий. О НАСТРОЙКЕ ТАКТОВОГО RC-ГЕНЕРАТОРА, ВСТРОЕННОГО<br>В МК PIC12F629 И PIC12F675 .....                                      | 22          |
| А. Зысюк. О РЕМОНТЕ И ЭКСПЛУАТАЦИИ СТРУЙНОГО ПРИНТЕРА .....  | 24          |
| Е. Москатов. УСОВЕРШЕНСТВОВАННЫЙ ИИП В СПИЧЕЧНОЙ КОРОБКЕ .....   | 26          |
| М. Озолин. ИЗМЕРИТЕЛЬ ЕМКОСТИ АККУМУЛЯТОРОВ<br>НА МИКРОКОНТРОЛЛЕРЕ .....   | 28          |
| О. Петраков. РАСЧЕТ УЗКОПОЛОСНОГО РЕЖЕКТОРНОГО ФИЛЬТРА<br>НА ТРАНЗИСТОРАХ .....  | 30          |
| В. Калашник, Н. Черемисинова. ПРЕОБРАЗОВАТЕЛЬ ОДНОФАЗНОГО<br>НАПРЯЖЕНИЯ В ТРЕХФАЗНОЕ .....   | 31          |
| А. Бутов. УПРАВЛЕНИЕ ОСВЕЩЕНИЕМ В ПРИХОЖЕЙ .....   | 34          |
| Т. Медведев. ВТОРАЯ ЖИЗНЬ ПАЯЛЬНОЙ СТАНЦИИ "ТЕРМИТ" .....  | 36          |
| С. Муралев. ЗАРЯДНОЕ УСТРОЙСТВО НА БАЗЕ РЕГУЛЯТОРА МОЩНОСТИ<br>PR1500i .....   | 40          |
| Д. Билинкис. ПРОСТОЙ АВТОСТОРОЖ .....  | 41          |
| Л. Королев. НИЗКОЧАСТОТНЫЙ ЭХО-ПРОЦЕССОР HT8970 .....  | 42          |
| ИМПУЛЬСНЫЕ ПРЕОБРАЗОВАТЕЛИ — СТАБИЛИЗАТОРЫ ПОСТОЯННОГО<br>НАПРЯЖЕНИЯ СЕРИИ R-78 .....  | 43          |
| Д. Мамичев. ИГРУШКА-СУВЕНИР "ТЕННИС" .....   | 45          |
| В. Ропотов. ДВЕ ЭЛЕКТРОННЫЕ СИРЕНА .....   | 47          |
| А. Бутов. "ТРЕНАЖЕР" ДЛЯ КОТЕНКА .....   | 49          |
| В. Коновалов. ИГРА "ВЗЯТИЕ ЗАМКА" .....  | 50          |
| С. Белый. ТАЙМЕР НА ОСНОВЕ МИКРОСХЕМЫ МУЗЫКАЛЬНОГО<br>СИНТЕЗАТОРА .....  | 51          |
| МЕЖДУНАРОДНЫЕ УКВ СОРЕВНОВАНИЯ — ИТОГИ .....   | 53          |
| И. Шор. АНТЕННЫЕ РЕШЕТКИ УКВ ДИАПАЗОНА С ВЕРТИКАЛЬНОЙ<br>ПОЛЯРИЗАЦИЕЙ .....  | 57          |
| О. Платонов. МОДУЛЬ ВЫХОДНОГО КАСКАДА УСИЛИТЕЛЯ МОЩНОСТИ .....   | 58          |
| Е. Давиденко. ЗАРЯДНОЕ УСТРОЙСТВО-СТАБИЛИЗАТОР ТОКА НА ИМС<br>За рубежом. КВАРЦЕВЫЙ ФИЛЬТР С ИЗМЕНЯЕМОЙ ПОЛОСОЙ<br>ПРОПУСКАНИЯ ..... | 60          |
| А. Голышко. ШАГИ В БУДУЩЕЕ: ПЛАНЫ НА ЗАВТРА .....  | 61          |

НАША КОНСУЛЬТАЦИЯ (с. 44).

ДОСКА ОБЪЯВЛЕНИЙ (с. 1, 3, 14, 22, 27, 29, 31, 35, 39, 41, 64).

На нашей обложке. А. С. Попов — первооткрыватель радио.

**ЧИТАЙТЕ  
В СЛЕДУЮЩЕМ  
НОМЕРЕ:**

**УМЗЧ С ВЫСОКИМ КПД  
МИНИАТЮРНЫЙ ВОЛЬТМЕТР  
СИГНАЛИЗАТОР ВОЗГОРАНИЯ  
МИКРОСХЕМНЫЕ СТАБИЛИЗАТОРЫ**

# E·X·P·O ELECTRONICA

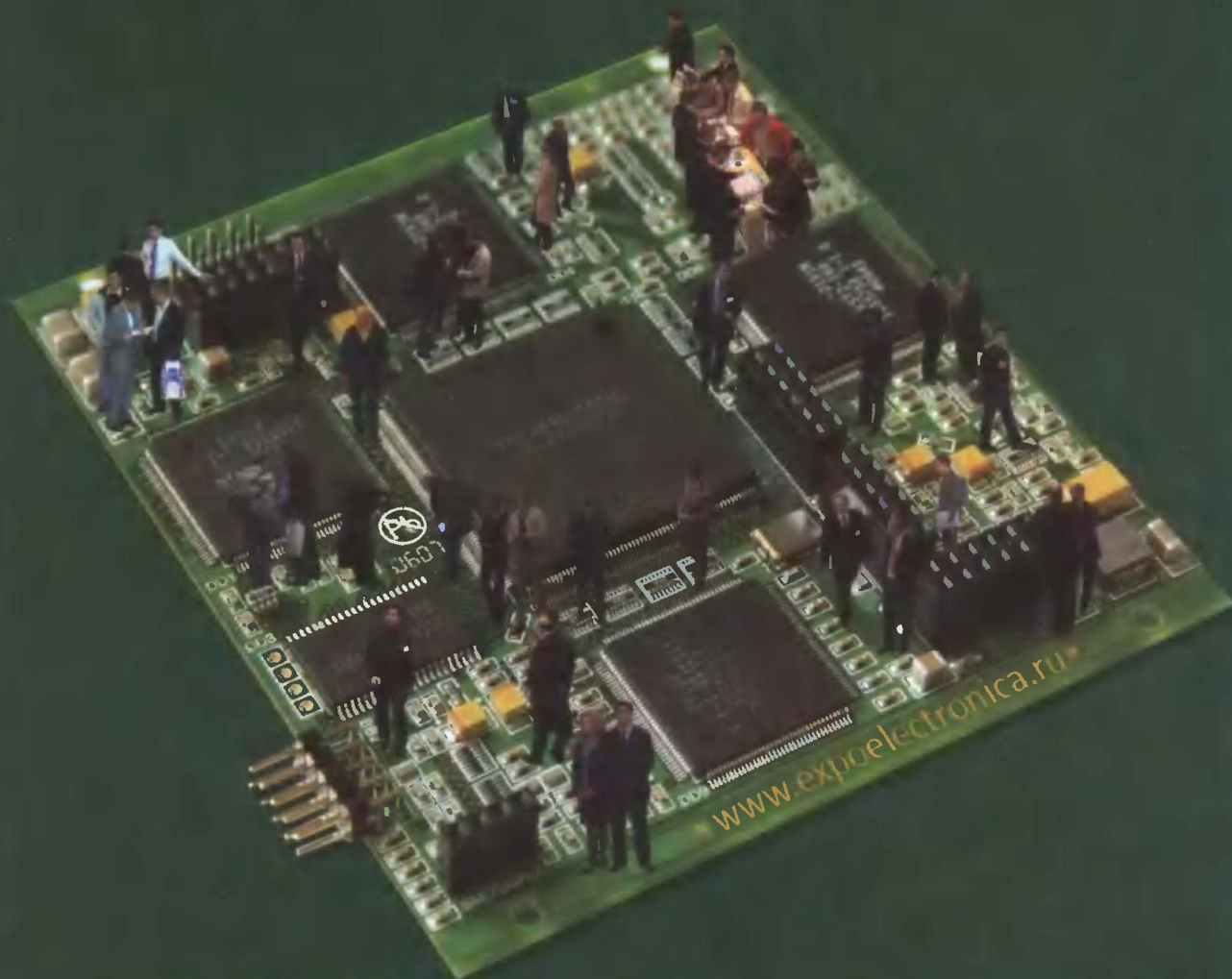


ufi  
Approved  
Event



Совместно с:  
**Electronica** **expo**

**12-Я МЕЖДУНАРОДНАЯ СПЕЦИАЛИЗИРОВАННАЯ ВЫСТАВКА  
ЭЛЕКТРОННЫХ КОМПОНЕНТОВ И ТЕХНОЛОГИЧЕСКОГО ОБОРУДОВАНИЯ**



## ВАША КОНТАКТНАЯ ПЛОЩАДКА

**13-16 АПРЕЛЯ 2009 МОСКВА**

 **Крокус Экспо**  
МЕЖДУНАРОДНАЯ ВЫСТАВОЧНАЯ КОМПЛЕКС

Организаторы:



primexpo



ITE



ufi

При содействии:



Тел.: +7 812 380 60 03  
+7 812 380 60 07  
+7 812 380 60 00

Факс: +7 812 680 60 01

E-mail: [electron@primexpo.ru](mailto:electron@primexpo.ru)



Издаётся с 1924 года

**РАДИО**  
"Радиолубитель" — "Радиопрофит" — "Радио"

**3·2009**  
МАССОВЫЙ  
ЕЖЕМЕСЯЧНЫЙ  
НАУЧНО-ТЕХНИЧЕСКИЙ  
ЖУРНАЛ

**"Radio" is monthly publication on audio, video, computers, home electronics and telecommunication**

**УЧРЕДИТЕЛЬ И ИЗДАТЕЛЬ: РЕДАКЦИЯ ЖУРНАЛА «РАДИО»**

Зарегистрирован Комитетом РФ по печати 21 марта 1995 г.

Регистрационный № 01331

**Главный редактор Ю. И. КРЫЛОВ**

**Редакционная коллегия:**

В. И. ВЕРЮТИН, А. В. ГОЛЫШКО, А. С. ЖУРАВЛЕВ, Б. С. ИВАНОВ,  
Е. А. КАРНАУХОВ (отв. секретарь), С. Н. КОМАРОВ, А. Н. КОРОТОНОШКО,  
В. Г. МАКОВЕЕВ, С. Л. МИШЕНКОВ, А. Л. МСТИСЛАВСКИЙ, А. Н. ПОПОВ,  
Б. Г. СТЕПАНОВ (первый зам. гл. редактора), Р. Р. ТОМАС, В. В. ФРОЛОВ,  
В. К. ЧУДНОВ (зам. гл. редактора)

**Выпускающие редакторы:** А. С. ДОЛГИЙ, В. К. ЧУДНОВ

**Обложка:** С. В. ЛАЗАРЕНКО

**Верстка:** Е. А. ГЕРАСИМОВА

**Корректор:** Т. А. ВАСИЛЬЕВА

**Адрес редакции:**

107045, Москва, Селиверстов пер., 10

Тел.: (495) 607-31-18. Факс: (495) 608-77-13

E-mail: [ref@radio.ru](mailto:ref@radio.ru)

**Группа работы с письмами** — (495) 607-08-48

**Отдел рекламы** — (495) 608-99-45, e-mail: [advert@radio.ru](mailto:advert@radio.ru)

**Распространение** — (495) 608-81-79; e-mail: [sale@radio.ru](mailto:sale@radio.ru)

**Подписка и продажа** — (495) 607-77-28

**Бухгалтерия** — (495) 607-87-39

Наши платёжные реквизиты:

получатель — ЗАО "Журнал "Радио", ИНН 7708023424,

р/сч. 40702810438090103159 в Мещанском ОСБ № 7811, г. Москва

Банк получателя — Сбербанк России, г. Москва

корр. счёт 30101810400000000225 БИК 044525225

Подписано к печати 19.02.2009 г. Формат 84×108/16. Печать офсетная.

Объем 8 физ. печ. л., 4 бум. л., 10,5 уч.-изд. л.

В розницу — цена договорная

Подписной индекс:

по каталогу «Роспечати» — 70772;

по каталогу Управления федеральной почтовой связи — 89032.

За содержание рекламного объявления ответственность несет рекламодатель.

За оригинальность и содержание статьи ответственность несет автор.

Редакция не несет ответственности за возможные негативные последствия использования опубликованных материалов, но принимает меры по исключению ошибок и опечаток.

В случае приема рукописи к публикации редакция ставит об этом в известность автора. При этом редакция получает исключительное право на распространение принятого произведения, включая его публикации в журнале «Радио», на интернет-страницах журнала, CD или иным образом.

Авторское вознаграждение (гонорар) выплачивается в течение одного месяца после первой публикации в размере, определяемом внутренним справочником тарифов.

По истечении одного года с момента первой публикации автор имеет право опубликовать авторский вариант своего произведения в другом месте без предварительного письменного согласия редакции.

В переписку редакция не вступает. Рукописи не рецензируются и не возвращаются.

© Радио®, 1924—2009. Воспроизведение материалов журнала «Радио», их коммерческое использование в любом виде, полностью или частично, допускается только с письменного разрешения редакции.

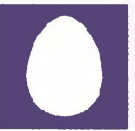
Отпечатано в ООО «ИД Медиа-Пресса», 127137, Москва, ул. «Правды», д. 24, стр. 1. Зак. 90327.



Компьютерная сеть редакции журнала «Радио» находится под защитой антивирусной программы Dr.WEB И. Данилова.

Техническая поддержка ООО «СалД» (Санкт-Петербургская антивирусная лаборатория И. Данилова).

<http://www.drweb.ru> Тел.: (812) 294-6408



Тел.: 956-00-00

Интернет: [www.comstar-uts.ru](http://www.comstar-uts.ru)

# Радиолубительские музеи Москвы

**Борис СТЕПАНОВ (RU3AX), г. Москва**

Наш журнал на своих страницах время от времени рассказывает о радиолубительских музеях страны, использует их экспозиции для того, чтобы познакомить читателей с историей развития мировой радиотехники и радиоэлектроники. Поводом для возврата к этой теме послужила VI научно-практическая конференция "История техники и музейное дело", которую в декабре минувшего года проводили московский Политехнический музей, Институт истории естествознания и техники имени С. И. Вавилова Российской Академии наук и Ассоциация научно-технических музеев страны.

Это было мероприятие профессионалов, посвященное всем направлениям истории техники. И было действительно приятно увидеть в списке докладов три сообщения о радиолубительских музеях Москвы. Да и в целом слово "радио" прозвучало на этой конференции очень внушительно — из примерно 60 докладов и сообщений шесть относились к истории радиотехники. Три из них были представлены сотрудниками Мемориального музея А. С. Попова Санкт-Петербургского государственного электротехнического университета ("ЛЭТИ") и Центрального музея связи имени А. С. Попова (г. Санкт-Петербург), а также Музея радиотелевизионного вещания Останкинской телебашни.

Два из трех московских радиолубительских музеев функционируют на базе образовательных учреждений — музей "Всё о радио" при школе № 1084 и музей "Радио и радиолубительство" при центре образования № 1685. Первый из них появился благодаря энтузиазму Павла Владимировича (RV3BC) на базе успешно работавшей школьной коллективной радиостанции RZ3AXG. В этом музее представлены практически все направления отечественной радиоэлектроники — много приемопередающей связной аппаратуры (военной и гражданской), бытовой и контрольно-измерительной аппаратуры, а также элементной базы. Особо хочется подчеркнуть, что в нем есть и экспозиция, посвященная истории некоторых отечественных радиозаводов. Музей имеет свой сайт в Интернете — [www.rv3bc.narod.ru](http://www.rv3bc.narod.ru).

Музей "Радио и радиолубительство" возник не на пустом месте. Его основой послужил аналогичный музей, который начал создаваться еще в 70-е годы в Центральном радиолюбительском клубе СССР имени Э. Т. Кренкеля. Во время преобразований, которые выпали на долю ЦРК в 90-е годы, эта экспозиция после "путешествий" по Москве разместились в центре образования № 1685. Руководит этим музеем, который, кстати, носит имя Э. Т. Кренкеля, Евгений Суховерхов (UA3AJT). В нем так же, как и в музее "Всё о радио", собирают и связную, и бытовую, и контрольно-измерительную аппаратуру. Но определенное внимание уделено материалам, связанным с историей радиолубительства в нашей стране. И это естественно, поскольку он "вырос" из музея ЦРК. У этого музея также есть свой сайт в Интернете — <http://rrl-museum.cqham.ru>.

Если эти два радиолубительских музея ведут практически все направления радио, музей, созданный генеральным директором ООО "Фирма "РКК" Валерием Грозовым (RA3CC), называется "Средства связи двух Мировых войн". В нем удалось собрать уникальную коллекцию техники проводной и радиосвязи, которые использовались вооруженными силами СССР и Германии на территории нашей страны во время Великой Отечественной войны. Здесь и аппаратура, произведенная в нашей стране, и поставлявшаяся нашим вооруженным силам по ленд-лизу. Валерию Грозову удалось найти и включить в экспозицию музея некоторые уникальные образцы отечественной связной техники, а экспозиция по средствам связи вооруженных сил Германии наиболее полная, по-видимому, в стране (включая и профессиональные музеи).

Более того, именно этот радиолубительский музей по уровню отработки информации и по исследованиям, связанным с экспонируемой аппаратурой, практически подходит к понятию профессионального музея, оставаясь при этом радиолубительским. Сайт музея <http://www.rkk-museum.ru> удивляет своей информационной насыщенностью, ибо так глубоко, используя возможности Интернета, проникнуть в суть экспонатов при просмотре их в музее просто невозможно.

**Пожелаем же всем радиолубительским музеям страны успехов в их благородной деятельности — сохранении истории радио!**

Окончание. Начало см. на 2-й с. обложки

# Листая старые журналы... (1946—1949 гг.)

**1946 г.** Апрель. Радиолюбители-конструкторы и коротковолновики, поднявшие свое увлечение до уровня мировой спортивной дисциплины, снова увидели на прилавках книжных магазинов массовый радиолюбительский журнал. Теперь он носит краткое и емкое имя — "РАДИО" и является рупором Комитета по радиотехнике при Совете Министров СССР и ЦС Союза ОСОАВИАХИМ СССР (Общество содействия обороне, авиации и химическому строительству — прообраз будущего ДОСААФ, но это отдельная история. — *Прим. ред.*). По поводу возрождения издания журнала видный ученый, член-корреспондент АН СССР, инженер—вице-адмирал А. И. Берг сказал: "... Возобновление выхода радиолюбительского журнала после длительного перерыва, вызванного войной, является весьма отрядным фактом. Продолжающееся быстрое развитие радиотехники требует привлечение огромного количества новых кадров... Журналу "Радио" предстоит большая и ответственная работа по вербовке новых кадров и по распространению знаний для повышения их квалификации... От души желаю журналу "Радио" справиться со своими задачами и удовлетворить огромную тягу к знаниям, столь характерную для народов нашей великой Родины".

Журнал "Радио" № 1 открывался развернутой статьей об открытии А. С. Попова и двумя значимыми постановлениями Совета Министров СССР — "Об учреждении знака "Почетный радист" и ежегодного праздника "Дня радио" — 7 мая. День радио установлен в знак признания в деле популяризации достижений отечественной науки и техники в области радио и поощрения радиолубительства среди широких слоев населения.

Отдавая дань признательности и памяти боевым подвигам народа в Великой Отечественной войне, журнал предлагает две статьи — "Радио в Отечественной войне" и "Радисты—герои".

Радиопромышленность после режима "всё для фронта" перестраивается на товары широкого потребления. Всего за один год разработаны и поставлены в серийное производство замечательные для того времени приемники индивидуального пользования — "Салют", "ВЭФ М-557", "Родина", "Рекорд", "Восток" (7Н27).

Не забыты и радиолюбители — ЦС Союза ОСОАВИАХИМ утвердил программу развития радиокружков при первичных организациях общества в учебных заведениях, на производстве и в сельских клубах. Создан Центральный радиоклуб, председателем оргбюро которого стал легендарный Э. Т. Кренкель. Учитывая большой эффект и отдачу еще в довоенные времена, принято решение о проведении 6-й Всесоюзной заочной радиовыставки.

Учитывая необходимость быстрее и повсеместного восстановления парка приемной техники радиовещания, журнал вновь предложил обзор схем и конструкций детекторных приемников, а также трех простых ламповых конструкций из радиодеталей старых образцов промышленных приемников.

Тираж журнала первого послевоенного года составлял 20 000 экземпляров.

**1947 г.** Подведены итоги 6-й Всесоюзной заочной радиовыставки. Наметилась интересная тенденция — радиовещательные приемники занимают относительно небольшое место по сравнению с экспонатами других групп. Увеличилось число конструкций, относящихся к области использования радиоаппаратуры в народном хозяйстве, заметен рост числа телевизионных приемников, несложных любительских радиостанций, особенно резко возросла группа измерительных приборов всех категорий. Отдельно были награждены призами и грамотами юные конструкторы — в составе коллективов и индивидуально.

Если рассматривать раздел радиовещательных приемников, то надо отметить определенный отход от конструкций ультра-



многоламповых приемников со всевозможными усложнениями схем и перенесения центра внимания на постройку малоламповых, малогабаритных, экономичных и дешевых приемников слушательского типа (с фиксированной настройкой), рассчитанных на массовое повторение. Описания многих из них опубликованы на страницах журнала.

Таким образом, радиолюбители и журнал вместе с ними решали вопрос государственной программой повсеместной радиотехники. Радиопромышленность хоть и увеличила выпуск аппаратуры вдвое по сравнению с 1940-м годом, но программу обеспечения детекторными (дешевыми) приемниками просто провалила. Настолько, что МПСС (Министерство промышленности средств связи) срочно объявило конкурс со сроком исполнения... 1,5 месяца. По результатам конкурса было рассмотрено 20 конструкций приемников, 13 образцов детекторов и 3 конструкции головных телефонов. Первый приз присужден НИИ МПСС за приемник "Комсомолец" (конструктор М. Капланов), второй — заводу МПСС за конструкцию "Волна" (М. Облезлов) и третий — артели "Телевизор" за приемник ДТ-47. Все схемы были опубликованы в журнале. Приемники поставили на конвейер, и они пользовались огромным интересом, особенно первый из названных. Радиолюбители старшего поколения, наверное, и сейчас еще помнят это "чудо" послевоенных лет, оно было выпущено тиражом в несколько сотен тысяч. Два других тоже выпускались, но более скромной серией.

По итогам прошедшей выставки впервые публикуются самодельная конструкция маг-

нитофона (В. Охотников), любительский телевизор с разверткой на 343 строки и кинескопом с диаметром 17 см (А. Корниенко), радиостанция коротковолновика (Б. Хитров).

**1948 г.** Ушел из жизни П. Н. Рыбкин — ближайший сподвижник А. С. Попова. Первый номер журнала открывается памятной статьей о его творческом пути.

На Ленинградской студии "Ленфильм" начались съемки полнометражного художественной кинокартины "Александр Попов".

СНК Союза ССР утверждает положение о медали им. А. С. Попова за выдающиеся научные работы в области радиотехники. Первым лауреатом стал член-корреспондент АН СССР В. П. Вологдин.

В Ленинградском электротехническом институте (ЛЭТИ), где А. С. Попов был профессором и первым выбранным директором, организован музей. В экспозициях — подлинные прижизненные экземпляры научных трудов, конструкций и документов первооткрывателя. В первый же день музей посетило более 1500 человек.

За год для ознакомления радиолубителей были опубликованы описания восьми конструкций промышленных приемников, а для самостоятельного конструирования — более 20, в основном призеров 7-й Всесоюзной заочной радиовыставки, итоги которой подведены в этом году. Кроме того, на страницах журналов приведены описания различных измерительных приборов, коротковолновых и ультракоротковолновых любительских радиостанций.

Реконструкция московского телецентра с переводом вещания на 625 строк и восстановление ленинградского телецентра со стандартом 441 строка побудили радиолубителей к новым поискам в своем творчестве.

**1949 г.** Год прошел под лозунгом "За города и деревни". Наряду с эфирным, бурно начало развиваться и проводное вещание. В Москве проводятся испытания первой системы проводной передачи телевизионного сигнала. Налажен выпуск телевизоров "Т1 Москва" и "Т1 Ленинград". И в этом году к ним добавился телевизор "КВН-49" — легендарная модель на долгие годы. На московском телецентре в заставке между сеансами работы применили новую испытательную таблицу УИТ-0249 (с некоторыми модификациями она используется на многих телецентрах и по сей день — *прим. ред.*).

8-я Всесоюзная заочная радиовыставка, как основная форма смотря творчества конструкторов, выявила столько радиолубительских талантов, что публикация результатов пришлось проводить раздельно по группам устройств, а только перечисление дипломантов заняло три страницы мелким уборым шрифтом.

В этом же году в Политехническом музее открылась постоянно действующая экспозиция "Промышленность средств связи СССР", которая разместились в десяти залах и была представлена всеми видами радиотехнических изделий — от детекторного приемника и до рабочих станций отраслей народного хозяйства.

Тираж журнала увеличен до 50 тыс. экземпляров.



# История открытия радио

В. МЕРКУЛОВ, г. Москва

"Мы сделали открытие, все значение которого сейчас едва ли кто сразу поймет".

А. С. Попов, 1895 г.

16 (4) марта 2009 г. исполняется 150 лет со дня рождения Александра Степановича Попова — первооткрывателя радио. В публикуемой статье рассказано о непосредственной предыстории и воплощении физического феномена, названного "радио" в XX веке. Многие ученые были на самом пороге открытия, но приоритет все же признавали за нашим соотечественником.

## "Абстрактные" творения будущего

Быстрые и невидимые электромагнитные колебания (ЭМК) исследовали многие физики в европейских странах и США еще до того, как английский ученый-теоретик физики Дж. Максвелл (1831—1879) опубликовал свои знаменитые работы "Динамическая теория электромагнитного поля" (1864 г.) и "Трактат об электричестве и магнетизме" (1873 г.). Так, например, американский физик Дж. Генри (1797—1878) в изданной в 1842 г. работе "Колебательный разряд" [1, с. 243—245] показал существование в лейденской банке "главного разряда в одном направлении, а затем несколько отраженных действий назад и вперед, каждое из которых является более слабым, чем предыдущее, продолжающееся до тех пор, пока не наступит равновесие"; что "разряд лейденской батареи через проводник создает в соседнем параллельном проводнике индуцированный ток". Кроме того, искра "длиной около одного дюйма (25,4 мм), проскакивающая на конце проволоочного контура, находящегося в верхнем помещении здания, создавала индукцию достаточно мощную для того, чтобы намагничивать иглы, помещенные в параллельную проволоочной цепи, расположенной внизу здания, в погреб, причем расстояние (по перпендикуляру) между верхней и нижней цепями равнялось 30 футам (9,14 м) и они разделялись двумя полами и потолками".

Ведущий немецкий физик и физиолог Г. фон Гельмгольц (1821—1894) в 1847 г. в статье "О сохранении силы" [1, с. 246] тоже объяснял, что "разрядный ток состоит из чередующихся, противоположно направленных токов". В 1858 г. австрийский профессор физики П. Блазерна (1836—1918) представил результаты исследований по измерению значения тока во вторичной ("побочной") проволоке, натянутой параллельно проводу, замыкающему лейденскую батарею, в изданной в Вене работе "Об индуцированном токе побочной батареи" [1, с. 258—263]. Он заявил в ней: "При этом и том же главном проводе сила индуцированного тока для побочных проводов различной длины не будет постоянной, но возрастает до известного предела-максимума, — а затем снова убывает". Он показал графически изменения значения напряжения во вторичной цепи [1, с. 261] в виде весьма сглаженной кривой, но все же похожей на резонансную.

В 1857—1862 гг. видный германский физик В. Фейддерсен (1832—1918) про-

водил измерения периода колебаний при разряде объединяемых в группы лейденских банок, нагружаемых проводами различной длины. В 1862 г. в напечатанной в "Анналах физики" Прусской Академии наук работе "Об электрическом разряде лейденской банки" [1, с. 275—285] он сообщил о получении значений в пределах от 1,32 до 39,8 мкс при длине замыкающих цепей от 5,26 до 1343 м соответственно.

Перечисленные работы лишь поясняют, что великий немецкий физик Г. Р. Герц (1857—1894) открывал невидимые глазу ЭМК не на "пустом месте". Нет оснований полагать, что его посетило внезапное "озарение". Значимость его работ заключается в том, что он первым дал трактовку явлениям, которые многим представлялись в виде неопределенных образов. В продолжение теории и терминологии Максвелла он первым сформулировал понятие "электродинамическая волна" [1, с. 156—165]. В значительной части исследований Герц выявлял отличия ЭМК от световых, изучал их особенности: как и свет, они с одинаковой скоростью распространяются в вакууме и воздухе; в отличие от света они проникают сквозь деревянные и каменные препятствия, туман, но не перемещаются в земле и воде; не проходят внутрь даже самых тонких металлических преград, а только отражаются от них.

Герц предложил реальную и надежно работающую приемно-передающую систему (ППС), повторенную многими физиками-экспериментаторами. В передатчике антенной служил изобретенный им диполь, в приемной части — настраиваемый контур. Однако длину искры Герцу приходилось измерять "на глаз", применяя мерные линейки и увеличительные лупы.

Сразу же после опытов Герца у многих возникли предложения по использованию ППС для беспроводных передач телеграфных сигналов. Однако сам он не понимал значимости открытия. Сведения о высокочастотных ЭМК, так же как и электродинамические постулаты Максвелла, он относил к абстрактным знаниям, а не к реальной жизни. Так он говорил на лекциях в учебном заведении и отвечал на вопросы студентов. В 1889 г. германскому инженеру Ф. Губеру он написал, что для переноса колебаний, используемых в телеграфии или телефонии, например, 1000 единиц в секунду, в технических устройствах понадобилось бы соорудить нереальные контуры размерностью в 300 км [1, с. 32].



1896

## Электропроводность порошков

В 1884—1886 гг. итальянский физик Ф. Кальцески-Онеси (1853—1922) из г. Лапедона исследовал проводимость металлических опилок, нанесенных на изолирующие пластины разных форм, а также помещенных в цилиндрические стеклянные или эбонитовые трубки [1, с. 350—353]. Пластины или трубку подключали к батарее питания через гальванометр, индицирующий ток. Стрелка гальванометра показывала прохождение тока при подключении к батарее, после чего возвращалась в нулевое положение из-за потери металлических опилками проводимости. Поэтому требовалось восстановление исходного состояния порошка. Частичному ускорению процесса помогали обратные по полярности воздействия батареи на цепь. Иногда в качестве звукового индикатора проводимости Кальцески-Онеси использовал телефонный аппарат параллельно батарее или последовательно с гальванометром. Он обнаружил, что телефон мгновенно возвращает металлические опилки в состояние проводимости при разрыве цепи. Далее он заменил телефон электромагнитом, а потом подобранной катушкой индуктивности с получением аналогичного результата. Он пришел к выводу, что проводимость металлических опилок изменяется благодаря возбуждению ЭДС самоиндукции в индуктивном элементе цепи.

Исследования проводимости металлических порошков продолжил в 1890 г. французский профессор физики Католического университета в Париже Э. Бранли (1844—1940). Он повторил эксперименты Кальцески-Онеси и подтвердил сделанные им наблюдения. Вначале он также наносил тонкие слои измельченной меди, железа, алюминия и других металлов на прямоугольные (7×2 см) пластины из матового стекла. В дальнейшем металлические опилки, иногда в смеси с изолирующими жидкостями, он насыпал в стеклянные или эбонитовые трубки с электрически проводящими стержнями на торцах.

Описания опытов и обобщенные результаты исследований Бранли по-

Читатели, приславшие в редакцию любые пять из шести купонов за полугодие, вместе с заполненной анкетой, которая напечатана в этом номере журнала, смогут претендовать на один из призов.

Март  
2009 год



Рис. 1

ты он так и не прошел. В родной Франции ему поклоняются как первопродвицу в области радио.

Первым, в полной мере оценившим исследования Бранли, был известный английский физик О. Лодж (1851—1940). Он предложил трубку с металлическими опилками применить для обнаружения высокочастотных ЭМК — "волн Герца". Радиокондуктор он пожелал

в лондонском Королевском институте в июне 1894 г. и посвященной памяти умершего в начале года Г. Герца. В популярном виде он изложил достигнутые результаты. В ряду других ученых он отметил интерес, проявленный российским физиком и электротехником А. Г. Столетовым (1839—1896) к исследованию влияния световых эффектов на искрообразование в цепях Герца. Лодж высказал идею включения телеграфного ключа в ППС Герца [1, с. 424—445]. На рис. 6 Лодж (сидит) изображен в лаборатории вместе со своим помощником Дж. Бердом (1888—1946) — будущим "отцом" электромеханического телевидения.

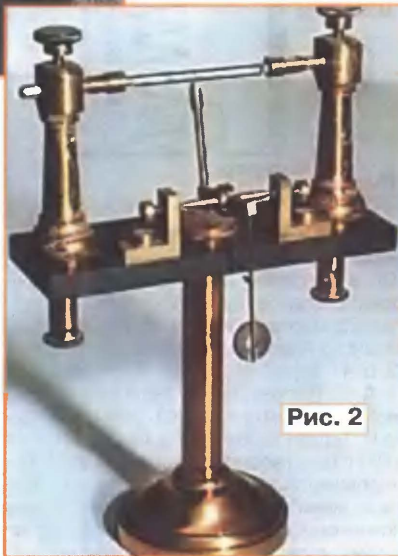


Рис. 2

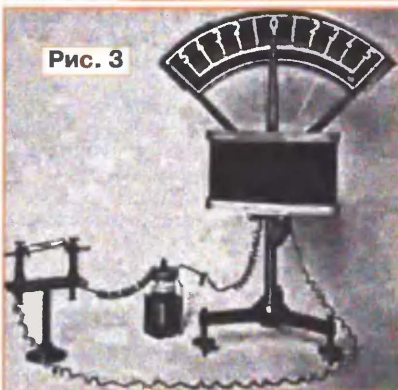


Рис. 3

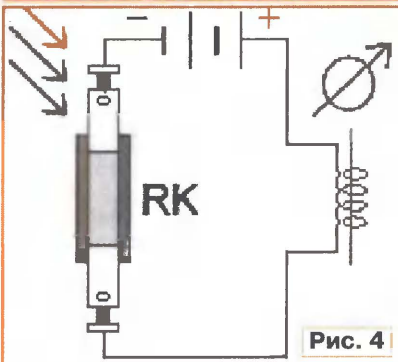


Рис. 4

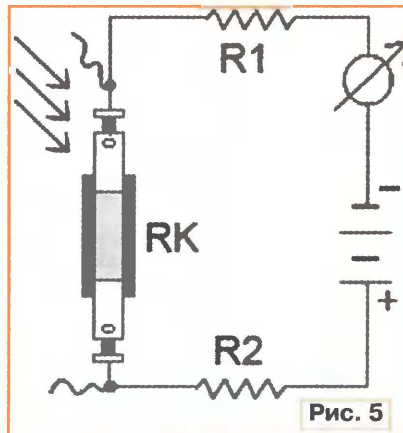


Рис. 5



Рис. 6

местил в отчеты, изданные в 1890 г. и 1894 г. [1, с. 353—357]. Он сообщил, что "в цепи, объединяющей батарею питания, гальванометр и эбонитовую трубку с металлическими опилками, изначально проходит ничтожный ток, однако у трубки сопротивление резко уменьшается, что видно по сильному отклонению гальванометра, если вблизи контура произвести один или несколько разрядов". "Действие уменьшается при увеличении расстояния, но его очень легко наблюдать, даже без специальных предосторожностей, еще на расстоянии более 20 м, причем искровой аппарат работал в зале, отделенном тремя большими комнатами". "Чтобы действие имело место, контур необязательно должен быть замкнут". "Прохождение через чувствительное вещество индуцированного тока производит то же действие, что и искра на расстоянии (индуцируемый контур содержит катушку индуктивности, трубочку с опилками, элемент питания и гальванометр)". "Уменьшение сопротивления можно различными способами почти уничтожить, особенно слабыми отрывистыми ударами по доске, поддерживающей трубку".

Разработанную конструкцию стеклянной трубки с металлическим наполнителем Бранли назвал радиокондуктором (RK), т. е. проводником приходящих излучений. Дошедшее до наших дней фото Бранли в лаборатории представлено на рис. 1, радиокондуктора — на рис. 2, радиокондуктора в цепи с гальванометром и батареей — на рис. 3. На рис. 4 изображена схема электрических испытаний. Чтобы нейтрализовать шунтирующее действие батареи питания на радиокондуктор, Бранли помещал в цепь проволочные резисторы с обычной (виток к витку) намоткой на каркасе, поэтому обладающие некоторой индуктивностью (рис. 5). Отдельные исследователи творчества Бранли принимают их за элементы селекции.

Было подмечено, что чувствительность радиокондуктора возрастает при удлинении присоединяемых к нему проводов. Такую особенность использовали при размещении его в экранирующем футляре (с целью защиты от нежелательных помех). Чувствительность восстанавливали путем выведения метровых проводов через отверстие в ящике. Эти провода впоследствии почитатели Бранли сочли антеннами.

Бранли три раза номинировали на Нобелевскую премию, однако в лауреа-

назвать когерером (от англ. to cohere — сцепляться), поскольку при прохождении даже слабого тока внутри трубки частицы "склеиваются" между собой. Этот термин он озвучил впервые в публичной обзорной лекции "Творение Герца", произнесенной

Отметим, что в научно-технической литературе идея телеграфирования без проводов первоначально была предложена в 1890 г. в российском журнале "Электричество" в виде комментария к статье профессора физики О. Д. Хвольсона (1852—1934) [1, с. 415]. В 1892 г. знаменитый английский физик и химик В. Крукс (1832—1919), сам не занимавшийся вопросами передачи кодовых сообщений по эфиру, в одном из журналов спиритического профиля дал удивительно точное ясновидящее описание беспроводной ППС [1, с. 416—420].

14 августа 1894 г. Лодж выступил в Оксфордском университете на научной сессии Британской ассоциации по внедрению научных достижений. На заседании он показал одну из своих конструкций трубчатого (из стекла) когерера, запол-

ненного железными опилками в смеси с ртутью и маслом (рис. 7). Он продемонстрировал прием ЭМК с расстояния 40 ярдов (37 м) от осциллятора (излучателя) Герца с регистрацией сигнала тремблором (электрическим звонком). Лодж не додумался до использования вибрации звонка для сотрясения стеклянной трубки, т. е. приведения когерера в исходное

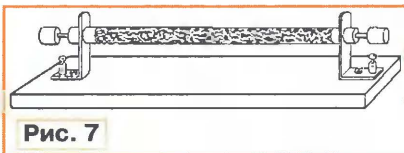


Рис. 7

состояние к приходу следующего импульса. Удивительно, но по схеме соединений (рис. 8) на рабочем столе когерер и звонок расположили рядом, однако на разных основаниях. Для механического воздействия на когерер добавили еще один "сотрясатель" — часовой механизм быстрого вращения, срабатывающий не синхронно с приходом ЭМК.

Немного позже когерер и электрозвонок все-таки объединили на общей доске, но все равно не получили эффекта восстановления работоспособности устройства, поэтому механический "сотрясатель" сохранили. Кроме того, у приемного устройства Лоджа не было антенны, а для электрического звонка требовался довольно большой ток, поэтому устройство не отличалось высокой чувствительностью.

Лодж был больше "кабинетным" ученым, чем практиком. У телеграфии без проводов он не усмотрел будущности, поэтому ограничился только созданием лабораторных макетов, как бы соединивших эксперименты Герца и Бранли. Однако в Великобритании Лоджа признают как одного из пионеров и зачинателей телеграфии без проводов.

### "Волны Герца" в России

Профессор физики Московского университета А. Г. Столетов приступил к повторению экспериментов Герца в 1888 г. Он сосредоточился на проведении опытов "по действию световых лучей на электрические заряды слабого потенциала", описания которых представил в статье "Актино-электрические исследования" (1888 г.), опубликованной в "Журнале Русского физико-химического общества". С изложением методики проведения экспериментов и материалов статьи он выступил 30 декабря 1889 г. на Восьмом съезде русских естествоиспытателей и врачей [2]. Повторно на съезде 2 января 1890 г. Столетов в речи, названной "Эфир и электричество", провозгласил "начало новой эпохи в развитии науки", наступившей благодаря открытию Максвеллом и Герцем невидимых глазу быстрых электрических колебаний.

Четыре дня спустя на съезде профессор физики Петербургской военно-медицинской академии Н. Г. Егоров (1849—1919) с помощниками "показывал восемь опытов, производимых Герцем, относящихся к обнаружению электромагнитных колебаний, изучению их свойств и условий распространения в воздухе". До съезда Егоров выступал со

своими первыми демонстрациями опытов Герца и пояснениями к ним еще в апреле и мае 1889 г.

Во время съезда участники и гости посетили Минный офицерский класс в Кронштадте, где в физическом кабинете преподаватель физики и электротехники А. С. Попов (1859—1906) показал собранную им установку для демонстрации

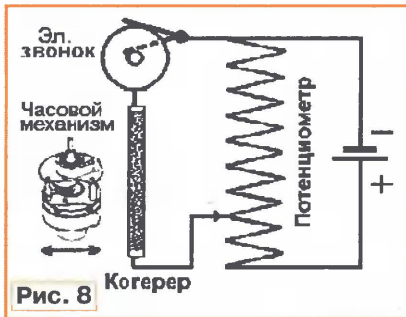


Рис. 8

опытов Герца по обнаружению "электромагнитных волн". Публично с лекцией "Об электрических колебаниях с повторением опытов Герца" А. С. Попов выступил 22 марта 1890 г. в Морском музее Главного Адмиралтейства С.-Петербурга [3, с. 47, 48].

А. С. Попову были знакомы работы американского инженера-электротехника Н. Тесла (1856—1943). Им "в феврале 1891 г. были воспроизведены и продемонстрированы трансформаторы Тесла и опыты с ними" [3, с. 48]. В 1893 г. Попов познакомился с антеннами Тесла, будучи командированным в США на Чикагскую Всемирную выставку. В 1894 г. Попов повторил опыты Бранли и Лоджа. К концу 1894 г. он изготовил версию приемного аппарата Лоджа — "радиометр" — грозоотметчик с вертикальной антенной. В начале 1895 г. он демонстрировал прибор на заседании физического отделения Русского физико-химического общества (РФХО), в учебных заведениях и на лекциях для широкой аудитории в С.-Петербурге.

### День в истории

7 мая (25 апреля) 1895 г. на очередном заседании РФХО А. С. Попов выступил с историческим докладом "Об отношении металлических порошков к электрическим колебаниям" [3, с. 53, 54], где сделал сообщение о "приборе, предназначенном для показывания быстрых колебаний", соединенном с внешним проводником, "находящимся в сфере их действия". Он демонстрировал ППС, в которой приемник автоматически принимал ЭМК, исходящие от осциллятора Герца, размещенного в соседнем здании на расстоянии 30 саженей (64 м). Передатчик ППС был маломощный, и А. С. Попову было очевидно, что предпринимать попытки налаживания телеграфной связи с ним было еще преждевременно. Однако приемная часть была уже довольно чувствительной для регистрации ЭМК, порождаемых мощными источниками, например, грозовыми разрядами. Приемник улавливал их на расстоянии до 30 км.

Для практической реализации приемник было решено преобразовать в грозоотметчик с добавлением пищаще-

го аппарата братьев Ришар для автоматической записи на бумажную ленту. Напомним, что первый грозоотметчик демонстрировали на выставке в Нижнем Новгороде в 1896 г., после чего по назначению он работал до 1927 г. в Лесном институте С.-Петербурга (ныне С.-Петербургская государственная лесотехническая академия имени С. М. Кирова). А. С. Попов использовал также разработанные аппараты в учебном процессе в качестве наглядных пособий.

### Научное деяние

Значимость первоначальных и дальнейших работ А. С. Попова очень велика. Хотя при лабораторных исследованиях Г. Герца, Э. Бранли, О. Лодж предложили и технические решения для их осуществления, они оказались пригодны лишь для эффектных демонстраций изучаемых явлений. Одновременно они были далеки от полезной применимости для будоражащей умы телеграфии без проводов. Ученые изначально не озадачивали себя прикладными завершениями работ. Спустя годы Лодж, например, вспоминал, что вопросами индикации ЭМК когерером он занялся попутно. Не получилось, чтобы они полностью поглотили его.

За рубежом и в России многие повторили эксперименты названных ученых и на этом остановились. Никто больше сделать ничего не смог. Работы А. С. Попова доказали практическую необходимость накопленного ими "абстрактного" материала. На примере грозоотметчика он показал равнозначность ЭМК искусственного и природного происхождения. Заметим, что в конце XIX века проблемы грозозащиты многим казались актуальными. С двумя статьями Лоджа о громоотводах, считающимися специалистами глубокими по содержанию, можно ознакомиться в [1, с. 313—331].

К 15 декабря 1895 г. А. С. Попов подготовил отчет о выполненных исследованиях и разработках. Работа под названием "Прибор для обнаружения и регистрирования электрических колебаний" была опубликована в январском номере "Журнала РФХО" за 1896 г., имевшем международную рассылку [1, с. 449—458]. В материале А. С. Попова раскрываются конструктивные и схемные решения созданных аппаратов. В приемной части он отказался от предложенного Лоджем часового механизма. Впервые в практике электрических соединений он заставил основные элементы устройства функционировать в режиме автоматической обратной связи: ударник чашки электрического звонка на обратном пути (после срабатывания от пришедшего сигнала), возвращаясь в исходное положение, ударял еще и по корпусу когерера. А. С. Попов повысил чувствительность устройства, для чего последовательно с когерером включил дополнительное чувствительное реле, которое своими контактами подключало обмотку электрозвонка к батарее питания. Так он создал своеобразный электромеханический усилитель тока. Кроме того, он добился от устройства еще большей чувствительности на приходящие ЭМК, подключив вертикальную мачтовую антенну и сделав заземление.

За рубежом и в России современные скептики, сомневающиеся в глубине и обстоятельности трудов Попова, заявляют, что технические решения в его приемниках были очевидны после применения Лоджем "сотрясателя" стеклянной трубки — часового механизма. С этим можно частично согласиться. Попов положительно отнесся к отказу от тряски когерера руками. Но если бы Лодж придумал сотрясать трубку молоточком электрозвонка, то мы, возможно, сейчас отмечали юбилей именно этого события. Не умаляя заслуг Лоджа, все же скажем, что он придумал то, что сумел.

Открытие сделал все-таки А. С. Попов, но он, повторим, еще и придумал релейный усилитель тока, присоединил к приемнику антенну и др. Аппарат получился невероятно надежным, что подтверждало серийное копирование его фабриками и заводами многих стран вплоть до 1910 г. И везде его называли "схемой Попова".

"Соавтор" А. С. Попова по открытию радио Э. Бранли в письме, опубликованном в "Журнале Французского физического общества" в 1898 г., заявил: "Телеграфия без проводов возникла в действительности из опытов Попова" [3, с. 49].

Спустя 10 лет (в 1908 г.) на запрос комиссии РФХО о вкладе А. С. Попова в открытие беспроводного телеграфа другой "соучастник" О. Лодж сообщил: "...я действительно использовал для восстановления чувствительности когерера автоматический молоточек или другой встряхиватель, приводимый в действие часовым или каким-либо иным механизмом, однако Попов впервые достиг того, что сам сигнал осуществлял обратное воздействие. Я полагаю, что в этом и состоит новшество, которым мы обязаны Попову" [3, с. 257].

### Выдающаяся телеграмма

В конце января 1896 г. в условиях острова Котлин и помещений Кронштадского отделения Русского Технического общества А. С. Попов на метровых волнах провел испытания ППС применительно к использованию на море. Передатчик и приемник были соединены с одинаковыми антеннами в виде симметричных вибраторов с металлическими квадратными листами на концах. По договоренности с заказчиком, он передавал определенные кодированные сообщения [4].

24 (12) марта 1896 г. на очередном ученом собрании РФХО, происходившем в С.-Петербургском университете, А. С. Попов совместно со своим постоянным ассистентом П. Н. Рыбкиным (1864—1948) между зданиями учебного заведения (250 м) организовали беспроводную передачу текстового сообщения из двух слов. В демонстрации задействовали ППС диапазона ДМВ с параболическими рефлекторными антеннами. Приемник заключили в экранирующий ящик [5]. На заседании присутствовали многие известные российские физики, электротехники, административные руководители армии и флота. Вот как в 1906 г. дважды описывал событие присутствовавший в зале приема Хвольсон: "Станция отправления была устроена в зале химической лаборатории Петербургского университета, приемная станция —

в зале заседаний, в старом физическом кабинете. Знаки передавались кодом Морзе, ключ которого находился у председателя Ф. Ф. Петрушевского. После каждого полученного знака председатель отмечал на доске соответствующую букву. Трудно описать восторг присутствовавших, когда на доске появились слова "HEINRICH HERTZ" [3, с. 94—97, с. 119—129]. С другими свидетельствами участников заседания можно ознакомиться в [6].

Косвенно событие подтверждается известным итальянским предпринимателем по внедрению радио Г. Маркони (1874—1937). Написанная под его диктовку автобиография "История моей жизни" [7] в значительной степени содержит избранные хвалебные выдержки из популярных газет и журналов, отображавших его успехи, но нет ни одной телеграммы, соотносящейся с его, кажущейся по мемуарам, "бравурной" жизнью. Можно предположить, что ему не удалось опередить Попова в отправке телеграммы по эфиру, а гордость и стремление к сохранению статуса не позволили хвастаться депешами, написанными вдобавок первому посланию.

Многие авторы современных публикаций (в основном в России) выражают сомнение в событии, связанном с первой телеграммой, тенденциозно прочитывают выступления и работы А. С. Попова, считают, что недостает документов, подтверждающих передачу слов. Однако при этом все сомневающиеся и науковеды доверяют сообщениям о том, что Маркони перекинул три "точки" буквы S через Атлантический океан 12 декабря 1901 г. Они никогда не знакомились с настоящими документами об этом, думают, что "там", откуда они черпают сведения, — "все по-честному". Между тем хорошо известно, и на это прозрачно намекает сам Маркони [7], что из-за незнания законов распространения ЭМК в атмосфере и несовершенства аппаратуры телеграмма не была принята [8]. Н. Тесла, будучи к 1901 г. крупным специалистом по передаче ЭМК на большие расстояния, не поверил в такое событие. При этом он утверждал, что сам проводит сеансы биологической радиосвязи с Марсом.

Маркони ловко обыграл случившуюся неудачу: он пригласил на пресс-конференцию ангажированных журналистов, которые напечатали о нем восторженные публикации, после чего серьезных специалистов уже никто не слушал. В результате трансатлантическая операция для ее организатора обернулась ощутимой выгодой.

Следует отметить также, что А. С. Попов и Г. Маркони никогда не обменивались телеграммами [9].

### Восход электронного радио

В истории техники известно много примеров освоения научно-технических достижений в два этапа: сначала — в примитивном варианте, а затем — в более совершенном. Например, в воздухе люди поднялись сначала на воздушных шарах и дирижаблях, а уже потом на самолетах. Впервые показанные Бердом 85 лет назад (в 1924 г.) электромеханические телевизоры серийно выпускали и эксплуатировали во многих странах (и в

России тоже) почти 15 лет. Однако телевидение на основе вращающегося диска с отверстиями оказалось фальстартом. Его заменило электронное телевидение, разработанное выходцем из России В. Зворыкиным (1889—1982).

С радио получилась такая же ситуация. Многие из наработанного в аппаратуре с когерером также оказалось фальстартом. Путевку в будущее получили радиоприемники с полупроводниковыми детекторами и телефонами для приема сигналов на слух. И здесь главным конструктором новой техники стал А. С. Попов.

В мае 1899 г. П. Рыбкин и Д. Троцкий (1857—1918), ассистенты А. С. Попова, обнаружили у когерера детекторный эффект. После чего Попов разработал новый приемник без реле, но с головными телефонами. Через короткое время от когерера, как мало надежного элемента, он также отказался и заменил его на полупроводниковый диод, разработанный немецким физиком К. Ф. Брауном (1850—1918) — будущим Лауреатом Нобелевской премии (1909 г.) [10].

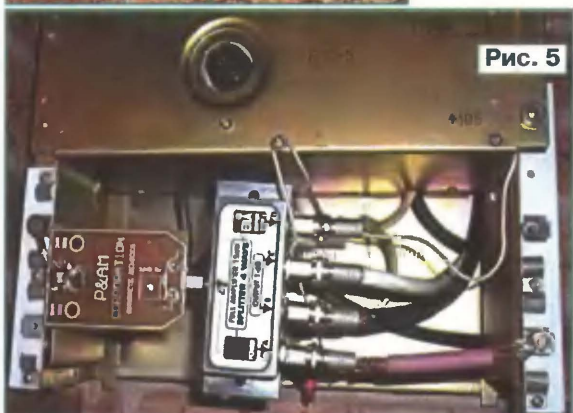
Приемники нового поколения оказались заметно проще, меньших габаритов, легкими и более надежными [11]. С позиций сегодняшнего времени кажется, что создать их было еще легче, чем когерерные. Однако в европейских и американских центрах это не получилось. Более того, там вначале даже не поняли значимости полупроводникового детектора и еще долго "изобретали" и внедряли свои выпрямители ЭМК — ртутные, жидкостные, магнитные и др.

### ЛИТЕРАТУРА

1. Из предистории радио. Сборник оригинальных статей и материалов. Вып. 1. Под ред. Л. И. Мандельштама. — М.-Л.: изд-во АН СССР, 1948. Web-версия: <<http://lib.mexmat.ru/books/8553>>.
2. Стариков В., Лонгинов А. Радио 90 лет. — М.: изд-во "Знание", сер. "Радиоэлектроника и связь", 1985, №4. Web-версия: <[http://www.amradio.ru/radioelbook/hystory/art\\_020.html](http://www.amradio.ru/radioelbook/hystory/art_020.html)>.
3. А. С. Попов в характеристиках и воспоминаниях современников. — М.-Л.: изд-во АН СССР, 1958.
4. Марченков В. Творческое наследие Александра Степановича Попова. — <<http://rybkin.h16.ru/tnasled.htm>>.
5. Мишенков С. 7 мая исполняется 110 лет радио и 60 лет Дню Радио! — Радио, 2005, № 5, 2-я с. обл., с. 4—6.
6. Кьяндская-Попова Е., Морозов И. К вопросу о первой в мире радиогамме. — <[http://fiz.1september.ru/2001/12/no12\\_01.htm](http://fiz.1september.ru/2001/12/no12_01.htm)>.
7. Marconi G. The story of my life. — Marconi's Wireless Telegraph Co/ The Bodleian library; University of Oxford archives.
8. Григоров И. Загадка Маркони. — <<http://www.qrz.ru/articles/detail.phtml?id=141>>.
9. Морозов И. А. С. Попов с Г. Маркони не встречался и подарки ему не дарил. — <[http://fiz.1september.ru/2001/12/no16\\_2.htm](http://fiz.1september.ru/2001/12/no16_2.htm)>.
10. Меркулов В. 60 лет создания транзистора. Начало применения полупроводников. — Радио, 2007, № 12, с. 7—9; 2008, № 1, с. 5—7.
11. Пестриков В. Приемник, переживший века. — <<http://www.qrz.ru/articles/article100.html>>.

**Рис. 3**

которым в большинстве случаев можно примириться, так как он проявляется лишь на верхних частотах диапазона. К тому же получить идеальное согласование в полосе частот 48...800 МГц, ис-



пользуя ТДЛ, как, впрочем, и любое другое согласующее устройство, невозможно.

При практическом изготовлении антенной системы (см. рис. 1) согласующий ТДЛ 3 взят из вышедшего из строя ПАУ. Удобно использовать всю плату ПАУ, из которой выпаивают выходные выводы ТДЛ, подключенные в обычном варианте к конденсатору С1 и общему проводу, и соединяют их с коаксиальным кабелем (центральный проводник и оплетку соответственно). Остальные элементы ПАУ можно оставить, работе согласующего устройства они не мешают. Плату устанавливают на предусмотренные в конструкции антенны винты и крепят гайками как обычно, что обеспечивает надежное соединение с собирательной линией. Устройство желательно герметизировать.

ЛПА рассчитывают и изготавливают самостоятельно (или приобретают готовую), после чего обе антенны крепят на одной мачте при соблюдении вертикального расстояния между ними не менее метра. По горизонтали антенны ориентируют так, чтобы обеспечить прием основными лепестками их диаграмм направленности.

Остальные элементы системы — фильтр (4), ПАУ (5, 6), активный разветвитель (7) — объединены в общий электронный блок и находятся в одном корпусе. Для этого автор использовал металлический корпус антенного усилителя УТГО-2

(рис. 4) с сохранением в его составе источника питания (12В). Монтаж электронного блока показан на рис. 5. ПАУ и разветвитель крепят на месте удаленного канального усилителя. Фильтр 4 смонтирован (его не видно) на входных лепестках в верхней части корпуса. Располагать его на плате ПАУ не рекомендуется из-за опасности самовозбуждения.

Наличие в системе активного разветвителя 7 (см. рис. 1) обусловлено тем, что в настоящее время домашняя телерадиосеть содержит, как правило, несколько приемников телевизионных и радиовещательных сигналов УКВ. Устанавливать для них отдельные усилители с собственными блоками питания нецелесообразно. Поэтому использован готовый активный разветвитель на четыре выхода с коэффициентом усиления 15 дБ без блока питания. Его вход соединен с выходом ПАУ непосредственно, коротким сигнальным проводником длиной 1,5...2 см при общем экране, образованном крепежными элементами входа и выхода устройств. Общее питание подают на разветвитель и далее на антенный усилитель через упомянутый сигнальный проводник с соответствующими развязками, как это предусмотрено в разветвителе.

Усилительный блок расположен в помещении. Тем самым устранены отрицательные воздействия окружающей среды и обеспечена надежная и долговечная работа устройств. Кроме того, стали доступны все регулировки, к которым можно отнести, например, изменение напряжения питания (9...12 В), подбор резистора  $R_{доб}$  (см. рис. 3) по наилучшему качеству приема удаленных станций.

Изготовленная автором антенная система работает несколько лет. Качество приема с усилителем SWA-777 местных каналов высокое, удаленных (до 70 км) — от хорошего до удовлетворительного. Прием радиостанций УКВ в стереорежиме при тех же расстояниях обеспечивается с достаточным по комфортному прослушиванию уровнем шума. Повреждений активных элементов системы в течение времени эксплуатации не наблюдалось.

#### ЛИТЕРАТУРА

1. Пахомов А. Антенные усилители SWA. — Радио, 1999, № 1, с. 10—12.
2. Пахомов А. Новые антенные усилители. — Радио, 2000, № 7, с. 6—8.
3. Тужилин С. Усилитель ДМВ — из широкополосного. — Радио, 1997, № 7, с. 15.
4. Пахомов А. О согласовании пластинчатых антенных усилителей. — Радио, 2000, № 11, с. 11, 12, 32.
5. Онищенко И. Приемные телевизионные антенны. — М.: ДОСААФ, 1989.
6. Пахомов А. Согласование антенных усилителей с фидером снижения. — <[http://electronic.com.ua/modules.php?name=Downloads&d\\_op=viewdownload&details&id=92](http://electronic.com.ua/modules.php?name=Downloads&d_op=viewdownload&details&id=92)>.

Редактор — А. Михайлов,  
графика — Ю. Андреев, фото — автора

## Анкета читателя журнала "Радио" 2009

Мы просим Вас, наших читателей, заполнить анкету и вместе с пятью из шести купонов за первое полугодие прислать в редакцию по адресу: 107045, Россия, Москва, Селиверстов пер., 10, редакция журнала "Радио". Обещаем, что Ваша информация не покинет стен редакции.

1. Фамилия, инициалы \_\_\_\_\_

2. Возраст \_\_\_\_\_

3. Читательский стаж \_\_\_\_\_

4. Образование \_\_\_\_\_

5. Профессия, род занятий \_\_\_\_\_

6. Адрес (регион, населенный пункт) \_\_\_\_\_

7. Радиолобительский позывной \_\_\_\_\_

8. Адрес электронной почты \_\_\_\_\_

9. Адрес домашней странички в Интернете \_\_\_\_\_

Если у Вас нет позывного, адреса электронной почты, домашней странички в Интернете, поставьте прочерк в соответствующей строке.

10. Укажите наиболее интересную статью в каждом из номеров журнала (№ 1—6 за 2009 г.).

Ваши ответы будут учтены при подведении итогов конкурса на лучшую публикацию в 2009 г.

№ 1 \_\_\_\_\_

№ 2 \_\_\_\_\_

№ 3 \_\_\_\_\_

№ 4 \_\_\_\_\_

11. Какие рубрики журнала Вы считаете наиболее интересными?

12. Какие темы и рубрики Вы считаете неактуальными сегодня?

13. Каким темам следует, по Вашему мнению, отдавать предпочтение сегодня?

14. Какие новые рубрики стоило бы открыть?

15. Отметьте в следующем списке то, что, по Вашему мнению, следовало бы не печатать в журнале, а только выкладывать в Интернете, чтобы увеличить число описаний конструкций, публикуемых в каждом номере:

- ☐ Чертежи печатных плат.
  - ☐ Исходные тексты программ.
  - ☐ Загрузочные коды ("прошивки").
16. Какой технологией переноса рисунка печатных проводников на плату Вы предпочитаете пользоваться:
- ☐ Рисую от руки.
  - ☐ Использую резак.
  - ☐ Термопереносом ("лазерно-утюжной технологией").
  - ☐ Фоторезистом.
  - ☐ Заказываю плату в специализированной фирме.
  - ☐ Никаких печатных плат, только проводной монтаж.

17. Обложка каких номеров журнала привлекла Ваше внимание?

Давайте делать наш журнал вместе!

## Регулятор громкости с буферным каскадом

Я. ТОКАРЕВ, г. Москва

**В статье описывается устройство, позволяющее превратить усилитель мощности в законченную конструкцию, оснащенную регулятором громкости. Это дает возможность подключать к УМЗЧ различные источники сигнала без использования отдельного предварительного усилителя.**

В настоящее время среди многих ценителей высококачественного звуковоспроизведения находит своих сторонников так называемая "идеология короткого тракта". В такой аппаратуре предварительный усилитель не содержит привычных регуляторов тембра, лишних коммутационных элементов, цепей тонкомпенсации и регулятора баланса, а главное, содержит минимум активных компонентов. Ввиду того что выходное напряжение современных источников сигналов фактически стало стандартным — 2 В, возможно отказаться и от предварительного усилителя. Однако нагрузочная способность таких источников сигнала не всегда достаточна для непосредственного подключения

ной ООС создаются предпосылки для возникновения динамических искажений. Я провел сравнительные прослушивания трех буферных повторителей: первый — на ОУ ОРА627, второй — на ОУ ОРА637, третий — на полевых транзисторах, описываемый в статье.

В варианте буферного каскада с использованием ОУ ОРА637 (это тот же ОРА627, только скорректированный на усиление не менее пяти) его коэффициент усиления  $K_u = 5$ . Этот вариант показал, по мнению автора, более прозрачное звучание, чем с ОРА627, ввиду ограничения глубины обратной связи и расширения полосы внутрисетлевого усиления в менее скорректированном, чем в ОРА627, усилителе.

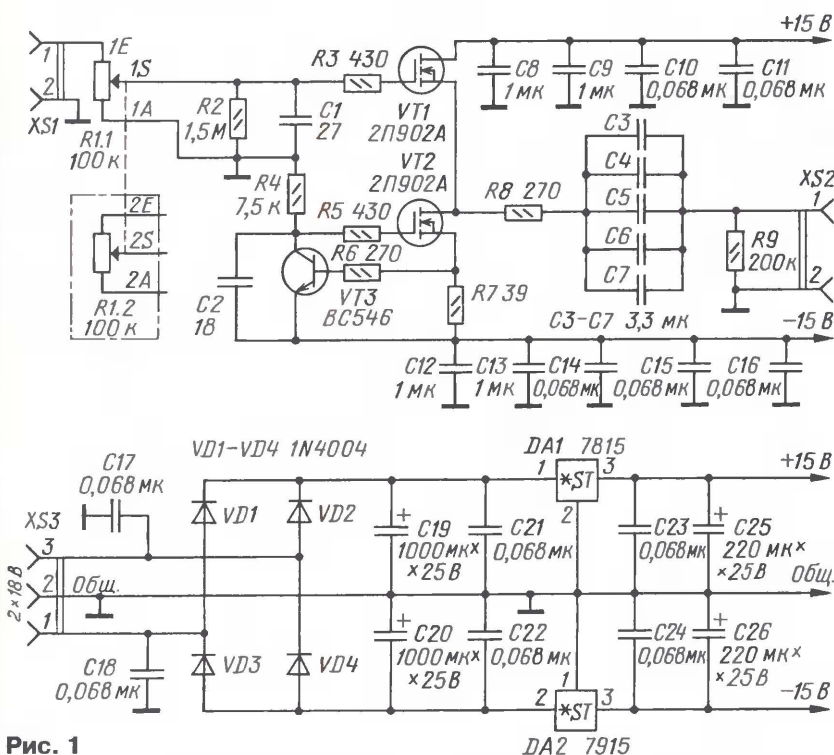


Рис. 1

относительно низкоомного регулятора громкости или усилителя мощности. Поэтому в ряде случаев оказывается полезным применение высокоомного регулятора громкости с последующим повторителем напряжения, выполняющим функцию сопряжения регулятора с входным фильтром УМЗЧ.

Нередко такой каскад строят, используя высококачественный и дорогостоящий ОУ ОРА627 в режиме повторителя напряжения. В ОУ при стопроцент-

Третий вариант — буфер на малошумящем полевом транзисторе, отличающемся высокой линейностью. Это устройство получено в результате упрощения усилителя для головных телефонов, предложенного автором на одном из форумов несколько лет назад и хорошо себя зарекомендовавшего. Субъективно такой буфер оказывается наиболее "прозрачным", без каких-либо заметных замутнений или специфических окрасок в звучании. Тип транзистора повторите-

ля, его рабочий режим были тщательно подобраны, что позволило получить весьма малые нелинейные искажения. Ввиду того что используемый транзистор является сверхвысокочастотным полем транзистором с линейной передаточной характеристикой и обладает малыми межэлектродными емкостями [1], нелинейные искажения такого повторителя на всех слышимых звуковых частотах остаются очень малыми.

Примененный здесь буферный каскад рассчитан главным образом на УМЗЧ с входным сопротивлением не ниже 10 кОм, при этом КНИ на частотах

ния было продиктовано тем, что он является нагрузкой для источника сигнала, подключаемого к описываемому блоку. Выходной каскад современных CD-DVD плееров, магнитофонных дек, звуковых карт, как правило, представляет собой интегральный ОУ, искажения которого тем меньше, чем выше сопротивление нагрузки.

Другой важный фактор: даже в относительно дорогих моделях CD-DVD плееров, тюнеров, компьютерных звуковых карт на выходах есть разделительные оксидные конденсаторы, причем, как правило, они оказываются без поляри-

го эффекта не наблюдалось. Оказывается, на несимметричных выходах карты установлены танталовые конденсаторы малой емкости. Поэтому при входном сопротивлении УМЗЧ 10 кОм, обычном для широкополосного усилителя с параллельной ООС, чувствовалась нехватка баса и некоторая неестественность звучания в области НЧ. При подключении УМЗЧ через описываемый блок регулятора громкости с входным сопротивлением 100 кОм вышеуказанный эффект перестал быть заметным.

Вернемся к описанию узла регулятора. С движка переменного резистора

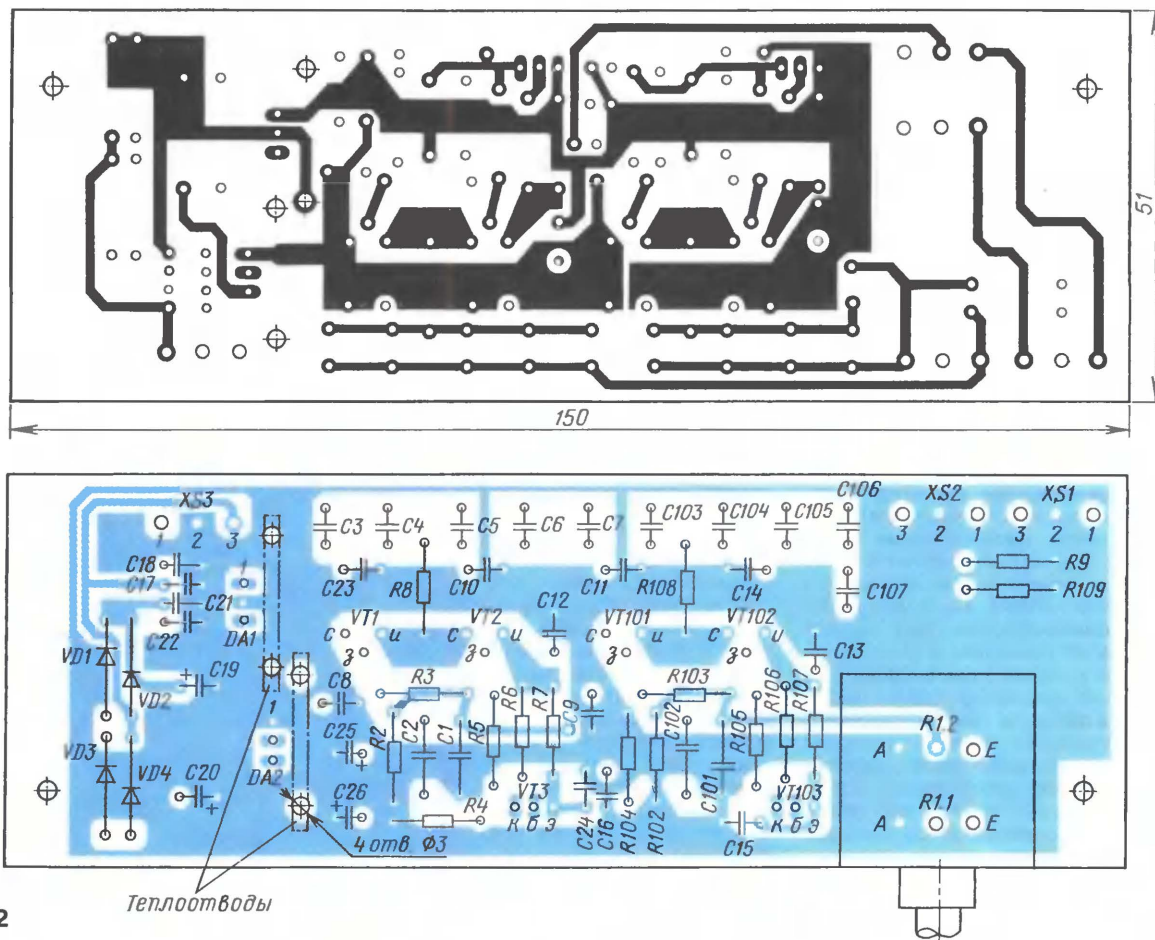


Рис. 2

1 и 10 кГц при напряжении 2 В оказывается около 0,002 %. Уровень собственных шумов каскада достоверно измерить автору не удалось ввиду отсутствия вольтметра истинных среднеквадратических значений. Но при подключении повторителя к анализатору спектра (на основе программы SpectraLab и звуковой карты ESI Juli@) смещения подшвы спектра практически не обнаружено, уровень шумов сохранился очень низким. Фликкер-шум, которым отличаются полевые транзисторы с изолированным затвором, оказался незаметным.

Схема узла регулятора громкости изображена на рис. 1. Входной звуковой сигнал поступает на высококачественный переменный резистор регулятора громкости R1.1 (R1.2 — для другого канала). Здесь применение резистора относительно высокого сопротивле-

зующего напряжения. Обычно для таких целей выбирают оксидные конденсаторы на напряжение 63—100 В и относительно низкой емкости (типичное значение — 4,7 мкФ). В таком случае нелинейность разделительного конденсатора будет проявляться тем сильнее, чем ниже входное сопротивление следующего за ним каскада.

О необходимости согласования узла регулятора как с источником сигнала, так и последующим УМЗЧ с параллельной ООС можно показать на примере звуковой карты ESI Juli@. Как только эта карта стала доступна на российском рынке, я прочел отзывы на радиоловительских форумах, где писали, что при подключении УМЗЧ к несимметричным выходам карты бас "жидкий" и неестественный. При подключении же нагрузки к балансным "DC-coupled" выходам тако-

R1.1 сигнал поступает на затвор истокового повторителя VT1, нагруженного источником тока, который выполнен на транзисторе VT2 того же типа. Применять здесь традиционный биполярный транзистор не следует ввиду того, что его нелинейная коллекторная емкость оказывается больше, чем у 2П902; линейность выходного сопротивления также ему уступает. С выхода истокового повторителя сигнал через связку разделительных конденсаторов C3—C7 поступает в нагрузку.

Для получения глубокого и естественного баса частота среза ФВЧ, образованного разделительными конденсаторами с входным сопротивлением УМЗЧ (10 кОм), выбрана очень низкой — 0,95 Гц. Как показала практика, более высокие частоты среза вызывают ощущение "жидкого" баса, лишенного "ос-

нования", — несмотря на то что, по логике, частоты среза, равной 10 Гц, должно быть более чем достаточно.

Источник питания устройства выполнен по традиционной схеме и особенностей не имеет; желательно использовать фирменные интегральные стабилизаторы ( $\mu A7815UC$ ,  $\mu A7915UC$ ), так как уровень шумов иных микросхем может оказаться ненормированным. Питание осуществляется от понижающего сетевого трансформатора, имеющего обмотки на напряжение  $2 \times 18$  В и рассчитанные на ток нагрузки не менее 150 мА.

Конструктивно регулятор громкости выполнен на печатной плате из фольгированного с двух сторон стеклотекстолита, ее чертеж с расположением элементов показан на рис. 2. Нумерация элементов второго канала начинается со второй сотни (C101, VT101 и т. д.), вход и выход второго канала блока выведены на контакты 3 разъемов XS1 и XS2. Обилие блокировочных конденсаторов, а также специфической ВЧ топологии платы (в некоторых местах применено параллельное соединение слоев фольги — например, в истоках VT1, VT2, а также между истоком VT1 и стоком VT2) продиктовано тем, что транзисторы 2П902А весьма склонны к самовозбуждению на частотах диапазона ДМВ. На корпусные болты VT1, VT2 следует навинтить гайки до заполнения резьбовой части, они выполняют функцию теплоотвода (хотя и без гаек транзисторы нагреваются незначительно).

К передней панели усилителя плату закрепляют посредством двух металлических уголков, располагаемых по ее сторонам. В авторском варианте плата регулятора громкости была встроена в корпус самого УМЗЧ, а для минимизации возможных наводок от его силовоточных цепей помещена в металлический экран (прямоугольную коробку) из белой жести, крепящийся двумя лапками также к передней панели УМЗЧ болтами. Сигнальные провода и провод цепи питания проходят через отверстия в задней стенке экранирующего бокса. Делать отдельный корпус для такого регулятора громкости автор посчитал нецелесообразным.

В регуляторе громкости можно допустить замену некоторых деталей: транзистор 2П902А (VT1, VT2) — на КП902А, BC546 (VT3) — на KT3102AM, диоды 1N4004 (VD1—VD4) — на КД209А. Микросхемы 7815 (DA1) и 7915 (DA2) можно заменить их близкими аналогами.

Микросхемы стабилизаторов напряжения DA1, DA2 установлены на ставшие популярными у радиолюбителей теплоотводы HS-315 (продаются в "Чип и Дип" [2]).

Сдвоенный переменный резистор (R1.1 и R1.2) — ALPS-RK27, приобретаемый на заказ в фирмах СИММЕТРОН и ДОДЭКА [3, 4].

C1, C2 — отечественные керамические конденсаторы КТ-1, КД-2, К10-7В с ТКЕ M47 и M33.

Все примененные в конструкции резисторы — импортные прецизионные металлопленочные (MF — Metal Film) мощностью 0,25 Вт. При отсутствии таковых можно применить отечественные аналоги С2-29 (в отличие от

них импортные имеют выводы без окисла), металлодиэлектрические С2-23, МЛТ (перечислены в порядке убывания предпочтения).

Конденсаторы C19, C20 — K50-35 или импортные фирм Jamicon или Samsung; C25, C26 — K50-35 или аналогичные импортные; C8, C9, C12, C13 — EPCOS B32529-C105K на 63 В. Их можно заменить керамическими конденсаторами меньшей емкости (не менее 0,047 мкФ), например, К10-7, КД-1, КМ-5.

Конденсаторы C3—C7 — EPCOS B32529-C5335 на 50 В емкостью 3,3 мкФ  $\pm 5\%$ ; здесь полноценной отечественной замены найти невозможно, потому что использованные конденсаторы Epcos Staked MKT имеют не только очень высокое качество изготовления, но и беспрецедентно высокое отношение емкости к габаритам, иными словами, эти конденсаторы самые компактные. Конденсаторами фирмы Epcos торгуют известные радиодилерами фирмы.

Конденсаторы C10, C11, C14—C16, C21—C24 — К10-7В емкостью 0,068 мкФ на 40 В. Соединители XS1—XS3 — клеммники DINKLE-DT126VP.

В заключение полезно дать несколько рекомендаций по монтажу транзисторов КП902.

Эти приборы чрезвычайно "нежны", они не выдерживают превышения допустимого напряжения: при напряжении сток—исток более 50 В такой транзистор пробивается; опасно для него и статическое электричество. Но главное коварство заключается в том, что в этих приборах можно "подбить затвор"; при этом транзистор остается работоспособным, но возрастают утечка в затворной цепи и шум.

Для того чтобы избежать неприятности, монтаж приборов следует выполнять с использованием антистатической паяльной станции или на время пайки отключать сетевой паяльник и использовать антистатический браслет. В противном случае, как показала практика, выход транзисторов из строя практически гарантирован. Поэтому при покупке КП902А надо обращать внимание на условия хранения этих приборов; в магазинах их обычно продают упакованными в фольгу.

После сборки платы полезно проверить исправность транзистора VT1; для этого необходимо вывести регуляторы R1 в положение максимальной громкости, а к входу подключить высокочастотный милливольтметр постоянного тока. Если на резисторе R1 присутствует малое постоянное напряжение, то это свидетельствует о том, что у VT1 "подбит затвор".

#### ЛИТЕРАТУРА

1. Полевые и высокочастотные биполярные транзисторы средней и большой мощности и их зарубежные аналоги. Справочник, том 3. — М.: КУБК-а, 1997.
2. Общая техническая документация группы "Ребристые радиаторы". — <<http://www.chip-dip.ru/library/DOC000181263.pdf>>.
3. <<http://www.symmetron.ru>>.
4. <<http://www.dodeca.ru>>.

Редактор — А. Соколов, графика — Ю. Андреев

#### МОДУЛЬНАЯ РЕКЛАМА

##### ИНТЕРНЕТ-МАГАЗИН "ДЕССИ"

Предлагает:

- **ME1003-"Алладин"** — устройство для дистанционного управления домашним освещением с режимом диммера — 1300 руб.
- Собранную, в корпусе, плату микропроцессорного металлоискателя **BM8042** — 1252 руб.
- Программатор **EXTRA PIC** — 750 руб.
- Внутрисхемный отладчик устройств на PIC-контроллерах **MICD2-MC1** (аналог MPLAB-ICD2) — 1700 руб.
- Адаптер К-линии **BM9213** для подключения персонального компьютера через **USB** к диагностическому каналу (К- или L-линии) электронного блока управления (ЭБУ) автомобиля с целью диагностики и управления его функциями — 823 руб.
- Адаптер К-линии **NM9213** (набор для сборки) для подключения персонального компьютера через **COM-порт** к ЭБУ автомобиля — 542 руб.
- Цифровой диктофон **BM2062**, 25 сек. записи — 686 руб.
- Стационарный сотовый телефон стандарта **GSM MK303** — 3684 руб.
- Переходник **USB в COM BM8050** для ПК — 387 руб.
- Электронный блок зажигания "классика" **NM5422** — 780 руб.
- Прибор **NM8032** для проверки ESR электролитических конденсаторов (набор для сборки) — 620 руб.
- Электронный отпугиватель подземных грызунов **MK080** (набор для сборки) — 416 руб.
- Цифровой **BM8037** термометр (до 16 датчиков) — 845 руб.
- Восьмиканальный микропроцессорный таймер, термостат, часы **NM8036** — 1408 руб.
- Селективный металлоискатель "Кошачий" **MK8044** — 11860 руб.
- **MK180** — USB-EDGE модем для выхода в Интернет через технологии EDGE и GPRS — 2990 руб.
- Набор **"Частотомер 250 МГц"** — 550 руб.
- **GSM-сигнализация BM8038** — 1122 руб.
- **Цифровую шкалу** трансивера — 850 руб.
- **BM9010** — USB внутрисхемный программатор AVR микроконтроллеров — 650 руб.
- Устройство **BM9222** для ремонта и тестирования компьютеров — POST Card PCI — 1729 руб.
- **Набор SMD резисторов** типоразмера 0805 из 170 номиналов от 0 Ом до 10 МОм,  $\pm 5\%$ , по 50 шт. каждого — 850 руб.
- **SHP001** — Шариковая ручка (145х15 мм) со встроенной видеокамерой и микрофоном. Пишет в цвете (AVI 352х288), со звуком, до 15 часов на встроенную память 4 Gb. Интерфейс **USB** — 6000 руб.

Всегда в продаже наборы деталей для самостоятельной сборки, корпуса, радиодетали, материалы и оборудование для пайки.

<http://www.dessy.ru>  
e-mail: [post@dessy.ru](mailto:post@dessy.ru)

**105318, г. Москва, а/я 52 "ПОСЫЛТОРГ"**. Заказы принимаются по бесплатному междугородному многоканальному телефону: **8-800-200-09-34** с 9-00 до 17-30 **MSK**.

# УМЗЧ с полевыми транзисторами IRFZ44

К. ФИЛАТОВ, г. Таганрог

## Параметры макета

При изготовлении УМЗЧ транзисторы по параметрам не подбирались. Характеристики УМЗЧ измерены в соответствии с методами, установленными ГОСТ 23849—79 и ГОСТ 24388—80. Чувствительность, выходное сопротивление и АЧХ определены с помощью низкочастотного генератора ГЗ-118 и милливольтметра ВЗ-38А. Основную трудность представило корректное измерение полного коэффициента гармонических искажений и коэффициента интермодуляционных искажений. Стандартные методы для оценки нелинейных и интермодуляционных искажений предусматривают применение измерительного генератора с низким значением коэффициента гармоник и анализатора спектра.

В соответствии с паспортными данными [6, с. 304] генератор сигналов ГЗ-118 — низкочастотный, имеет следующие значения коэффициента гармоник:

- в полосе 20...100 Гц — 0,01 %;
- в полосах 100...200 Гц и 10...20 кГц — 0,005 %;
- в полосе 200 Гц...10 кГц — 0,0015 %.

Значительно сложнее найти анализатор спектра с большим динамическим диапазоном. Для измерения коэффициента гармоник, начиная с 0,01 %, динамический диапазон анализатора спектра должен быть не менее 80...90 дБ. Нужными характеристиками обладает вычислительный анализатор спектра СК4-83 [6, с. 149—152]. К сожалению, высокая стоимость этого прибора и малая распространенность не позволяют им воспользоваться. Применение режекторных фильтров из комплекта генератора ГЗ-118 для подавления основной гармоники и уменьшения динамического диапазона сигнала перед анализатором спектра неудобно, так как измерения могут быть проведены лишь на некоторых дискретных частотах. Кроме того, режекторный фильтр, подавляя основную гармонику, изменяет и остальные, что добавляет операцию коррекции результатов измерений.

Весьма доступным представляется использование виртуальных анализаторов спектра на основе персональных компьютеров. Опция анализатора спектра имеется во многих распространенных программах: Audio Tester, Cool Edit, Sound Forge и др. Основная трудность применения программных анализаторов спектра состоит в оцифровке аналогового сигнала, подлежащего измерению с малыми частотными и нелинейными искажениями, которые должны быть, по крайней мере, на 10 дБ ниже, чем измеряемые коэффициенты гармоник или интермодуляции [5].

Оцифровка аналоговых сигналов в ПК обычно осуществляется с помощью

звуковых карт. Изготовители распространенных карт, как правило, не приводят параметров, характеризующих их частотные и нелинейные искажения. Некоторым выходом из положения может служить доступная в Интернете бесплатная программа RightMark Audio Analyzer, которая вычисляет АЧХ, полный коэффициент гармонических иска-

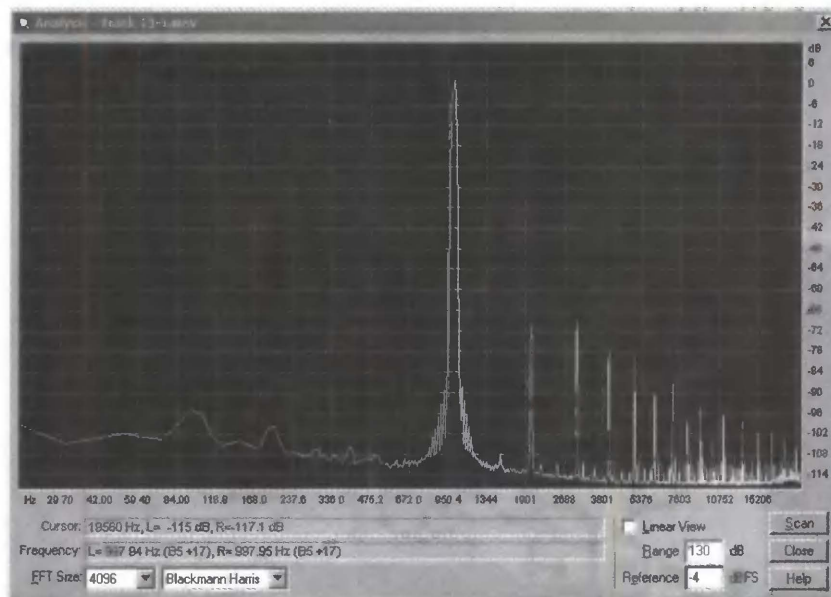


Рис. 7

жений, интермодуляционные искажения используемой в ПК звуковой карты. К сожалению, в имеющихся у автора версиях 2.5 и 5.4 отсутствуют сведения о погрешностях измерений (методических, программных), поэтому к полученным результатам следует относиться с осторожностью.

Автор производил оцифровку измеряемых сигналов с помощью АЦП, входящего в состав рекордера компакт-дисков CDR2 [7], с последующей запи-

| f, кГц | 1   | 2      | 3      | 4      | 5      | 6      | 7      |
|--------|-----|--------|--------|--------|--------|--------|--------|
| U, %   | 100 | 0,0015 | 0,0015 | 0,0003 | 0,0004 | 0,0002 | 0,0002 |

сь этих сигналов на перезаписываемый компакт-диск. В соответствии с паспортными данными CDR2 полный коэффициент гармонических искажений в режимах записи и воспроизведения не превышает 0,005 %. Далее с компакт-диска запись считывалась в персональный компьютер цифровым способом (без использования аналоговых входов/выходов звуковой карты). Файлы сигналов в формате Windows PCM (16 бит) затем обрабатывались анализатором спектра программы Cool Edit Pro 1.2.

В табл. 4 приведен спектр сигнала частотой 1 кГц со среднеквадратичес-

ким значением 10 В с выхода I (600 Ом) генератора ГЗ-118, записанный по аналоговому входу CDR2.

В спектре сигнала генератора наиболее заметны вторая и третья гармоники, полный коэффициент гармонических искажений, рассчитанный по формуле (1), составляет 0,0022 %. Отклонение от паспортного значения для генератора ГЗ-118 (0,0015 %) составляет 47 %, что можно считать приемлемым при измерении в любительских условиях столь малых коэффициентов гармоник.

На рис. 7 показан спектр сигнала частотой 1 кГц на выходе УМЗЧ со среднеквадратическим значением 10 В на нагрузке 4 Ом (P = 25 Вт).

В спектре выходного сигнала УМЗЧ преобладают вторая и третья гармоники, четвертая и пятая гармоники на 9...10 дБ ниже. Полный коэффициент гармонических искажений рассчитывался по формуле (1) из полученных данных. Коэффициент гармоник практически постоянен в интервале выходной мощности 0,6...60 Вт.

Интермодуляционные искажения измерялись описанным выше двухчастотным методом. Напряжение с частотой 250 Гц поступало с генератора ГЗ-118, а с частотой 8 кГц — с генератора ГЗ-33. Средняя мощность колебаний этих частот на выходе УМЗЧ составила 20,7 и 1,3 Вт соответственно, а пиковая мощность их суммы — около 65 Вт. Спектральная диаграмма выходного сигнала УМЗЧ приведена на рис. 8.

Коэффициент интермодуляционных искажений рассчитывался по формуле (2) из данных спектрограммы.

Был измерен также коэффициент разностных искажений при подаче сигналов с частотами 11, 12 кГц и равными амплитудами:

$$K_{\text{им}} = \frac{U_{f_2 - f_1}}{U_{f_1}} \cdot 100. \quad (3)$$

Окончание.

Начало см. в "Радио", 2009, № 2

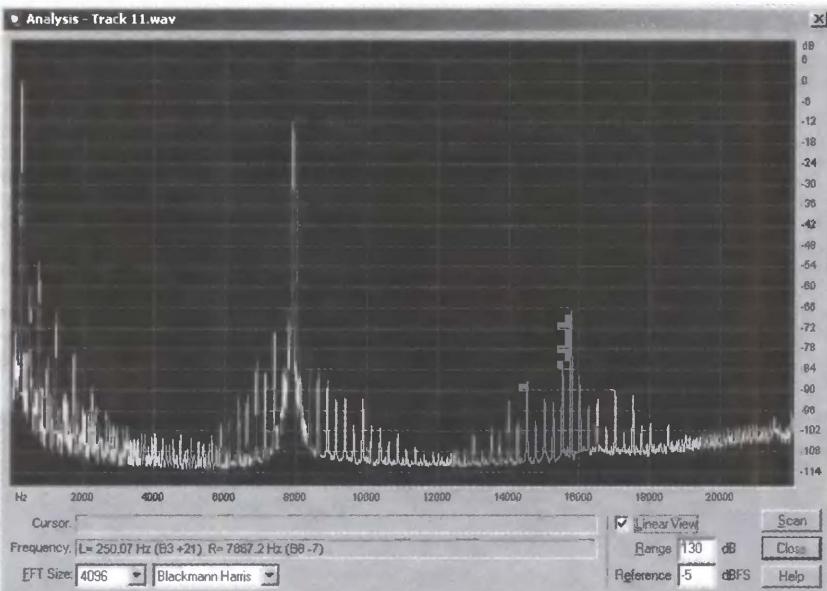


Рис. 8

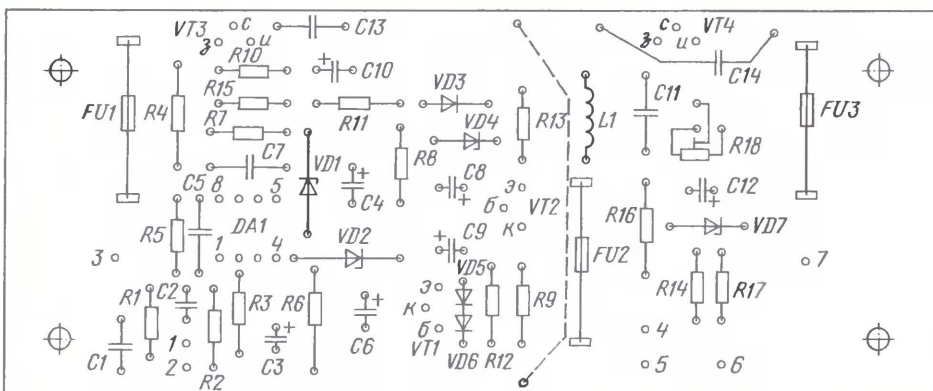
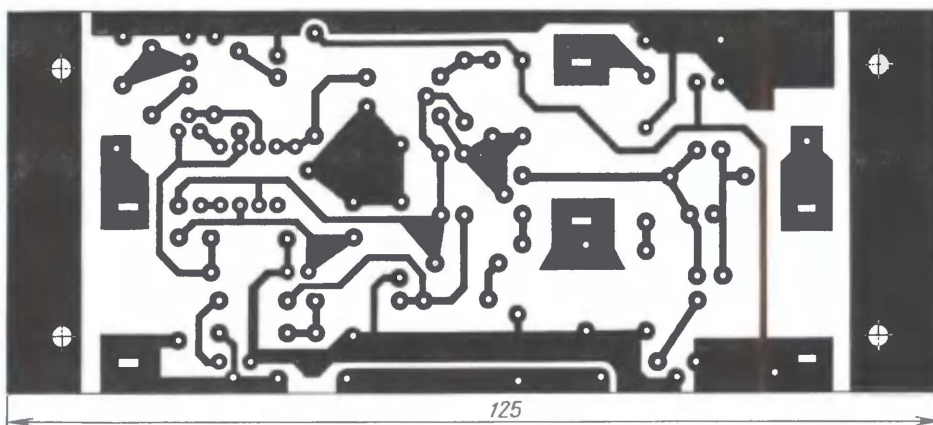


Рис. 9

Пиковая мощность биений составила 108 Вт при средней мощности биений на выходе УМЗЧ, равной 25 Вт.

Скорость нарастания выходного напряжения измерялась осциллографом С1-81 на прямоугольных импульсах, формируемых генератором Г5-54.

Ниже приведены параметры УМЗЧ, полученные в результате измерений.

#### Основные технические характеристики

Диапазон воспроизводимых частот (на уровне -3 дБ), Гц .....1,3...160000  
Чувствительность, В .....1  
Номинальная выходная мощность, Вт .....60  
Полный коэффициент гар-

монических искажений ( $P_{\text{ном}} 1 \text{ кГц}$ ), % .....0,04  
Коэффициент интермодуляционных искажений (250/8000 Гц), % .....0,10  
Коэффициент разностных искажений (11/12 кГц), % .....0,05  
Отношение сигнал/шум (взвешенный МЭК А) при замкнутом входе, дБ .....101  
Отношение сигнал/шум (невзвешенный) при замкнутом входе, дБ .....88  
Выходное сопротивление УМЗЧ ( $P_{\text{ном}} 1 \text{ кГц}$ ), Ом .....0,08  
Скорость нарастания выходного напряжения, В/мкс .....20

Отметим совпадение результатов, полученных при экспериментальных исследованиях, с результатами компьютерного моделирования. Более узкая полоса пропускания макетного УМЗЧ может быть объяснена применением ОУ КР544УД2А с частотой единичного усиления 15 МГц, в то время как импортный аналог (использованный в модели) имеет частоту единичного усиления 50 МГц.

#### Конструкция и детали

Чертеж печатной платы УМЗЧ показан на рис. 9; она изготовлена из фольгированного стеклотекстолита толщиной 1,5 мм. Транзисторы VT3 и VT4 оконечного каскада своими выводами впаяны непосредственно в печатную плату, которая с помощью П-образного кронштейна прикреплена к теплоотводу перпендикулярно его поверхности (см. рис. 10). Для крепления платы на ней предусмотрено четыре отверстия диаметром 3 мм. Керамический конденсатор С14 устанавливается со стороны печатных проводников в непосредственной близости от транзистора VT4. Печатный проводник, соединяющий выводы конденсаторов С13, С14, необходимо соединить медным изолированным проводником сечением не менее 1 мм<sup>2</sup> со стороны печати с цепью общего провода. Плавкие предохранители для уменьшения переходного сопротивления также впаяны в плату.

В качестве теплоотвода применен кулерный VOLCANO 6 Си+ вместе с вентилятором, номинальное напряжение питания которого 12 В. Подобные теплоотводы

обычно используют для охлаждения центрального процессора в персональных компьютерах. Размеры основания теплоотвода — 80×62 мм, высота — 40 мм. Немаловажно, что толщина основания, к которому крепятся транзисторы, равна 8 мм. Со стороны основания в теплоотводе просверлены четыре сквозных отверстия диаметром 2,5 мм, в которых затем нарезана резьба М3.

Два отверстия предназначены для крепления выходных транзисторов, два других — для крепления упомянутого кронштейна.

Порядок сборки УМЗЧ следующий:

1. На печатную плату устанавливают все радиоэлементы (кроме VT3 и VT4).

2. Места установки транзисторов на теплоотводе тщательно шлифуют и полируют с пастой ГОИ. Транзистор VT3 устанавливают на теплоотвод через слюдяную прокладку толщиной не более 0,05 мм и изолирующую втулку для крепления винта, а транзистор VT4 — непосредственно с использованием прижимных скоб и металлических винтов M3. Для наилучшего теплового контакта теплоотвода и транзисторов полезно использовать теплопроводящую пасту. Не следует использовать в качестве прокладки теплопроводную резину, применяемую в импульсных блоках персональных компьютеров: при выходной мощности УМЗЧ 60 Вт за счет плохой теплопроводности такой резины при толщине 0,3 мм тепловой пробой полевого транзистора наступает примерно через 1 мин работы УМЗЧ. Мегомметром проверяют сопротивление изоляции между стоком VT3 и теплоотводом, оно должно быть не менее 10 МОм.

3. Печатную плату прикрепляют к кронштейну винтами M3. Выводы транзисторов VT3, VT4 вставляют в соответствующие отверстия печатной платы. Кронштейн закрепляют на теплоотводе винтами M3.

4. Выводы VT3, VT4 припаивают к контактным площадкам печатной платы.

Желательно УМЗЧ так располагать в корпусе, чтобы теплоотвод вместе с вентилятором был снаружи корпуса. Необходимо также изолировать теплоотводы разных каналов друг от друга и от корпуса.

Транзисторы VT3 и VT4 источника питания (см. рис. 4) установлены на отдельных, изолированных друг от друга и общего провода игольчатых теплоотводах с размерами основания 125×47×4,5 мм. Транзистор VT1 узла управления вентиляторами (см. рис. 6) установлен на алюминиевую пластину толщиной 2 мм и размерами 30×70 мм.

В УМЗЧ применены резисторы С2-33Н и МЛТ, СП3-19 (R18), оксидные конденсаторы К50-35 и импортные (JAMICON), керамические конденсаторы С13, С14 — группы КМ.

Кроме указанных на схеме типов приборов, можно использовать импортные малоомощные кремниевые диоды и стабилитроны с такими же напряжениями стабилизации. Транзистор серии КТ315 можно заменить с любым буквенным индексом или заменить на КТ3102А. Транзистор в позиции VT2 допускается заменить КТ313Б, КТ644А, КТ644Б или импортными BC212A, BC526A, 2N2907A, 2SA876H, быстродействующий ОУ KP544УД2А — отечественным К574УД1Б

или импортным LF357, конечно, с учетом иной цоколевки этих ОУ.

Катушку индуктивности L1 наматывают на отрезке пластмассовой трубки внешним диаметром 7 мм. Катушка содержит два слоя витков провода ПЭВ-2 диаметром 0,8 мм. Первый слой содержит 11 витков, второй — 10.

В источнике питания (см. рис. 4) автор использовал имевшийся в наличии трансформатор мощностью 120 Вт с ленточным стержневым магнитопроводом и

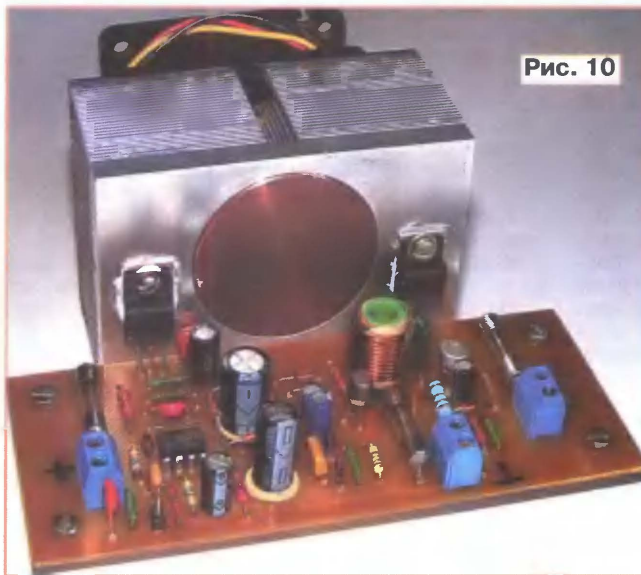


Рис. 10

четырьмя вторичными обмотками с напряжением по 18 В, которые были соединены последовательно для получения напряжения 2×36 В. Выпрямительные диоды VD1—VD4 могут быть D245, D246, D247 или другие с обратным напряжением не менее 200 В и выпрямленным током не менее 5 А. Все детали перед их установкой следует тщательно проверить. Как показывает опыт, время, затраченное на проверку, многократно окупается быстрым налаживанием УМЗЧ.

### Налаживание УМЗЧ

Налаживание усилителя заключается в установке тока покоя выходных транзисторов и проверке выходной мощности на частоте 1 кГц.

Первоначально следует установить движок резистора R18 в нижнее (по схеме) положение. Включить питание вентилятора. Включить УМЗЧ на пониженном напряжении +/−20 В от источника с ограничением тока нагрузки 1,5...2 А. Убедившись, что на выходе постоянная составляющая близка к нулю и УМЗЧ усиливает подаваемые на его вход сигналы, следует проверить работу резистора R18, с помощью которого устанавливается ток покоя. При перемещении движка вверх (по схеме) ток покоя должен плавно нарастать. Если результаты проверки положительные, можно увеличить напряжение питания до номинального значения и установить ток покоя выходных транзисторов.

На частоте 1 кГц была измерена зависимость полного коэффициента гармонических искажений от тока покоя

для выходной мощности УМЗЧ Р = 5 Вт, она показана в табл. 5.

Полученные данные свидетельствуют о целесообразности установки тока покоя в пределах 0,15...0,2 А. Установлено,

Таблица 5

| $I_0$ , А | 0,04 | 0,08 | 0,15 | 0,2  | 0,25  | 0,40   |
|-----------|------|------|------|------|-------|--------|
| $K_p$ , % | 0,15 | 0,1  | 0,06 | 0,05 | 0,044 | 0,0039 |

что по мере прогрева транзисторов IRFZ44 он возрастает. При использовании рекомендованного теплоотвода с вентилятором ток  $I_0$  возрастает не более чем на 20 %.

Для стабилизации тока покоя при изменении температуры выходных транзисторов резистор R14 можно заменить параллельно включенными терморезистором и обычным резистором, подобрав соотношение их номиналов так, чтобы ток покоя не зависел от температуры. Терморезистор следует прикрепить к теплоотводу мощных транзисторов.

Номинальную мощность усилителя проверяют на эквиваленте нагрузки сопротивлением 4 Ом (его мощность не менее 100 Вт). Подключив к эквиваленту нагрузки осциллограф и вольтметр, плавно увеличивают входное напряжение частотой 1 кГц с одновременным контролем формы выходного напряжения на экране осциллографа. Искажения должны отсутствовать при среднеквадратическом значении выходного напряжения, равном 15,5...16 В. Одновременно следует убедиться в увеличении числа оборотов вентилятора по мере возрастания выходного напряжения (и мощности) УМЗЧ.

Сравнительное прослушивание различных музыкальных программ производилось с использованием описанного УМЗЧ и лампового стереоусилителя мощности "Прибой УМ-50", а также акустической системы "Кливер" 150AC-009. Источником программ служил рекордер CDR2 HARMAN KARDON. Слушателям сообщался лишь условный номер сравниваемых усилителей. Было отмечено, что предложенный усилитель не привносит окраски звучания. Для него характерны прозрачные "верха", ясная "середина" и точные "низы". Интересно, что более "глубокий" бас был отмечен для лампового усилителя, хотя его АЧХ в области НЧ на малом сигнале (Р = 1 Вт) равномерна. Видимо, нелинейные искажения в выходном трансформаторе, замеченные в области частот ниже 55 Гц на больших уровнях сигналов, создают эффект "искусственного баса" [8].

### ЛИТЕРАТУРА

6. Электронные измерительные приборы. Каталог. — Москва. В/О "Машприборинторг". 1991.
7. CDR 2 CD Recorder. Owners manual. Harman Kardon. 1999.
8. Шихатов А. MaxxBass 103. — Мастер 12 вольт, 2005, май-июнь, с. 54—58.

Редактор — А. Соколов, графика — Ю. Андреев, иллюстрации — автора

# НОВОСТИ ВЕЩАНИЯ

П. МИХАЙЛОВ (RV3ACC), г. Москва

## РАДИОВЕЩАНИЕ

### РОССИЯ

**МОСКВА.** Госкомиссия по радиочастотам разрешила проведение в опытных зонах испытаний технологии цифрового радиовещания стандарта DRM в диапазоне 3,95...26,1 МГц. Апробирование технологии DRM было начато в 2006 г., однако затем эти работы были прекращены. Теперь решено продолжить эти исследования в опытных зонах DRM. Для России перевод AM вещания в цифровой формат особенно важен, учитывая большую площадь территории страны, радиопокрытие которой с помощью УКВ проблематичнее, чем посредством КВ.

На частоте 94,4 МГц началось регулярное вещание радиостанции "Лорнет". Передаются музыкальные (разных жанров), литературно-художественные и просветительские программы, которые удачно дополняют работу радиостанций "Культура" и "Орфей".

**МОСКОВСКАЯ ОБЛ.** По данным <[www.radio.mosreg.ru](http://www.radio.mosreg.ru)>, в Московской области работают 52 редакции радиовещания: государственная — ГТРК "РТВ-Подмосковье" с входящими в нее 40 филиалами, 4 муниципальных и 7 частных. Вещание "РТВ-Подмосковье" осуществляется через эфир в СВ диапазоне на частоте 846 кГц (112 ч в неделю), УКВ диапазоне — на частоте 66,44 МГц (28 ч в неделю) и по 1-й программе проводного радио. Проводное вещание охватывает 536 000 абонентов (порядка 1,5 млн слушателей). Эфирным вещанием охвачено до 8 млн человек. Программы "РТВ-Подмосковье" можно слушать в СВ диапазоне с понедельника по пятницу с 06.00 до 24.00; в субботу и воскресенье — с 09.00 до 20.00; в УКВ-диапазоне и по 1-й программе проводного радио — с понедельника по пятницу в 06.10—07.00; 11.10—12.00; 17.10—20.00; в субботу — в 15.10—16.00; 17.10—18.00; в воскресенье — в 13.10—14.00 (время везде указано местное).

**АЛТАЙСКИЙ КРАЙ, Бийск.** Здесь начали работу радиостанции "Шансон" на частоте 73,28 МГц и "Ретро FM" на частоте 103,7 МГц.

**АСТРАХАНЬ.** Местная музыкальная радиостанция "Позитив" начала вещание с 1 января 2009 г. на частоте 107,9 МГц.

**ВОРОНЕЖ.** С 1 января 2009 г. радиостанция "Дорожное радио" звучит в Воронеже на новой частоте — 106,8 МГц. В настоящее время радиостанция вещает в более чем 180 городах России, а также в Приднестровье.

Радиостанция "Маяк" в Воронеже отныне ретранслируется на частоте 105,7 МГц.

**КОМИ-ПЕРМЯЦКИЙ АВТОНОМНЫЙ ОКРУГ.** Начал работу первый в регионе радиовещательный передатчик диапазона УКВ-2 в г. Кудымкаре — столицы Коми-Пермяцкого автономного округа, входящего в состав Пермского

края. Он работает на частоте 100,9 МГц и принадлежит ОАО "Уралсвязьинформ". Транслируется программа "Радио Союз FM — Пермский край".

**САНКТ-ПЕТЕРБУРГ.** С 1 января 2009 г. на территории Санкт-Петербурга и близлежащей части Ленинградской области прекращена трансляция радиопрограммы "Маяк" в диапазоне УКВ на частоте 67,45 МГц. Передачи этой станции можно по-прежнему принимать с 06.00 до 01.00 на частотах 198 и 549 кГц, а также круглосуточно на частоте 107,0 МГц (в формате "Маяк FM") и по 2-му каналу проводной радиотрансляционной сети.

Возобновлена в прежнем объеме трансляция музыкальной радиостанции "Орфей" в средневолновом диапазоне на частоте 1125 кГц (с 06.00 до 24.00).

На частоте 100,9 МГц, где сейчас работает радиостанция "Петроград — Русский шансон", предполагается ретрансляция программ московской радиостанции "Добрые песни".

**ЧУВАШИЯ.** Правительство Чувашии приняло решение о создании автономного учреждения "Национальное радио Чувашии". Сегодня в Чувашии вещают десять радиостанций, но ни одна из них не охватывает 100 % населения — ни проводным, ни эфирным вещанием. Поэтому целью создания национального радио являются восстановление системы информационного обеспечения населения и создание единого информационного пространства на территории Чувашии, обеспечение конституционного права всех жителей республики на получение информации. Список телевизионных каналов и радиовещательных частот на территории Чувашии можно посмотреть на <<http://chuvashia.rtn.ru/info.asp?view=1079>>.

### ЗАРУБЕЖНЫЕ СТРАНЫ

**АЗЕРБАЙДЖАН.** Руководство радиостанции "Голос Америки" отреагировало на решение Нацсовета по телерадиовещанию о прекращении вещания зарубежных радиостанций в Азербайджане на частотах местных радиостанций. Отныне программы азербайджанской службы "Голос Америки" транслируются в 18.30—19.00 в диапазоне коротких волн на частотах 7435, 9625, 9805, 9885 и 12025 кГц. Радио- и телепрограммы этой службы теперь можно также слушать и смотреть через спутниковые телеканалы "New Skies", "Asiasat", "Hotbird", а также в Интернете.

**США.** После 59 лет вещания с 1 января 2009 г. радиостанция "Голос Америки" прекратила свою работу на коротких волнах на украинском языке. Остался только интернет-сайт с текстами и информационными видеороликами (в записи).

**ЧЕХИЯ.** Радиостанция "Свобода" на русском языке использует новую частоту — 7435 кГц (вместо 7305 кГц) для вещания в 17.00—18.00. Остальные частоты сохранились: 7220, 9520 и 9725 кГц.

Радиостанция "Свобода" ("Азатлыг") теперь вещает для Азербайджана в диапазоне коротких волн в 16.00—17.00 на частотах 7480 и 9485 кГц.

**ЭСТОНИЯ.** Радиостанция "Семейное радио" (г. Тарту), специализирующаяся на христианском вещании (частота 1035 кГц), меняет свое имя из-за постоянной путаницы с уже существующей под таким же названием радиостанцией WYFR ("Family Radio"). Новое название станции — "Radio Eli". Смена названия произойдет 1 июля 2009 г., и примерно с этого же времени станция предполагает повысить мощность передатчика до 200 кВт. Необходимые для этого документы уже оформлены.

### ТЕЛЕВИЗИОННОЕ ВЕЩАНИЕ

**МОСКВА.** Телекомпания "Рен ТВ" приглашает телезрителей на свой новый официальный сайт: <[www.ren-tv.com](http://www.ren-tv.com)>. Посетители обновленного сайта могут воспользоваться новыми мультимедийными сервисами. Главным новшеством стала возможность просмотра программы новостей "24" не только в виде текста, как было на прежнем сайте, но и в видеоверсии. Кроме того, сайт обновляется круглосуточно, т. е. практически в режиме реального времени. Сам сайт стал удобнее в использовании благодаря функциональному интерфейсу, понятному любому пользователю.

**ВОРОНЕЖ.** Для вещания программ московского телеканала "ТВЦ" в городе выделен в дециметровом диапазоне 25-й канал.

**МАРИЙ ЭЛ.** Жители Марий Эл получили возможность смотреть передачи общероссийского телевизионного канала "Петербург — Пятый канал". Он транслируется в дециметровом диапазоне на 39-м канале. В планах развития республиканского телевидения предусмотрено организовать вещание этого канала в г. Козьмодемьянске, в Советском и Звениговском районах.

**КАМЧАТКА.** Вышло в эфир Камчатское краевое телевидение. Вещание ведется в дециметровом диапазоне на частоте 35-го канала: в будни — в 20.15—23.15, в выходные дни — в 20.15—1.00 (по местному времени). Тематика Камчатского ТВ основывается исключительно на местном материале. В планах камчатских тележурналистов — увеличение объемов вещания.

**АЗЕРБАЙДЖАН.** В азербайджанском городе Шеки открылся новый телеканал "Kanal-S". Трансляция ведется по 18 часов в сутки в дециметровом диапазоне на 43-м канале. Планируется открыть свои телеканалы в Ширванском и в Шемахинском районах, а также в одном из районов Аранской экономической зоны. В ближайшее время начнут вещание еще два региональных телеканала — "Шеки ТВ" и "Евлах ТВ".

**ЭСТОНИЯ.** 19 января 2009 г. две крупнейшие кабельные компании Эстонии — "Starman" и "STV" — восстановили в своих сетях трансляции программ "Первого Балтийского канала" — "ПБК" (прибалтийский аналог "Первого" канала — "ОРТ").

**Хорошего приема и 73!**

Редактор — Е. Карнухов

# Частотомер — приставка к компьютеру

В. ПАВЛИК, станция Кагальницкая Ростовской обл.

**Предлагаемая приставка не требует отдельного источника питания, ее подключают к ПК и совместно с ним она выполняет функции частотомера с запоминанием результатов измерений. Автор разработал четыре схемных варианта данного устройства, которые позволят радиолюбителю выбрать один из них, исходя из требуемых параметров и наличия комплектующих элементов.**

Приставка имеет небольшие габариты, ее можно разместить в колпачке от маркера. В зависимости от примененных элементов она позволяет измерять частоту сигналов от десятков килогерц до сотен мегагерц. Особенностью является отсутствие в конструкции элементов питания и индикации. Питание приставки и обмен информацией происходит через игровой порт ПК, а результаты измерений отображаются на мониторе.

```

:020000020000FC
:0200000004C03A
:100008001EC00FED0BDF7894479AB89AB99AC09A56
:1000180012E020E0A0E0B0E070E004E009BF01E0F9
:1000280000BFD8E9C7E907E003BF0FE822B0F8DB48
:1000380078B771FFDFCF119618BFEA2F9CF219736
:1000480009F0189523BF52B708B701F03C0EA1794
:1000580009F4119618BF01E003BF09AC198200D07
:100068001FD01ED01D0C098C1981AD01D018D052
:1000780017D021D05A2F1FD05B2F1DD022BF2F8DE4
:1000880000FE03BF88949894A894A0E0B0E070E0BF
:1000980007E003BF88949894A894A0E0B0E070E0BF
:1000A8002242394239422B08B701FFDFCF18BF51
:1000B8002A94D1F7089568E0C19A50FDC09AF0DFC
:1000C800FDFEEDFEDDFC198C098EADFE9DFE8DFB8
:1000D800E7DF56956A9581F7089506E506E500E598
:0A00E80001E606E70CE609E609E606E668
:00000001FF
    
```

роллера DD1, в ее состав входит делитель частоты на шестнадцать на двоичном счетчике 1DD1 и усилитель входного сигнала на транзисторе 1VT1. Максимальная измеряемая частота — 128 МГц, это обусловлено тем, что микроконтроллер DD1 может корректно обрабатывать поступающий сигнал с частотой, в 2,5 раза меньше тактовой. Поэтому при тактовой частоте 20 МГц частота входного сигнала не должна превышать 8 МГц,

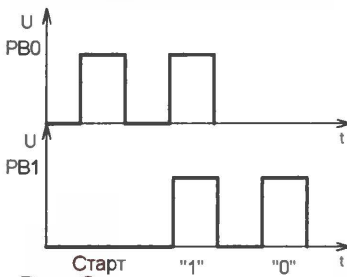


Рис. 2

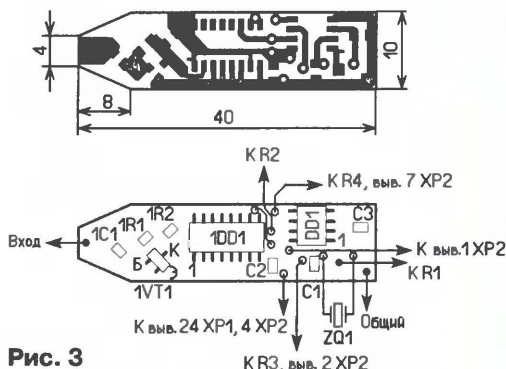


Рис. 3

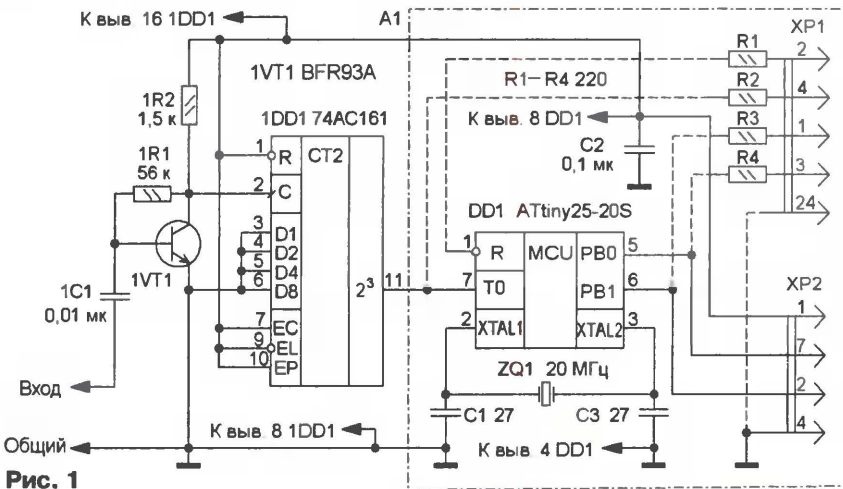


Рис. 1

Основой устройства является микроконтроллер ATtiny25-20 фирмы Atmel, работающий по программе, коды которой приведены в таблице. Он осуществляет счет импульсов, поступающих с делителя частоты, и передает результаты измерений на ПК. Выбор данного микроконтроллера обусловлен его малыми размерами, минимально необходимым числом линий ввода-вывода для реализации устройства и наличием в его составе двух таймеров-счетчиков для счета импульсов и формирования интервалов времени.

Схема первого варианта приставки показана на рис. 1. Кроме микроконтроллера

что при применении предварительного делителя на шестнадцать ограничивает максимальную входную частоту всего устройства указанным выше значением. Минимальная измеряемая частота зависит от емкости конденсатора 1C1 и составляет 20...30 кГц. Время измерения — 0,5 с, чувствительность частотомера — около 300 мВ.

Измеряемый сигнал усиливается транзистором 1T1 и поступает на счетный вход делителя частоты 1DD1, выполненного на высокоскоростной КМОП микросхеме 74AC161 (отечественный аналог К1554ИЕ10) — двоичном синхронном счетчике. С выхода 2<sup>3</sup> (вывод 11) микросхемы 1DD1 импульсный сигнал поступает на вход T0 (вывод 7) микросхемы DD1, который сконфигурирован как вход восьмиразрядного таймера-счетчика T0 микроконтроллера. Кварцевый резонатор ZQ1 определяет тактовую частоту. Интервалы времени

формирует второй восьмиразрядный таймер-счетчик микроконтроллера DD1. Результаты измерений передаются с линий портов PB0 и PB1 (выводы 5 и 6) на контакты 2 и 7 разъема XP2, который подключают к игровому порту ПК.

Признаком начала передачи данных является наличие высокого уровня на линии данных (PB0) и низкого уровня на линии тактирования (PB1) (рис. 2). Затем следуют 24 тактовых импульса и передаются 3 информационных байта. Первым передается младший бит младшего байта, последним — старший бит старшего байта.

Большинство примененных деталей — для поверхностного монтажа, их монтируют на печатной плате из односторонне фольгированного стеклотекстолита толщиной 0,5 мм, чертеж которой показан на рис. 3. Применены резисторы

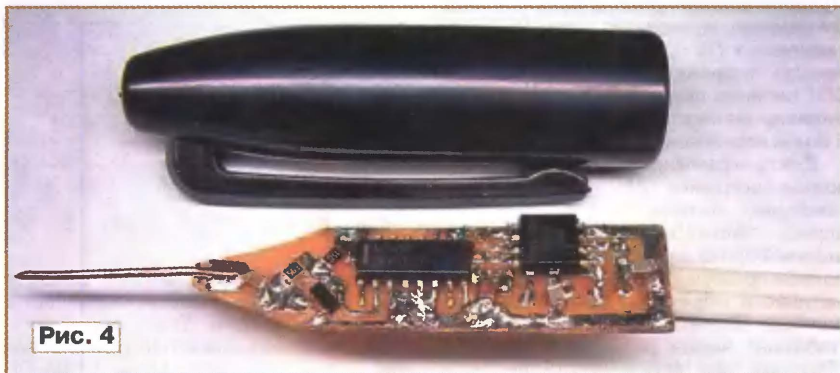


Рис. 4

## Fuse(low)

- ☒ CKSEL0  
☒ CKSEL1  
☒ CKSEL2  
☒ CKSEL3  
☐ SUT0  
☒ SUT1  
☒ CKOUT  
☒ CKDIV8

Read

Write

Рис. 5

PH1-12 типоразмера 1206 и керамические конденсаторы типоразмера 0805. Кварцевый резонатор — HC-49S, его вместе с проволочной перемычкой устанавливают на плате со стороны, свободной от фольги. Для пайки на жало паяльника была намотана медная без изоляции проволока диаметром 1,5 мм, конец которой заточен. В качестве входного щупа применен заостренный с одной стороны отрезок медной или латунной проволоки диаметром 1 мм и длиной около 15 мм, который припаивают к печатной площадке. С вилкой XP2 плату соединяют четырехжильным телефонным кабелем. Для соединения с контролируемым узлом к общему проводу припаивают отрезок провода с зажимом "крокодил". Внешний вид собранной платы показан на рис. 4.

Монтаж начинают с установки пассивных элементов и проволочной перемычки, затем — транзистора и микросхемы DD1 (микросхему 1DD1 пока не устанавливают). Микроконтроллер DD1 программируют через параллельный порт (LPT) ПК, подключение показано штриховыми линиями на рис. 1. Резисторы R1—R4 сопротивлением 100...300 Ом размещены непосредственно на вилке XP1, соединительные провода должны иметь минимально возможную длину. Все подключение к ПК производят при выключенном питании. На микроконтроллер DD1 питание подают от внешнего стабилизированного источника питания 5 В или игрового порта ПК.

Для программирования была использована программа UNIPROF (автор М. Л. Николаев), которую можно скачать по адресу: <http://avr.nikolaew.org/data/uniprof20jan6.zip>. Если монтаж выполнен правильно, то программа автоматически определит тип микроконтроллера. Сначала загружают HEX-файл (таблица) через разделы меню HEX (Загрузка Intel Hex) и Prog (Записать в

## Частотомер GP

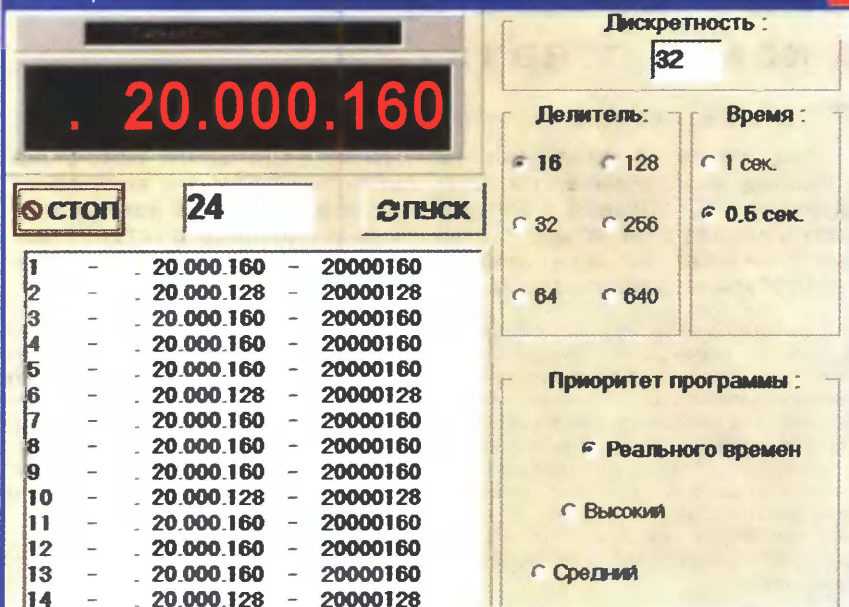


Рис. 6

Рис. 7

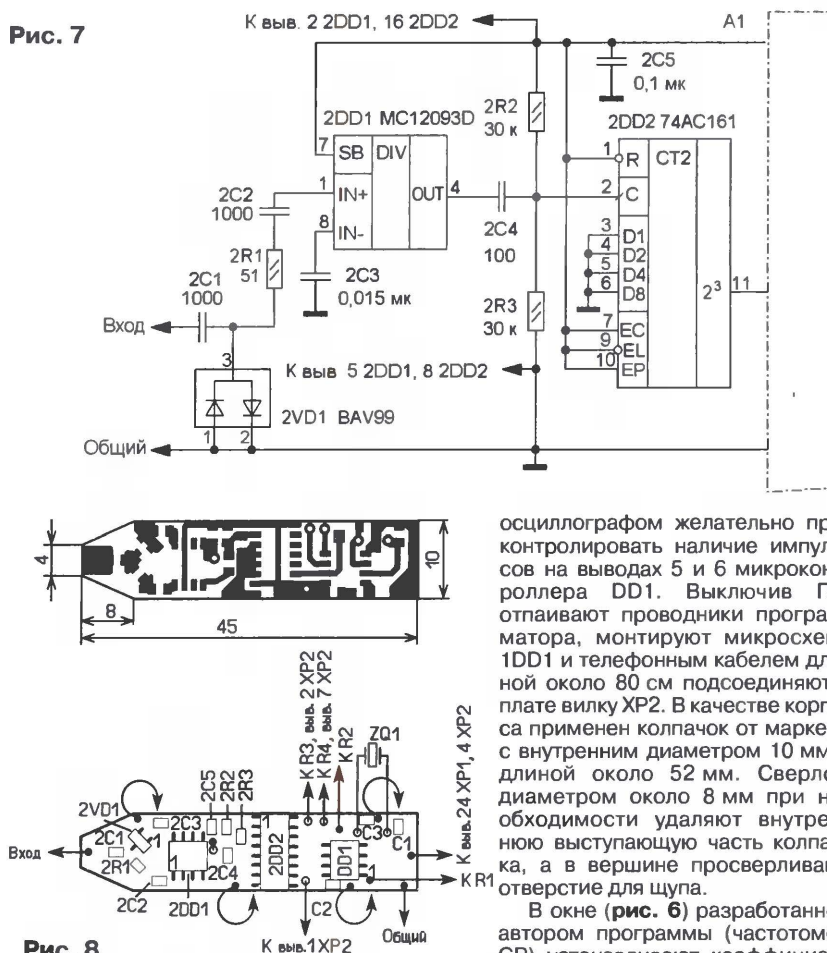


Рис. 8

микроконтроллер), а затем в разделе меню FUSE (Fuse, Lock) устанавливают конфигурацию (рис. 5).

После завершения программирования и закрытия программы UNIPROF

осциллографом желательно контролировать наличие импульсов на выводах 5 и 6 микроконтроллера DD1. Выключив ПК, отпаивают проводники программатора, монтируют микросхему 1DD1 и телефонным кабелем длиной около 80 см подсоединяют к плате вилку XP2. В качестве корпуса применен колпачок от маркера с внутренним диаметром 10 мм и длиной около 52 мм. Сверлом диаметром около 8 мм при необходимости удаляют внутреннюю выступающую часть колпачка, а в вершине просверливают отверстие для щупа.

В окне (рис. 6) разработанной автором программы (частотомер GP) устанавливают коэффициент деления делителя частоты 1DD1 и другие опции. Программа производит опрос игрового порта 201H ПК и после обнаружения начала передачи принимает 24 информационных разряда. По выбранному коэффициенту деления и

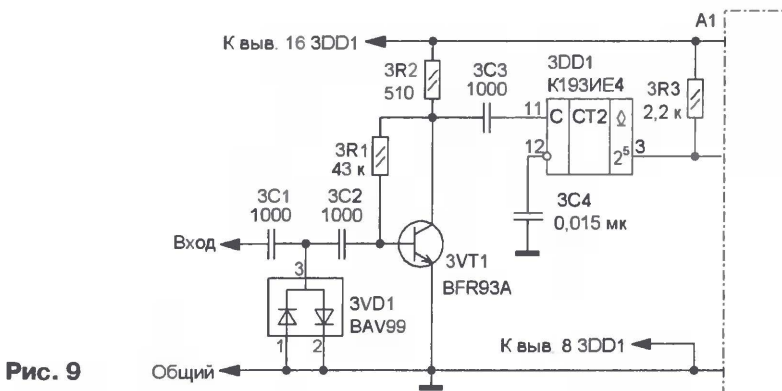


Рис. 9

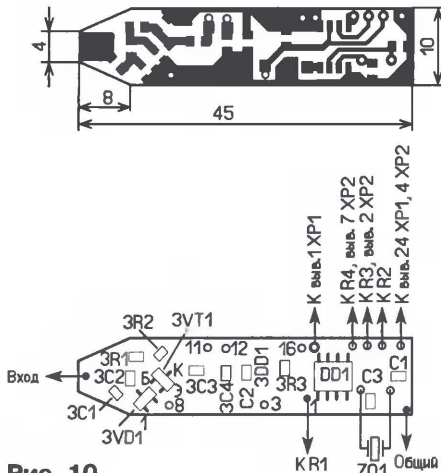


Рис. 10

интервалу времени вычисляется и отображается результат измерения. До двадцати результатов предыдущих измерений запоминаются и выводятся в окне программы, что позволяет проследить динамику изменения частоты.

Для работы программатора и программы частотомера под ОС Win2000 и WinXP необходимо наличие драйверов непосредственной работы с портами компьютера lptwdmio.sys и giveio.sys. Пользователь должен быть с правами Администратора. Для улучшения работы программе UNIPROF через Диспетчер задач можно установить приоритет "Выше среднего" или "Высокий". Возможность выбора приоритета в программе частотомера реализована программно.

Налаживание устройства проводят, подав на вход сигнал образцового генератора, например, с кварцевой стабилизацией частоты. Подбором конденсаторов C1 и C3 добиваются показаний, соответствующих подаваемой частоте. Чувствительность изменяют подборкой резистора 1R1.

Максимальную частоту измерений можно увеличить, применив дополнительный делитель частоты, например, микросхему MC12093 (делитель частоты на 8) фирмы ON Semiconductor. Максимальная измеряемая частота возрастет до 1024 МГц, а общий коэффициент деления составит 128. Схема такого варианта приставки показана на рис. 7. Схема включения делителя частоты MC12093 стандартная, для ее защиты от перегрузки по входу установлен ограничитель напряжения на диодной

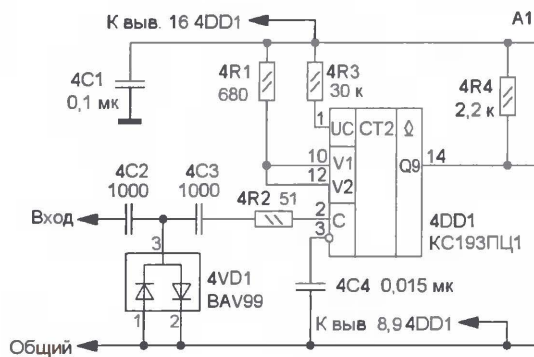


Рис. 11

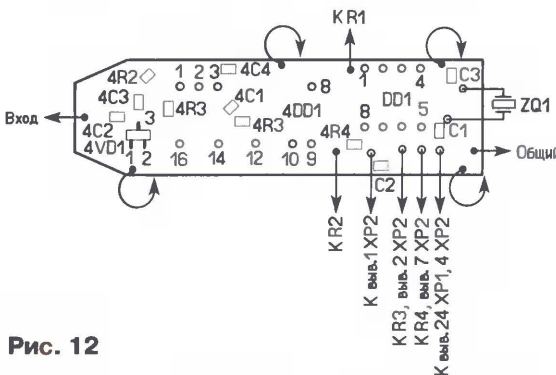
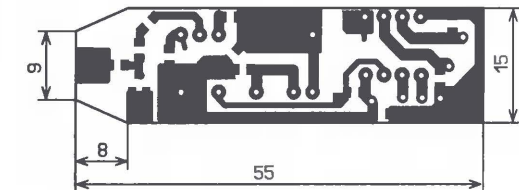


Рис. 12

сборке 2VD1. Делитель напряжения на резисторах 2R2 и 2R3 служит для согласования уровней выходного сигнала делителя частоты 2DD1 и счетчика 2DD2.

Размеры печатной платы для этого варианта приставки увеличатся незначительно (рис. 8), но делают ее из двусторонне фольгированного стеклотекстолита толщиной 1 мм, причем вторая сторона платы (на рис. 8 не показана) оставлена металлизированной и соединена в нескольких местах с общим проводом на другой стороне полосками медной фольги и отрезком медной проволоки через отверстие у вывода 5 микросхемы 2DD1. Применены аналогичные детали, они все, кроме кварцевого

резонатора, размещены на первой стороне платы. Для пропуска выводов кварцевого резонатора и соединительных проводов отверстия на второй стороне раззенкованы сверлом диаметром 4...5 мм на глубину около 0,5 мм. Сборку и наладивание выполняют, как описано выше. Микроконтроллер "прошивают" до установки микросхем 2DD1 и 2DD2.

Применив делитель частоты K193IE4, можно получить верхнюю границу диапазона рабочих частот около 200 МГц. Эта микросхема потребляет относительно небольшой ток — 14 мА и имеет выход с ТТЛ уровнями, что облегчает ее подключение к микроконтроллеру. Схема устройства с этой микросхе-

мой показана на рис. 9. Габаритные размеры при этом не изменяются. Все детали монтируют на плате из односторонне фольгированного стеклотекстолита толщиной 0,5 мм, чертеж которой показан на рис. 10. Микросхема делителя частоты (ее неиспользуемые выводы укорачивают) и кварцевый резонатор устанавливают со стороны, свободной от фольги. "Прошивку" микроконтроллера проводят без установленной микросхемы 3DD1 и резистора 3R3.

Можно применить отечественный делитель частоты KC193ПЦ1 с программируемым коэффициентом деления (640/704). Высокая чувствительность этой микросхемы (30 мВ) позволяет исключить усилительный каскад на транзисторе (рис. 11). Коэффициент деления 640 выбран подачей высокого уровня на управляющие входы V1 и V2 (выходы 10 и 12). Макси-

мальная измеряемая частота достигает 1 ГГц, однако потребляемый ток достаточно велик — более 100 мА, и микросхема делителя частоты 4DD1 сильно нагревается. Чтобы исключить бесполезный расход электроэнергии, в линию питания можно установить выключатель, подавая на устройство питающее напряжение только на время проведения измерений.

Печатная плата (рис. 12) выполнена из двусторонне фольгированного стеклотекстолита толщиной 1 мм. Вторая сторона (на рис. 12 не показана) оставлена металлизированной и соединена в нескольких местах с общим проводом на первой стороне полосками медной фоль-

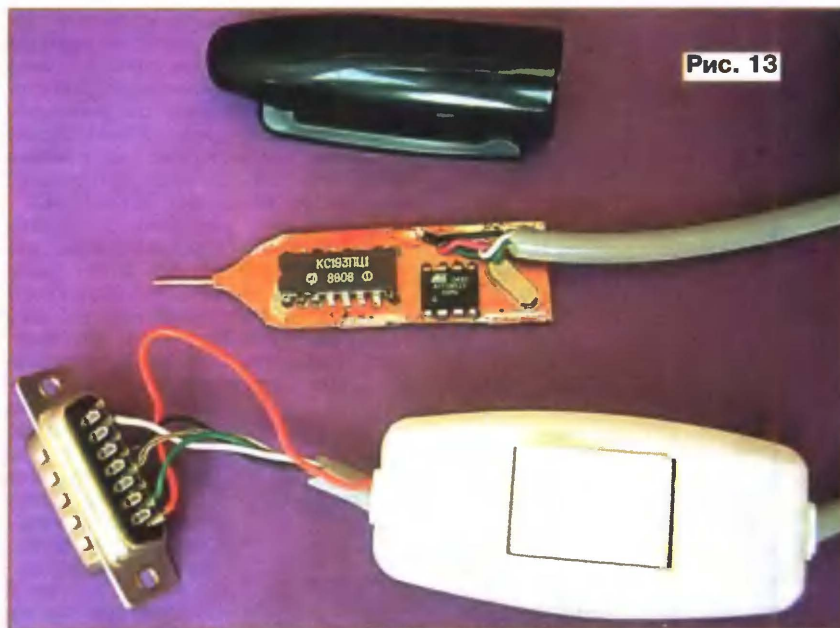


Рис. 13

ги. На второй стороне фольга вокруг отверстий удалена, неиспользуемые выводы микросхемы делителя частоты укорочены (рис. 13). Соединительные провода, кварцевый резонатор, делитель частоты и микроконтроллер расположены на второй стороне. Программируют микроконтроллер до установки микросхемы 4DD1 и резистора 4R4.

**От редакции.** Программное обеспечение частотомера находится на нашем FTP-сервере по адресу <ftp://ftp.radio.ru/pub/2009/03/fcom.zip>.

Редактор — И. Нечаяев, графика — И. Нечаяев, фото — автора

### МОДУЛЬНАЯ РЕКЛАМА

#### ИЗГОТОВИТЕЛЬ ПРЕДЛАГАЕТ:

— трансляционные усилители серии РУШ;  
— громкоговорители: настенные, потолочные, рупорные.  
Подробности на [www.ruston.ru](http://www.ruston.ru)  
Тел. (495) 942-79-17.  
E-mail: [sale@ruston.ru](mailto:sale@ruston.ru).

## О настройке тактового RC-генератора, встроенного в МК PIC12F629 и PIC12F675

А. ДОЛГИЙ, г. Москва

**Налаживая один из приборов на микроконтроллере (МК) PIC12F675, работающем от встроенного тактового RC-генератора, автор неожиданно для себя обнаружил, что длительность формируемых генератором интервалов времени существенно отличается от требуемых значений. И это несмотря на то, что в программе МК были предусмотрены все рекомендуемые изготовителем операции по точной установке частоты генератора с использованием хранящейся в памяти МК заводской калибровочной константы. Этот казус заставил заняться исследованием характеристик генератора. О результатах проделанной работы рассказывается в статье.**

Для начала напомним, что установка частоты встроенного RC-генератора в восьмивыводных МК PIC12F629 и PIC12F675 (последний отличается лишь наличием встроенного АЦП) производится записью соответствующей константы в регистр OSCCAL, находящийся по адресу 90H. Это восьмиразрядный регистр, но два его младших двоичных разряда не используются, в них всегда нули. Таким образом, значение настроечной константы может находиться в интервале 0—252 (0—0FCH), изменяясь шагами по четыре единицы.

При включении питания МК или после подачи на него сигнала начальной установки регистр OSCCAL получает значение 128 (80H), что соответствует середине интервала перестройки генератора, однако никаких конкретных значений его частоты при такой настройке в документации на МК не приведено. Отсутствует в ней и зависимость частоты RC-генератора от записанного в упомянутый регистр значения. Сказано лишь, что отклонение калиброванного значения частоты от рав-

ного 4 МГц номинала при различных значениях напряжения питания не превышает  $\pm 1$ ,  $\pm 2$  или  $\pm 5$  % в зависимости от рабочего интервала температуры.

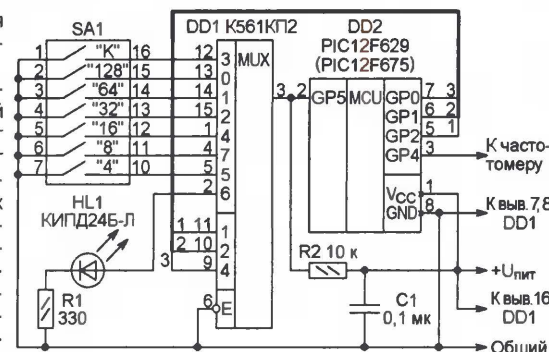
Для того чтобы пользователь мог установить номинальную частоту с указанной точностью, в последнюю (адрес 3FFH) ячейку памяти программ МК рассматриваемых типов на заводе-изготовителе заносят своеобразную подпро-

грамму из единственной команды RETLW K, где K — число, которое необходимо записать в регистр OSCCAL данного экземпляра для настройки его генератора на номинальную частоту. Подпрограмма возвращает это число в регистре W. Чтобы воспользоваться им, в программу обычно включают следующий фрагмент:

```
BSF    STATUS, RP0
CALL   3FFH
MOVWF  OSCCAL
BCF    STATUS, RP0
```

К сожалению, некоторые радиолюбители, не зная о находящейся в программной памяти МК команде с настроечной константой, по неосторожности стирают ее при записи в память новой программы. Это может привести к "зацикливанию" МК. Если в программе имеется команда CALL 3FFH, то, выполняя ее, он не найдет по указанному адресу команды возврата из подпрограммы, затем прибавит к счетчику команд единицу и в результате переполнения счетчика перейдет от последней ячейки памяти к ее начальной (нулевой). Выполнение программы начнется заново, как после включения питания. Цикл от нулевой ячейки до команды CALL 3FFH станет повторяться бесконечно, а команды, находящиеся за его пределами, не будут выполнены никогда. Чтобы избежать этого, достаточно по адресу 3FFH вместо случайно стертой команды записать команду RETLW с любым значением операнда, например 80H. Шестнадцатичный код такой команды — 3480H. Это приведет к некоторому отклонению тактовой частоты МК от номинальной, но в остальном работоспособность программы будет восстановлена.

Все сказанное выше относится и к настройке внутренних тактовых RC-генераторов 14-выводных МК PIC16F630 и PIC16F676.



```

:100000001528FF3FFF3FFF3F023003138312D80041
:10001000FF30DA00D80B0D281028DA0B0D280A2838
:100020004A30DA00DA0B122808000030031A0130D7
:1000300003138312D1005108013A031D2428FF2322
:10004000A100FF30A0002728A001FF30A10064001C
:10005000073099008316951620308500A201A30170
:1000600005308312850004200030851A0130D1004C
:100070005108003A031D3D28231507308500042050
:100080000030851A0130D1005108003A031D9287B
:10009000A130130850004200030851A0130D100FD
:1000A0005108003A031D552823160230850004200C
:1000B0000030851A0130D1005108003A031D612833
:1000C000A1360430850004200030851A0130D100C9
:1000D0005108003A031D6D282317850104200030C4
:1000E000851A0130D1005108003A031D7828A31762
:1000F0000630850004200030851A0130D1005108F7
:10010000003AFF30031D0030D0002008D00503194D
:100110008D28210883169000952803138316230841
:1001200010060319952823089000033083128500D8
:1001300023082106031D9E28A209A0282008A2004A
:1001400022080319A62823308500A828033085003B
:10015000831685120130A40024080A3C031CC6281B
:1001600064001A30D800FF30DA00D80B8828B82854
:10017000DA0B8828B828E730DA00DA0B8D28000022
:1001800024080A3A0319C628A40AAC2885162F2881
:10019000C828FF3FFF3FFF3FFF3FFF3FFF3FBD
:02400E00D3F94
:00000001FF

```

код, при котором вывод 2 микросхемы DD1 соединен с выводом 3 (коммутирующие элементы этой микросхемы — двунаправленные). Вывод 2 DD2 временно перепрограммируется в режим выхода. Светодиод будет включен, если константа в памяти МК есть, и выключен, если она отсутствует. Про совпадении константы в памяти со значением, заданным переключателем SA1, светодиод мигает.

Описанное устройство было смонтировано на макетной плате (рис. 2), однако можно собрать его и на печатной, изготовленной в соответствии с рис. 3 (она рассчитана на применение резисторов МЛТ и керамического конденсатора для поверхностного монтажа типоразмера 1206).

Теперь о результатах измерений. Зависимости частоты встроенного тактового RC-генератора для нескольких экземпляров МК

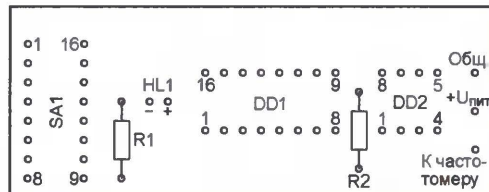
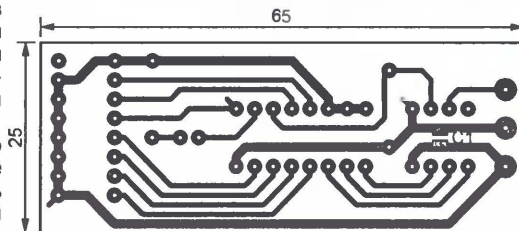


Рис. 2

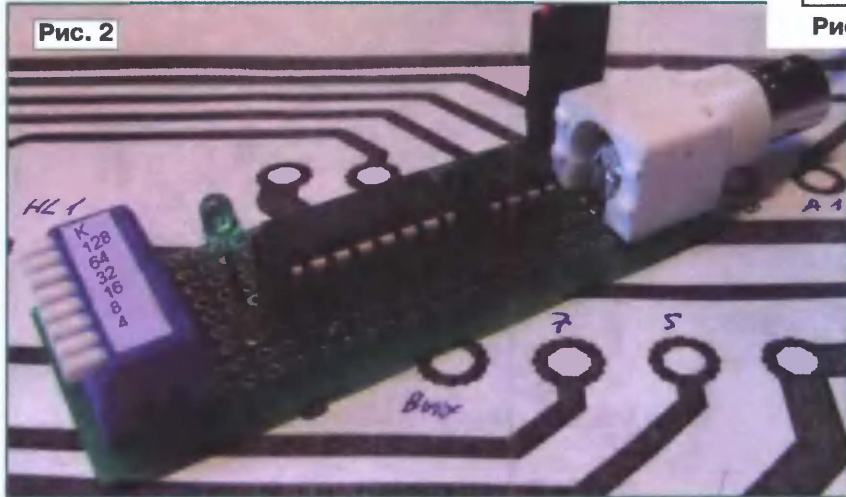


Рис. 3

что спектр сигнала генератора очень "грязный", чистого тона биений в режиме SSB не было. Вокруг мощной основной составляющей спектра прослушивалось множество более слабых боковых, следующих с интервалами в несколько десятков кГц.

Диапазон перестройки частоты тактового генератора оказался довольно широким (коэффициент перекрытия по частоте — 1,6...1,8), а ее среднее значение (при K=128) лежит в пределах 3,6...5,2 МГц. При каждом изменении константы на четыре единицы частота изменяется в среднем на 32 кГц, что немногим менее 1 % номинала. Однако в отдельных точках из-за погрешности, присущей преобразователю код—частота

Для исследования характеристик встроенного RC-генератора МК было изготовлено устройство, схема которого показана на рис. 1. При необходимости оно поможет и определить правильное значение константы, записываемой в регистр OSCAL.

Частоту встроенного RC-генератора измеряют частотомером, подключив его к выводу 3 МК DD2 и общему проводу. Следует, однако, иметь в виду, что частота импульсов на этом выводе и, следовательно, показания прибора в четыре раза ниже фактической тактовой частоты.

Работая по программе, коды которой приведены в таблице, МК DD2 с помощью селектора-мультиплексора DD1 периодически определяет состояние контактных групп DIP-переключателя SA1, формирует соответствующий код и записывает его в регистр OSCAL. "Вес" каждой пары контактов переключателя указан на схеме рядом с ней. Значение константы равно сумме "весов" замкнутых контактов. При замкнутых контактах "К" в регистр записывается константа из ячейки 3FFH памяти МК, если она там имеется.

Светодиод HL1 сигнализирует о наличии калибровочной константы в памяти МК. Для этого в промежутках между циклами считывания состояния переключателя SA1 на выводах 5—7 DD2 устанавливается



Рис. 4

PIC12F675 представлены на рис. 4. Наибольшими окружностями на них отмечены точки, соответствующие "заводским" значениям калибровочной константы. К удивлению, при нормальной комнатной температуре (около +25 °C) соответствующая им частота оказалась, хотя и одинаковой, но на 7...8 % выше номинальной 4 МГц (приблизительно 4,3 МГц). Причину такого несоответствия установить, к сожалению, пока не удалось, хотя именно для подтверждения этого факта были исследованы МК, выпущенные в разные годы (2002—2008) и приобретенные в разных торговых фирмах.

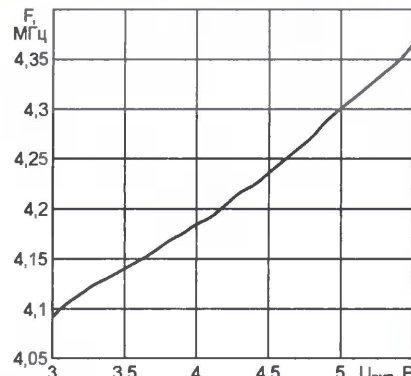


Рис. 5

та МК, шаг перестройки может достигать значений, вдвое больших или меньших среднего.

Основная серия измерений выполнена при напряжении питания 5,1 В. Но была исследована и зависимость частоты от напряжения питания, показанная на рис. 5. При напряжении менее 3 В колебания срывались. Отмечено также влияние нагрузки выходов МК на частоту. Например, включение и выключение светодиода HL1 приводило к изменению тактовой частоты почти на 20 кГц.

# О ремонте и эксплуатации струйного принтера

А. ЗЫЗЮК, г. Луцк, Украина

**При ремонте компьютерной техники, в том числе принтеров, большие сложности создает отсутствие доступных широкому кругу пользователей описаний и инструкций. Разбираться в устройстве аппарата приходится по ходу ремонта. Публикуемая статья частично восполняет этот пробел в части особенностей ремонта цветного струйного принтера hp3550.**

Струйные принтеры привлекают покупателя своей дешевизной при довольно высоких технических параметрах. Но дело в том, что их производители предпочитают получать основную часть прибыли от продажи сменных чернильных картриджей, устанавливая на них непомерно высокие цены. Три-

ющихся внутри чернил не поддается оценке "на глаз". Если новый картридж "фирменный", в нем имеется устройство, по сигналам которого на экран монитора компьютера выводятся сообщения о запасе чернил или его исчерпании. В перезаправленном картридже этот механизм уже не действует.

ся, нагревательные элементы внутри картриджа продолжают работать не в жидкой, а в воздушной среде. В результате перегрева детали деформируются, и он окончательно выйдет из строя. Поэтому не стоит "выжимать" из картриджа все до последней капли. Как только в выводимом тексте обнаружатся пропуски, оптическая плотность печатаемого изображения станет неравномерной или просто недостаточной, принтер необходимо немедленно остановить и заменить новыми или перезаправить его картриджи.

Утверждения, что картриджи можно заправлять многократно, не имеют веских оснований. На деле это удастся сделать считанное число раз, после чего картридж оказывается совершенно неработоспособным. Существует, конечно, ряд методик, позволяющих его восстановить. Но для этого требуется разбирать картридж и вновь собирать



Рис. 1



Рис. 2



Рис. 3

четыре новых картриджа стоят столько же, сколько новый принтер, в котором находятся и два новеньких картриджа.

Очевидно, проблема восстановления использованных картриджей не менее актуальна, чем ремонт самих принтеров. Поскольку далеко не все картриджи и не у всех принтеров можно повторно заправлять, следует заранее узнавать о такой возможности для приобретаемого принтера.

В цветном струйном принтере hp3550 установлены два картриджа: черный (№ 27) и цветной (№ 28). Они показаны на рис. 1. Одной заправки черного картриджа хватает не более чем на несколько сотен страниц. Для сравнения, картриджи лазерных принтеров обеспечивают печать нескольких тысяч страниц на одной заправке.

Черный картридж всегда дешевле и проще в обслуживании, чем цветной. Примечательно, что после изъятия неисправного (например, высохшего) цветного картриджа принтер сохраняет способность черно-белой печати. Естественно, если черный картридж исправен. Весьма интересно и то, что черно-белая печать возможна при неисправном черном, но исправном цветном картридже.

Корпусы картриджей, как правило, непрозрачны. Поэтому количество име-

Приходится мириться с тем, что при вполне нормально работающем принтере сообщения об отсутствии чернил постоянно появляются на экране.

Опасность состоит в том, что когда чернила действительно закончат-

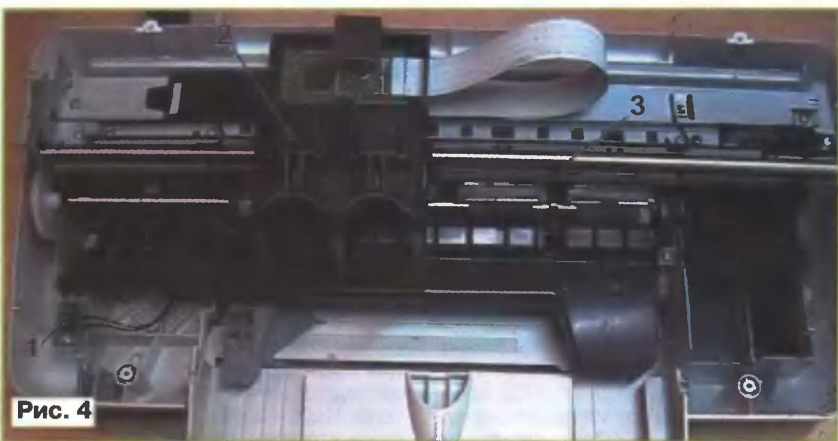


Рис. 4

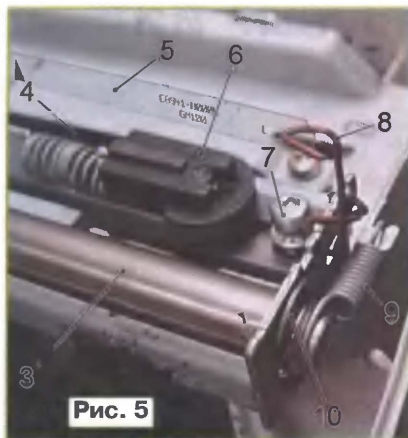


Рис. 5



Рис. 6



Рис. 7

ступайте к его перезаправке как можно скорее.

Кстати, засыхание чернил в соплах — частая причина отказа картриджа с вполне достаточным их количеством после длительного "простоя" принтера. Восстановить такой картридж практически невозможно. Во избежание этого

нельзя. Иглу вставляют не на всю глубину картриджа, а только до половины или чуть глубже. Иначе можно повредить внутреннюю "начинку". Опыт в заправке нужно иметь свой, персональный, но автор надеется, что приведенная информация облегчит труд читателям.

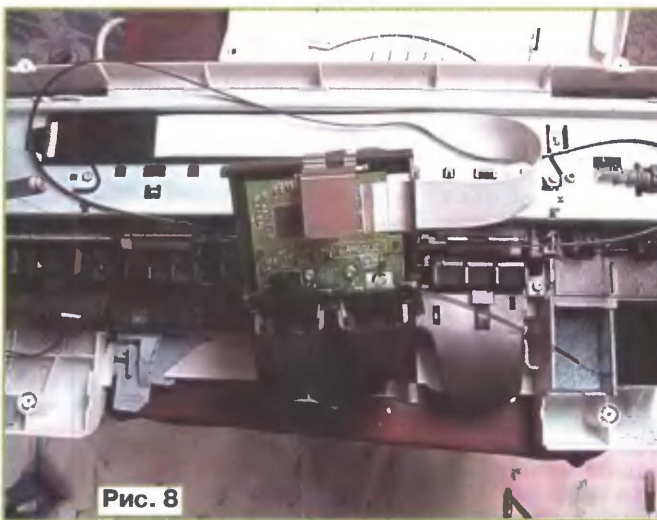


Рис. 8

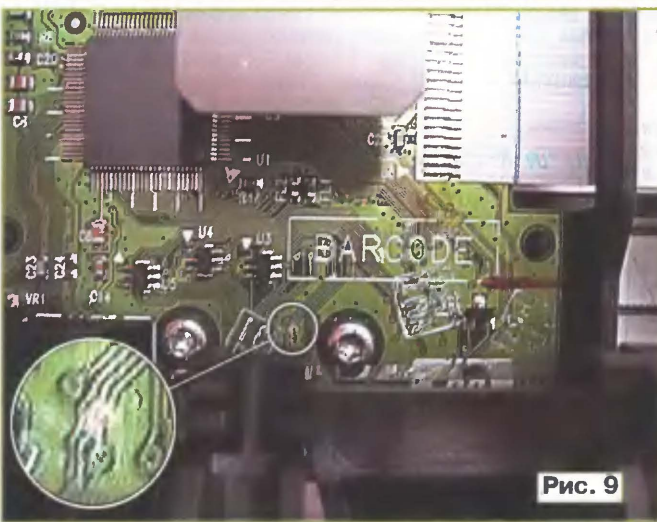


Рис. 9

Извлекать картриджи из принтера приходится не только для их замены или заправки. Иногда нарушается электрическое соединение между контактными площадками картриджа (они видны на рис. 2) и полукруглыми контактами подвижной каретки принтера (рис. 3). В картридже, изображенном на рис. 2 справа, контактные площадки были залиты чернилами, потребовалась их чистка. Вообще, с контактами следует обращаться бережно. Не стоит, например, касаться их руками, чтобы не оставлять жирных пятен на контактирующих поверхностях.

Если замена картриджей не дает результата, причина неработоспособности принтера, скорее всего, лежит внутри него самого.

его, что отнимет массу времени. Причем нет никакой гарантии, что результат будет положительным. Поэтому далее рассмотрены лишь самые простые варианты заправки и восстановления картриджей № 27 и 28.

Типовая заправка выполняется в три приема. Первый — промывка картриджа дистиллированной водой. Второй — промывка специальной очищающей жидкостью. И наконец, собственно заправка чернилами. Работать нужно в резиновых перчатках.

Из практики известно, что чаще всего удается восстановить работу картриджа, только если он недолго оставался в бездействии. Когда с момента окончания чернил предыдущей заправки прошло много времени и их остатки в соплах картриджа засохли, новая заправка становится бесполезной. Поэтому, не откладывая использованный картридж в "долгий ящик", при-

на струйном принтере необходимо печатать одну-две страницы хотя бы раз в неделю. При этом автоматически выполняется стандартная процедура очистки сопел.

Многое зависит от типа и качества чернил. Плохие засоряют картридж. Как правило, чем дешевле флакон чернил, тем они хуже. Иногда вместе с чернилами предлагают так называемую "заправочную станцию". Под громким названием скрываются одноразовый шприц и конструкция из пластмассы, в которую вставляют картридж. Затем с ним проделывают то же самое, что и без станции... Так что вряд ли целесообразно приобретать эту станцию по цене половины картриджа. Достаточно иметь шприц.

Для заправки используют иглу с притупленным концом. Ее вставляют в заправочное отверстие картриджа. У цветного их три — по одному для чернил каждого цвета. Путать чернила

Мне попался принтер hp3550, у которого не работал цветной картридж, о чем на экран монитора компьютера постоянно выводились сообщения. В то же время проверка картриджа на однотипном заведомо исправном принтере показала, что он прекрасно работает. Значит, неисправен все-таки принтер.

В сервисных центрах от ремонта струйных принтеров, у которых истек гарантийный срок, обычно отказываются или делают его весьма неохотно и без гарантии результата. Поэтому приходится пытаться восстановить такой принтер самостоятельно.

На фото рис. 4 принтер показан без верхней крышки корпуса. В более крупном масштабе правая часть его механизма изображена на рис. 5. Чтобы снять крышку, пришлось отвинтить четыре "хитрых" винта, для которых необходима отвертка специальной шестигранной формы. Ее придется поиск-

кать, в большинстве имеющихся в широкой продаже наборов инструментов такой, к сожалению, нет. Отвертка пригодится и для дальнейшей разборки принтера.

Учтите, даже полностью исправный принтер при открытой или снятой верхней крышке не станет печатать, а его каретка не будет перемещаться, если не зафиксировать в нажатом состоянии блокировочный микровыключатель 1 (рис. 6).

Чтобы снять с направляющей 3 каретку 2, в которой установлены картриджи, прежде всего, следует отвинтить винт 7. Только после этого можно будет отодвинуть пластмассовый фиксатор 6 и ослабить натяжение зубчатого ремня 4, приводящего в движение каретку. Не сделав этого, ремень снимать не следует, его можно повредить или вообще разорвать.

Требуется особая осторожность в обращении с полупрозрачной лентой 5, на которую нанесены специальные знаки для позиционирования каретки. Ее нельзя сильно растягивать, но необходимо обеспечить умеренно натянутое состояние при отсутствии провисания. При одной из разборок принтера деталь, крепящая ленту 5 с правой стороны, сломалась. К сожалению, запасной найти не удалось, взамен нее была установлена самодельная деталь 8 из медной проволоки диаметром 1 мм. Замена оказалась успешной.

Прежде чем снимать каретку 2 с направляющей 3, необходимо удалить две пружины 9 (с левой и правой сторон направляющей) и фиксирующую шайбу 10 с одной (левой) стороны. Снятые детали показаны на рис. 7. Теперь направляющую можно вращательно-поступательными движениями выдвинуть вправо, освобождая каретку. Обратите внимание, на тыльной стороне каретки имеется выступ, который при установке ее на место после ремонта должен оказаться ниже имеющегося на корпусе принтера металлического ребра жесткости. Иначе ее придется снимать и устанавливать повторно.

Каретка, снятая с направляющей, изображена на рис. 8. В ней имеется электронный блок, в котором и была найдена неисправность. Оказались поврежденными несколько печатных проводников. На рис. 9 место повреждения показано крупным планом. Чтобы снять плату для ремонта, пришлось отвинтить два находящихся рядом с этим местом винта.

Подобные дефекты бывает очень трудно найти, не менее трудоемким оказывается и процесс их устранения. Сложно не только рассмотреть поврежденные участки фольги, но и восстановить их. Без хорошей лупы и надежного паяльного инструмента здесь не обойтись. Пайка в таких ситуациях едва ли не ювелирная... Тем не менее после сращивания разорванных печатных проводников работу принтера с цветным картриджем удалось полностью восстановить.

Редактор — А. Долгий, иллюстрации — втора

## Усовершенствованный ИИП в спичечной коробке

Е. МОСКАТОВ, г. Таганрог Ростовской обл.

**В статье описан простой стабилизированный импульсный источник питания (ИИП), который можно разместить в корпусе размерами со спичечный коробок. Устройство отличается повышенной удельной мощностью, хорошей повторяемостью и не боится перегрузок по току.**

Описания миниатюрных ИИП неоднократно были опубликованы на страницах журнала "Радио". Как правило, это — устройства с небольшой выходной мощностью. Один из таких ИИП [1] отдавал в нагрузку мощность до 0,63 Вт, являясь при этом одним из самых мощных источников среди тех, что помещались в спичечный коробок или в габариты батареи "Крона" [2]. Кроме того, эти источники обладали малым КПД, обычно не превышающим 35 %. Предлагаемый обратнокордовый ИИП также можно поместить в спичечный коробок, но его выходная мощность в 15 раз, а КПД в 2,5 раза больше, чем у аналога [1]. Достичь столь высоких энергетических показателей удалось благодаря применению стабилизированной микросхемы TNY255P семейства TinySwitch фирмы Power integrations [3, с. 479, 480]. ИИП стабилизирует выходное напряжение, обладает защитой от перегрузки и короткого замыкания в нагрузке путем пропускания импульсов, а используемая микросхема содержит узлы защиты от перегрева. Более подробную информацию о параметрах и характеристиках этой микросхемы TNY255P можно получить на сайте [4].

### Основные технические характеристики

|   |                |
|---|----------------|
| Напряжение питающей сети переменного тока, В                | ....220±20%    |
| Частота питающего напряжения, Гц                            | .....40...400  |
| Потребляемая мощность при отсутствии нагрузки, Вт, не более | .....0,31      |
| Частота преобразования, кГц                                 | .....115...140 |
| Номинальное выходное напряжение, В                          | .....9         |
| Максимальная выходная мощность, Вт                          | .....10        |
| Максимальный КПД, %   | .....88        |
| Удельная мощность, Вт/дм <sup>3</sup>                       | .....300       |
| Масса (без корпуса), г, не более                            | .....28        |

Схема ИИП показана на рис. 1. Предохранитель FU1 защищает элементы от аварийных ситуаций. Терморезистор RK1 ограничивает импульс зарядного тока конденсатора C2 до безопасного для диодного моста VD1 значения, а совместно с конденсатором C1 образует RC-фильтр, служащий для уменьшения импульсных помех, проникающих из ИИП в сеть. Диодный мост VD1 выпрямляет сетевое напряжение,

конденсатор C2 — сглаживающий. Выбросы напряжения первичной обмотки трансформатора T1 уменьшает демпфирующая цепь R1C5VD2. Конденсатор C4 является фильтром питания, от которого запитаны внутренние элементы микросхемы DA1, его номинальная емкость может быть в пределах 0,1...4,7 мкФ.

Выходной выпрямитель собран на диоде Шотки VD3, пульсации выходного напряжения сглаживает LC-фильтр C6C7L1C8. Элементы R2, R3, VD4 и U1 обеспечивают совместно с микросхемой DA1 стабилизацию выходного напряжения при изменении тока нагрузки и сетевого напряжения. Цепь индикации включения выполнена на светодиоде HL1 и токоограничивающем резисторе R4.

Применены постоянные резисторы МЛТ, С2-23, Р1-4, подстроечный — 3329Н-1 фирмы Bourns или отечественный аналог СПЗ-19а, оксидные конденсаторы — импортные, С1, С3 и С5 — керамические высоковольтные CD2200Z5V, DEBB33D222KA2B, C4, C7, C8 — К10-506. Терморезистор серии NTC (с отрицательным ТКС) — SCK-103. Микросхема TNY255P размещена на TNY255G, TNY256P или TNY256G, диод HER208 — на HER106, HER107, HER206, HER207, 1N4937, FR306 или BY399, диод 1N5822 — на SR360, 31DQ04, 31DQ06, 90SQ045. Стабилитрон KC170A можно заменить на стабилитроны KC162A, KC175A, а оптопару PC817 — на LTV817, PC816, LTV816. Светодиод — любой миниатюрный, желательного синего или зеленого цвета свечения. Предохранитель FU1 — конструктивный, он образован на плате печатным проводником, его можно заменить отрезком медного обмоточного провода, например ПЭВ-2, диаметром 0,03 мм.

Для изготовления трансформатора применен броневой магнитопровод Б18 (без подстроечника) из феррита 2000НМ. Первичная обмотка содержит 182 витка провода диаметром 0,11 мм, а вторичная состоит из 20 витков провода диаметром 0,6 мм. Между обмотками следует проложить два слоя лавсановой или лакотканевой ленты, пропитать их парафином, чтобы уменьшить акустический шум. Между чашками магнитопровода необходимо сделать зазор 0,16...0,23 мм, для чего можно использовать прокладку из фторопласта, стеклоткани или в крайнем случае картона. Дроссель намотан на магнитопроводе типоразмера К10×6×2 из феррита 2000НМ и содер-

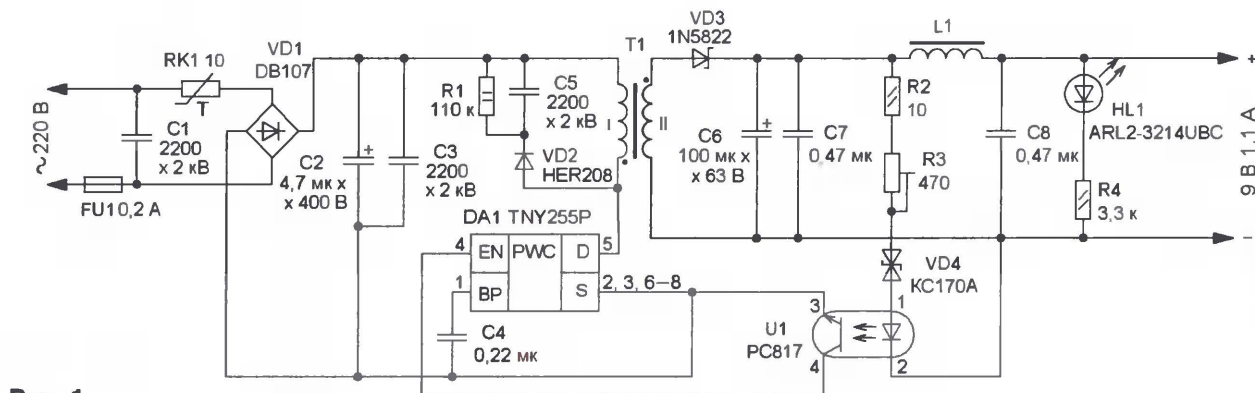


Рис. 1

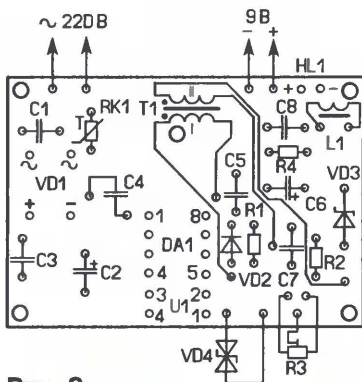
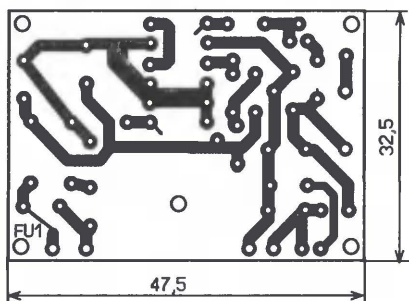


Рис. 2

жит 16 витков провода диаметром 0,6 мм при выходном токе до 200...300 мА и 3...4 витка провода диаметром 0,8 мм при токе до 1,1 А. Острые края магнитопровода необходимо предварительно притупить наждачной бумагой и обмотать слоем лакотканевой ленты. Для намотки трансформатора и дросселя следует применять провод марок ПЭВ-2, ПЭТВМ, ПЭТВ-1, ПЭТВ-2, ПЭТ-200-1.

Чертеж печатной платы показан на рис. 2, она изготовлена из односторонне фольгированного стеклотекстолита толщиной 1...1,5 мм. Микросхему устанавливают в панель, чашки магнитопровода сжимают между собой и крепят к плате двумя латунными винтами, закрученными с противоположных сторон в латунную втулку. Все резисторы и диоды монтируют перпендикулярно к плате. Внешний вид собранной платы показан на рис. 3. После проверки и налаживания ее помещают в корпус из изоляционного материала.

Налаживание ИИП сводится к точной установке выходного напряжения подстроечным резистором R3.

## ЛИТЕРАТУРА

1. Москатов Е. Импульсный ИП в спичечной коробке. — Радио, 2005, № 6, с. 26, 27.
2. Солонин В. Сетевой в габаритах "Кроны". — Радио, 1999, № 2, с. 37, 44.
3. Микросхемы для импульсных источников питания и их применение. 2-е издание, исправленное и дополненное. — М.: Издательский дом Додэка-XXI, 2001.
4. TNY253/254/255. — <<http://www.allcomponents.ru/pdf/powerint/tny255p.pdf>>.

Редактор — И. Нечаев, графика — И. Нечаев, фото — автора



Рис. 3

# Roland

**ФРЕЗЕРНО-ГРАВИРОВАЛЬНЫЕ МАШИНЫ  
ДЛЯ ИЗГОТОВЛЕНИЯ ПЕЧАТНЫХ ПЛАТ**



**EGX-600/400**

Размер рабочего стола EGX-600:  
610 мм (X) x 407 мм (Y) x 42 мм (Z)  
Размер рабочего стола EGX-400:  
407 мм (X) x 305 мм (Y) x 42 мм (Z)

**EGX-350**

Размер рабочего стола EGX-350:  
305 мм (X) x 230 мм (Y) x 40 мм (Z)

Высокоскоростные, высокоточные и доступные по цене фрезерно-гравировальные машины для изготовления печатных плат. Возможно как фрезерование разводки, так и сверление отверстий для установки микросхем и прочих деталей.

Официальный представитель фирмы Roland - ООО "Р-Техник"  
Москва, ул. Дорожная, д. 3, кор. 6  
тел. (495) 981-49-65.  
E-mail: sm@r-tec.ru Web: [www.roland.ru](http://www.roland.ru)

**Roland**

# Измеритель емкости аккумуляторов на микроконтроллере

М. ОЗОЛИН, с. Красный Яр Томской обл.

**Разработанное автором устройство предназначено для измерения в автоматическом режиме емкости большинства типов аккумуляторов от малогабаритных до автомобильных батарей.**

Принцип измерения основан на разрядке аккумулятора стабильным током с автоматическим подсчетом времени разрядки и дальнейшим перемножением этих величин, результат получается в привычной размерности ампер-часах (А·ч). Схема устройства показана на рис. 1, его основой является микроконтроллер DD1, работающий по программе, коды которой приведены в табл. 1. Для повышения точности отсчета временных интервалов частота тактового генератора микроконтроллера DD1 стабилизирована кварцевым резонатором ZQ1.

Стабилизированный ток разрядки формируется источником тока, управляемым напряжением (ИТУН), собранным на ОУ DA2, полевом транзисторе VT1 и резисторе R3, выполняющем функцию датчика тока. Максимальное значение тока — 2,55 А, минимальное — 0, требуемое значение в этих пределах устанавливают нажатиями на кнопки SB2, SB3. При кратковременном нажатии дискретность изменения составляет 30 мА, при длительном — 0,15 А.

Контроль напряжения аккумулятора осуществляет микроконтроллер DD1 с помощью встроенного АЦП, для этого линия порта PC5 (вывод 28) программ-

но сконфигурирована как вход АЦП. На выходе AREF (вывод 21) присутствует образцовое напряжение 2,56 В, которое фильтрует конденсатор C8. Питание аналоговой части микроконтроллера DD1 осуществляется через фильтр L1C11. Питается измеритель от внешнего источника постоянного тока напряжением 6...12 В с максимальным выходным током не менее 0,1 А.

Интервалы отсчета времени (1 с) формируются по переполнениям таймера/счетчика 1 микроконтроллера DD1 и сопровождаются вспышками светодиода HL1 с частотой 0,5 Гц. Интервалы времени в шесть минут формируются подсчетом переполнений этого таймера/счетчика. Обновление значений емкости аккумулятора происходит через каждые шесть минут, т. е. десять раз в час.

На девятиразрядном светодиодном индикаторе HG2 в младших его разрядах (крайние левые с 1-го по 5-й) индицируется значение емкости в ампер-часах в формате XX.XXX. Дискретность в этом случае составляет  $t \cdot \Delta I = 0,003 \text{ А} \cdot \text{ч}$ , где  $t$  — интервал отсчета времени (0,1 ч);  $\Delta I$  — минимальная дискретность установки тока ИТУН (0,03 А). Шестой разряд этого индикатора постоянно погашен, поскольку он служит разделительным. В

старших разрядах (с 9-го по 7-й) индицируется напряжение, до которого будет разряжен аккумулятор. Его устанавливают в интервале от 1 до 25,5 В нажатием на кнопки SB4, SB5. При кратковременном нажатии — с шагом 0,1 В, при длительном — 1 В. При нажатии на кнопку SB1 индицируется текущее напряжение аккумулятора. Не значащие нули десятков вольт и ампер-часов (разряды 9-й и 5-й соответственно) гасятся программно.

На трехразрядном индикаторе HG1 отображается значение тока разрядки в формате X.XX. Напряжение управления, поступающее на вход ИТУН, формируется с помощью интегрирующей

Таблица 1

|  |
|--|
| :0200000020000FC                             |
| :0200000018C026                              |
| :100010003FB639560FF04C0AC987C8C8B8C07C044   |
| :10002000AC9A7C8C8B8C9A511F4A4EBB393FBEF1    |
| :100030001895AA240FE50B8F04E00E8F09E605BD23  |
| :1000400008E078B07E30B80F0F01B808E7702E12    |
| :100050000CE802E0FE1048B0D2C0093700005EC66   |
| :1000600006B905EE07B905E00B8D502E04E009BF44  |
| :100070007C8B8C9A5AE0112700241124E4EB1F      |
| :10008000FF2706B104FFDFDC25B1819B03C0829B92  |
| :100090000CC018C03A3028F43395F3F99F01D5F08   |
| :1000A00012C0163F78F4115F0EC03A3020F43395F08 |
| :1000B0001A11135008C01F3010F01F5004C0A1113D  |
| :1000C000135001C0332713B8F49B03C0859B0C084   |
| :1000D00016C04A3028F443955F3F8F9F0539510C00D |
| :1000E000563F68F4565F0CC04A3028F44395530A5   |
| :1000F00038F05A9505C0543110F05A5001C04427C9  |
| :10010000251728F4894A4EBB27AC9A02C0789486    |
| :1001100019FF727D027E12FC4E663D06BD070933A   |
| :100120006000CAE05ED066D0709361009E2F62D0FE  |
| :1001300070936200809B02C0E52F01C0E22FC4E6BD  |
| :1001400050D058D09A1101C07727F0936300CA004D  |
| :1001500048D050D0709364009E2F4C0D70936500AF  |
| :10016000E02DF12DC0E1D7E23CD044D09A1101C07E  |
| :10017000772770936600C8E0D3E033D03BD07093FE  |
| :100180006700CA60D272D035D070936800CA043     |
| :1001900028D030D0709369009E2F2C0D70936A00C5  |
| :1001A00020907000F501C0E6A9A9A9A9A97F1F7DB   |
| :1001B000AA98A98C990C28A83021F0843011F063    |
| :1001C000873009F495A9097F1F7AEB8C583839563   |
| :1001D000858B5EBC8F708C3068F32A9421F7369A09  |
| :1001E00050CF9927EC17FD0720F09395EC18FD0BE2  |
| :1001F000F9CF0895903091F0913091F0923091F0D4  |
| :10020000933091F0943091F0953091F0963091F0D8  |
| :10021000973091F0983091F0993091F0F7FE11C0CE  |
| :1002200076E00FC07BE90D0C7FE80B0C076E0C01B   |
| :100230007DEC07C07DEB05C077E403C07FED01C014  |
| :040240007FEC0895B2                          |
| :000000001FF                                 |

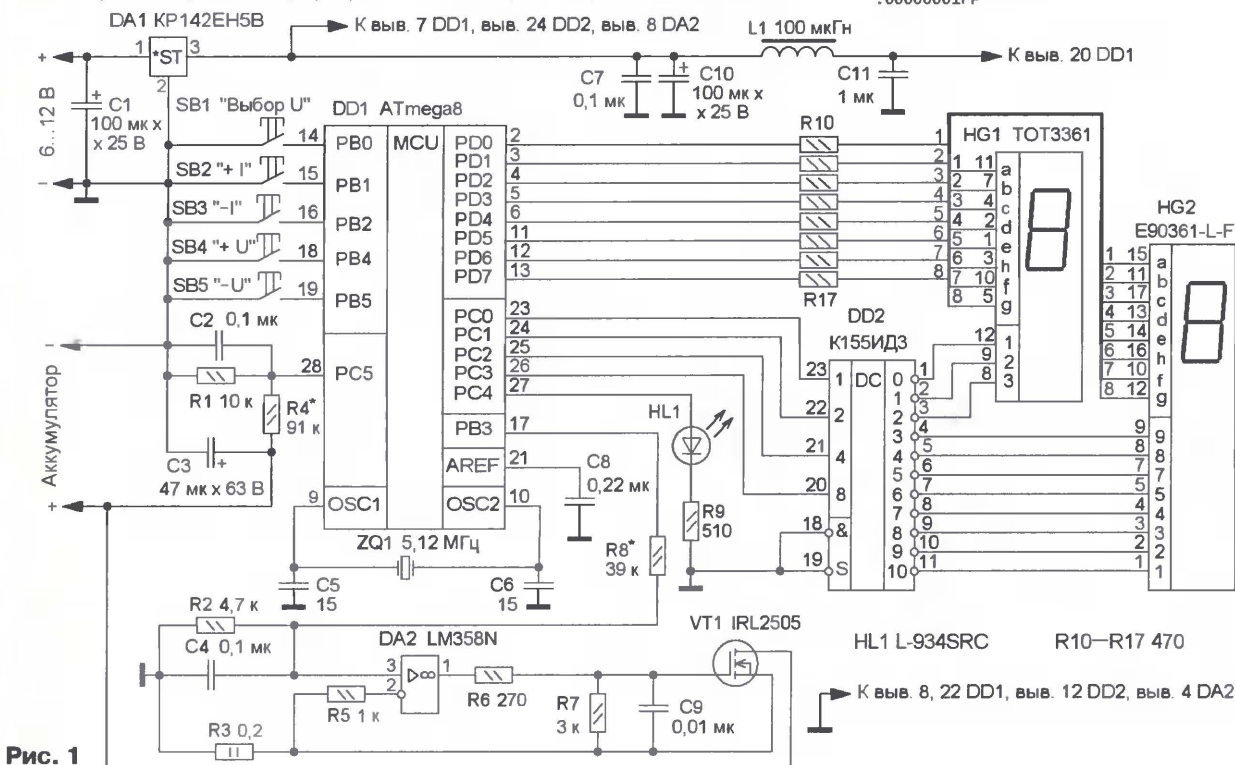
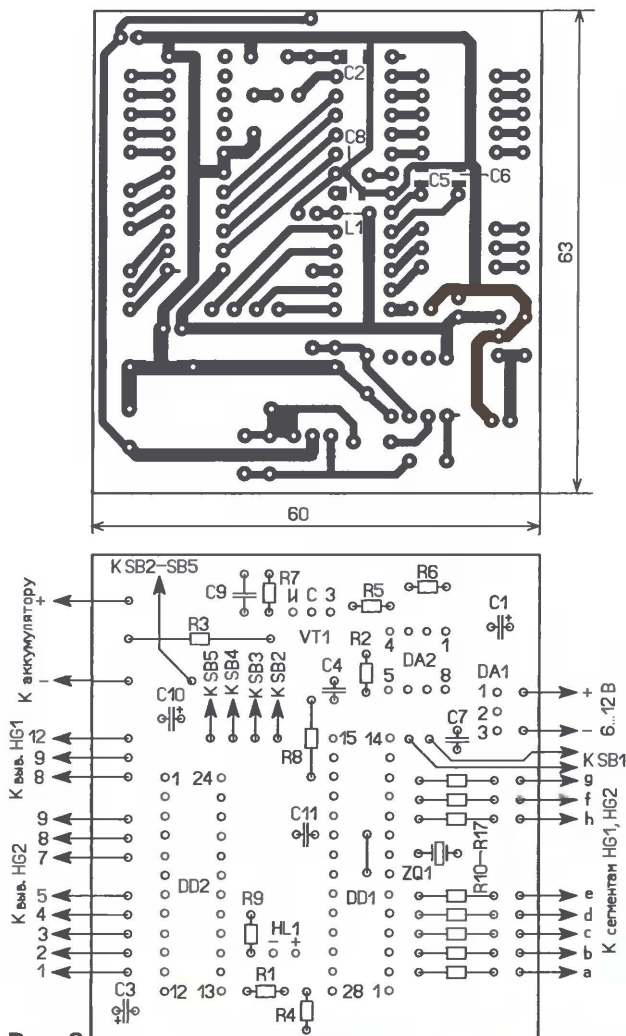
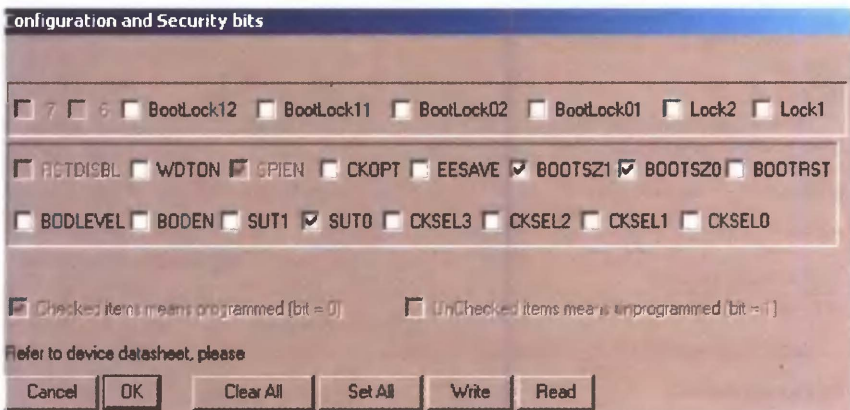


Рис. 1



**Рис. 2**



**Рис. 3**

цепи R2R8C4 из выходного ШИ сигнала таймера/счетчика 2 микроконтроллера DD1. Коэффициент заполнения ШИ сигнала может принимать 256 значений в интервале от минимального (импульс практически отсутствует) до максимального (пауза практически отсутствует). Минимальное значение тока ИТУН (при нулевом значении регистра сравнения таймера/счетчика 2) — не более 2,5 мА.

После установки тока разрядки и минимального напряжения, до которого

следует разрядить аккумулятор, его подключают к устройству. Если напряжение больше или равно минимальному, светодиод HL1 мигает и таймер/счетчик 1 отсчитывает шестиминутный интервал, по окончании на индикатор HG2 выводится новое значение емкости аккумулятора. Максимальное время измерения составляет 255·6 = 1530 мин, или 25 ч 30 мин, т. е. чуть больше суток, а максимальная измеряемая емкость — 65,535 А·ч, что позволяет тестировать и некоторые стартерные батареи легковых автомобилей. При разрядке аккумулятора до напряжения ниже минимального запрещаются прерывания от таймера/счетчика 01, прекращается отсчет шестиминутных интервалов, показания емкости фиксируются и отображаются в младших разрядах индикатора HG2. Сигналом окончания процесса измерения емкости является постоянное свечение светодиода HL1.

обеспечивающий достаточную яркость свечения при токе 5 мА. Дроссель L1 — импортный (EC24), он припаян со стороны печатных проводников. Плюсовой выход устройства соединяют (припаивают) с фланцем транзистора VT1. Микроконтроллер установлен в панель, проволочную перемычку, расположенную под ним, монтируют до установки панели. Транзистор VT1 необходимо установить на теплопровод с площадью не менее 600 см<sup>2</sup>.

Микроконтроллер был запрограммирован с помощью программы PonyProg, биты конфигурации показаны на **рис. 3**. В устройстве можно применить кварцевый резонатор на частоту 10,24 МГц. В этом случае необходимо изменить значения констант в исходном тексте программы в соответствии с **табл. 2** и вновь его оттранслировать.

Налаживание правильно собранного из исправных деталей устройства заключается в его калибровке с помощью образцовых вольтметра и амперметра. После включения устройства при нулевых показаниях индикатора HG1 параллельно конденсатору C3 подключают образцовый вольтметр и подают на него

### Таблица 2

| Константа | 5,12 МГц | 10,24 МГц |
|-----------|----------|-----------|
| LT        | 120      | 240       |
| HT        | 236      | 216       |
| ADR       | 197      | 198       |
| DZ        | 32       | 16        |

напряжение (около 10 В) от стабилизированного источника питания. Подборкой резистора R4 при нажатой кнопке SB1 сравнивают показания в старших разрядах индикатора HG2 и образцового вольтметра. Затем последовательно с источником питания включают образцовый амперметр, устанавливают ток разрядки около 1 А и подборкой резистора R8 сравнивают показания индикатора HG1 и образцового амперметра.

**От редакции.** Программа микроконтроллера находится на нашем FTP-сервере по адресу <ftp://ftp.radio.ru/pub/2009/03/izm.zip>.

Редактор — И. Нечаев, графика — И. Нечаев,  
скриншот — автора

## МОДУЛЬНАЯ РЕКЛАМА

Предлагаем универсальный программатор WizardProg-77USB.

Краткий перечень поддерживаемых типов микросхем:

EPROM: 2716-27C080;

EEPROM/FLASH: серии 28, 29, 39, 49, 50 разных производителей, электрически стираемые 27CXXX Winbond, Firmware/Hub; MCU фирм Intel, Atmel, Philips, Winbond, Microchip;

SEEPROM: 24Cxxx, 93Cxx, 25LCXX;

GAL/Логические матрицы: 16v8х,  
20v8х, 22v10А.

Все микросхемы в корпусе DIP программируются в единой розетке ZIF-40 ARIES без применения адаптеров. Программатор питается от линии USB, не нужен блок питания.

Цена — 3300 руб.

**www.wizardprog.com**

Тел. (351) 265-46-96.

# Расчет узкополосного режекторного фильтра на транзисторах

О. ПЕТРАКОВ, г. Москва

**В статье рассмотрены построение и инженерный расчет простого высокодобротного узкополосного режекторного фильтра на транзисторах, отлично работающего в частотной полосе до 1 МГц и вполне удовлетворительно — до 10 МГц. Автор вывел простые расчетные формулы для синтеза фильтра при заданных значениях частоты режекции и полосы пропускания. Для расчета использованы математический САПР Maple и электронный САПР OrCAD.**

В некоторых устройствах, которые все привыкли строить на операционных усилителях, с меньшим успехом могут быть использованы транзисторы. Преимущества ОУ для усиления сигналов постоянного тока неоспоримы. Но на переменном токе ситуация уже не так однозначна. ОУ с частотой единичного усиления более 10 МГц стоит значительно дороже транзистора на частоту до 1000 МГц.

Аналитические расчеты транзисторных устройств несколько сложнее из-за более сложной схемы замещения транзистора по сравнению с идеализированным ОУ. Однако в настоящее время эту проблему облегчает доступность компьютерных вычислений.

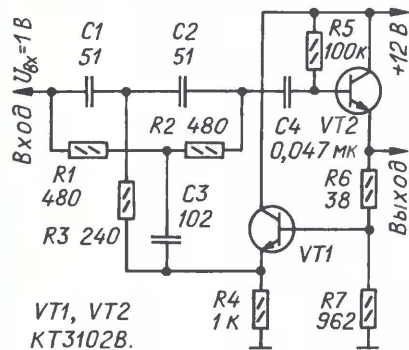


Рис. 1

Современные транзисторы имеют большое усиление по постоянному току —  $h_{213} = 300 \dots 1000$ . Во многих случаях этого достаточно.

В узкополосных режекторных фильтрах нередко используют резисторно-конденсаторные двойные Т-образные мосты. Схема одного из таких устройств представлена на рис. 1. Их основное преимущество заключается в возможности глубокого подавления отдельных частотных компонентов.

В частотной области, лежащей много ниже частоты единичного усиления, большинством паразитных параметров транзисторов можно пренебречь. Поэтому при расчетах будем использовать простейшую схему замещения транзистора на основе источника тока, управляемого напряжением. Она удобна при расчете цепей методом узловых потенциалов.

Для упрощения формул предположим, что в фильтре с двойным Т-образным мостом выполняются следующие соотношения:  $C1=C2=C$ ;  $C3=2C$ ;  $R1=R2=R$ ;  $R3=0,5R$ .

Определим передаточную функцию Лапласа  $H(s)$  (где  $s$  — обобщенная комплексная частота) такого фильтра, предположив, что коэффициент передачи тока базы транзисторов  $h_{213} = \infty$ ;  $C4 = \infty$ ;  $R5 = \infty$ . Это равноценно отсутствию резистора  $R5$  и замыканию конденсатора  $C4$  на переменном токе. Конечно, считать, что транзистор имеет бесконечное усиление — большая нагрузка, но для эмиттерного повторителя вполне допустимо, и к тому же позволяет получить простые формулы для предварительного расчета.

Полные формулы с помощью Maple получить возможно, но они будут чрезвычайно сложными для оценки параметров фильтра. Такие формулы займут несколько страниц и поэтому малоприменимы для практики.

Передаточная функция имеет вид

$$H(s) = \frac{(C^2 \cdot R^2 \cdot R6 + C^2 \cdot R^2 \cdot R7)s^4 + (C^2 \cdot R^2 \cdot R6 + C^2 \cdot R^2 \cdot R7)s^2 + 4s \cdot C \cdot R6 + R7}{(C^2 \cdot R^2 \cdot R6 + C^2 \cdot R^2 \cdot R7)s^4 + 4s \cdot C \cdot R6 + R7} \quad (1)$$

Теперь найдем коэффициент передачи в частотной области  $K(f)$ , выполнив подстановку  $s=j \cdot 2\pi \cdot f$  (где  $j$  — мнимая единица;  $f$  — частота, Гц):

$$K(f) = \frac{4\pi^2 \cdot f^2 \cdot C^2 \cdot R^2 \cdot R6 + 4\pi^2 \cdot f^2 \cdot C^2 \cdot R^2 \cdot R7}{4\pi^2 \cdot f^2 \cdot C^2 \cdot R^2 \cdot R6 + 4\pi^2 \cdot f^2 \cdot C^2 \cdot R^2 \cdot R7} \quad (2)$$

Частота режекции  $F_p$  будет равна корню уравнения

$$F_p = \frac{1}{2\pi \cdot C \cdot R} \quad (3)$$

Ее удобно подстраивать выбором значения сопротивления  $R$ :

$$R = \frac{1}{2\pi \cdot f \cdot C} \quad (4)$$

Полоса режекции  $\Pi$  по уровню 3 дБ будет равна разности корней уравнения

$$|K(f)| = \frac{K(0)}{\sqrt{2}} \quad (5)$$

а добротность

$$Q = \frac{F_p}{\Pi} = \frac{R6 + R7}{4R6} \quad (6)$$

При настройке добротность фильтра легко скорректировать подборкой резистора  $R6$ .

Выразим передаточную функцию через характеристические параметры фильтра, выполнив подстановки:

$$R7 = 4Q \cdot R6 - R6; \quad C = \frac{1}{2\pi \cdot R \cdot F_p}$$

В результате получим очень удобную формулу, позволяющую определить требуемую режекторную передаточную функцию, ничего не зная об устройстве фильтра:

$$H_p(s) = \frac{Q(s^2 + 4\pi^2 \cdot F_p^2)}{Q \cdot s^2 + 2s \cdot \pi \cdot F_p + 4Q \cdot \pi^2 \cdot F_p^2} \quad (7)$$

Тогда модуль режекторной функции в частотной области  $|K_p(f)|$  будет таким:

$$|K_p(f)| = \frac{Q(f^2 - F_p^2)}{\sqrt{Q^2 \cdot f^4 + F_p^2 \cdot f^2(1 - 2Q^2) + Q^2 \cdot F_p^4}} \quad (8)$$

В заключение рассмотрим пример расчета. Пусть требуется рассчитать фильтр, обеспечивающий режекцию спектра звукового сигнала телевизионного вещания с центральной частотой  $F_p = 6,5$  МГц в полосе  $\Pi = 1$  МГц.

Выберем  $C = 51$  пФ и, последовательно пользуясь формулами (4) и (6), рассчитаем остальные компоненты фильтра. Если  $C = 0,51 \cdot 10^{-10}$  Ф, то

$$Q = \frac{F_p}{\Pi} = 6,5, \quad R = 480,14 \text{ Ом}$$

Известно, что усилительные свойства транзистора зависят от его тока эмиттера. В эмиттерном повторителе резистор сопротивлением 1 кОм обеспечит рабочий ток транзистора 6 мА при напряжении питания 12 В. Этого достаточно для сохранения высокого усиления транзистора на высокой частоте. Для повышения экономичности сопротивление эмиттерного резистора можно увеличить, подобрав транзистор, способный работать на малом токе.

Примем  $R6 + R7 = 1$  кОм, тогда  $R6 = \frac{R6 + R7}{4Q}$ . Отсюда  $R6 = 38$  Ом,  $R7 = 962$  Ом. Найденные значения указаны на схеме рис. 1.

Построим график АЧХ модуля частотного коэффициента передачи фильтра, выполненного по этой схеме. Для этого воспользуемся выражением (8) для модуля передаточной функции, подставив в него рассчитанные номиналы компонентов фильтра:

$$Q = \frac{R6 + R7}{4R6} = 6,5789; \quad \Pi = \frac{4R6 \cdot F_p}{R6 + R7} = 988 \cdot 10^3 \text{ Гц};$$

$$F_p = \frac{1}{2\pi CR} = 0,64996 \cdot 10^7 \text{ Гц}$$

Поэтому

$$|K_p(f)| = \frac{6,5789(f^2 - 0,42245 \cdot 10^{14})}{\sqrt{43,282f^4 - 0,36146 \cdot 10^{16}f^2 + 0,77241 \cdot 10^{29}}}$$

График АЧХ показан на рис. 2.

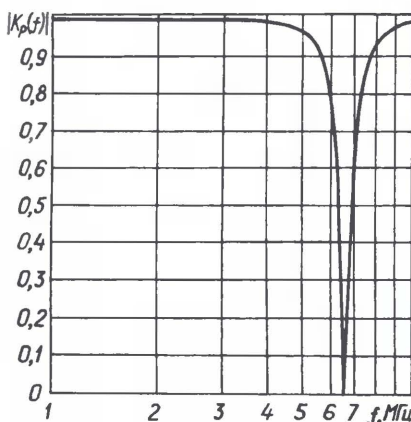


Рис. 2

## ЛИТЕРАТУРА

1. Проектирование электронных фильтров. Методические указания по курсовому проектированию для студентов, обучающихся по направлению 5515. Сост. И. П. Ефимов. — Ульяновск, 1999, с. 32, пример 16.
2. Мошиц Г., Хорн П. Проектирование активных фильтров (пер. с англ.). — Мир, 1984, с. 320.
3. <http://pspicelib.narod.ru>. — Методики расчетов с применением математических САПР.

Редактор — Л. Ломакин, графика — Л. Ломакин

## ООО "Электrolэнд"

Поставка любых электронных компонентов и комплектующих. Химия для электроники. Доставка почтой в любую точку России юридическим и физическим лицам. Со склада и под заказ.

WWW.ELEKLAND.RU

E-mail: [elekland@mail.ru](mailto:elekland@mail.ru)

Тел./факс — (82147) 42026.

\* \* \*

## Отечественные и импортные радиодетали для ремонта радиоаппаратуры, автомобильной электроники и бытовой техники!

Микросхемы. Транзисторы. Стабилитроны. Резисторы. Шлейфы.

Конденсаторы керамические, пленочные, подстроечные, электролитические, высоковольтные. Механика для видеоманитофонов, видеокамер и аудиотехники. Светодиоды и фотодиоды. Панельки для микросхем. Кассы всех размеров для хранения мелких деталей. Лазерные и видеоголовки. ЧИП-элементы. Многие другие. Оптовая и розничная продажа ежедневно от 9.00 до 18.00 по адресу:

Россия, Москва, Пятницкое шоссе, дом 18, ТК "Митинский радиорынок", 3-й этаж, павильон 546. Проезд от метро "Тушинская" авт. № 2, 210, 266. Доставка почтой по России. Прайслисты на бумаге и CD.

Контакты: 107045, г. Москва, аб. ящ. 41.

[www.S-10mitino.narod.ru](http://www.S-10mitino.narod.ru)

\* \* \*

Предлагаем речевой переключатель для хорошего отдыха и развлечений. Скажите и вы услышите голоса животных, голос привидения, увидите оригинальные световые эффекты.

617120, Пермский край, г. Верещагино, а/я 74

\* \* \*

## Многоканальные радиоуправляемые модели: вертолеты, самолеты, танки! Суперхиты:

Миниатюрный (14×6×11 см), электрический, комнатный, на ИК-управлении вертолет FJ-703. Цена — 900 руб.

Танковый бой: два стреляющих, со звуковыми и световыми эффектами, разных по дизайну, но одинаково насыщенных возможностями радиоуправляемых танка. Цена — 2600 руб.

Сделайте подарок ребенку и себе! 105318, г. Москва, а/я 52, "ПОСЫЛТОРГ", (495) 543-47-96, (985) 366-87-86.

[post@dessy.ru](mailto:post@dessy.ru)

Подробнее тут: [www.dessy.ru](http://www.dessy.ru)

\* \* \*

Набор деталей "USB программатор" для внутрисхемного программирования AVR (статья А. Рыжкова в "Радио" № 7, 2008 г.) — 500 руб. Наборы чип резисторов и конденсаторов 1206, 0805, 0603. Другие радионаборы и детали. (<http://chipnabor.ru/>; e-mail — [nabor@inbox.ru](mailto:nabor@inbox.ru)).

Тел. +7-909-988-51-35 г. Москва.

# Преобразователь однофазного напряжения в трехфазное

В. КАЛАШНИК, Н. ЧЕРЕМИСИНОВА, г. Воронеж

Сегодня в быту находят широкое применение различные устройства, для питания которых требуется трехфазное напряжение. Но бытовая сеть, как правило, однофазная. Поэтому возникает потребность преобразовать однофазное напряжение в трехфазное. Авторы предлагают один из вариантов такого преобразователя.

Известны различные преобразователи однофазного напряжения в трехфазное. В [1] описан аппарат, выполненный на основе асинхронного трехфазного двигателя, как и любая электрическая машина обратимого: генератор может служить двигателем, и наоборот. Недостатки такого преобразователя — значительный "перекос" фаз, а также то, что мощность двигателя-преобразователя должна быть больше, чем питаемого от него электрооборудования.

Управляемый полупроводниковый инвертор для питания трехфазного двигателя предложен в [2]. Его недостаток заключен в применении регулируемого автотрансформатора для изменения выходного трехфазного напряжения. Но некоторые его узлы (устройства управления выходными ключами, питаемые бустерным способом) очень хорошо работают и поэтому использованы и в разработанном нами устройстве.

Источник питания трехфазного электродвигателя от однофазной сети с регулировкой частоты вращения рассмотрен в [3]. Но для питания "верхних" и "нижних" транзисторов его выходных ключей требуются отдельные источники напряжения. Сами ключи выполнены на биполярных транзисторах, имеющих большое внутреннее сопротивление в режиме насыщения.

Предлагаемый преобразователь однофазного напряжения в трехфаз-

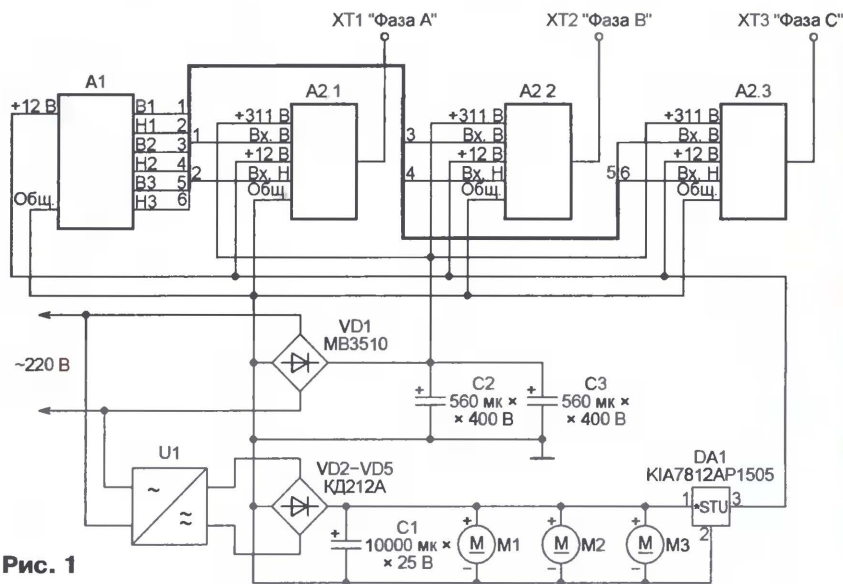


Рис. 1

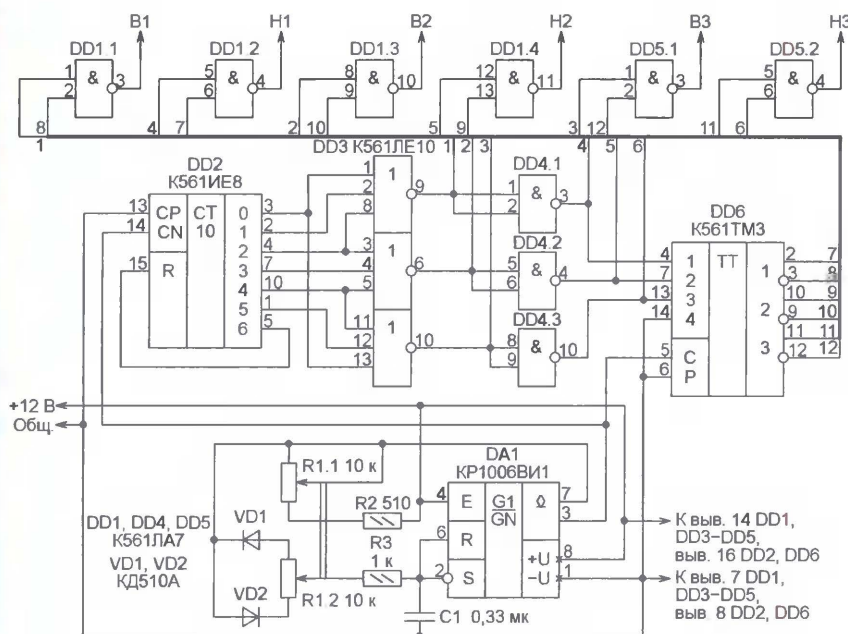


Рис. 2

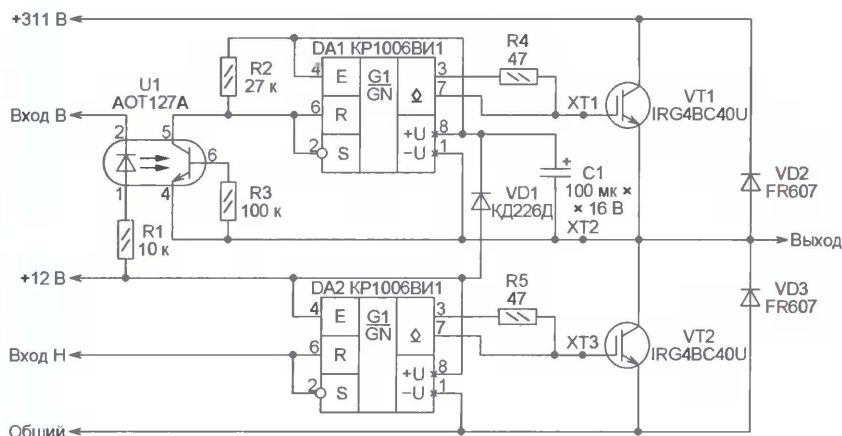


Рис. 3

ное лишен недостатков устройств, описанных в [2] и [3]. Его общая схема представлена на **рис. 1**. Выходы формирующей трехфазных импульсных последовательностей А1 соединены с входами трех одинаковых мощных коммутаторов А2.1, А2.2 и А2.3, к выходам которых и подключают трехфазную нагрузку.

Коммутаторы питаются выпрямленным с помощью диодного моста VD1 напряжением однофазной сети 220 В. Конденсаторы C2 и C3 — сглаживающие. К сети подключен и "электронный трансформатор" для питания галогенных ламп U1 — преобразователь сетевого напряжения в импульсное амплитудой 15 В и частотой 45 кГц. Его выходное напряжение выпрямляет мост из высокочастотных выпрямительных диодов VD2—VD5. Конденсатор C1 сглаживает пульса-

ции выпрямленного напряжения, которым питаются электродвигатели М1—М3 вентиляторов, обдувающих теплоотвод, на котором размещены мощные транзисторы коммутаторов А2.1—А2.3. Вентиляторы — типоразмера 80×80 мм от компьютера.

Напряжением 12 В с выхода интегрального стабилизатора DA1 питают формирователь А1 и маломощные узлы коммутаторов А2.1—А2.3. Примененная в качестве DA1 микросхема KIA7812AP1505 отличается тем, что имеет изолированный корпус. Это позволяет крепить ее непосредственно на шасси устройства, используя его в качестве теплоотвода.

Схема формирователя А1 изображена на **рис. 2**. Генератор тактовых импульсов собран на таймере DA1 KP1006BI1 по схеме мультивибратора. Их частоту регулируют перемен-

ным резистором R1.1, а одновременно установленный с ним на одной оси переменный резистор R1.2 изменяет скважность импульсов. С повышением частоты длительность импульсов на выходе задающего генератора должна уменьшаться.

Тактовые импульсы поступают на вход счетчика DD2, на выходах которого поочередно на один период повторения импульсов устанавливается высокий уровень напряжения. Поскольку уровень на входе СР счетчика низкий, изменение его состояния происходит по нарастающим перепадам импульсов на входе CN. С появлением высокого уровня на выходе 6 (выводе 5) и соединенном с ним входе R счетчик немедленно возвращается в состояние с высоким уровнем на выходе 0 (вывод 3), после чего цикл повторяется.

Импульсы с выходов счетчика DD2 с помощью микросхемы DD3 преобразуются в три последовательности импульсов длительностью три такта, повторяющихся с периодом шесть тактов. Последовательности взаимно сдвинуты во времени на треть периода (два такта). Элементами микросхемы DD4 эти последовательности инвертируют, а с помощью D-триггеров микросхемы DD6 задерживают относительно исходных. Для этого на вход С микросхемы DD6 поданы тактовые импульсы, причем изменение состояния триггеров происходит по их спадам. В результате импульсы на выходах микросхемы DD6 задержаны относительно входных на длительность тактового импульса.

Из полученных описанным образом двенадцати импульсных последовательностей элементов микросхем DD1.1—DD1.4, DD5.1, DD5.2 формируют импульсы управления коммутаторами А2.1—А2.3.

Коммутаторы выполнены по схеме, заимствованной из [2] и показанной на **рис. 3**. Выходные полевые транзисторы прототипа заменены на более мощные IGBT IRG4BC40U (остаточное напряжение — 1,7 В при токе 40 А) с демпфирующими диодами FR607. Все IGBT установлены через изолирующие прокладки на общем теплоотводе, обдуваемом вентиляторами (см. **рис. 1**). Размеры теплоотвода — 260×90 мм.

На двусторонней печатной плате, изображенной на **рис. 4**, размещены, как показано на **рис. 5**, все элементы узлов А1, А2.1—А2.3, за исключением удвоенного переменного резистора, IGBT и демпфирующих диодов. Обозначения элементов узлов А2.1—А2.3 на плате снабжены цифровыми префиксами, соответствующими номеру узла.

При указанных на схеме номиналах элементов тактового генератора частота формируемого трехфазного напряжения регулируется удвоенным переменным резистором R1 от 31 до 52 Гц, а коэффициент заполнения — соответственно от 66 до 92 %. Последнее позволяет избежать чрезмерного увеличения тока в обмотках электродвигателя при пониженной частоте

питающего напряжения. Интервал регулирования частоты может быть сдвинут вверх уменьшением емкости конденсатора С1 в тактовом генераторе.

Для двигателя на номинальную частоту 50 Гц повышать частоту питающего напряжения выше 100 Гц не стоит. При этом частота вращения

ротора приблизится к  $6000 \text{ мин}^{-1}$ , что опасно для подшипников. Если использовать преобразователь для питания строительных и сельскохо-

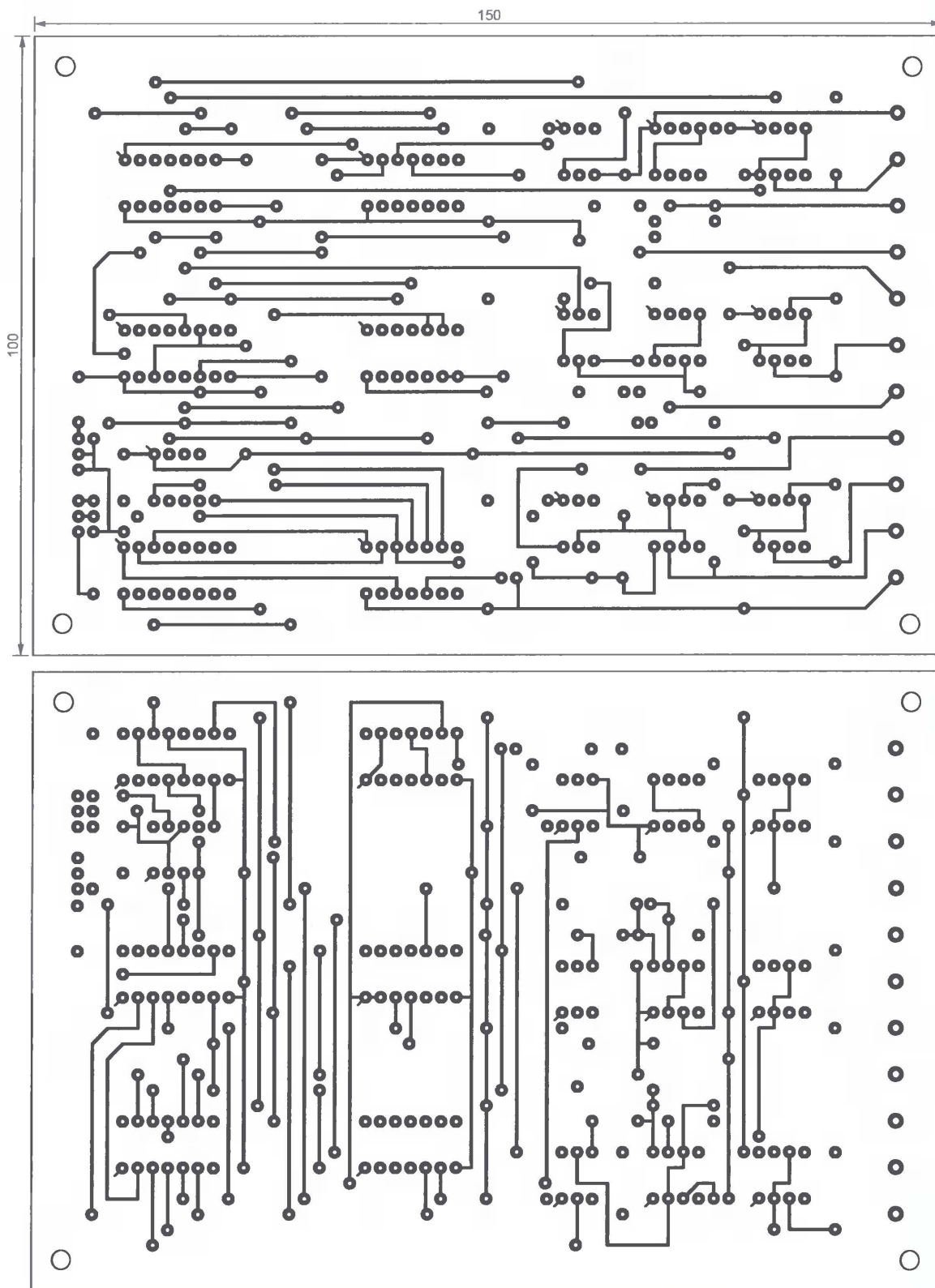


Рис. 4

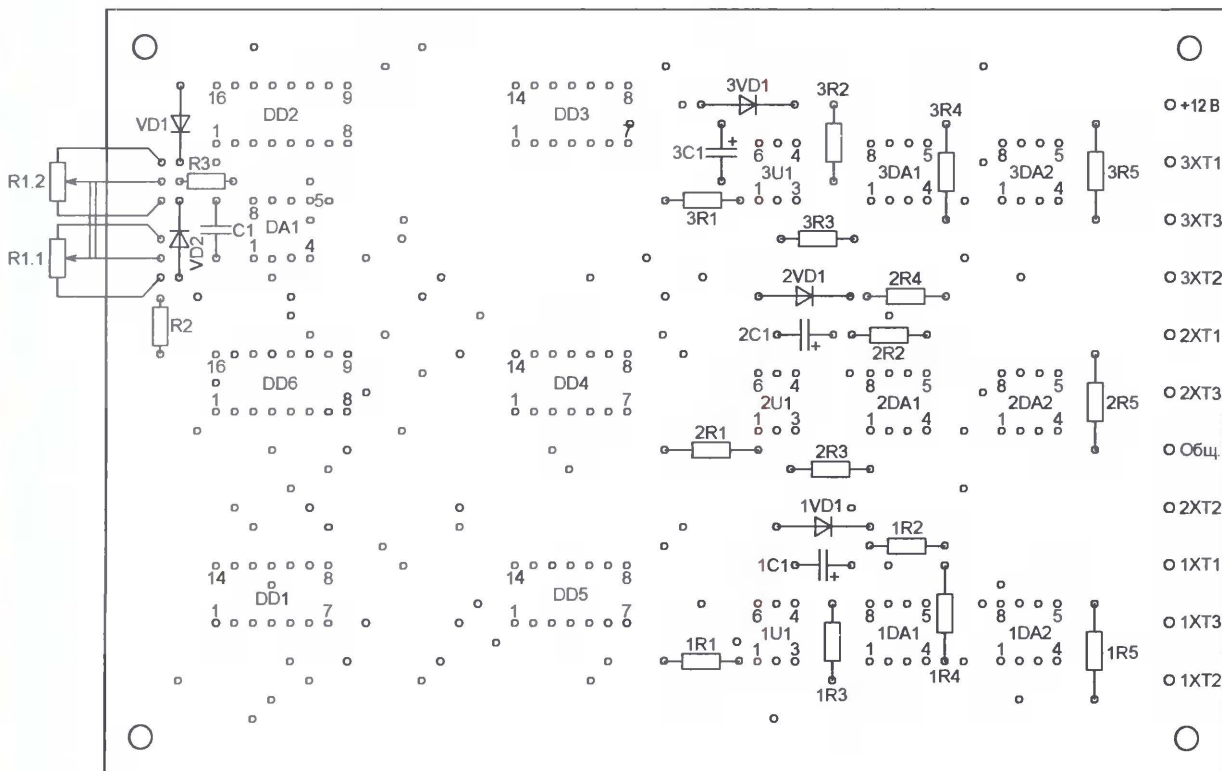


Рис. 5

зайственных механизмов, двигатели которых рассчитаны на напряжение 36 В при частоте 200...400 Гц, то на диодный мост VD1 (см. рис. 1) нужно подать напряжение 36 В 50 Гц, а частоту тактового генератора в узле А1 соответственно увеличить.

## ЛИТЕРАТУРА

1. Клейменов В. Электродвигатель — преобразователь однофазного напряжения в трехфазное. — Радио, 2002, № 1, с. 28, 29.
2. Мурадханян Э. Управляемый ин-

вертор для питания трехфазного двигателя. — Радио, 2004, № 12, с. 28, 29.

3. Нарыжный В. Источник питания трехфазного электродвигателя от однофазной сети с регулировкой частоты вращения. — Радио, 2003, № 12, с. 35—37.

Редактор — А. Долгий, графика — А. Долгий

## Управление освещением в прихожей

А. БУТОВ, с. Курба Ярославской обл.

**Выключатели освещения в прихожих и коридорах наших квартир обычно расположены рядом с входной дверью, это удобно тем, что, войдя в квартиру, можно сразу включить свет. Но зачастую большую часть времени свет в прихожей горит бесполезно часами, поскольку в ней нет окон и лампы включают и в светлое время суток, забывая выключать. Для экономии электроэнергии выключатель в прихожей целесообразно оснастить несложным приспособлением, которое будет автоматически выключать освещение через заданный интервал времени.**

Устройство, схема которого показана на рисунке, — переработка устройства, опубликованного в моей статье "Реле времени для светильника" ("Радио", 2002, № 11, с. 53, 54). Отличие от прототипа заключается в способности работать с так называемыми "энергосберегающими" люминесцентными лампами, а также в том, что освещение можно с помощью стандартного выключателя не только включить на заданное время, но и в любой момент выключить.

Когда прибор включен в сеть, но освещение не включено, конденсатор C5

заряжен до напряжения стабилизации стабилитрона VD5 (около 10 В). Поскольку конденсатор C4 в это время разряжен, а полевой транзистор VT2 закрыт, также закрыты транзистор VT3, мало-мощный триностр VS2 и мощный симистор VS1. Через светодиод HL1, подсвечивающий кнопку SB1, течет ток около 0,8 мА, ограниченный резистором R11. Если подсветка не нужна, светодиод можно исключить, заменив перемычкой.

Если кратковременно нажать на кнопку SB1, конденсатор C2 зарядится до напряжения около 9 В, через резистор

R5 зарядится и конденсатор C4. Напряжение между затвором и истоком транзистора VT2 превысит пороговое, что приведет к открыванию транзисторов VT2 и VT3. В результате откроются триностр VS2 и симистор VS1. При включении по предлагаемой схеме и использовании в качестве EL1 лампы накаливания симистор VS1 оторвется при мгновенном значении сетевого напряжения около 10 В, поэтому уровень создаваемых устройством помех незначителен. В этом случае помехоподавляющий фильтр L1C3R3 устанавливать не обязательно, хотя и очень желательно.

Ситуация с сетевым фильтром сменяется противоположной, если EL1 — "энергосберегающая" люминесцентная лампа с электронным балластом. Уровень помех, создаваемых устройством, станет больше. Также следует заметить, что большинство "энергосберегающих" ламп — сами по себе источники интенсивных радиопомех. Для уменьшения помех, создаваемых как регулятором, так и лампой, можно последовательно с первым установить второе звено LC-фильтра. Если лампа с электронным балластом, будучи выключенной, эпизодически вспыхивает, параллельно ей можно включить резистор сопротивлением 68 кОм и мощностью 2 Вт. Такой резистор заметно уменьшит и интенсивность помех.



# Вторая жизнь паяльной станции "Термит"

Т. МЕДВЕДЕВ, г. Воронеж

Сейчас торговые предприятия предлагают широкий выбор паяльников и паяльных станций. Однако не все могут себе позволить приобрести дорогую паяльную станцию. И тем, у кого есть вышедшая из строя паяльная станция "Термит", очень популярная в девяностых годах прошлого века, я предлагаю ее восстановить.

Комплекты для монтажной пайки "Термит-П36К", "Термит-П36ГК", "Термит-П42К", "Термит-П42ГК" предназначены для выполнения электромонтажных работ низкотемпературными припоями при изготовлении радиоэлектронной аппаратуры ручным электропаяльником. В комплектах "Термит-П36ГК" и "Термит-П42ГК", предназначенных для использования на производстве, предусмотрен местный отсос газообразных продуктов из зоны пайки.

Комплект "Термит" Новороссийского завода "Прибой" в свое время имел репутацию средней по уровню и недорогой паяльной станции. Пределы ступенчатого регулирования температуры рабочего стержня паяльника — от 140 до 340 °С с шагом 20 °С. Станция поддерживала температуру жала в статическом режиме с точностью  $\pm 1,5\%$  от установленной. Предусмотрена возможность "заземления" паяльного стержня.

Принципиальная схема станции показана на рис. 1. Она питается пониженным до безопасного уровня (36...42 В) переменным напряжением. Для понижения напряжения используют сетевой трансформатор (на схеме он не показан) с надежной межобмоточной изоляцией. Через предохранители FU1, FU2, контакты выключателя SA2 "Сеть" и токоограничительный резистор R45

переменное напряжение поступает на первичную обмотку трансформатора Т2.

В комплектах "Термит-П36К" и "Термит-П36ГК" трансформатор Т2 не установлен, а выводы 4—8 и 2—6 замкнуты на плате проволочными перемычками.

Двуполярным напряжением 2×15 В, снимаемым с диодного моста VD10 и параметрических стабилизаторов R35VD8 и R36VD9, питаются компараторы напряжения, выполненные на ОУ DA1—DA3. Конденсаторы C4—C6, C8 — сглаживающие. От плюсового плеча выпрямителя нестабилизированным напряжением питаются блокинг-генератор на транзисторе VT5, управляющий работой симистора VS1, и индикатор температуры на светодиодах HL1—HL3, а стабилизированным — входные делители напряжения компараторов.

Работой блокинг-генератора, в свою очередь, управляет компаратор, собранный на ОУ DA3. Резистивным делителем R1—R10 и переключателем SA1, подключенным к инвертирующему входу ОУ, задают порог срабатывания компаратора. Последовательно с делителем R1—R10 включены резисторы R13

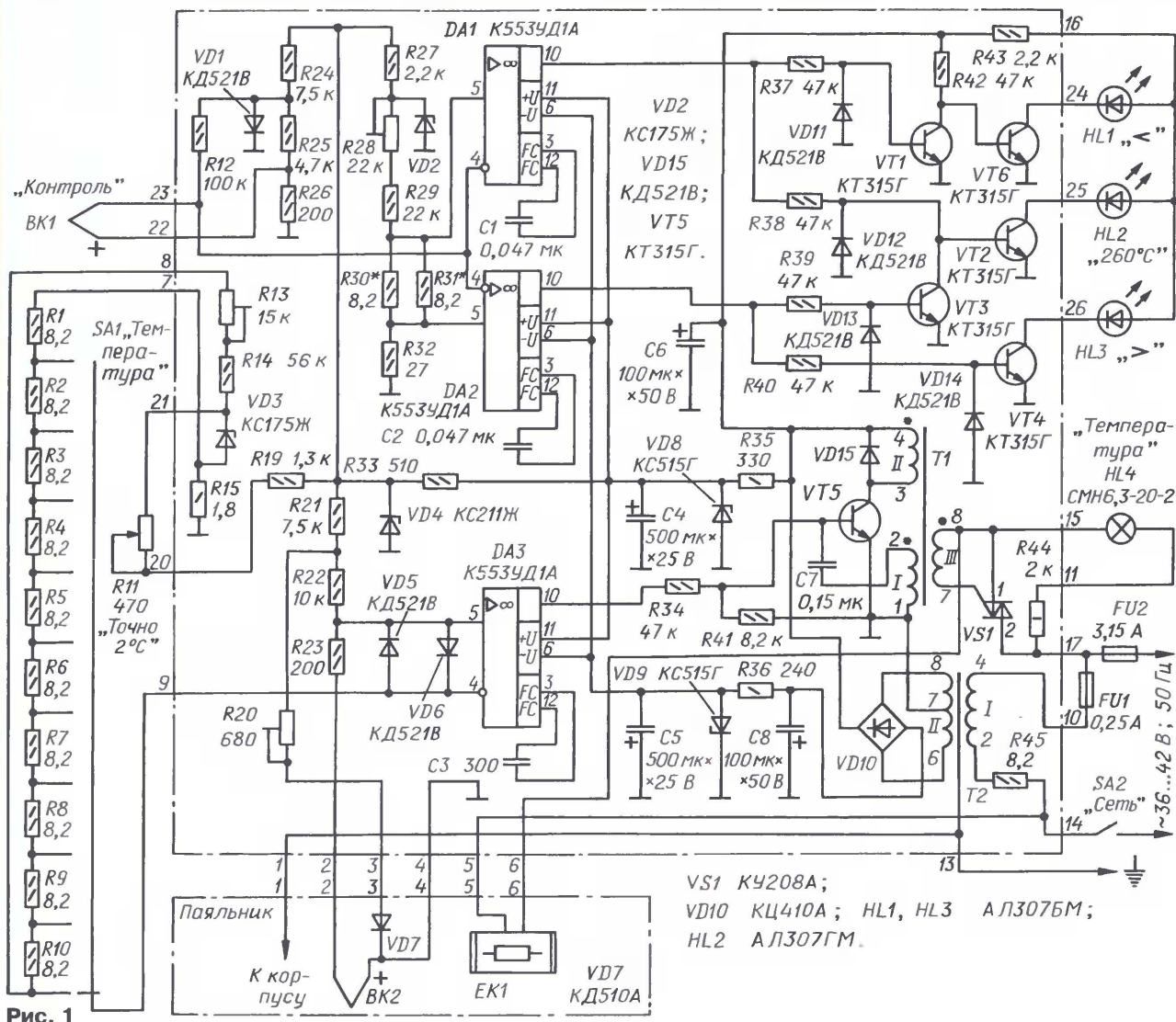


Рис. 1

и R14. Резистор R13 служит для установки необходимого тока через делитель.

Стабилитрон VD3 предназначен для стабилизации напряжения на делителе при подстройке рабочей температуры резистором R11 ("Точно 2 °C"), который выведен на лицевую панель прибора. При изменении тока через элементы R11, R19, VD3, R13—R15 напряжение на резисторах R13, R14 изменяется, а на делителе R1—R10 остается неизменным, что позволяет смещать весь интервал регулирования температуры в ту или иную сторону без изменения его ширины.

К неинвертирующему входу компаратора DA3 подключен резистивный делитель R21—R23 последовательно с термопарой BK2, установленной непосредственно в рабочем стержне паяльника. Параллельно резисторам R22, R23 подключен диод термокомпенсации VD7, смонтированный в ручке паяльника вблизи "холодного спая" термопары BK2. Резистор R20 служит для смещения верхнего значения интервала температуры паяльника. Цепь R20VD7 через резистор R21 подключена к дополнительному стабилизатору, который выполнен на стабилитроне VD4 и резисторе R33.

При включении питания температура паяльника ниже установленной и напряжение на инвертирующем входе компаратора DA3 меньше, чем на неинвертирующем входе, в результате чего на выходе компаратора присутствует положительное напряжение, разрешающее работу блокинг-генератора на транзисторе VT5.

Импульсы с обмотки III блокинг-трансформатора T1 поступают на управляющий электрод симистора VS1. Симистор открывается, подключая нагреватель EK1 паяльника к источнику питания. Индикаторная лампа накаливания HL4 "Температура" выключена.

Температура жала паяльника и термо-ЭДС термопары BK2 увеличиваются, и напряжение на неинвертирующем входе компаратора DA3 постепенно уменьшается. Как только напряжение на обоих входах компаратора становится одинаковым, он переключается и полярность его выходного напряжения меняется на обратную. В результате выключается блокинг-генератор, симистор закрывается и обесточивает нагреватель паяльника. При этом индикаторная лампа HL4 включается, сигнализируя о достижении заданной температуры жала. При остывании паяльника термо-ЭДС термопары BK2 уменьшается и описанный процесс повторяется.

Для оперативного контроля температуры жала паяльника предназначен узел, состоящий из измерительной термопары BK1, компараторов, собранных на ОУ DA1, DA2 с входными резистивными делителями напряжения, усилителей тока на транзисторах VT1—VT4, VT6 и светодиодов HL1—HL3. Измерительная термопара BK1 установлена на передней панели паяльной станции.

Компараторы DA1, DA2 имеют разные пороги переключения. На неинвертирующий вход обоих компараторов поступают сигналы с делителя напря-

жения R28—R32, напряжение на котором фиксировано стабилитроном VD2. Инвертирующие входы объединены и подключены через резистор R12 к делителю R24—R26. К нему же подключена и измерительная термопара. Диод VD1 — термокомпенсирующий.

Усилители тока выполняют одновременно и функцию дешифратора. Диоды VD11—VD14 защищают базовые цепи транзисторов VT1—VT4 соответственно от обратного напряжения.

Если температура жала паяльника при касании им термопары BK1 ниже 260 °C, напряжение на инвертирующем входе компараторов больше, чем на неинвертирующем, поэтому на выходе обоих компараторов будет отрицательное напряжение. При этом все транзисторы дешифратора закрыты, кроме VT6, включающего светодиод HL1 "<" (т. е. менее 260 °C).

Если температура жала находится в пределах 255...265 °C, то при касании им термопары BK1 напряжение на выходе компаратора DA1 станет положительным. Состояние компаратора DA2 не меняется, так как напряжение на его инвертирующем входе больше, чем на неинвертирующем. При этом открываются транзисторы VT1, VT2, светодиод HL1 гаснет и включается HL2 "260 °C".

В случае прикосновения к термопаре BK1 жалом, нагретым до температуры больше 260 °C, напряжение на инвертирующих входах обоих компараторов меньше, чем на неинвертирующих, и на выходе присутствует положительное напряжение. При этом открываются транзисторы VT1, VT3, VT4 и включается светодиод HL3 ">" (более 260 °C).

Узел контроля температуры на работу самого паяльника не влияет. В более ранней версии станции "Термит-ПМ-36-70" этот узел выполнен в виде отдельного модуля, который можно либо использовать, либо отключить и работать со станцией без него.

Паяльная станция выполнена в виде отдельной переносной конструкции. Большинство деталей смонтировано на печатной плате (на схеме они обведены штрихпунктирной линией; заводская нумерация деталей сохранена). В последних модификациях станции в результате ее совершенствования некоторые детали были опущены. Так, на схеме рис. 1 отсутствуют резисторы R16—R18.

На передней панели прибора расположены тумблер "Сеть", термодатчик BK1 "Контроль", световые индикаторы "<", "260 °C", ">". "Температура", переменный резистор "Точно 2 °C", переключатель "Температура".

Паяльник подключен к станции кабелем, выводы которого припаяны к плате. На задней панели расположены сетевые предохранители FU1, FU2.

А теперь рассмотрим наиболее часто встречающиеся неисправности, возникающие в процессе работы, и усовершенствования, которые нужно провести, чтобы устранить недостатки станции и повысить ее надежность.

Основные неисправности, возникающие в первые же дни работы, связаны с плохо пропаянными выводами деталей на печатной плате. Будет

лучше, не дожидаясь отказа в самый неподходящий момент, внимательно осмотреть пайки платы и устранить заводские дефекты. Только вначале не забудьте отключить станцию от сети!

Самая частая неисправность — при включении тумблера "Сеть" паяльник не нагревается. Причиной является обрыв проводов в ручке паяльника, хотя, казалось бы, конструкцией паяльника предусмотрено решение этой проблемы. В ручке к проводам привязана планка из гетинакса, которая должна ограничивать вытяжку шнура. Однако изготовители паяльника привязывали ее зачастую так, что провода в ручке очень скоро обрывались. Не поленитесь и перевяжите провода, как положено. Устраните этот недостаток и избавитесь от многих проблем в будущем.

Обрыв проводов нагревателя приводит к тому, что паяльник перестает нагреваться, а обрыв проводов термопары вызывает перегревание паяльника. Обрыв провода "заземления" будет не сразу обнаружен, так как он не влияет на работу станции. Поэтому необходимо почаще проверять надежность этого соединения.

В некоторых партиях "Термитов" для распайки паяльника применен пятипроводный кабель в экранирующей оплетке, используемой в качестве "заземляющего" провода. Оплетка довольно быстро обламывается на изгибах, и паяльник остается без "заземления". Настоятельно рекомендую вместо оплетки использовать отдельный провод, даже если для этого придется заменить весь шнур.

Следующая часто встречающаяся неисправность — электрический пробой транзистора VT5. Он выходит из строя, как правило, в момент включения станции, когда напряжение питания может одновременно превысить номинальное. Признак выхода транзистора из строя — постоянное свечение индикатора HL4 "Температура" и остывание паяльника. Заменой транзистора КТ315Г на КТ817Г проблема будет решена раз и навсегда.

Нередко случается так, что при изменении температуры рабочего стержня не светит индикатор "Температура". Причина этому — перегорание миниатюрной лампы HL4. Не стоит пытаться ее купить — зачастую это большая редкость, проще заменить светодиодом AL307ГМ зеленого свечения, установив его на место лампы и удалив светофильтр. Припаять светодиод можно без соблюдения полярности к стойкам, к которым была припаяна лампа. Получится интересный эффект: в процессе разогрева паяльника светодиод будет мерцать, как бы усиливая впечатление, что идет процесс нагревания.

Светодиод, включенный таким образом, работает нормально несмотря на завышенную рассеиваемую мощность. Долговечность светодиода повысится, если его зашунтировать любым диодом, включенным встречно—параллельно.

Если температура жала превышает заданную и нет обрыва проводов, причин этого может быть несколько. Например, занижены значения напряжения питания ОУ DA1—DA3 из-за выхода

из строя стабилитронов VD8, VD9 или увеличения утечки конденсаторов C4, C5, а также из-за порчи ОУ (чаще DA3).

Были отмечены несколько случаев перегорания выводов термопары BK2 вследствие замыкания на них одного из оборвавшихся проводов нагревателя. Термопару следует восстановить. Спай можно сделать оплавлением проводов в пламени газовой горелки или электрической дугой от контакта с графитовой коллекторной щеткой электромотора, подав на щетку напряжение 15...30 В от мощного источника тока. Чтобы шарик—спай имел правильную форму, необходимо свариваемые концы тщательно скрутить между собой и обмакнуть в ортофосфорную кислоту.

Когда при включении перегорает предохранитель FU2 и его замена новым не помогает, скорее всего, произошло замыкание выводов нагревателя. Омметром проверяют сопротивление между его выводами 5 и 6 — должно быть приблизительно 33 Ом. Если оно меньше, нужно убедиться в отсутствии рядом с выводами посторонних металлических предметов, которые могут вызвать замыкание под защитным кожухом паяльника, и проверить, не соединяются ли в ручке провода с "заземленным" кожухом.

Только после такой проверки принимают решение о замене нагревательного элемента на новый, имеющийся в комплекте поставки. Если запасного нагревателя нет, то, как правило, на этом жизнь большинства паяльных станций заканчивается.

Однако не следует отчаиваться — нагревательный элемент можно изготовить самостоятельно. Для этого отвинтите защитный кожух от ручки паяльника и аккуратно отпаяйте провода блока управления, предварительно их пронумеровав. Затем отпаяйте выводы термопары и нагревательного элемента от пистонов переходной планки. Осторожно, чтобы не поломать, выньте три термостойкие втулки и отделите переходную планку от защитного кожуха. Отвинтите держатель жала от защитного кожуха и выньте держатель с термопарой и нагревательным элементом из кожуха.

Слегка раскрошите зеленую заливку (обмазку) элемента и освободите выводы его и термопары. Потом, крепко удерживая одной рукой держатель жала, другой рукой плавными поступательными и вращательными движениями старайтесь повернуть нагревательный элемент относительно держателя так, чтобы нагреватель отделился и снялся с держателя. Нагревательный элемент представляет собой две слюдяные трубки—изолятора (внутреннюю и наружную), между которыми находится проволоочная спираль. Соблюдайте осторожность и не повредите выводы термопары. Если повернулась только наружная часть нагревательного элемента (слюдяная трубка—изолятор), то внутреннюю не снимайте. Наружную снимайте круговыми движениями, осторожно, чтобы не повредить, — она еще пригодится.

Сняв наружную часть нагревателя, внимательно осмотрите витки спирали

на предмет отыскания замыканий и обрывов и, по возможности, устранили их. Чаще всего это места скрутки спирали с выводами. Допустимо укоротить спираль на один-два витка. Если она сильно прогорела и имеет несколько замыканий—сплавлений, то ее придется намотать заново.

Для этого подойдет нихромовая проволока диаметром примерно 0,15 мм (в крайнем случае от любого перегоревшего паяльника). Главное, чтобы новая спираль имела сопротивление 33 Ом и разместилась на месте старой с шагом намотки не менее 0,5 мм. Для фиксации начала и конца обмотки привяжите

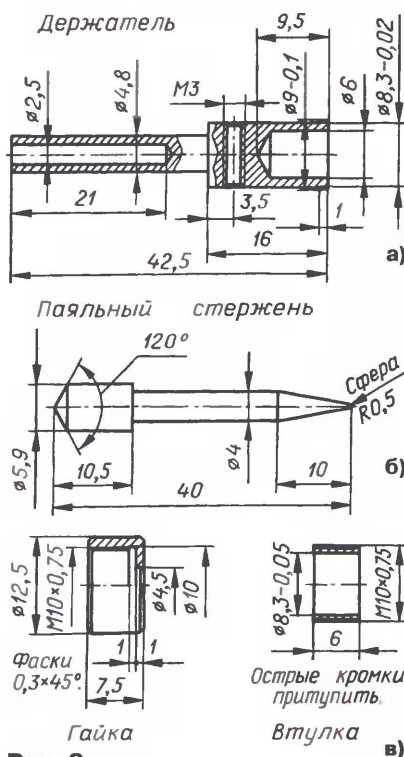


Рис. 2



Рис. 3

проволоку асбестовой нитью или стекловолокном. Затем изолируйте вывод, проходящий вдоль всей спирали. В качестве диэлектрика подойдет слюдяная пластина или асбестовая бумага. Наденные сверху слюдяную трубку—изолятор. Если это не удастся, то обмо-

тайте спираль асбестовой бумагой и обвяжите асбестовой нитью или стекловолокном. Еще раз измерьте сопротивление изготовленного нагревателя.

До начала сборки внимательно осмотрите корпус держателя паяльного стержня. Термопара должна быть хорошо обмазана, свободное ее перемещение внутри держателя недопустимо. Держатель, особенно в месте, где в него вставляется стержень, не должен быть поврежден. Если резьба под винт, который крепит стержень в держателе, сильно изношена, придется нарезать новую, большего размера, или в новом месте.

Использовать держатель с большим числом отверстий не имеет смысла, так как не будет обеспечена необходимая площадь соприкосновения между держателем и стержнем. Следовательно, не будет и должного нагревания стержня, что отрицательно скажется на поддержании заданной температуры. Лучше изготовить новый держатель в комплекте со стержнем, втулкой и гайкой по прилагаемым чертежам (рис. 2).

Держатель и паяльный стержень вытачивают из меди и никелируют химическим способом. Втулку и гайку изготавливают из стали и покрывают цинком. Затем втулку напрессовывают на держатель. В новой конструкции держателя паяльный стержень вставляют в держатель и фиксируют большой гайкой, а не маленьким винтом. Старый и новый держатели в сборе показаны на рис. 3. Видно, что новый держатель позволяет легко и без вреда держателю оперативно сменить паяльный стержень.

Срок службы паяльного стержня, покрытого никелем, гораздо больше. Необходимо лишь как можно дольше не подвергать его механической обработке. Залудить его можно, используя в качестве флюса ортофосфорную кислоту.

Держатель и стержень, изготовленные по предлагаемому чертежу, и описанные доработки были выполнены на паяльных станциях, находящихся в эксплуатации на одном из малых предприятий по выпуску средств связи, и

зарекомендовали себя с лучшей стороны. Срок службы паяльника в условиях производства увеличился с 3...6 месяцев до 3...4 лет.

В этом случае из старого держателя извлекают термопару, аккуратно выковышав из канала заливочную пасту. В

новом держателе заполняют канал обмазкой и вставляют туда термопару. Вокруг выводов термопары обмазку утрамбовывают так, чтобы исключить ее перемещение.

Так как приобрести готовую обмазку проблематично, предлагаю приготовить заменитель. Для этого необходимо в равных весовых количествах смешать "шампунную" (голубую) глину и "хризотил А" (асбестовый порошок) и разбавить водой до сметанообразной консистенции. Полученная смесь — и хороший диэлектрик, и хорошо проводит тепло. В крайнем случае можно использовать обычную глину и мелко растолченный песок.

Затем надевают на новый держатель внутреннюю трубку—изоляцию. Если ее не удалось сохранить, то наматывают на хвостовик держателя несколько слоев асбестовой бумаги. Затем наматывают спираль, надевают наружную трубку—изоляцию или оборачивают асбестовой бумагой. Выводы термопары замазывают до уровня нагревателя полученной смесью, проследив, чтобы выводы не замыкались между собой.

После этого помещают держатель с нагревателем и паяльным стержнем жалом вниз в отверстие в деревянном бруске и кратковременными импульсами, по 15...20 с с паузами 30 с, и подают на выводы нагревателя напряжение 36 В до тех пор, пока обмазка не застынет. Она изолирует термопару от держателя и передает на нее тепло.

Собирают паяльник в обратной последовательности. Чтобы теплостойкие

втулки не смещались, их можно слегка "развальцевать" горячим паяльником. После сборки проверьте на отсутствие замыканий выводов нагревателя и термопары между собой и на провод "заземления". Установите переключатель "Температура" в положение "260 °C". Включите напряжение питания и дайте паяльнику прогреться 15...20 мин. Затем подстроечным резистором R20 подрегулируйте температуру, проводя постоянные измерения температуры жала. Для этого можно обойтись цифровым прибором M-890G (или аналогичным), предварительно залудив измерительную термопару с паяльной кислотой для создания достаточного теплового контакта с жалом.

Следует отметить, что после каждой коррекции необходимо некоторое время, чтобы установилась новая температура (не менее 5 мин), так как паяльник обладает определенной тепловой инерционностью.

Далее переключатель "Температура" переводят в положение "340 °C" и проверяют температуру на этом пределе. Если она не дотягивает до 340 °C, интервал нужно подстроить (расширить) переменным резистором R13. После чего необходимо вновь проверить соответствие температуры на пределе "260 °C". У правильно отрегулированной паяльной станции на всех пределах при достижении заданной температуры должен включаться индикатор HL4 "Температура".

Редактор — Л. Ломакин, графика — Л. Ломакин,  
фото — автора

## МОДУЛЬНАЯ РЕКЛАМА

Контрольный приемник коротковолнового — цифровой всеволновый **DEGEN DE1103** — 3700 рублей.

105318, г. Москва, а/я 52 "ПОСЫЛ-ТОРГ" или <http://www.dessy.ru>.

E-mail: [post@dessy.ru](mailto:post@dessy.ru),

Тел. (495) 543-47-96,

(985) 366-87-86.

\* \* \*

Высылаем почтой запрограммированные по Вашему заказу **микроконтроллеры** и ПЗУ.

390028, Рязань, а/я 8.

[www.progm.nm.ru](http://www.progm.nm.ru)

\* \* \*

**Микроконтроллеры** и радиодетали почтой.

<http://www.chipnn.ru>

\* \* \*

Р/детали отеч. и имп. 9000 типов, книги, компьютеры, ПО.

Ваш конверт. 190013, С.-Петербург, а/я 93, Киселевой.

\* \* \*

Источники, блоки питания, радионаборы, детали, радиостанции, станки токарно-сверлильные, намоточные, пластмассовые изделия.

622031, г. Н.-Тагил, а/я 6.

E-mail: [fai26@yandex.ru](mailto:fai26@yandex.ru)

# ВЕСНА... СЛЫШНО ИЗДАЛЕКА!

## КомпасР

YAESU THE RADIO AMATEUR'S WORLD MAP

ООО "Компас-Р" - весь спектр радиолюбительского оборудования.

129301, Россия, Москва, ул. Космонавтов, 18 корп.2

Тел.: (495) 956-1394

Интернет: [www.compasr.ru](http://www.compasr.ru), [www.vxstd.ru](http://www.vxstd.ru)

# Зарядное устройство на базе регулятора мощности PR1500i

С. МУРАЛЕВ, г. Димитровград Ульяновской обл.

Это зарядное устройство для автомобильной батареи аккумуляторов разработано с целью создать работоспособный прибор с минимальными материальными и трудовыми затратами. Стимулом к реализации идеи послужило появление в продаже фазового регулятора мощности PR1500i [1, 2], а за прототип было взято зарядное устройство Н. Таланова и В. Фомина [3].

му постоянную составляющую на первичной обмотке трансформатора. Последующая эксплуатация пяти экземпляров зарядного устройства с разными трансформаторами в разных температурных условиях доказала правильность и надежность этого решения.

Регулятор модификации PR1500i, имеющий гальванически изолированный теплоотводящий фланец, исполь-

зующий. Резистор R1 необходимо изолировать от корпуса и снабдить пластмассовой ручкой, так как он находится под напряжением сети. Мост VD1 должен быть рассчитан на ток нагрузки 10 А или больше. В монтаже наиболее удобен мост с изолированным корпусом и отверстием для крепления. Вид на монтаж устройства представлен на рис. 2.

Амперметр PA1 — любой, постоянного тока, со шкалой на 8...25 А. В описываемом зарядном устройстве был установлен амперметр, изготовленный из китайского мультиметра YX-1000A [4]. Предохранитель FU2 предназначен для защиты диодного моста VD1 от неправильного подключения батареи аккумуляторов в обратной полярности и случайных замыканий выходной цепи.

Внешний вид одного из вариантов зарядного устройства показан на рис. 3. Полнокомплектное зарядное устройство обычно снабжают и вольтметром. Вольтметр PV1 подойдет любой малогабаритный со шкалой на 15 В.

Налаживания устройство не требует и начинает работать сразу. Следует помнить, что включать зарядное устройство в сеть следует только после того,

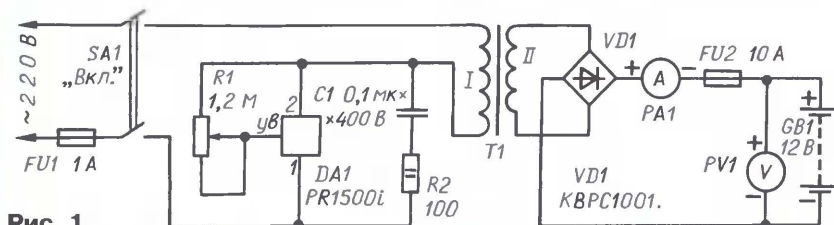


Рис. 1

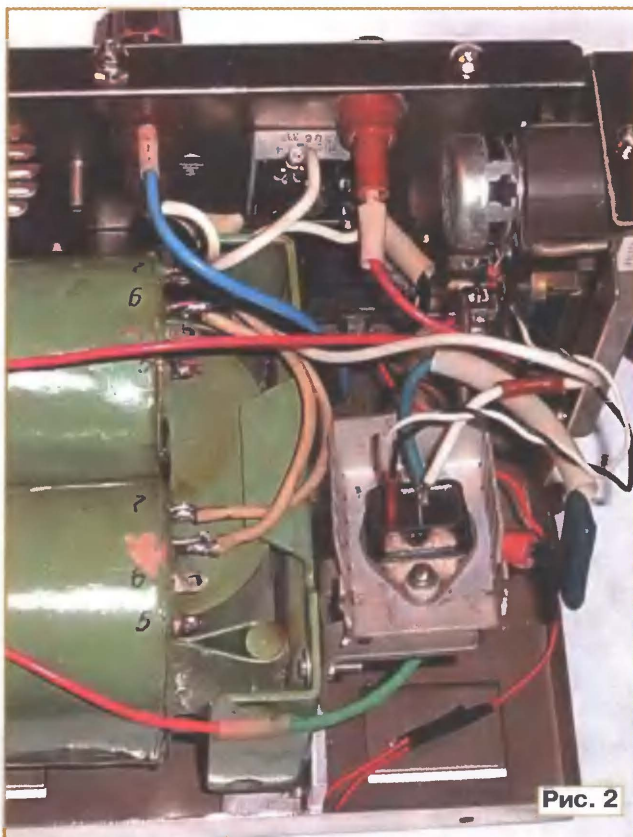


Рис. 2

Большим плюсом предлагаемого устройства, наряду с его простотой, оказалась не критичность к выбору сетевого трансформатора — его вторичная обмотка может иметь напряжение от 12 до 25 В. Разумеется, она должна выдерживать требуемую токовую нагрузку. Еще на стадии проектирования предполагалось, что симистор регулятора мощности PR1500i открывается на одинаковых углах при смене полярности напряжения сети, что сводит к миниму-

му вариант включения регулятора мощности PR1500i соответствует заводским рекомендациям по конструированию устройств с индуктивными нагрузками. Это важно — при отсутствии цепи C1R2 зарядное устройство не работает.

При изготовлении прибора я применил объемный монтаж. Выпрямительный мост VD1 привинчен к корпусу устройства, а регулятор DA1 закреплен на теплоотводе, прикрепленном к трансформатору с помощью металлического



Рис. 3

зован для обеспечения более удобной компоновки. Цоколевка этого регулятора указана в [2]. Все устройство размещено в корпусе от вышедшего из употребления компьютерного блока питания, у которого были оставлены сетевые разъемы и выключатель.

Схема зарядного устройства изображена на рис. 1.

как переменный резистор R1 будет установлен в положение, соответствующее минимальному зарядному току.

К плюсам описанного устройства можно отнести его простоту и доступность для изготовления даже малоопытным радиолюбителям, гальваническую изоляцию нагрузки от сети, отсутствие необходимости в наладке, нетребовательность к выбору трансформатора. Минусы — отсутствие стабилизации зарядного тока, из-за чего приходится его корректировать в процессе зарядки, и повышенная шумность трансформатора.

## ЛИТЕРАТУРА

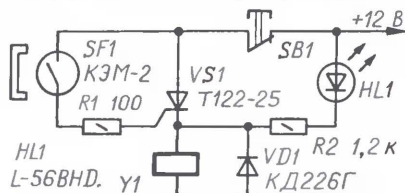
1. Фазовые регуляторы мощности. — <http://www.thyristor.ru/hibr.html>.
2. Долгий А. Регуляторы мощности PR1500, PR1500i, PR1500g, PRP-500. — Радио, 2004, № 11, с. 47, 48.
3. Таланов Н., Фомин В. Зарядное устройство для стартерных батарей аккумуляторов. — Радио, 1994, № 7, с. 28, 29.
4. Измерительная головка из китайского мультиметра. — <http://muralev.narod.ru/archiv/r12/YX-1000A.htm>.

Редактор — Л. Ломакин, графика — Л. Ломакин, фото — автора

# Простой автосторож

Д. БИЛИНКИС, г. Березники Пермского края

На разработку и изготовление описываемого ниже устройства меня натолкнула статья "Эффективная противоугонная система для автомобиля" в сборнике № 3 "Радиобиениям полезные схемы" (И. Шелестов — "СОЛОН-Р", 2000, с. 116). Эта система требует изготовления намоточных узлов, в ней применен крупный геркон, требующий соответствующих размеров управляющий магнит. Кроме этого, оказалось, что система имеет склонность переходить в неуправляемый генераторный режим.



Взяв это устройство в качестве прототипа, я решил попробовать доработать его и устранить отмеченные недостатки. То, что в результате получилось, представляю на суд читателей. Схема сторожа показана на рисунке. Основой устройства служит электромагнитный клапан Y1, устанавливаемый в разрыв топливной магистрали от бензобака к двигателю. Режим охраны соответствует отсечке подачи топлива к двигателю.

При подаче напряжения питания включается мигающий светодиод HL1,

указывающий на то, что сторож включен и подачи топлива нет, поскольку тринистор VS1 остается закрытым и электроклапан Y1 обесточен.

Для открывания клапана необходимо поднести к геркону-замку SF1 магнитный ключ. Геркон замкнется, откроется тринистор и сработает клапан Y1, разрешая подачу топлива. Светодиод HL1 выключится. Машина готова к движению.

Если после остановки автомобиля требуется сторож переключить в режим охраны, достаточно нажать на кнопку SB1. При этом анодная цепь тринистора будет обесточена, он закроется. Вслед за ним обесточится обмотка клапана, что приведет к отсечке подачи топлива.

Тринистор T122-25 можно заменить на КУ201, КУ202 с любым буквенным индексом. Вместо мигающего L-56BHD подойдет любой обычный светодиод, возможно, потребуется только подобрать резистор R2, чтобы ток через светодиод не превысил допустимого значения.

Кнопка SB1, устанавливаемая в любом удобном месте, должна иметь замкнутые контакты, выдерживающие ток не менее 0,5 А. Геркон SF1 следует монтировать скрытно, в месте, удобном для открывания магнитным ключом и известном только хозяину. Ключ следует оформить в виде брелока.

Детали R1, R2, VS1, VD1 собирают объемным монтажом, помещают в миниатюрный пластиковый футляр и за-

полняют для механической прочности и влагостойкости строительным силиконовым герметиком. Готовый узел располагают так, чтобы он был малозаметен; его выводы по цвету не должны сильно отличаться от имеющейся на автомобиле проводки.

Топливный клапан на рабочий ток 0,3...0,5 А следует разместить в труднодоступном месте.

Если контакты кнопки SB1 заменить контактами электромагнитного реле (автомобильного 90.3447), а его обмотку включить параллельно обмотке электрозамок двери, обе системы будут работать одновременно от радиобрелока.

Описанный автосторож был смонтирован на автомобиле "Ока" и успешно работает уже более пяти лет. Следует также отметить, что если устройство установлено на автомобилях с механической блокировкой включения стартера (ВАЗ-2109, ВАЗ-11113 и др.) и подключено после замка зажигания, то для запуска остановившегося двигателя необходимо выключить и снова включить зажигание.

**Примечание редакции.** Следует иметь в виду, что даже кратковременный случайный перебой в подаче тока к клапану приведет к непредвиденной отсечке топлива. В условиях движения автомобиля в плотном потоке это может стать причиной аварийной ситуации. Указанное обстоятельство требует содержать бортовую сеть в полной исправности, выбирать для сторожа хорошо проверенные детали и узлы, а все электрические соединения выполнять максимально надежными.

Редактор — Л. Ломакин, графика — Л. Ломакин

## МОДУЛЬНАЯ РЕКЛАМА

### ИНТЕРНЕТ-МАГАЗИН "EKITS.RU" предлагает:

- Набор выводных резисторов, 168 номиналов по 20 шт.
- Набор выводных керамических конденсаторов, 40...50 номиналов по 20 шт.
- Набор выводных керамических конденсаторов NPO, 31 номинал по 10 шт.
- Набор электролитических конденсаторов, 12 номиналов, всего 108 шт.
- Набор ЧИП-резисторов 1206, 168 номиналов по 25 шт.
- Набор ЧИП-резисторов 0805, 169 номиналов по 25 шт.
- Набор ЧИП-конденсаторов 0805 NPO — 36 номиналов по 15 шт. и набор X7R — 27 номиналов по 15 шт.
- Набор ЧИП-светодиодов 0805, 4 цвета по 15 шт.
- Набор ЧИП-транзисторов SOT-23.
- Наборы танталовых ЧИП-конденсаторов (размеры А, В, С, D), по 10 шт.
- Набор 5 мм суперъярких светодиодов, 4 цвета по 15 шт.
- Набор 3 мм светодиодов, 3 цвета по 15 шт.
- Набор ЧИП-стабилитронов, 18 номиналов по 5 шт.
- Мокетные платы, 35 типов.
- Набор термоусадочной трубки, 10 размеров по 140 мм.
- Солнечные элементы: 10×31 мм,

0,47 В, 0,08 А; 31×31 мм, 0,47 В, 0,24 А; 103×103 мм, 0,47 В, 2,8 А и др.

### Электронные конструкторы:

- EK-7208Y-Kit — EK-7208W-Kit — Встраиваемый вольтметр (до 99 В) + амперметр (до 10 А), двухстрочный ЖК дисплей, измерение тока в обеих полярностях. Белая и зеленая подсветки. Идеальное решение для лабораторного БП.
- EK-2501Kit — Встраиваемый вольтметр (до 99 В), с трехразрядным светодиодным индикатором, недорогая и миниатюрная замена стрелочному индикатору.
- EK-3488Kit — "Три устройства в одном!", выбор режима конфигурационными джамперами: цифровой амперметр до 10 А, милливольтметр или вольтметр. Для всех конфигураций измерение в обеих полярностях! Трехразрядный светодиодный индикатор.
- EK-2006/12Kit — интеллектуальное зарядное устройство для 12 В свинцовых аккумуляторов, цифровая индикация напряжения.
- EK-713Kit — интеллектуальное зарядное устройство для Ni-Cd и Ni-Mh аккумуляторов.
- EK-Light18Kit — светодиодная головка и управляющий драйвер, питание 4...28 В.
- EK-Light4Kit — светодиодная головка и управляющий драйвер, пять уровней яркости, управление одной кнопкой, питание 3,6...16 В.

— EK-8425Kit — цифровой стереорегулятор громкости и тембра, кнопочное управление.

— EK-1557Kit — Стереосулитель 22 Вт на канал.

— EK2596Kit — Импульсный регулируемый стабилизатор напряжения 0...40 В, 3 А.

### Электронные модули:

— EK-1674Module — миниатюрный повышающий преобразователь размерами 17×12×5 мм, вход от 0,7 В, выход 3,3 В / 5 В. КПД до 94 %. Идеальное решение для питания цифровых схем от одной полторавольтовой батарейки!

— SVH0001G — Миниатюрный цифровой вольтметр зеленый индикатор. SVH0001R — красный.

— SVL0002 — миниатюрный цифровой вольтметр, LCD-дисплей, питание 6...30 В, потребление 3 мА!

**А также другие конструкторы и уже собранные и настроенные модули. Внимание!** Доставка по России наложенным платежом от 130 руб., с предоплатой через Сбербанк от 50 руб. (заполненная квитанция высылается на электронный адрес). Для юр. лиц — безналичный расчет. Минимальный заказ от 1 шт.! Для заказа бумажного каталога — подписанный конверт с обратным адресом.

www.ekits.ru ekits@mail.ru

Т./факс (836) 457-06-36

425060, а/я 41, г. Звенигово, Респ. Марий Эл.

# Низкочастотный эхо-процессор НТ8970

Микросхема НТ8970 представляет собой процессор управления задержкой электрических речевых или музыкальных сигналов для получения эффектов искусственной реверберации и объемного звучания. Время задержки и процентное соотношение прямого и задержанного сигналов в выходном напряжении можно устанавливать по желанию потребителя.

Микросхему выпускают в пластмассовом шестнадцатывыводном корпусе двух модификаций — DIP-16 для традиционного монтажа и SOP-1 — для поверхностного (рис. 1, а и б); выводы — штампованные плоские луженые.

Процессор состоит из двух предусилителей сигналов, дельта-модулятора/демодулятора, двух фильтров нижних частот, компаратора, устройства

## Основные технические характеристики

|  |                       |
|--|-----------------------|
| Напряжение питания, В                                  | ..... $\pm 5 \pm 0,5$ |
| Потребляемый ток, мА                                   | .....                 |
| максимальный   | .....30               |
| типичное значение                                      | .....15               |
| Коэффициент передачи                                   | ..... $\approx 1$     |
| Уровень собственных шумов, дБ, в режиме реверберации   | .....-85              |
| Уровень нелинейных искажений, %, в режиме реверберации | .....-90              |
| Уровень нелинейных искажений, %, в режиме реверберации | .....1                |
| Уровень нелинейных искажений, %, в режиме реверберации | .....0,2              |

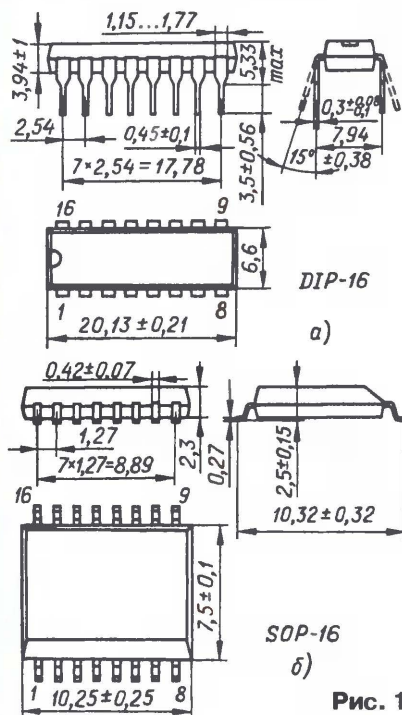


Рис. 1

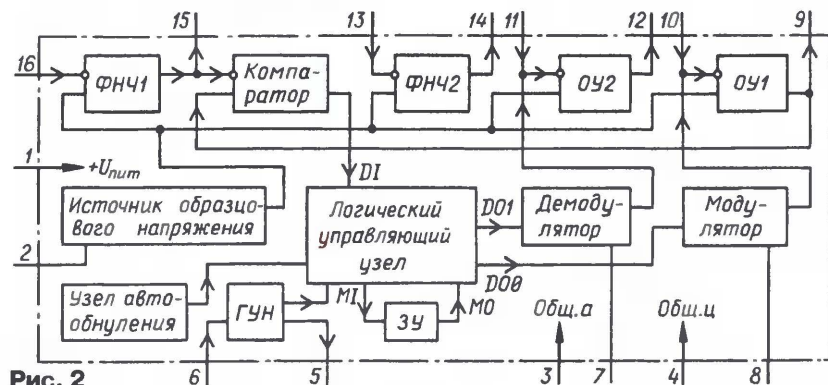


Рис. 2

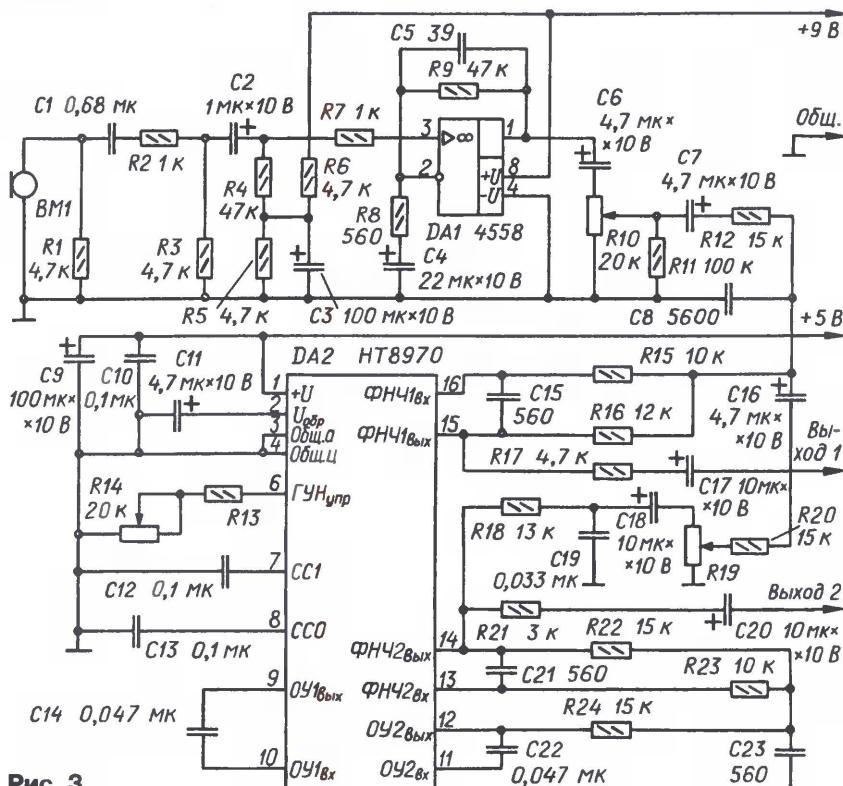


Рис. 3

памяти объемом 20 кБ, генератора, управляемого напряжением, и логического управляющего узла, координирующего работу всех узлов (см. структурную схему на рис. 2). Предусилители, фильтры и компаратор выполнены на операционных усилителях. Цоколевка микросхемы представлена в таблице.

Предельно допустимое напряжение на выводах питания микросхемы (выв. 1—3; 4), В ..... $-0,3...+6$   
Предельно допустимое напряжение на входах микросхемы (выв. 6, 10, 11, 13, 16) ..... $-0,3...(U_{пит}+0,3)$

| Номер вывода | Обозначение         | Функциональное назначение                  |
|--------------|---------------------|--|
| 1            | +U                  | Плюсовой вывод питания                     |
| 2            | U <sub>обр</sub>    | Вывод образцового напряжения               |
| 3            | Общ.а               | Вывод общего провода аналоговой части      |
| 4            | Общ.ц               | Вывод общего провода цифровой части        |
| 5            | ГУН <sub>вых</sub>  | Выход генератора, управляемого напряжением |
| 6            | ГУН <sub>упр</sub>  | Вывод сигнала управления частотой ГУН      |
| 7            | СС1                 | Токковое управление демодулятором          |
| 8            | СС0                 | Токковое управление дельта-модулятором     |
| 9            | ОУ1 <sub>вых</sub>  | Выход ОУ1                                  |
| 10           | ОУ1 <sub>вх</sub>   | Вход ОУ1                                   |
| 11           | ОУ2 <sub>вх</sub>   | Вход ОУ2                                   |
| 12           | ОУ2 <sub>вых</sub>  | Выход ОУ2                                  |
| 13           | ФНЧ2 <sub>вх</sub>  | Вход фильтра НЧ2                           |
| 14           | ФНЧ2 <sub>вых</sub> | Выход фильтра НЧ2                          |
| 15           | ФНЧ1 <sub>вых</sub> | Выход фильтра НЧ1                          |
| 16           | ФНЧ1 <sub>вх</sub>  | Вход фильтра НЧ1                           |

Рабочий интервал температуры окружающей среды, °C ..... -20...+70  
Температура хранения, °C ..-50...+125

Типовая схема включения прибора для работы в режиме реверберации с динамическим микрофоном показана на рис. 3. Максимальный размах сигнала с выхода микрофонного усилителя, собранного на ОУ DA1, устанавливают переменным резистором R10. Выходной задержанный сигнал, снимаемый с выхода фильтра НЧ2 микросхемы DA2, через довольно развитую согласующую цепь на резисторах R18—R20 и конденсаторах C16, C18, C19 в несколько ослабленном виде смешивают с входным сигналом, чем и достигают рециркуляции сигналов, необходимой для реверберации.

Переменным резистором R19 "Глубина реверберации" добиваются требуемого уровня задержанного сигнала. Суммарный сигнал формируется на выходе ФНЧ1 микросхемы и через ограничительный резистор R17 и конденсатор C17 поступает на выход узла (Выход 1).

В нижнем по схеме положении движка резистора R19 задержанный сигнал не проходит в суммирующую цепь, поэтому реверберация отсутствует, а в верхнем положении уровень реверберации максимален. Рекомендуемое фирмой-изготовителем этого резистора — несколько десятков килоом. Переменным резистором R14 устанавливают время задержки сигнала. Резистор R13 — ограничительный; его сопротивление может быть в пределах от сотен ом до десятков килоом.

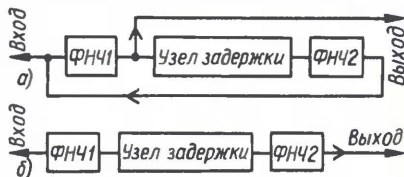


Рис. 4

При изменении суммарного сопротивления резисторов R13, R14 изменяется частота внутреннего тактового генератора, определяющая задержку. С уменьшением сопротивления тактовая частота увеличивается и задержка уменьшается. Контрольная точка с выходным сигналом генератора — выход ГУН<sub>вых</sub> (выход 5) микросхемы.

Структуру устройства в режиме "Реверберация" иллюстрирует схема, представленная на рис. 4, а.

В режиме "Объемное звучание" (см. схему на рис. 4, б) используется только задержанный сигнал с выхода ФНЧ2 (выход 14) микросхемы, поступающий на Выход 2 узла через резистор R21 и конденсатор C20. Элементы R17—R20, C16—C19 для работы в этом режиме не нужны.

Материал подготовил  
Л. КОРОЛЕВ

г. Москва

Редактор — Л. Ломакин, графика — Л. Ломакин

## Импульсные преобразователи — стабилизаторы постоянного напряжения серии R-78

Эти приборы предназначены для преобразования нестабилизированного входного напряжения в стабилизированное выходное. Общий провод входа и выхода — минусовый.

По габаритам, расположению и функциональному назначению выводов, схеме включения, большинству электрических параметров приборы взаимозаменяемы с широко распространенными интегральными стабилизаторами серии 78XX и их отечественными аналогами, например, серии KP142, но отличаются значительно

в традиционном включении приведены в таблице.

Рабочий интервал температуры окружающей среды для преобразователей — от -40 до +85 °C. Температурный коэффициент выходного напряжения — 0,015 %/°C. Максимальная емкость нагрузки — 220 мкФ (для приборов группы R-78B с током нагрузки 1,5 А — 1000 мкФ).

Рекомендуется защита приборов от протекания обратного тока (от выхода к входу) подключением диода анодом к

| Стабилизатор | Входное напряжение, В  | Выходное напряжение, В | Ток нагрузки <sup>1</sup> , А, не более | КПД, %, при входном напряжении |     | Собственный потребляемый ток <sup>2</sup> , мА, не более | Частота преобразования, кГц | Размах напряжения пульсаций на выходе, мВ, не более |
|--------------|------------------------|------------------------|---|--------------------------------|-----|--|-----------------------------|---|
|              |                        |                        |   | min                            | max |  |                             |   |
| R-781.5-0.5  | 4,75...30 <sup>1</sup> | 1,5                    | 0,5                                     | 73                             | 63  | 7  | 280...380                   | 20 <sup>5</sup>                                     |
| R-78B1.5-1.0 | 4,75...26              |                        | 1                                       | 77                             | 71  |  |                             | 30  |
| R-78B1.5-1.5 | 4,75...18              |                        | 1,5                                     | 83                             | 78  |  |                             | 30  |
| R-781.8-0.5  | 4,75...34 <sup>1</sup> | 1,8                    | 0,5                                     | 82                             | 71  | 7  | 280...380                   | 20 <sup>5</sup>                                     |
| R-781.8-1.0  | 4,75...18              |                        | 1                                       | 80                             | 74  |  |                             | 30  |
| R-78B1.8-1.0 | 4,75...26              |                        | 1,5                                     | 85                             | 81  |  |                             | 30  |
| R-78B1.8-1.5 | 4,75...18              | 2,5                    | 1,5                                     | 85                             | 81  | 9  | 300...380                   | 30  |
| R-782.5-0.5  | 4,75...34 <sup>1</sup> |                        | 0,5                                     | 87                             | 77  |  |                             | 20 <sup>5</sup>                                     |
| R-782.5-1.0  | 4,75...18              |                        | 1                                       | 81                             | 81  |  |                             | 30  |
| R-78B2.5-1.0 | 4,75...34 <sup>2</sup> | 3,3                    | 1,5                                     | 88                             | 84  | 9  | 300...380                   | 30  |
| R-78B2.5-1.5 | 4,75...18              |                        | 1,5                                     | 88                             | 84  |  |                             | 30  |
| R-783.3-0.5  | 4,75...34 <sup>1</sup> |                        | 0,5                                     | 91                             | 81  |  |                             | 20 <sup>5</sup>                                     |
| R-783.3-1.0  | 4,75...18              | 5                      | 1                                       | 90                             | 84  | 7  | 280...430                   | 30  |
| R-78B3.3-1.0 | 4,75...34 <sup>2</sup> |                        | 1,5                                     | 89                             | 83  |  |                             | 20  |
| R-78B3.3-1.5 | 4,75...18              |                        | 1,5                                     | 91                             | 88  |  |                             | 30  |
| R-785.0-0.5  | 6,5...34 <sup>1</sup>  | 6,5                    | 0,5                                     | 94                             | 86  | 7  | 280...380                   | 20 <sup>5</sup>                                     |
| R-785.0-1.0  | 6,5...18               |                        | 1                                       | 93                             | 88  |  |                             | 30  |
| R-78B5.0-1.0 | 6,5...34 <sup>2</sup>  |                        | 1,5                                     | 94                             | 92  |  |                             | 30  |
| R-78B5.0-1.5 | 6,5...18               | 9                      | 1,5                                     | 94                             | 90  | 9  | 300...380                   | 30  |
| R-786.5-0.5  | 8...34 <sup>1</sup>    |                        | 0,5                                     | 95                             | 88  |  |                             | 20 <sup>5</sup>                                     |
| R-78B6.5-1.0 | 9...34 <sup>2</sup>    |                        | 1                                       | 94                             | 90  |  |                             | 20  |
| R-78B6.5-1.5 | 8...18                 | 12                     | 1,5                                     | 95                             | 93  | 9  | 300...380                   | 30  |
| R-789.0-0.5  | 11...34 <sup>1</sup>   |                        | 0,5                                     | 96                             | 92  |  |                             | 35 <sup>5</sup>                                     |
| R-78B9.0-1.0 | 12...34 <sup>2</sup>   |                        | 1                                       | 95                             | 93  |  |                             | 35  |
| R-7812-0.5   | 15...34 <sup>1</sup>   | 15                     | 0,5                                     | 97                             | 94  | 7  | 280...380                   | 35 <sup>5</sup>                                     |
| R-78B12-1.0  | 16...34 <sup>2</sup>   |                        | 1                                       | 96                             | 95  |  |                             | 35  |
| R-7815-0.5   | 18...34 <sup>1</sup>   |                        | 0,5                                     | 97                             | 95  |  |                             | 35 <sup>5</sup>                                     |
| R-78B15-1.0  | 20...34 <sup>2</sup>   |                        | 1                                       | 96                             | 96  | 7  | 280...380                   | 35  |

<sup>1</sup>При напряжении более 26 В вход необходимо шунтировать конденсатором емкостью 3,3 мкФ. <sup>2</sup>При напряжении более 30 В вход необходимо шунтировать конденсатором емкостью 22 мкФ. <sup>3</sup>Минимальный рекомендуемый ток нагрузки — 10 мА. Работа без нагрузки допустима, однако значения некоторых параметров не гарантируются. <sup>4</sup>При отсутствии нагрузки <sup>5</sup>Выход шунтирован конденсатором емкостью 100 мкФ.

большим КПД, поскольку построены по импульсному принципу.

Некоторые из этих приборов способны, если необходимо, инвертировать полярность выходного напряжения. Общий провод при таком включении — минусовый со стороны питания и плюсовой со стороны нагрузки. Требуется лишь поменять местами точки подключения двух выводов преобразователя — выходного и общего (он станет для цепи нагрузки минусовым).

Номенклатура и основные технические характеристики преобразователей

выходу, а катодом к входу. Допустимо также включать диод Шоттки последовательно — согласно с нагрузкой.

Преобразователи группы R-78B изготавливают как с прямыми, так и с изогнутыми под 90 град. выводами, что отмечают индексом L в конце обозначения.

Использована информация сайта  
<[www.recom-electronic.com](http://www.recom-electronic.com)>.

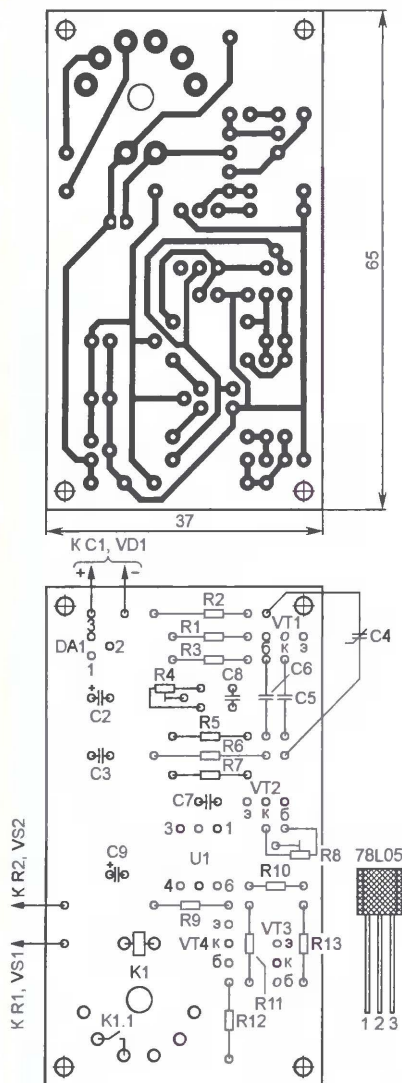
Редактор — Л. Ломакин

# НАША КОНСУЛЬТАЦИЯ

**МАРКОВ В. Регулятор влажности в погребе. — Радио, 2008, № 4, с. 35, 36.**

## Печатная плата.

Чертеж возможного варианта печатной платы регулятора изображен на **рис. 1**. На ней монтируют все элементы, кроме T1, VD1, C1 (см. рис. 1 в статье) и



## начинающим

### Игрушка-сувенир "Теннис"

Д. МАМИЧЕВ, п/о Шаталово Смоленской обл.

Предлагаемая вниманию читателей конструкция представляет собой светодиодно-механический имитатор игры двух мышат в настольный теннис. Эта игрушка может стать хорошим подарком.

Внешний вид конструкции показан на рис. 1. Игрушечные мышата поочередно "ударяют" ракетками по

"мячу", который с различной скоростью перемещается между ними по игровому полю. Устав, мышата периодически

отдыхают, а через некоторое время возобновляют игру.

Схема устройства показана на рис. 2. Переключение светодиодов HL1—HL7 имитирует движение мяча, а реле K1, K2 — механическое движение картонных фигурок игроков. Узел на микросхемах DD1—DD3 управляет их работой. На микросхеме DD1 собран генератор импульсов, частоту следования которых задают конденсатор C1 и резисторы R1, R2. Триггеры счетчика этой микросхемы последовательно делят частоту импульсов генератора на два. В результате на выходах 2<sup>3</sup>, 2<sup>4</sup>, 2<sup>5</sup> (соответствующие выводы 7, 5, 4) появляются импульсы, частоты следования которых относятся как 4:2:1, именно они и задают скорость переключения светодиодов и, соответственно, скорость движения мяча.

Мультиплексор DD2 коммутирует эти импульсы, подавая их поочередно на вход десятичного счетчика DD3, вследствие чего происходит смена темпа игры. Перебор адресных кодов



Рис. 1

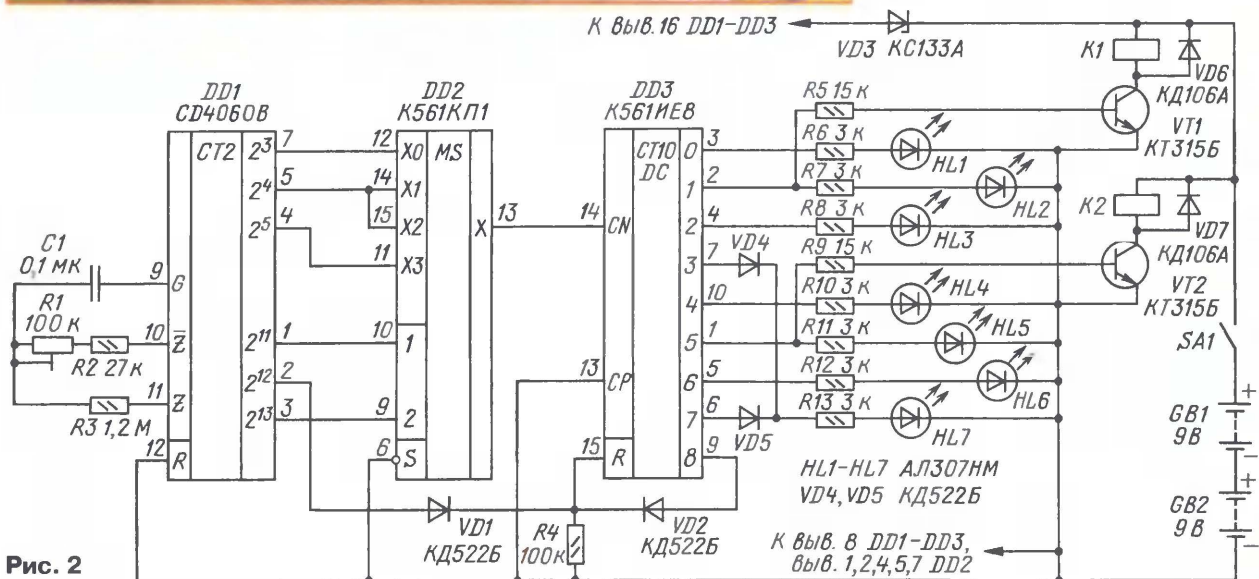


Рис. 2

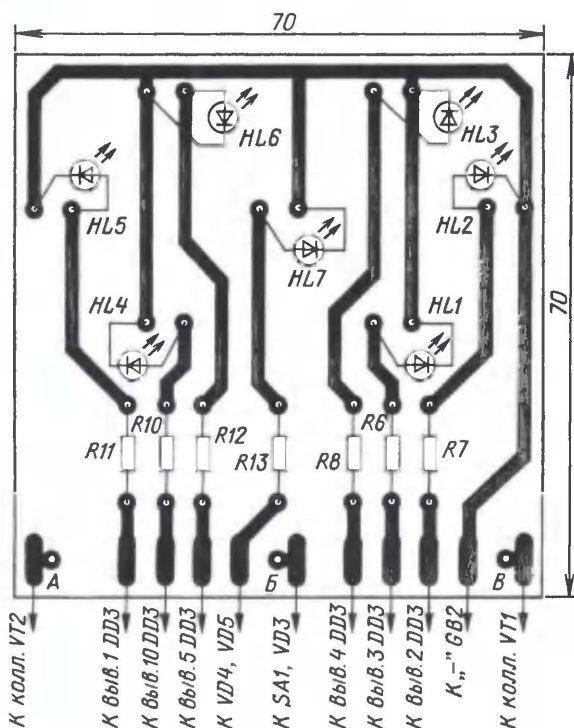


Рис. 3

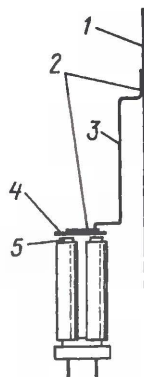


Рис. 5

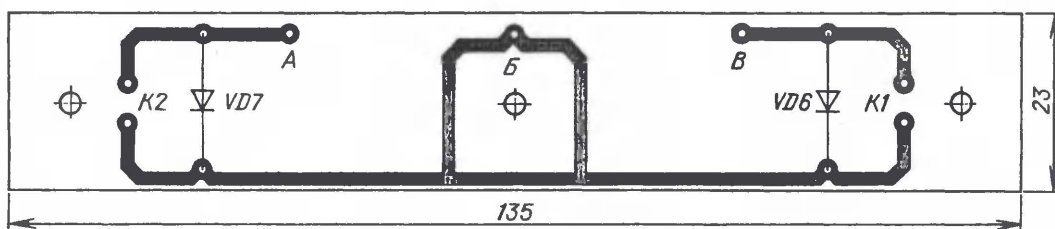


Рис. 4

мультиплексора также осуществляет счетчик DD1 импульсами с выходов 2<sup>11</sup> и 2<sup>13</sup> (выводы 1 и 3). Кроме того, импульсы с выхода 2<sup>12</sup> (вывод 2) счетчика DD1 через диод VD1 поступают на вход обнуления счетчика DD3, блокируя тем самым его работу — так формируются паузы во время игры. С каждым импульсом, приходящим на вход CN счетчика DD3, на его выходах последовательно появляется высокий уровень. Когда высокий уровень устанавливается на выходе 8 (вывод 9), через диод VD2 он поступает на вход R (вывод 15) счетчика DD3 и обнуляет его. Затем цикл повторяется.

Светодиоды HL1—HL7 расположены на плате так, что "световой мяч" движется по замкнутой линии в виде "восьмерки", проходя "над сеткой" дважды за один цикл. Светодиод HL7, символизирующий мяч над сеткой, зажигается два раза, поскольку он подключен к двум выходам счетчика через развязывающие диоды VD4, VD5.

Транзисторы VT1, VT2 коммутируют соответственно обмотки реле K1 и K2. Когда транзистор открывается, через обмотку реле начинает протекать ток, якорь, притягиваясь к магнитопроводу, заставля-

ляет фигурку отклоняться, имитируя с характерным щелчком удар по мячу.

Последовательно включенный стабилитрон VD3 понижает напряжение питания микросхем до допустимого значения 15 В.

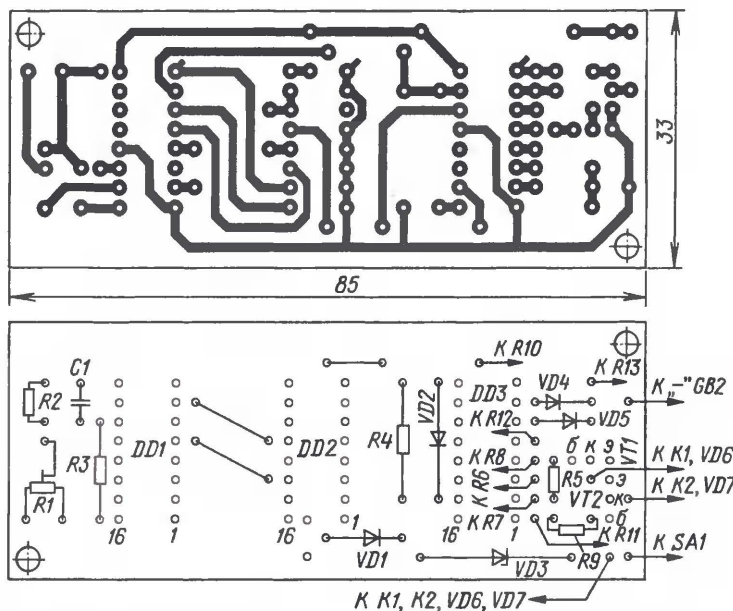


Рис. 6

Устройство собрано на трех платах из фольгированного с одной стороны стеклотекстолита толщиной 1,5 мм. Индикатор смонтирован на двух платах (рис. 3, 4), соединенных под прямым углом с помощью проволочных перемычек, которые впаивают в соответствующие отверстия А, Б и В. К плате, на которой установлены светодиоды (см. рис. 3), над резисторами приклеивают отрезок Т-образного профиля из пластмассы (см. рис. 1), символизирующий теннисный стол с сеткой. Светодиоды должны быть расположены на расстоянии примерно 20 мм от платы, их припаивают к плате на всю длину выводов.

У реле РЭС9 (паспорт РС4.524.201 или исполнение РС4.529.029-01, сопротивление обмотки 450...550 Ом) снимают корпуса и удаляют контактные группы вместе с выводами. Оставшимися выводами обмоток реле впаивают в плату (рис. 4). Из мягкой стальной проволоки диаметром 0,6...1 мм изготавливают держатели фигурок 3 (рис. 5), концы которых изгибают в виде "змеек" 2 для лучшего скрепления элементов. Подготовленные детали

соединяют с помощью клея "Момент" или "Монолит" согласно рис. 5. Высоту фигурок 1 лучше выбрать в пределах 5...8 мм, а зазор между якорем 4 и магнитопроводом 5 реле установить равным 0,7...1 мм.

Большую часть элементов узла управления монтируют на плате, чертеж которой показан на **рис. 6**. Платы индикатора соединяют с платой управления жгутом из одиннадцати проводов. Питает устройство от двух батарей "Крона", "Корунд" или их импортных аналогов, соединенных последовательно. Импульсный потребляемый ток не превышает 40 мА.

Платы и батареи питания закрепляют на основании, изготовленном из изоляционного материала. Всю конструкцию помещают в корпус, представляющий

собой прозрачный параллелепипед, который собран из отрезков органического стекла, соединенных прозрачной липкой лентой — скотчем. Одну из боковых стенок корпуса прикрепляют полоской скотча только в верхней части — получается некоторое подобие дверцы. Внутреннее пространство корпуса разделяют на две части перегородкой из цветной пластмассы (пластина синего цвета на **рис. 1**), отгораживая платы индикатора. В этой перегородке необходимо предусмотреть отверстие для соединительного жгута.

В устройстве можно применить постоянные резисторы МЛТ, любые подстроечные резисторы и керамический конденсатор, транзисторы серии КТ315, диоды серий Д220, КД521, КД522, светодиоды серии АЛ307 или их аналоги, в том числе и импортные. При правильном монтаже и исправных деталях устройство начинает работать сразу. Подстроечным резистором R1 устанавливают желаемую скорость игры.

Редактор — В. Чуднов, графика — Ю. Андреев, фото — автора

## Две электронные сирены

**В. РОПOTOV, г. Северодвинск Архангельской обл.**

**Автор статьи — учащийся седьмого класса общеобразовательного лицея № 17 г. Северодвинска. Он занимается в городском центре юношеского научно-технического творчества в кружке радиоэлектроники, которым руководит Виктор Иванович Хохленко. Предлагаемые устройства могут найти применение в системах тревожного оповещения и охранной сигнализации.**

**З**вуковые электромеханические и электронные сирены широко используются для оповещения в экстренных ситуациях. На небольших предприятиях, в школах, особенно в сельской местности, можно применить предлагаемые сирены, собранные из доступных недорогих деталей. За основу были приняты схемы устройств, описание которых дано в книге Иванова Б. С. "Самodelки юного радиолюбителя" (М.: ДОСААФ, 1988, с. 27—31).

Схема сирены на транзисторах показана на **рис. 1**. Генератор звуковой частоты собран на транзисторах VT4, VT5 по схеме несимметричного мультивибратора. Его нагрузкой является ди-

намическая головка BA1. Частота генерации зависит от емкости конденсатора C4, сопротивлений резисторов R7, R8, параметров транзисторов VT4, VT5 и напряжения на конденсаторе C3. На транзисторах VT1, VT2 по схеме симметричного мультивибратора собран генератор инфразвуковой частоты, на транзисторе VT3 — эмиттерный повторитель.

Выходной сигнал генератора инфразвуковой частоты с периодом следования импульсов несколько секунд через резистор R5 поступает на базу транзистора VT3. Когда транзистор VT2 закрыт, на резисторе R4 напряжение близко к нулю, транзистор VT3 открыт и

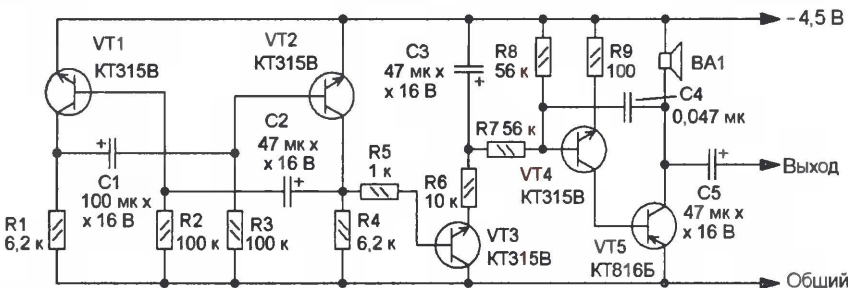
происходит зарядка конденсатора C3 через резистор R6. Когда транзистор VT2 открывается, напряжение на резисторе R4 возрастает почти до напряжения питания, что приводит к закрытию транзистора VT3 и разрядке конденсатора C3 через резисторы R7, R8 и базу транзистора VT4.

Поскольку напряжение на конденсаторе C3 периодически плавно изменяется (возрастает, убывает и снова возрастает), то в соответствии с ним изменяется частота звукового генератора. Так формируется сигнал сирены, тональность которого также плавно изменяется.

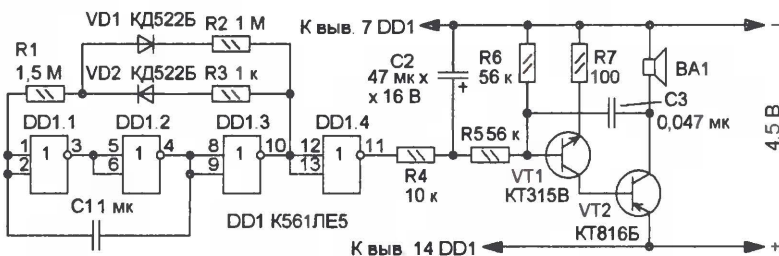
На **рис. 2** показана схема второй сирены, в которой генератор инфразвуковой частоты построен на логической микросхеме К561ЛЕ5. На элементах DD1.1—DD1.3 собран генератор прямоугольных импульсов, скважность которых (отношение периода следования к длительности импульса) зависит от соотношения резисторов R2 и R3. Элемент DD1.4 работает как инвертор сигнала. Генератор звуковой частоты собран на транзисторах VT1, VT2 по такой же схеме, как и в первой сирене. Сигнал с выхода элемента DD1.4 управляет частотой этого генератора. При напряжении высокого уровня на выходе элемента DD1.4 происходит зарядка конденсатора C2, при низком уровне — его разрядка.

Большинство деталей первой и второй сирен, кроме динамической головки, устанавливают на печатных платах из односторонне фольгированного стеклотекстолита толщиной 1...1,5 мм, чертежи которых показаны на **рис. 3** и **рис. 4** соответственно. Внешний вид смонтированных устройств — на **рис. 5** и **рис. 6**.

Применены резисторы C2-23, МЛТ, оксидные конденсаторы — импортные, в звуковом генераторе применен конденсатор К73-9, в генераторе инфразвуковой частоты второй сирены — К10-17. Транзисторы структуры п-р-п можно применить любые из серий КТ315, КТ3102. Транзистор КТ816Б заменим на транзисторы серий КТ814, КТ816 с любыми буквенными индексами.



**Рис. 1**



**Рис. 2**

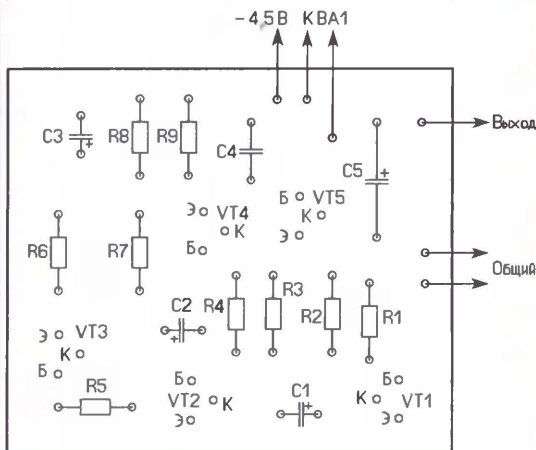
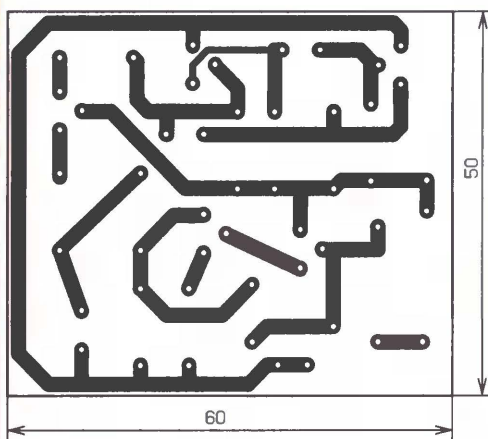


Рис. 3

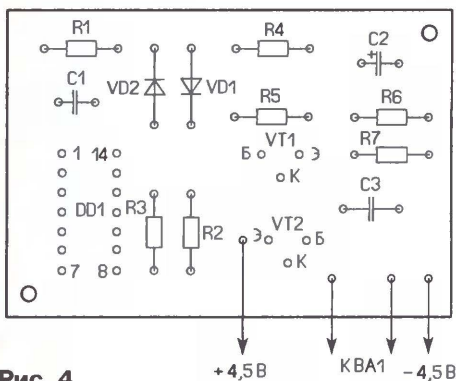
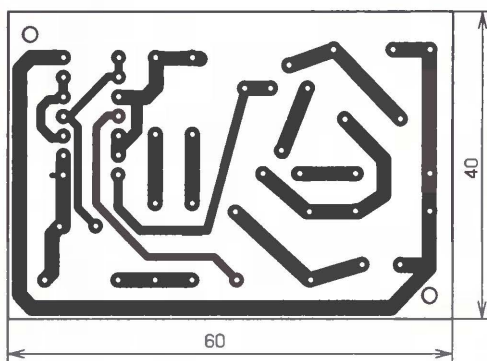


Рис. 4

Микросхему К561ЛЕ5 можно заменить на К561ЛА7. Диоды — любые кремниевые маломощные импульсные или

выпрямительные, например, серий КД102, КД103, КД510, КД521, КД522, Д220. Динамическая головка — любая среднечастотная или широкополосная с сопротивлением катушки не менее 8 Ом и мощностью более 2 Вт. Питать устройства можно от

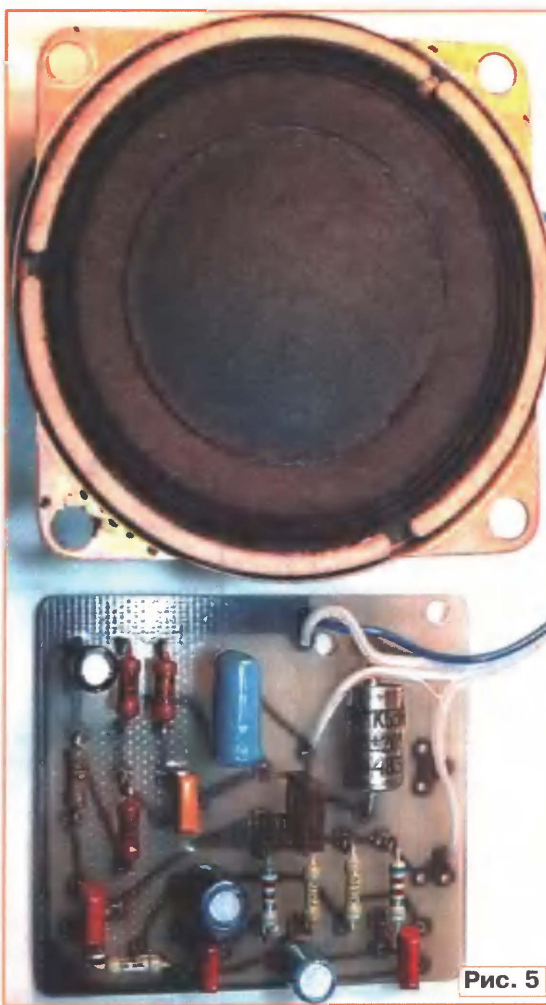


Рис. 5

Рис. 6

выходным током до 0,5 А.

Налаживания не требуется. При желании тональность сигнала первой сирены можно изменять подборкой конденсатора С4, а второй — С3. Скорость изменения частоты в первой сирене осуществляют подборкой конденсатора С1, а во второй — конденсатора С1 или резисторов R2, R3.

Устройства работоспособны в интервале питающего напряжения 4...12 В. Однако при этом, во-первых, изменится тональность, что может потребовать дополнительного налаживания. Во-вторых, при увеличении питающего напряжения необходимо применять динамические головки большей мощности, а при использовании маломощных последовательно с ними следует включить гасящий резистор сопротивлением 1...5 Ом и мощностью несколько ватт.

Устройства можно использовать как источник сигнала для мощного УЗЧ. Для этого динамическую головку заменяют резистором сопротивле-

нием 10...12 Ом. Сигнал снимают с разделительного конденсатора (С5 — на рис. 1). Для ослабления сигнала можно применить резистивный делитель. В таком варианте сирена была применена совместно с мощным трансляционным УЗЧ и использовалась в лице для подачи сигнала на учениях по гражданской обороне.

Редактор — Н. Нечаева, графика — Н. Нечаева, фото — автора

# "Тренажер" для котенка

А. БУТОВ, с. Курба Ярославской обл.

Если у вас подрастает котенок, то ему в период развития требуются активные физические нагрузки — игры, чтобы он вырос сильным и здоровым. Многие с детства помнят такую игру — к веревочке привязывают фантик и, размахивая им в разные стороны, заставляют котенка бегать за ним сломя голову, с заносами и кувырками. Это общий для всех хищников инстинкт — ловить

ня, собранном на специализированной микросхеме M51785SP (рис. 2). Такой электродвигатель работает достаточно тихо, и котенок его не пугается.

Ротор электродвигателя будет вращаться, если на плату подать питающее напряжение 9...12 В, а вход управления соединить с плюсовой линией питания (рис. 3). Эти напряжения можно также подать непосредственно

на выводы микросхемы M51785SP: 9...12 В — на вывод 17, общий — на один из выводов 23—26, а вывод 22 — на вход управления.

Чтобы "тренажер" питомцу быстро не надоел, можно собрать устройство автоматического включения электродвигателя, которое в течение определенного временного интервала управляет его работой. Схема такого устройства показана на рис. 4. В его состав входят реле времени на логическом элементе DD1.4 и генератор прямоугольных импульсов на элементах DD1.1—DD1.3.

В исходном состоянии конденсатор

C2 разряжен, на выходе элемента DD1.4 напряжение низкого уровня, и генератор не работает. На выходе элемента DD1.3 — высокий уровень, а на выходе элемента DD1.2 — низкий, поэтому ротор электродвигателя не вращается. При кратковременном нажатии на кнопку SB1 "Пуск" конденсатор C2 быстро заряжается через резистор R4. На выходе элемента DD1.4 будет высокий уровень, разрешающий работу генератора импульсов. Период следования и длительность импульсов на его выходе (вывод 10 элемента DD1.2) определяются сопротивлениями резисторов R1, R2 и емкостью конденсатора C1 и составляют примерно 4 с и 0,5 с соответственно. Во время действия импульса ротор начинает вращение и успевает сделать несколько оборотов.

Продолжительность выдержки таймера составляет около шести минут, и



Рис. 1

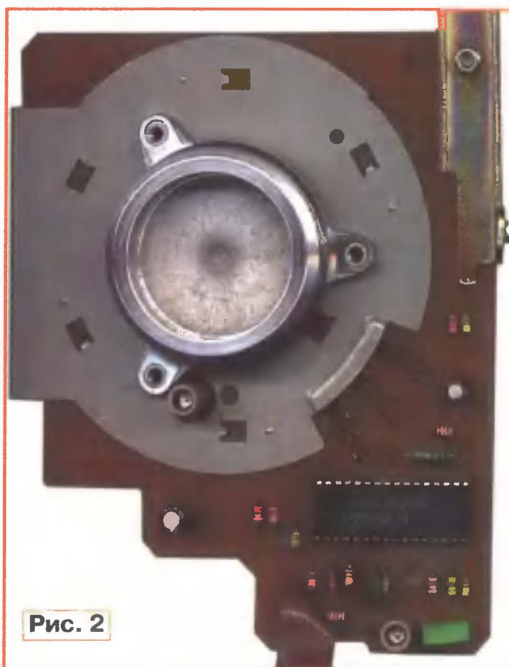


Рис. 2

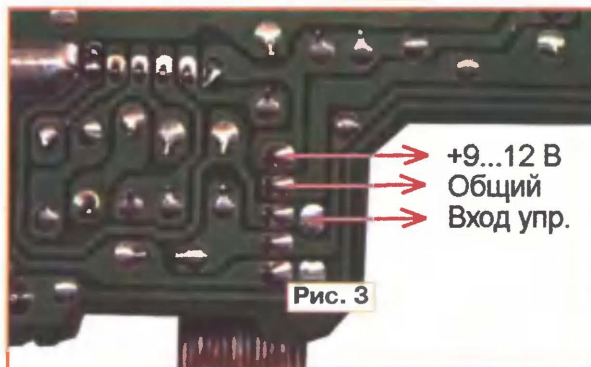


Рис. 3

все, что движется и меньше их по размеру. Но не всегда есть возможность и желание развлекать своего любимца таким образом, а подвешенные на веревочках неподвижные игрушки быстро надоедают и он не обращает на них никакого внимания.

Для того чтобы частично скрасить его скуку и дать повод порезвиться, предлагается изготовить для него несложный электромеханический "тренажер". Он представляет собой подвешенную на резинке миниатюрную пушистую игрушку, например мышонка, которая приводится в движение тихоходным маломощным электродвигателем.

Если у вас все еще сохранился дисковод гибких магнитных пятидюймовых дисков, не спешите его разбирать на запасные части или выбрасывать. Находящийся в нем электродвигатель для вращения дисков может стать основой для предлагаемого "тренажера". Автор использовал пятидюймовый дисковод фирмы TEAC, который разбирают и аккуратно извлекают плату с электродвигателем (рис. 1) и узлом управле-

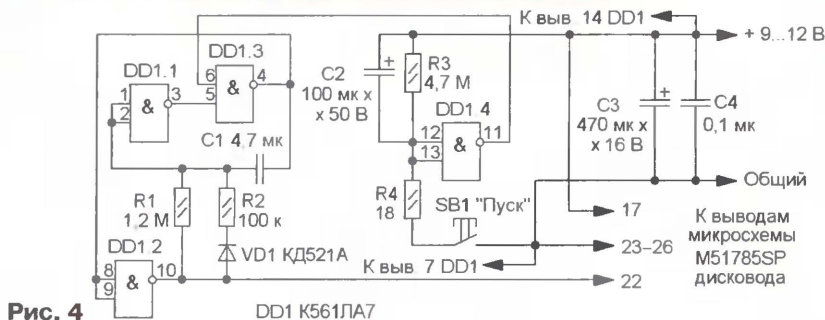


Рис. 4

когда конденсатор C2 разрядится через резистор R3, на выходе элемента DD1.4 установится низкий логический уровень, который запретит работу генератора. Для повторного запуска "тренажера" необходимо снова временно нажать на кнопку SB1.

При изготовлении "тренажера" к ротору (см. рис. 1) с помощью мощного паяльника припаивают петлю в виде равностороннего треугольника со стороны около 15 мм, выполненную из толстой медной проволоки. Место крепления петли подбирают экспериментально — чем быстрее вращается ротор, тем ближе к центру она должна быть припаяна. К петле привязывают один конец бельевой резинки диаметром 1...2 мм и длиной 60...100 см. На ее втором конце крепят игрушку массой до 20 г. Использовать нерастяжимую веревку, нитку, рыболовную леску нельзя.

Плату электродвигателя металлическими планками крепят к деревянному бруску, доске или другому основанию так, чтобы она была расположена под углом 15...25 град. к горизонтальной поверхности. "Тренажер" устанавливают на краю стола или подоконника и для надежности дополнительно закрепляют струбциной. Но можно закрепить его и на нижней стороне столешницы стола. Когда электродвигатель работает, игрушка совершает вращательно-прыгающие движения, что неплохо забавляет пушистого друга семьи.

Все детали устройства автоматического включения монтируют на макетной печатной плате, которую помещают в корпус подходящего размера. Используют резисторы МЛТ, C1-4, C2-23, импортные оксидные конденсаторы, конденсатор C1 — K73-17, можно также применить неполярный оксидный K50-15, конденсатор C4 — K10-17, КМ. Микросхему K561ЛА7 можно заменить на KP1561ЛА7, 564ЛА7, CD4011A. Диод применим любой маломощный импульсный или выпрямительный кремниевый, например, КД503Б, КД510А, КД522Б, КД103А, КД103Б, 1N4148. Для питания "тренажера" подойдет источник питания с выходным напряжением 9...12 В. Во время вращения ротора потребляемый ток составляет около 70 мА, а при его искусственном торможении возрастает до 300 мА.

Налаживания устройства не требуются. При желании подборкой резисторов R1 и R2 можно придать игрушке другую динамику поведения. Чем больше сопротивление резистора R1, тем реже будет включаться электродвигатель; чем больше сопротивление резистора R2, тем больше оборотов успеет сделать ротор при каждом его включении.

Редактор — Н. Нечаева, графика — Н. Нечаева, фото — автора

## Игра "Взятие замка"

В. КОНОВАЛОВ, г. Иркутск

**Предлагаемая игра имитирует ситуацию "сражения за замок". Задача нападающих — захватить его, а обороняющихся — не пропустить "врага", вовремя подняв мост через окружающий замок ров.**

Перемещение "врага" имитируют светодиоды. Защитники замка должны вовремя поднять мост, чтобы нападающие упали в ров. В этом случае победа на стороне защитников, о чем свидетельствуют показания цифрового индикатора. Если мост поднят с опозданием, замок будет захвачен и победа присуждена нападающим.

меняется и светодиоды HL2—HL5, индицирующие положение атакующих, поочередно зажигаются и гаснут. Частоту следования импульсов, которая определяет скорость перемещения нападающих, регулируют переменным резистором R1. На элементах DD1.2, DD1.3 собран генератор импульсов звуковой частоты, который управляется

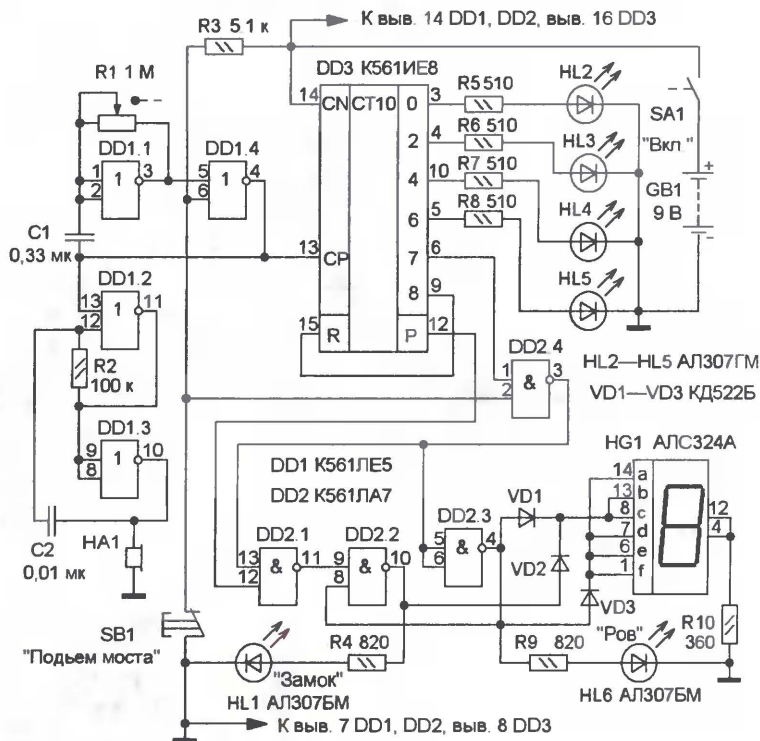


Рис. 1

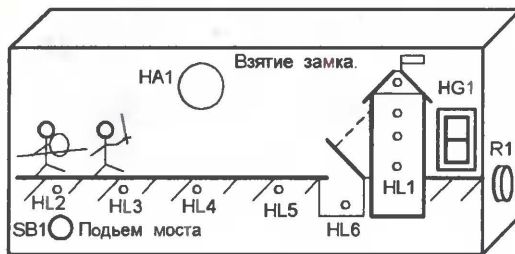


Рис. 2

Схема устройства показана на рис. 1. На логических элементах DD1.1, DD1.4 выполнен регулируемый генератор импульсов, которые поступают на вход CP счетчика-дешифратора DD3. По мере поступления импульсов состояние выходов счетчика-дешифратора DD3 из-

импульсами первого генератора. Поэтому каждый "шаг" наступающих сопровождается коротким акустическим сигналом.

Задача играющего — поднять мост так, чтобы нападающие попали в ров. Сделать это надо в тот момент, когда погаснет светодиод HL5. Поднятие

моста осуществляют нажатием на кнопку SB1. Если это произошло вовремя, на выходе 7 счетчика-дешифратора DD3 будет высокий логический уровень, который поступит на один из входов элемента DD2.4. Одновременно высокий уровень через резистор R3 поступит на вход элемента

DD1.4 и запретит работу первого генератора импульсов — движение атакующих остановится. Этот уровень поступит также на второй вход элемента DD2.4, на его выходе установится низкий уровень, а на выходе элемента DD2.3 — высокий. Поэтому будет све-

что означает победу защитников замка. Низкий уровень с выхода 3 элемента DD2.4 поступает на вывод 13 DD2.1, поэтому на входах элемента DD2.2 будут высокие уровни, а на его выходе — низкий, и светодиод HL1 "Замок" погашен.

мента DD2.1 будут высокие уровни, на его выходе — низкий, поэтому на выходе элемента DD2.2 — высокий и станет светить светодиод HL1 "Замок", а на светодиодном индикаторе HG1 загорится цифра 1 — замок захвачен.

При нажатии на кнопку SB1 произойдет подъем моста и остановка игры, если на нее не нажимать, высокий уровень с выхода 8 (вывод 9) счетчика-дешифратора DD3 поступит на вход R. Произойдет обнуление счетчика, и нападающие "вернутся" на исходные позиции.

Светодиоды, индикатор, кнопка и акустический излучатель размещены на передней панели корпуса устройства, переменный резистор, совмещенный с выключателем, — на боковой (рис. 2). Светодиоды установлены в отверстия и приклеены. Для индикатора делают окно прямоугольной формы, а напротив акустического сигнализатора — отверстия для прохождения звука. Батарею питания крепят на задней стенке, остальные детали монтируют на печатной плате из односторонне фольгированного стеклотекстолита, чертеж которой показан на рис. 3. Применены постоянные резисторы МЛТ, С2-23, переменный резистор с выключателем — СПЗ-4ВМ, конденсаторы — К10-17, КМ-6, кнопка — любая малогабаритная с самовозвратом и контактами на размыкание или переключение, акустический излучатель — ЗП-19. Помимо указанных на схеме, можно применить диоды серий КД503, КД510, КД521, КД522 с любыми буквенными индексами. Микросхему К561ИЕ8 можно заменить на К176ИЕ8, светодиодный индикатор АЛС324А — на АЛС333А, АЛС334А. Для питания можно применить батареи "Крона", "Корунд", 6F22, батарею из шести гальванических элементов типоразмера ААА или сетевой стабилизированный блок питания с выходным напряжением 9 В. Максимальный потребляемый ток составляет около 70 мА.

Редактор — Н. Нечаева, графика — Н. Нечаева

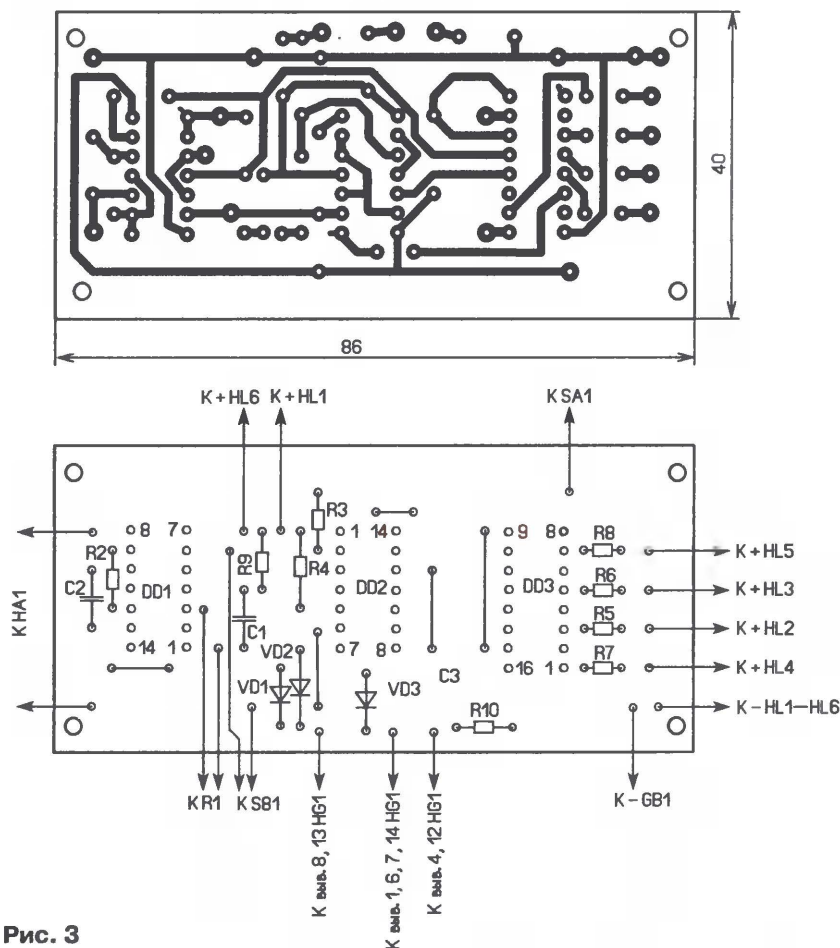


Рис. 3

тить светодиод HL6, сигнализируя о том, что "враг" попал в ров. Высокий уровень напряжения через диоды VD1, VD3 поступит на элементы а, b, c, d, e, f индикатора HG1 — загорится цифра 0,

Если защитники замка начнут подъем моста с небольшим опозданием, на выходе элемента DD2.4 снова установится высокий уровень и светодиод HL6 "Ров" будет погашен. На входах эле-

## Таймер на основе микросхемы музыкального синтезатора

С. БЕЛЫЙ, г. Новороссийск

**Разработанный автором таймер по истечении заранее установленного временного интервала подаст звуковой сигнал в виде фрагмента мелодии.**

Основой устройства, схема которого показана на рис. 1, является специализированная микросхема музыкального синтезатора УМС7 или

УМС8. После подачи питающего напряжения и кратковременного нажатия на кнопку SB1 "Пуск" начинается зарядка конденсатора С1 через резис-

торы R1 и R4. В этот момент транзистор VT1 закрыт и таймер "молчит". По мере зарядки конденсатора С1 напряжения на нем станет достаточно для открывания транзистора VT1 и на вход запуска (вывод 13) синтезатора DD1 поступит напряжение высокого логического уровня. Он активизируется, и на его выходе (вывод 14) формируется сигнал, который усиливается двухкаскадным усилителем на транзисторах VT2, VT3, и динамическая головка BA1 воспроизводит музыкальный фрагмент, записанный в память синтезатора при его изготовлении.

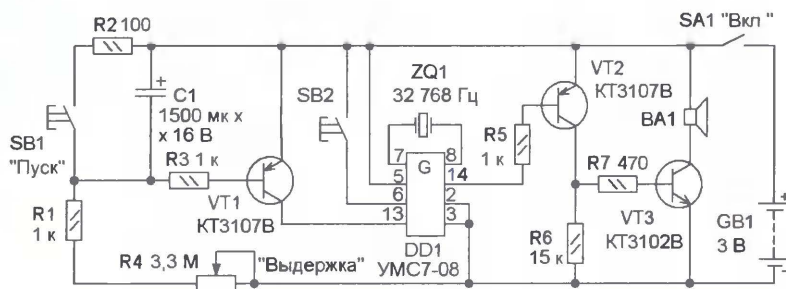


Рис. 1

| Наименование микросхемы   | Мелодии   |
|---------------------------|---|
| УМС7 и УМС8 (без индекса) | "Турецкий марш", "Вальс Грибоедова".  |
| УМС7-01 и УМС8-01         | "Землянка", "Эх, дороги", "Венский вальс"   |
| УМС7-02 и УМС8-02         | "Зорька Венера", "Крыжачок", "Отчизна моя дорогая", "Сувениры".                                 |
| УМС7-03 и УМС8-03         | "Песенка Чебурашки", "Песенка Крокодила Гены"   |
| УМС7-04 и УМС8-04         | "Калинка", "Широка страна моя родная", "Подмосковные вечера"                                    |
| УМС7-05 и УМС8-05         | "Свадебный марш Мендельсона", "У прекрасного голубого Дуная"                                    |
| УМС7-06 и УМС8-06         | "Полурри к 250-летию г. Берлина"  |
| УМС7-07 и УМС8-07         | "Одесские куранты", "Шаланды"   |
| УМС7-08 и УМС8-08         | Моцарт, Дассен, Бизе, Чайковский, марш "Прощание славянки", "Тишина кругом", "Бим-бом", "Гопак" |

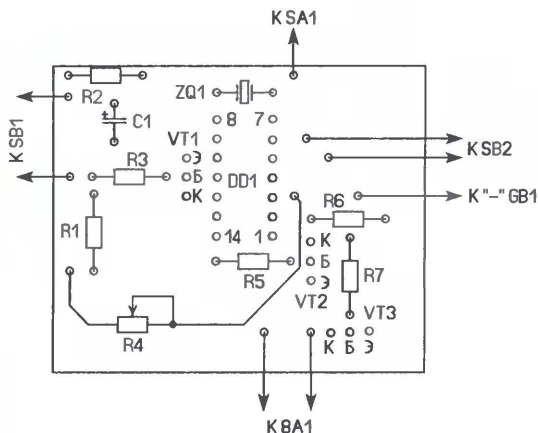
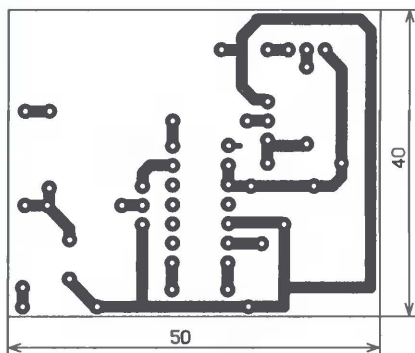


Рис. 2

жением 3 В — два гальванических элемента типоразмера AA или AAA. При использовании микросхемы серии УМС8 напряжение питания не должно превышать 2 В, поэтому для питания следует применить только один элемент.

"Репертуар" синтезаторов УМС7-хх и УМС8-хх различен. Цифры 7 или 8 указывают на номер заводской модификации и напряжение питания, а последующие две цифры хх — на номер программы, записанной в их память. В таблице приведен перечень записанных в эти микросхемы музыкальных фрагментов.

Большинство деталей смонтировано на печатной плате из односторонне фольгированного стеклотекстолита толщиной 1...1,5 мм, чертеж которой показан на рис. 2. Плату размещают в пластмассовом корпусе подходящего размера. На передней панели крепят выключатель питания, кнопки, переменный резистор и динамическую головку, предварительно сделав отверстия для прохождения звука.

Применены постоянные резисторы МЛТ, С2-23, переменный — СПЗ-9, СПО, СП4, СП-1, оксидный конденсатор импортный, его желательно применить с максимально возможным рабочим напряжением — это позволит повысить стабильность работы таймера. Транзистор КТ3107В можно заменить на любой из серии КТ3107, транзистор КТ3102В заменим на другой из серий КТ315, КТ3102. Динамическая головка — с выходной мощностью 0,25...1 Вт и сопротивлением катушки 16...50 Ом при напряжении питания 3 В и 8...50 Ом при напряжении питания 1,5 В. Кварцевый резонатор ZQ1 — "часовой", но конструктивно удобнее применить резонатор в цилиндрическом корпусе.

В качестве выключателя питания можно применить тумблер, например МТ-1, или движковый переключатель (ПД9-1, В144). Кнопки с самовозвратом — КМ1-1 (ПKN6-1). Для микросхемы синтезатора на плату целесообразно установить панель, что позволит в будущем обновлять "репертуар". Но если не планируется обновление и переключение мелодий, то синтезатор припаивают непосредственно на плату, а кнопку SB2 исключают.

Собранное из исправных деталей и без ошибок устройство начинает работать сразу. Настройка сводится к изменению максимального времени выдержки подборкой конденсатора С1 (можно соединить параллельно несколько штук) и градуировки шкалы переменного резистора R4.

Время выдержки устанавливают переменным резистором R4, оно зависит от сопротивления введенной части этого резистора и емкости конденсатора С1. Для указанных на схеме номиналов максимальное время выдержки составляет около 30 мин. При нажатии на кнопку SB1 "Пуск" через ее контакты и резистор R2 конденсатор С1 быстро разрядится и отсчет времени начнется заново. При кратковременном нажатии на кнопку SB2 происходит смена производимого синтезатором музыкального фрагмента, если, конечно, в его памяти записано более одного фрагмента.

Таймер питают от батареи напря-

## Международные УКВ соревнования — итоги

Соревнования "Полевой день" по радиосвязи на УКВ на призы журнала "Радио", уже давно вышедшие на хороший уровень, в минувшем году нас острокровно порадовали. Во-первых, и без того достаточно высокая активность в них российских и зарубежных радиолубителей снова возросла. Судейская коллегия на этот раз получила 867 отчетов. Это на 16 % больше, чем в соревнованиях 2007 г.

Во-вторых, отчеты поступили из 16 стран и территорий мира по списку диплома DXCC (в предыдущих их было 14). Рост числа стран-участниц сам по себе приятен, но особо порадовало то, что в минувшем году было заметное увеличение числа спортсменов из стран Балтии. Не секрет, что работа на УКВ всегда вызывала в них большой интерес, а развитие в послевоенные годы любительской ультракоротковолновой радиосвязи в СССР было во многом обусловлено именно активностью

радиолубителей прибалтийских республик. Достаточно вспомнить УКВ рубрику, которую на протяжении ряда лет вел в журнале "Радио" Карл Калемаа (UR2BU). По странам участники распределились так:

|    |                               |     |
|----|-------------------------------|-----|
| 1  | Беларусь                      | 7   |
| 2  | Болгария                      | 5   |
| 3  | Венгрия                       | 1   |
| 4  | Германия                      | 1   |
| 5  | Грузия                        | 1   |
| 6  | Казахстан                     | 14  |
| 7  | Латвия                        | 4   |
| 8  | Литва                         | 36  |
| 9  | Молдова                       | 8   |
| 10 | Россия (азиатская часть)      | 381 |
| 11 | Россия (европейская часть)    | 309 |
| 12 | Россия (Калининградская обл.) | 3   |
| 13 | Румыния                       | 1   |
| 14 | Турция                        | 1   |
| 15 | Украина                       | 93  |
| 16 | Чехия                         | 2   |

И, наконец, в-третьих. Началась подвигка в использовании диапазона 1296 МГц — диапазона, освоению которого журнал "Радио" всегда уделял особое внимание. Число участников в однодиапазонном зачете в соответствующей группе возросло более чем в два раза. К этому надо добавить, что лидеры в многодиапазонных зачетах тоже использовали этот диапазон.

В соревнованиях участники задействовали 706 квадратов QTH-локатора. В подавляющем большинстве случаев из каждого квадрата работало по одной станции. Только 109 квадратов были представлены двумя радиостанциями, 41 квадрат — тремя. А четыре, пять или шесть станций "оккупировали" по одному квадрату.

Лидеры в общем зачете и технические результаты в зачете по странам и территориям мира (список диплома DXCC) приведены в **таблицах**.

## Победители соревнований в общем зачете Первые пять мест по группам (место, позывной, ФИО, результат)

| MOMB |         |                |        |
|------|---------|----------------|--------|
| 1    | RA3AQ/3 | О. Кажарский   | 866726 |
|      |         | Н. Мясников    |        |
|      |         | К. Стручев     |        |
| 2    | UJ7J    | А. Казанцев    | 629151 |
|      |         | А. Котовский   |        |
|      |         | В. Зайченко    |        |
| 3    | RW3WR   | А. Скуридин    | 593096 |
|      |         | И. Масулишвили |        |
|      |         | Ю. Махрин      |        |
| 4    | RK3WWF  | А. Медов       | 572048 |
|      |         | В. Чикин       |        |
|      |         | А. Королёв     |        |
| 5    | UW2M    | Р. Ткаченко    | 537772 |
|      |         | С. Редькин     |        |
|      |         | Д. Белоусов    |        |

| SOMB |        |              |        |
|------|--------|--------------|--------|
| 1    | UT5JCW | С. Жовтобрюх | 400547 |
| 2    | RA6DA  | В. Конутенко | 379148 |
| 3    | RA3LE  | В. Цыганков  | 226475 |
| 4    | UV2L   | В. Лесников  | 211655 |
| 5    | RA3XX  | Ю. Гребнев   | 201569 |

| SOSB 144 |       |               |        |
|----------|-------|---------------|--------|
| 1        | OK1AR | З. Рихаа      | 154261 |
| 2        | RZ6LJ | Г. Теньшов    | 101407 |
| 3        | UW5W  | В. Гончарский | 97514  |
| 4        | RA3EC | А. Карпунин   | 93000  |
| 5        | UX2SB | В. Юскевич    | 80522  |

| SOSB 432 |         |              |        |
|----------|---------|--------------|--------|
| 1        | UT2EG   | В. Ботвинов  | 137572 |
| 2        | RN3QR   | О. Лахмин    | 131408 |
| 3        | UY2MQ   | Г. Мальчев   | 93472  |
| 4        | UT5ST/P | В. Данчук    | 59300  |
| 5        | UX7MA   | А. Клейменов | 51300  |

| SOSB 1296 |        |               |        |
|-----------|--------|---------------|--------|
| 1         | RD3DA  | Ю. Саналев    | 183920 |
| 2         | RW3BP  | С. Жутяев     | 144320 |
| 3         | UR5EUP | А. Аксенов    | 115080 |
| 4         | UY5ON  | А. Каракаптан | 79580  |
| 5         | RA3AUB | М. Шуленко    | 74000  |

## Результаты участников по странам и территориям мира (приведено место в зачетной группе, позывной, зачетная группа, число подтвержденных связей, результат)

| Белоруссия |         |          |           |
|------------|---------|----------|-----------|
| 1          | EV5M    | MOMB     | 60 82924  |
| 2          | EW6WA/P | MOMB     | 34 24332  |
| 1          | EW6FS   | SOMB     | 77 117662 |
| 2          | EW1ST   | SOMB     | 39 48333  |
| 3          | EU2AA   | SOMB     | 21 17657  |
| 1          | EU7SR   | SOSB-144 | 32 19771  |
| Болгария   |         |          |           |
| 1          | LZ1MC   | MOMB     | 27 12119  |
| 1          | LZ2ZY   | SOSB-144 | 135 58729 |

|   |        |          |         |
|---|--------|----------|---------|
| 2 | LZ2WE  | SOSB-144 | 13 5252 |
| 3 | LZ1VPV | SOSB-144 | 10 2876 |
| 4 | LZ1FH  | SOSB-144 | 9 480   |

| Чехия |       |          |            |
|-------|-------|----------|------------|
| 1     | OK1KZ | SOMB     | 60 7230    |
| 1     | OK1AR | SOSB-144 | 486 154261 |

| Грузия |       |      |          |
|--------|-------|------|----------|
| 1      | 4L1FP | MOMB | 22 16194 |

| Германия |        |      |            |
|----------|--------|------|------------|
| 1        | DF0MTL | MOMB | 634 406209 |

| Венгрия |      |      |            |
|---------|------|------|------------|
| 1       | HG6Z | MOMB | 371 137006 |

| Калининградская область |        |          |            |
|-------------------------|--------|----------|------------|
| 1                       | RK2FWA | MOMB     | 149 144890 |
| 1                       | UA2FL  | SOMB     | 47 24138   |
| 1                       | RA2FCD | SOSB-144 | 23 10216   |

## Казахстан

|   |        |          |    |       |
|---|--------|----------|----|-------|
| 1 | UN1EW  | MOMB     | 19 | 9191  |
| 2 | UN7EAS | MOMB     | 14 | 5510  |
| 1 | UN7EX  | SOMB     | 49 | 38348 |
| 2 | UN7Y   | SOMB     | 42 | 31423 |
| 3 | UN7CAN | SOMB     | 18 | 8106  |
| 4 | UN7CF  | SOMB     | 10 | 4468  |
| 1 | UN7CL  | SOSB-144 | 32 | 16230 |
| 2 | UN8CU  | SOSB-144 | 13 | 3233  |
| 3 | UN7CAI | SOSB-144 | 8  | 2918  |
| 4 | UN7CBY | SOSB-144 | 6  | 2546  |
| 5 | UN7EAN | SOSB-144 | 5  | 552   |
| 6 | UN7CH  | SOSB-144 | 3  | 433   |
| 1 | UN1EBK | SOSB-432 | 4  | 1976  |

## Латвия

|   |        |          |    |       |
|---|--------|----------|----|-------|
| 1 | YL2AJ  | MOMB     | 46 | 51314 |
| 1 | YL3GDR | SOMB     | 28 | 16978 |
| 1 | YL2OW  | SOSB-144 | 26 | 13813 |
| 2 | YL3GEA | SOSB-144 | 6  | 2229  |

## Литва

|    |          |          |     |        |
|----|----------|----------|-----|--------|
| 1  | LY2AA    | MOMB     | 94  | 68538  |
| 2  | LY2IN/P  | MOMB     | 74  | 33528  |
| 3  | LY1KAP/P | MOMB     | 45  | 16894  |
| 4  | LY3FU    | MOMB     | 57  | 16501  |
| 1  | LY4U/P   | SOMB     | 128 | 148295 |
| 2  | LY3A     | SOMB     | 83  | 52498  |
| 3  | LY3UE    | SOMB     | 54  | 31409  |
| 4  | LY2R/P   | SOMB     | 48  | 26462  |
| 5  | LY2VA/P  | SOMB     | 22  | 19395  |
| 6  | LY3FE/P  | SOMB     | 36  | 17788  |
| 7  | LY2DN/P  | SOMB     | 42  | 17476  |
| 8  | LY2GV/P  | SOMB     | 24  | 10362  |
| 9  | LY2AF/P  | SOMB     | 26  | 8950   |
| 10 | LY3W/P   | SOMB     | 26  | 8213   |
| 11 | LY2NOZ   | SOMB     | 28  | 5699   |
| 12 | LY4BI    | SOMB     | 27  | 5121   |
| 13 | LY3PEJ   | SOMB     | 25  | 4014   |
| 14 | LY1MY/P  | SOMB     | 17  | 3885   |
| 15 | LY2CG    | SOMB     | 15  | 3397   |
| 16 | LY2FU    | SOMB     | 19  | 2798   |
| 17 | LY2AO/P  | SOMB     | 14  | 1928   |
| 18 | LY1CM/P  | SOMB     | 8   | 1629   |
| 19 | LY1GP    | SOMB     | 5   | 612    |
| 1  | LY2SA    | SOSB-144 | 52  | 30710  |
| 2  | LY2LE    | SOSB-144 | 33  | 14508  |
| 3  | LY3TR    | SOSB-144 | 29  | 4459   |
| 4  | LY3DT    | SOSB-144 | 16  | 2471   |
| 5  | LY1CR    | SOSB-144 | 15  | 1664   |
| 6  | LY2OM    | SOSB-144 | 8   | 950    |
| 7  | LY2CV    | SOSB-144 | 10  | 906    |
| 8  | LY2HW/P  | SOSB-144 | 4   | 281    |
| 9  | LY1CE    | SOSB-144 | 6   | 280    |
| 10 | LY2BBF   | SOSB-144 | 5   | 157    |
| 11 | LY3NVV/P | SOSB-144 | 2   | 122    |
| 12 | LY1M/P   | SOSB-144 | 0   | 0      |

## Молдавия

|   |         |          |    |       |
|---|---------|----------|----|-------|
| 1 | ER7C/P  | MOMB     | 93 | 57450 |
| 2 | ER2KRT  | MOMB     | 30 | 14366 |
| 3 | ER2KAG  | MOMB     | 9  | 2819  |
| 1 | ER1RR   | SOMB     | 77 | 60165 |
| 1 | ER2GF   | SOSB-144 | 45 | 28935 |
| 2 | ER1AU/P | SOSB-144 | 27 | 14111 |
| 3 | ER1TA   | SOSB-144 | 9  | 2090  |

## Румыния

|   |        |      |     |       |
|---|--------|------|-----|-------|
| 1 | YP8A/P | MOMB | 107 | 53390 |
|---|--------|------|-----|-------|

## Россия (азиатская часть)

|    |         |      |     |        |
|----|---------|------|-----|--------|
| 1  | RU9UXU  | MOMB | 118 | 103524 |
| 2  | RK9AWN  | MOMB | 117 | 100802 |
| 3  | RK9AT/9 | MOMB | 97  | 96686  |
| 4  | RW9FWB  | MOMB | 107 | 94361  |
| 5  | RX9FK   | MOMB | 81  | 72358  |
| 6  | RV9FT   | MOMB | 75  | 71728  |
| 7  | RZ9AWJ  | MOMB | 89  | 61588  |
| 8  | RK9FVD  | MOMB | 56  | 59958  |
| 9  | RK9UZZ  | MOMB | 91  | 58297  |
| 10 | RW9OWW  | MOMB | 99  | 49427  |
| 11 | RZ9AWK  | MOMB | 75  | 49070  |
| 12 | RK9MWM  | MOMB | 59  | 48188  |
| 13 | UA9FAI  | MOMB | 73  | 42907  |
| 14 | RK9YWK  | MOMB | 35  | 41652  |
| 15 | RK9FYR  | MOMB | 60  | 41274  |
| 16 | RK9FWW  | MOMB | 48  | 41021  |
| 17 | RK9FYS  | MOMB | 62  | 40150  |
| 18 | RK9MWA  | MOMB | 99  | 38034  |
| 19 | RW9FD   | MOMB | 54  | 35071  |
| 20 | RK9YXO  | MOMB | 65  | 32542  |
| 21 | UA9WE   | MOMB | 39  | 31095  |
| 22 | RZ9UWZ  | MOMB | 60  | 30322  |
| 23 | UA9ACA  | MOMB | 58  | 25378  |
| 24 | RU9CYT  | MOMB | 54  | 24894  |
| 25 | RK9YZK  | MOMB | 51  | 23694  |
| 26 | UA9OWA  | MOMB | 48  | 22886  |
| 27 | RZ9OWA  | MOMB | 38  | 22683  |

|    |         |      |     |        |
|----|---------|------|-----|--------|
| 28 | RK9MZY  | MOMB | 44  | 21900  |
| 29 | RA9UWT  | MOMB | 59  | 20874  |
| 30 | RK9FXM  | MOMB | 41  | 20363  |
| 31 | UA9UZZ  | MOMB | 44  | 19888  |
| 32 | RZ9OWM  | MOMB | 55  | 18542  |
| 33 | RK9QWN  | MOMB | 32  | 17013  |
| 34 | RK9BB   | MOMB | 50  | 16769  |
| 35 | RK9AXC  | MOMB | 49  | 14822  |
| 36 | RZ9AYA  | MOMB | 26  | 13377  |
| 37 | RK9MWO  | MOMB | 61  | 13368  |
| 38 | RV9XO   | MOMB | 15  | 13146  |
| 39 | RK0AWZ  | MOMB | 24  | 12721  |
| 40 | RK9AWM  | MOMB | 39  | 10254  |
| 41 | RZ9MYL  | MOMB | 33  | 8182   |
| 42 | RZ9MYA  | MOMB | 36  | 6904   |
| 43 | RK9MWL  | MOMB | 52  | 5737   |
| 44 | RK9CWV  | MOMB | 19  | 5331   |
| 45 | RZ9OXA  | MOMB | 36  | 3906   |
| 46 | RK0WWN  | MOMB | 12  | 3446   |
| 47 | RA9CAE  | MOMB | 4   | 2149   |
| 48 | RK9SWA  | MOMB | 9   | 2034   |
| 49 | RK9SWM  | MOMB | 16  | 1481   |
| 50 | RK9JXP  | MOMB | 9   | 1122   |
| 51 | UA9OXL  | MOMB | 14  | 926    |
| 52 | RK9SXD  | MOMB | 12  | 819    |
| 53 | RK9CZO  | MOMB | 5   | 264    |
| 1  | RW9AE   | SOMB | 164 | 194811 |
| 2  | UA9FDZ  | SOMB | 80  | 73054  |
| 3  | UA9NN   | SOMB | 79  | 64908  |
| 4  | RX9SA   | SOMB | 79  | 63344  |
| 5  | RV9PP   | SOMB | 89  | 58250  |
| 6  | RV9UV   | SOMB | 76  | 51235  |
| 7  | RV9AR   | SOMB | 77  | 44856  |
| 8  | UA9UME  | SOMB | 73  | 43897  |
| 9  | UA9UPW  | SOMB | 57  | 37681  |
| 10 | UA9FLL  | SOMB | 54  | 35634  |
| 11 | UA9FY   | SOMB | 66  | 34806  |
| 12 | RA9SSO  | SOMB | 53  | 34182  |
| 13 | RK9YWD  | SOMB | 21  | 33795  |
| 14 | RW9MD   | SOMB | 86  | 30938  |
| 15 | RA9BH   | SOMB | 68  | 30111  |
| 16 | UA9TC   | SOMB | 58  | 29628  |
| 17 | RA9YHK  | SOMB | 60  | 28346  |
| 18 | UA9DH   | SOMB | 58  | 27480  |
| 19 | UA9HK   | SOMB | 18  | 26770  |
| 20 | RX9FR   | SOMB | 61  | 26492  |
| 21 | UA9WTF  | SOMB | 33  | 25979  |
| 22 | RA9AAA  | SOMB | 53  | 25935  |
| 23 | RA9FDR  | SOMB | 46  | 24361  |
| 24 | UA9UIZ  | SOMB | 9   | 23848  |
| 25 | RK9UT   | SOMB | 41  | 22672  |
| 26 | RK9AKM  | SOMB | 42  | 22148  |
| 27 | UA9FGZ  | SOMB | 44  | 21515  |
| 28 | UA9YKJ  | SOMB | 43  | 20866  |
| 29 | RA0WAP  | SOMB | 29  | 19376  |
| 30 | UA9MJ   | SOMB | 72  | 18735  |
| 31 | UA9YJM  | SOMB | 36  | 17622  |
| 32 | RW9OP   | SOMB | 74  | 17562  |
| 33 | RA9MKH  | SOMB | 58  | 17501  |
| 34 | RA9OEWE | SOMB | 49  | 17489  |
| 35 | UA9NS   | SOMB | 49  | 17409  |
| 36 | RA0WU   | SOMB | 34  | 16582  |
| 37 | RA9FBI  | SOMB | 46  | 16576  |
| 38 | RA9UC   | SOMB | 32  | 16184  |
| 39 | RK9UAC  | SOMB | 27  | 13548  |
| 40 | RU9OA   | SOMB | 63  | 13368  |
| 41 | RA9UDS  | SOMB | 43  | 12874  |
| 42 | RA0WH   | SOMB | 26  | 12283  |
| 43 | RA9CRZ  | SOMB | 26  | 12126  |
| 44 | UA9MAR  | SOMB | 46  | 11741  |
| 45 | UA9CKQ  | SOMB | 35  | 11638  |
| 46 | RA9FVV  | SOMB | 29  | 11422  |
| 47 | RW9UWV  | SOMB | 25  | 11352  |
| 48 | RV9IM   | SOMB | 17  | 10949  |
| 49 | RK9AN   | SOMB | 27  | 10687  |
| 50 | RV9OW   | SOMB | 53  | 10446  |
| 51 | RX3AH/O | SOMB | 21  | 10207  |
| 52 | RZ9CJ   | SOMB | 32  | 10109  |
| 53 | UA0WG   | SOMB | 31  | 10078  |
| 54 | UA9MRS  | SOMB | 40  | 10023  |
| 55 | RZ9AT   | SOMB | 28  | 9656   |
| 56 | UA9FIA  | SOMB | 27  | 9470   |
| 57 | RX9CHW  | SOMB | 17  | 9121   |
| 58 | UA9ND   | SOMB | 47  | 8695   |
| 59 | RA9OBB  | SOMB | 46  | 8392   |
| 60 | RA9SOB  | SOMB | 27  | 8274   |
| 61 | UA0WW   | SOMB | 22  | 7932   |
| 62 | RA9FBS  | SOMB | 22  | 7916   |
| 63 | RZ9OP   | SOMB | 35  | 7846   |
| 64 | UA9MV   | SOMB | 30  | 7817   |
| 65 | RW0WW   | SOMB | 14  | 7805   |
| 66 | RN9MM   | SOMB | 8   | 7578   |
| 67 | RU9TR   | SOMB | 21  | 7492   |
| 68 | RK9AK   | SOMB | 29  | 7378   |
| 69 | RZ9FR   | SOMB | 25  | 7219   |
| 70 | UA9STI  | SOMB | 26  | 7070   |
| 71 | UA9FFG  | SOMB | 28  | 7055   |
| 72 | UA9CCC  | SOMB | 20  | 7051   |
| 73 | RZ9UO   | SOMB | 14  | 7000   |
| 74 | RA9FGW  | SOMB | 20  | 6508   |
| 75 | UA9SC   | SOMB | 20  | 6184   |
| 76 | RA9FAA  | SOMB | 26  | 6098   |
| 77 | UA9OUI  | SOMB | 34  | 6032   |
| 78 | RA9OEF  | SOMB | 43  | 5578   |

|     |        |          |    |       |
|-----|--------|----------|----|-------|
| 79  | RK9FBT | SOMB     | 18 | 5368  |
| 80  | RA9MLO | SOMB     | 8  | 5358  |
| 81  | RA9USA | SOMB     | 25 | 5128  |
| 82  | UA9TJ  | SOMB     | 14 | 4998  |
| 83  | RA0WBE | SOMB     | 13 | 4642  |
| 84  | UA9UOI | SOMB     | 16 | 4638  |
| 85  | UA9AAG | SOMB     | 21 | 4623  |
| 86  | RV9UB  | SOMB     | 28 | 4600  |
| 87  | UA9OUQ | SOMB     | 41 | 4544  |
| 88  | RA9MDJ | SOMB     | 45 | 4449  |
| 89  | RA9FEU | SOMB     | 23 | 4406  |
| 90  | RW9MB  | SOMB     | 50 | 4364  |
| 91  | UA9OTC | SOMB     | 31 | 4286  |
| 92  | RA9ALR | SOMB     | 16 | 4259  |
| 93  | RU9MP  | SOMB     | 32 | 4120  |
| 94  | UA9AOZ | SOMB     | 22 | 4100  |
| 95  | UA9OAE | SOMB     | 31 | 4006  |
| 96  | RA9OEM | SOMB     | 31 | 3996  |
| 97  | RA9SPR | SOMB     | 19 | 3893  |
| 98  | UA9UAI | SOMB     | 4  | 3864  |
| 99  | RA9OBS | SOMB     | 24 | 3862  |
| 100 | RA9OBY | SOMB     | 26 | 3602  |
| 101 | RW9OA  | SOMB     | 38 | 3454  |
| 102 | RA0WR  | SOMB     | 13 | 3159  |
| 103 | UA9YMI | SOMB     | 18 | 3020  |
| 104 | RA9FAF | SOMB     | 15 | 3010  |
| 105 | RA9XI  | SOMB     | 6  | 2944  |
| 106 | RU9UB  | SOMB     | 18 | 2913  |
| 107 | RA9SUQ | SOMB     | 26 | 2626  |
| 108 | UA9CP  | SOMB     | 7  | 2568  |
| 109 | UA9OKM | SOMB     | 32 | 2508  |
| 110 | RA9AAZ | SOMB     | 17 | 2505  |
| 111 | UA9XDJ | SOMB     | 5  | 2094  |
| 112 | UA9UMR | SOMB     | 8  | 2004  |
| 113 | UA9MIL | SOMB     | 23 | 1862  |
| 114 | RW9HAY | SOMB     | 7  | 1841  |
| 115 | RW9UET | SOMB     | 20 | 1712  |
| 116 | RA0WLG | SOMB     | 4  | 1592  |
| 117 | UA9YFX | SOMB     | 16 | 1523  |
| 118 | UA9OY  | SOMB     | 23 | 1302  |
| 119 | UA9MCD | SOMB     | 25 | 1210  |
| 120 | UA9JSF | SOMB     | 8  | 1122  |
| 121 | RA9SSK | SOMB     | 16 | 1115  |
| 122 | RA0WJL | SOMB     | 12 | 1045  |
| 123 | RZ9UGN | SOMB     | 8  | 888   |
| 124 | RA9SVD | SOMB     | 10 | 887   |
| 125 | RA9SPQ | SOMB     | 14 | 866   |
| 126 | UA9OLB | SOMB     | 8  | 554   |
| 127 | RV9UP  | SOMB     | 3  | 480   |
| 128 | UA0WBQ | SOMB     | 5  | 464   |
| 129 | RA9YDW | SOMB     | 11 | 426   |
| 130 | UA9JFZ | SOMB     | 7  | 406   |
| 131 | RK9AJX | SOMB     | 5  | 302   |
| 132 | RA9ODW | SOMB     | 6  | 262   |
| 133 | UA9FNQ | SOMB     | 1  | 234   |
| 134 | RA9FJV | SOMB     | 1  | 176   |
|     | RA9FUL | SOMB     | 0  | 0     |
|     | RNOCW  | SOMB     | 0  | 0     |
|     | RZ9YW  | SOMB     | 0  | 0     |
| 1   | RX9FB  | SOSB-144 | 71 | 34205 |
| 2   | RA9FDD | SOSB-144 | 53 | 30872 |
| 3   | UA9CFH | SOSB-144 | 60 | 28712 |
| 4   | RV9AJ  | SOSB-144 | 59 | 23283 |
| 5   | RK9AKI | SOSB-144 | 57 | 22567 |
| 6   | RU9TO  | SOSB-144 | 42 | 22299 |
| 7   | RK9CA  | SOSB-144 | 68 | 22270 |
| 8   | RX9CW  | SOSB-144 | 71 | 20671 |
| 9   | RA9ANT | SOSB-144 | 51 | 20410 |
| 10  | RA9UKW | SOSB-144 | 49 | 19029 |
| 11  | RA9CCU | SOSB-144 | 59 | 18100 |
| 12  | RU9UG  | SOSB-144 | 56 | 17494 |
| 13  | UA9FPQ | SOSB-144 | 34 | 16883 |
| 14  | RA9FHL | SOSB-144 | 43 | 14971 |
| 15  | UA9UDC | SOSB-144 | 41 | 14926 |
| 16  | RA9CGT | SOSB-144 | 54 | 14713 |
| 17  | RX9CKC | SOSB-144 | 44 | 14294 |
| 18  | UA9OGP | SOSB-144 | 65 | 12996 |
| 19  | RW9FO  | SOSB-144 | 45 | 12910 |
| 20  | UA9FLK | SOSB-144 | 36 | 12384 |
| 21  | UA9MNH | SOSB-144 | 33 | 11834 |
| 22  | UA9OOT | SOSB-144 | 55 | 11608 |
| 23  | RV9JD  | SOSB-144 | 11 | 11562 |
| 24  | RA9FBK | SOSB-144 | 36 | 11337 |
| 25  | RA9SF  | SOSB-144 | 37 | 11322 |
| 26  | UA9OLL | SOSB-144 | 59 | 11306 |
| 27  | RA9SBU | SOSB-144 | 39 | 11111 |
| 28  | RA9YDL | SOSB-144 | 14 | 10770 |
| 29  | RA9SJS | SOSB-144 | 34 | 10750 |
| 30  | RN9ATT | SOSB-144 | 33 | 10465 |
| 31  | RA9UUG | SOSB-144 | 44 | 10410 |
| 32  | RA9CN  | SOSB-144 | 39 | 10385 |
| 33  | UA9OGZ | SOSB-144 | 42 | 10166 |
| 34  | RA9ODA | SOSB-144 | 54 | 10110 |
| 35  | RW9ST  | SOSB-144 | 37 | 10104 |
| 36  | RA9UU  | SOSB-144 | 26 | 10076 |
| 37  | UA9OZ  | SOSB-144 | 42 | 9920  |
| 38  | UA9AE  | SOSB-144 | 37 | 9866  |
| 39  | UA9OSB | SOSB-144 | 36 | 9776  |
| 40  | RV9OT  | SOSB-144 | 52 | 9506  |
| 41  | UA9MEQ | SOSB-144 | 53 | 9478  |
| 42  | RA9FBF | SOSB-144 | 25 | 9410  |
| 43  | RA9SP  | SOSB-144 | 37 | 9392  |
| 44  | RA9MMY | SOSB-144 | 27 | 9312  |
| 45  | UA9MCA | SOSB-144 | 47 | 9241  |

|     |          |          |    |      |                                   |          |           |     |        |    |          |          |     |        |
|-----|----------|----------|----|------|-----------------------------------|----------|-----------|-----|--------|----|----------|----------|-----|--------|
| 46  | UA9SCL   | SOSB-144 | 34 | 9225 | 150                               | RA9FEX   | SOSB-144  | 3   | 134    | 27 | UA0LEC/6 | SOMB     | 44  | 28557  |
| 47  | RA9CGR   | SOSB-144 | 34 | 9119 | 151                               | RA0ACM   | SOSB-144  | 1   | 86     | 28 | RA6AS    | SOMB     | 29  | 27889  |
| 48  | UA9SUN   | SOSB-144 | 34 | 9045 | 152                               | RA9YVV   | SOSB-144  | 1   | 86     | 29 | UA4AAV   | SOMB     | 25  | 25676  |
| 49  | UA9MAZ   | SOSB-144 | 56 | 8656 | 153                               | RA9FOS   | SOSB-144  | 2   | 14     | 30 | UA4HQI   | SOMB     | 43  | 23907  |
| 50  | RA9AE    | SOSB-144 | 35 | 8339 |                                   | RA9QAW   | SOSB-144  | 0   | 0      | 31 | UA3XCR   | SOMB     | 10  | 22660  |
| 51  | RA9MQ    | SOSB-144 | 28 | 8332 |                                   | UA9FAR   | SOSB-144  | 0   | 0      | 32 | RN3QDX   | SOMB     | 54  | 22098  |
| 52  | RA9CCB   | SOSB-144 | 34 | 8299 | 1                                 | RA9OEK   | SOSB-432  | 12  | 12032  | 33 | RA4FDT   | SOMB     | 28  | 21959  |
| 53  | RA9UUK   | SOSB-144 | 37 | 8215 | 2                                 | RU9ME    | SOSB-432  | 22  | 6064   | 34 | RA3TAS   | SOMB     | 26  | 19580  |
| 54  | RV9CVA   | SOSB-144 | 27 | 7930 | 3                                 | RK9UAP   | SOSB-432  | 9   | 4184   | 35 | RW3MMW   | SOMB     | 32  | 16988  |
| 55  | UA9MJW   | SOSB-144 | 32 | 7733 | 4                                 | RU9MC    | SOSB-432  | 12  | 3568   | 36 | RA4FAV   | SOMB     | 30  | 15131  |
| 56  | UA9ALA   | SOSB-144 | 34 | 7625 | 5                                 | RV9MO    | SOSB-432  | 11  | 2688   | 37 | UA4LCF   | SOMB     | 30  | 14159  |
| 57  | RZ9CF    | SOSB-144 | 23 | 7604 | 6                                 | UA0WAA   | SOSB-432  | 7   | 1980   | 38 | RW3TY    | SOMB     | 14  | 12373  |
| 58  | RA9MP    | SOSB-144 | 44 | 7602 | 7                                 | RW9MAN   | SOSB-432  | 11  | 1624   | 39 | RZ6HKM   | SOMB     | 31  | 11276  |
| 59  | RA9OAS   | SOSB-144 | 53 | 7458 | 8                                 | RA9MKR   | SOSB-432  | 2   | 1088   | 40 | RA3EF    | SOMB     | 24  | 10774  |
| 60  | RU9MG    | SOSB-144 | 43 | 7411 | 1                                 | UA9FAD   | SOSB-1296 | 11  | 39780  | 41 | RK4YA    | SOMB     | 12  | 9620   |
| 61  | UA9MMZ   | SOSB-144 | 49 | 7398 | 2                                 | UA9UR    | SOSB-1296 | 6   | 12780  | 42 | RW3XJ    | SOMB     | 19  | 8668   |
| 62  | RA9JY    | SOSB-144 | 31 | 7318 | 3                                 | UA9UKO   | SOSB-1296 | 8   | 9400   | 43 | RA4HGN   | SOMB     | 21  | 7908   |
| 63  | UA9AAE   | SOSB-144 | 26 | 7110 | 4                                 | RA9UCD   | SOSB-1296 | 2   | 1780   | 44 | RA3OE    | SOMB     | 31  | 7905   |
| 64  | UA9JRF/9 | SOSB-144 | 25 | 7026 | 5                                 | RA9UGX   | SOSB-1296 | 2   | 1780   | 45 | UA3DLD   | SOMB     | 23  | 6473   |
| 65  | RU9MM    | SOSB-144 | 41 | 7023 |                                   |          |           |     |        | 46 | RU3OR    | SOMB     | 30  | 5757   |
| 66  | RA9MLJ   | SOSB-144 | 29 | 6977 | <b>Россия (европейская часть)</b> |          |           |     |        | 47 | RA4PDY   | SOMB     | 14  | 5601   |
| 67  | RA9OEO   | SOSB-144 | 29 | 6936 | 1                                 | RA3AQ/3  | MOMB      | 367 | 866726 | 48 | RA3XCW   | SOMB     | 8   | 5020   |
| 68  | UA0WCV   | SOSB-144 | 21 | 6589 | 2                                 | RW3WR    | MOMB      | 309 | 593096 | 49 | RW3SX    | SOMB     | 15  | 4844   |
| 69  | RV9MA    | SOSB-144 | 52 | 6460 | 3                                 | RK3WWF   | MOMB      | 285 | 572048 | 50 | RA4YS    | SOMB     | 6   | 3724   |
| 70  | UA9ML    | SOSB-144 | 47 | 5840 | 4                                 | RW3FZ/3  | MOMB      | 248 | 504429 | 51 | RA4FMH   | SOMB     | 20  | 3402   |
| 71  | RA9MJ    | SOSB-144 | 42 | 5673 | 5                                 | UA3ME/3  | MOMB      | 210 | 475647 | 52 | RD3ZK    | SOMB     | 14  | 3353   |
| 72  | RA0WKQ   | SOSB-144 | 18 | 5483 | 6                                 | RZ3QD/3  | MOMB      | 227 | 413608 | 53 | UA4PDZ   | SOMB     | 9   | 3172   |
| 73  | RV9SV    | SOSB-144 | 12 | 5424 | 7                                 | RA6HLF/3 | MOMB      | 236 | 376915 | 54 | UA4WUW   | SOMB     | 2   | 1980   |
| 74  | UA9MW    | SOSB-144 | 47 | 5383 | 8                                 | RA3GL    | MOMB      | 164 | 371342 | 55 | RA4FVA   | SOMB     | 14  | 1646   |
| 75  | RA9MX/9  | SOSB-144 | 13 | 5216 | 9                                 | RA6AX    | MOMB      | 174 | 341593 | 56 | RA4NAS   | SOMB     | 15  | 1256   |
| 76  | UA9CS    | SOSB-144 | 27 | 5147 | 10                                | RW3PX    | MOMB      | 207 | 315856 | 57 | RW4WN    | SOMB     | 6   | 646    |
| 77  | UA9SL    | SOSB-144 | 18 | 5117 | 11                                | RZ6AZZ   | MOMB      | 184 | 295746 | 58 | RX6DX    | SOMB     | 2   | 530    |
| 78  | RA9UNP   | SOSB-144 | 33 | 5078 | 12                                | RW3LL    | MOMB      | 157 | 288811 | 59 | RA3XDR   | SOMB     | 6   | 476    |
| 79  | UA9MED   | SOSB-144 | 48 | 5072 | 13                                | RK3MMI   | MOMB      | 115 | 259392 | 60 | UA1QAI   | SOMB     | 2   | 270    |
| 80  | UA9OLO   | SOSB-144 | 49 | 5068 | 14                                | RK6AWY   | MOMB      | 167 | 252041 | 61 | RA4AJK   | SOMB     | 2   | 190    |
| 81  | RZ9YA    | SOSB-144 | 21 | 4304 | 15                                | UA3KAC   | MOMB      | 164 | 226318 | 62 | UA3MMY   | SOMB     | 2   | 55     |
| 82  | RV9MAZ   | SOSB-144 | 22 | 4029 | 16                                | RA3PWJ   | MOMB      | 151 | 204744 | 63 | RA3XDN   | SOMB     | 1   | 28     |
| 83  | RU9SR    | SOSB-144 | 14 | 3986 | 17                                | RV3YM    | MOMB      | 110 | 198065 | 1  | RZ6LJ    | SOSB-144 | 127 | 101407 |
| 84  | UA9SCX   | SOSB-144 | 14 | 3950 | 18                                | RK3RWA   | MOMB      | 157 | 197533 | 2  | RA3EC    | SOSB-144 | 134 | 93000  |
| 85  | RK9UAW   | SOSB-144 | 29 | 3861 | 19                                | RK3DZD   | MOMB      | 133 | 193333 | 3  | RK3AF    | SOSB-144 | 109 | 77645  |
| 86  | RA9MHA   | SOSB-144 | 9  | 3860 | 20                                | UA6FW/6  | MOMB      | 102 | 185171 | 4  | RU3GX    | SOSB-144 | 108 | 74188  |
| 87  | UA9MGR   | SOSB-144 | 31 | 3859 | 21                                | UA6LQZ   | MOMB      | 131 | 177686 | 5  | RN3AC/3  | SOSB-144 | 87  | 62896  |
| 88  | UA9JRA   | SOSB-144 | 26 | 3835 | 22                                | RN6HW    | MOMB      | 103 | 164067 | 6  | RW4HW    | SOSB-144 | 75  | 56563  |
| 89  | RV9TR    | SOSB-144 | 17 | 3557 | 23                                | RX6AA    | MOMB      | 109 | 160027 | 7  | UA3RBO   | SOSB-144 | 81  | 54220  |
| 90  | UA9PZ    | SOSB-144 | 25 | 3424 | 24                                | RZ4AWA   | MOMB      | 111 | 156138 | 8  | RV6Y     | SOSB-144 | 76  | 53743  |
| 91  | RA9YDA   | SOSB-144 | 18 | 3350 | 25                                | RX3QFN   | MOMB      | 128 | 133750 | 9  | RW3TJ    | SOSB-144 | 67  | 53211  |
| 92  | UA9MD    | SOSB-144 | 28 | 3133 | 26                                | RU3ZO    | MOMB      | 92  | 127812 | 10 | RV3AQ    | SOSB-144 | 79  | 51584  |
| 93  | UA9MUJ   | SOSB-144 | 34 | 3059 | 27                                | RK3MXT   | MOMB      | 91  | 126183 | 11 | RW4FS    | SOSB-144 | 84  | 49935  |
| 94  | UA9MC    | SOSB-144 | 19 | 2982 | 28                                | RN6BL    | MOMB      | 98  | 124567 | 12 | UA3QCB   | SOSB-144 | 84  | 48780  |
| 95  | UA9CQR   | SOSB-144 | 13 | 2842 | 29                                | RK3WYT   | MOMB      | 60  | 124036 | 13 | RU6LB    | SOSB-144 | 67  | 45647  |
| 96  | RU9MR    | SOSB-144 | 28 | 2829 | 30                                | RN3FA    | MOMB      | 83  | 107728 | 14 | UA4FQO   | SOSB-144 | 64  | 45647  |
| 97  | RA9QBS   | SOSB-144 | 4  | 2632 | 31                                | UA6AH    | MOMB      | 86  | 104193 | 15 | RA4YO    | SOSB-144 | 56  | 43473  |
| 98  | RA9QBZ   | SOSB-144 | 30 | 2608 | 32                                | RZ4HYL   | MOMB      | 96  | 98540  | 16 | UA3LNM   | SOSB-144 | 69  | 43086  |
| 99  | UA9FGJ   | SOSB-144 | 20 | 2410 | 33                                | RK3ZB    | MOMB      | 102 | 96503  | 17 | UA4FRL   | SOSB-144 | 67  | 43082  |
| 100 | RA9MED   | SOSB-144 | 18 | 2399 | 34                                | RA4YW    | MOMB      | 88  | 96089  | 18 | UA3XGM/4 | SOSB-144 | 51  | 40472  |
| 101 | UA9UJZ   | SOSB-144 | 17 | 2350 | 35                                | RK6YY    | MOMB      | 104 | 91676  | 19 | UA6MP    | SOSB-144 | 77  | 40035  |
| 102 | RA9AT    | SOSB-144 | 11 | 2333 | 36                                | UA6FM/6  | MOMB      | 77  | 87775  | 20 | UA0ZS/6  | SOSB-144 | 77  | 39920  |
| 103 | UA9OBD   | SOSB-144 | 24 | 2230 | 37                                | RK3MWC   | MOMB      | 81  | 87503  | 21 | UA4HX    | SOSB-144 | 54  | 35631  |
| 104 | RU9SF    | SOSB-144 | 19 | 1963 | 38                                | RA3DRC/1 | MOMB      | 60  | 87166  | 22 | UA4PCO   | SOSB-144 | 53  | 34970  |
| 105 | RA9OBW   | SOSB-144 | 27 | 1960 | 39                                | RK4WWF   | MOMB      | 73  | 86181  | 23 | UA6LNS   | SOSB-144 | 69  | 34473  |
| 106 | RX9FM    | SOSB-144 | 13 | 1933 | 40                                | RV6AJ    | MOMB      | 84  | 74160  | 24 | RK6LZS   | SOSB-144 | 67  | 34430  |
| 107 | RA9OCN   | SOSB-144 | 26 | 1820 | 41                                | UA6MWT   | MOMB      | 62  | 68382  | 25 | RA6MG    | SOSB-144 | 60  | 32008  |
| 108 | UA9MHB   | SOSB-144 | 28 | 1685 | 42                                | RW6AG    | MOMB      | 68  | 62393  | 26 | RA3PG    | SOSB-144 | 61  | 31895  |
| 109 | UA9XRF   | SOSB-144 | 3  | 1664 | 43                                | RA6AO    | MOMB      | 75  | 57305  | 27 | RN6DJ    | SOSB-144 | 58  | 31705  |
| 110 | RX9CUP   | SOSB-144 | 9  | 1569 | 44                                | RZ4CWV   | MOMB      | 36  | 51961  | 28 | RW4PED   | SOSB-144 | 57  | 30896  |
| 111 | RK9SWY   | SOSB-144 | 11 | 1514 | 45                                | RA3TAP   | MOMB      | 48  | 48264  | 29 | RK6CG    | SOSB-144 | 61  | 29398  |
| 112 | RA9MA    | SOSB-144 | 24 | 1506 | 46                                | RZ4HWS   | MOMB      | 49  | 45487  | 30 | RW3LX    | SOSB-144 | 70  | 28943  |
| 113 | RU9SB    | SOSB-144 | 18 | 1501 | 47                                | RN4NF    | MOMB      | 46  | 42524  | 31 | RA4FER   | SOSB-144 | 40  | 25994  |
| 114 | RA9SOA   | SOSB-144 | 13 | 1444 | 48                                | RA3DHK   | MOMB      | 40  | 29903  | 32 | RU3PU    | SOSB-144 | 51  | 24655  |
| 115 | UA9SSR   | SOSB-144 | 19 | 1324 | 49                                | RK3XWA   | MOMB      | 52  | 29233  | 33 | RA3DTH   | SOSB-144 | 50  | 21666  |
| 116 | UA9MER   | SOSB-144 | 15 | 1308 | 50                                | RK1QWA   | MOMB      | 28  | 22409  | 34 | UA3ALX   | SOSB-144 | 42  | 21650  |
| 117 | RA9MIR   | SOSB-144 | 29 | 1302 | 51                                | RK3OWF   | MOMB      | 17  | 22396  | 35 | UA3RUF   | SOSB-144 | 51  | 21460  |
| 118 | RA9OCX   | SOSB-144 | 16 | 1252 | 52                                | RK3VWA   | MOMB      | 23  | 9272   | 36 | RA6HNZ   | SOSB-144 | 35  | 20748  |
| 119 | UA9OS    | SOSB-144 | 24 | 1250 | 53                                | RA3QND   | MOMB      | 13  | 7863   | 37 | UA3PC    | SOSB-144 | 46  | 20508  |
| 120 | RA9OCK   | SOSB-144 | 13 | 1210 | 54                                | RK6EWQ   | MOMB      | 16  | 4824   | 38 | UA3MAS   | SOSB-144 | 29  | 20493  |
| 121 | UA9YM    | SOSB-144 | 4  | 1116 | 55                                | RK3YQ    | MOMB      | 10  | 4754   | 39 | UA1XP    | SOSB-144 | 31  | 19198  |
| 122 | RV9CPZ   | SOSB-144 | 8  | 1033 | 56                                | RZ4PXB   | MOMB      | 4   | 458    | 40 | UA3QFA   | SOSB-144 | 53  | 19174  |
| 123 | RV9WF    | SOSB-144 | 6  | 989  | 1                                 | RA6DA    | SOMB      | 170 | 379148 | 41 | UA3ACL   | SOSB-144 | 42  | 18787  |
| 124 | RA0WKC/0 | SOSB-144 | 7  | 960  | 2                                 | RA3LE    | SOMB      | 95  | 226475 | 42 | RU3XY    | SOSB-144 | 48  | 17997  |
| 125 | RA9CHK   | SOSB-144 | 11 | 956  | 3                                 | RA3XQ    | SOMB      | 117 | 201569 | 43 | RZ3QJ    | SOSB-144 | 44  | 17766  |
| 126 | RA9MN    | SOSB-144 | 20 | 948  | 4                                 | RV3OX    | SOMB      | 118 | 151976 | 44 | RA1QFY   | SOSB-144 | 24  | 17272  |
| 127 | UA9CTU   | SOSB-144 | 5  | 900  | 5                                 | RU6DZ    | SOMB      | 80  | 116762 | 45 | UA6AVQ   | SOSB-144 | 50  | 17153  |
| 128 | UA9MPW   | SOSB-144 | 26 | 870  | 6                                 | RA3XM    | SOMB      | 102 | 116515 | 46 | RD3PC    | SOSB-144 | 33  | 17122  |
| 129 | UA9OVQ   | SOSB-144 | 10 | 834  | 7                                 | RA3FO    | SOMB      | 102 | 115785 | 47 | RZ3VA    | SOSB-144 | 36  | 16836  |
| 130 | UA9MHO   | SOSB-144 | 19 | 788  | 8                                 | UA4API   | SOMB      | 60  | 108033 | 48 | RK6MF    | SOSB-144 | 45  | 15818  |
| 131 | RV9FQ    | SOSB-144 | 7  | 774  | 9                                 | RA3AES   | SOMB      | 59  | 103388 | 49 | RX1AS    | SOSB-144 | 21  | 15497  |
| 132 | UA9AX    | SOSB-144 | 4  | 763  | 10                                | RL3DO    | SOMB      | 80  | 72740  | 50 | UA3KAN   | SOSB-144 | 32  | 15202  |
| 133 | RA9AB    | SOSB-144 | 10 | 730  | 11                                | UA3TCF   | SOMB      | 52  | 72034  | 51 | RW4NH    | SOSB-144 | 27  | 14783  |
| 134 | RA9MLR   | SOSB-144 | 17 | 693  | 12                                | UA3ECB/4 | SOMB      | 60  | 65852  | 52 | UA4PKM   | SOSB-144 | 33  | 14237  |
| 135 | UA9NB    | SOSB-144 | 8  | 666  | 13                                | UA6EM    | SOMB      | 70  | 67010  | 53 | RN3AP    | SOSB-144 | 39  | 14218  |
| 136 | UA9ZBK   | SOSB-144 | 2  | 660  | 14                                | RW3ZO    | SOMB      | 61  | 53788  | 54 | RU1AA    | SOSB-144 | 17  | 13551  |
| 137 | UA9OMT   | SOSB-144 | 7  | 574  | 15                                | UA4NX    | SOMB      | 44  | 46394  | 55 | RA6LGV   | SOSB-144 | 35  | 13505  |
| 138 | UA9MQC   | SOSB-144 | 7  | 528  | 16                                | UA4HV    | SOMB      | 52  | 46295  | 56 | RA4CBY   | SOSB-144 | 23  | 12866  |
| 139 | UA9YAD   | SOSB-144 | 2  | 470  | 17                                | UA6HF    | SOMB      | 66  | 45923  | 57 | RA1WZ    | SOSB-144 | 20  | 12314  |
| 140 | UA9WRP   | SOSB-144 | 3  | 392  | 18                                | RU3DD    | SOMB      | 71  | 45873  | 58 | RW6BN    | SOSB-144 |     |        |

# Команда RK3DZD на "Полевом дне" 2008 года



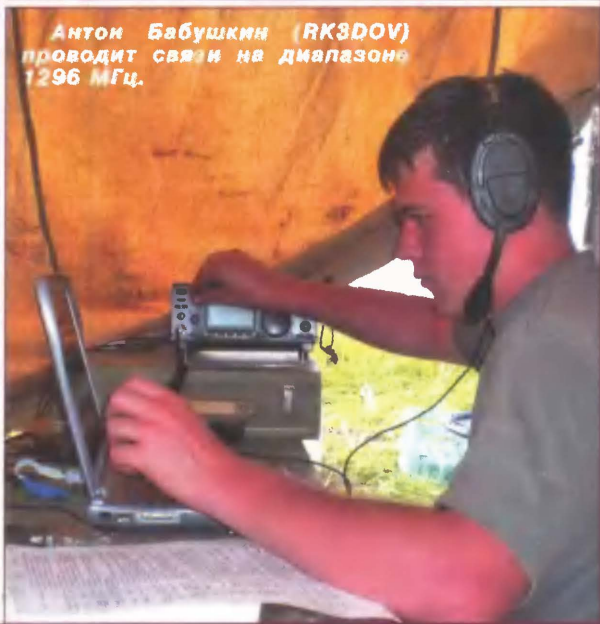
Стеки на диапазоны 144 и 432 МГц (2 по 18 и 2 по 38 элементов соответственно).



Китайские диоды сгорели. Блок питания ремонтирует Сергей Абраменко (RU3DDM).



Подъем мачты с двухметровой пластиковой "тарелкой" на диапазон 1296 МГц.



Антон Бабушкин (RK3DOV) проводит связь на диапазоне 1296 МГц.

|    |        |          |    |      |     |          |          |    |      |                |        |           |     |        |
|----|--------|----------|----|------|-----|----------|----------|----|------|----------------|--------|-----------|-----|--------|
| 68 | UA4NM  | SOSB-144 | 20 | 9470 | 96  | RN3QLN   | SOSB-144 | 23 | 2599 | 1              | RN3QR  | SOSB-432  | 45  | 131408 |
| 69 | RA3QRZ | SOSB-144 | 35 | 9292 | 97  | UA4CAJ   | SOSB-144 | 5  | 2358 | 2              | RN6BM  | SOSB-432  | 10  | 25968  |
| 70 | RW3DMQ | SOSB-144 | 23 | 9041 | 98  | RA4FJQ   | SOSB-144 | 12 | 2299 | 3              | RA6XB  | SOSB-432  | 11  | 23320  |
| 71 | UA4FKD | SOSB-144 | 31 | 9006 | 99  | RW3QHC   | SOSB-144 | 8  | 2014 | 4              | RV6ANI | SOSB-432  | 11  | 16640  |
| 72 | RW4PU  | SOSB-144 | 24 | 8917 | 100 | RN3QNL   | SOSB-144 | 16 | 2002 | 5              | UA3BX  | SOSB-432  | 9   | 9312   |
| 73 | RX6BN  | SOSB-144 | 18 | 8439 | 101 | RK4FAD   | SOSB-144 | 11 | 1957 | 1              | RD3DA  | SOSB-1296 | 36  | 183920 |
| 74 | RA6FVZ | SOSB-144 | 26 | 7956 | 102 | RX3XG    | SOSB-144 | 10 | 1942 | 2              | RW3BP  | SOSB-1296 | 30  | 144320 |
| 75 | UA4FDD | SOSB-144 | 18 | 7258 | 103 | RA6XPG   | SOSB-144 | 7  | 1676 | 3              | RA3AUB | SOSB-1296 | 20  | 74000  |
| 76 | RZ3DUX | SOSB-144 | 31 | 7239 | 104 | RA4HO    | SOSB-144 | 4  | 1552 | 4              | UA3DHC | SOSB-1296 | 21  | 73900  |
| 77 | RA4PKB | SOSB-144 | 23 | 6803 | 105 | RV9FF/4  | SOSB-144 | 4  | 1284 | 5              | RA3IS  | SOSB-1296 | 12  | 71110  |
| 78 | UA6IK  | SOSB-144 | 12 | 6293 | 106 | RA4FUT   | SOSB-144 | 12 | 1252 | 6              | RX3DUR | SOSB-1296 | 16  | 61880  |
| 79 | RA4NCX | SOSB-144 | 13 | 6191 | 107 | UA3SFP   | SOSB-144 | 8  | 1160 | 7              | UA3OW  | SOSB-1296 | 11  | 53480  |
| 80 | RA3QFD | SOSB-144 | 21 | 5887 | 108 | UA3RDR   | SOSB-144 | 5  | 1068 | 8              | RA3GES | SOSB-1296 | 12  | 51440  |
| 81 | RN3RFH | SOSB-144 | 16 | 5795 | 109 | UA3ROW   | SOSB-144 | 6  | 955  | 9              | UA3MBJ | SOSB-1296 | 7   | 41600  |
| 82 | RA3XI  | SOSB-144 | 22 | 5622 | 110 | UA3RAI   | SOSB-144 | 3  | 937  | 10             | UA6FA  | SOSB-1296 | 9   | 27820  |
| 83 | RU1AC  | SOSB-144 | 11 | 5224 | 111 | UA3TJC   | SOSB-144 | 8  | 835  | 11             | RW3XR  | SOSB-1296 | 7   | 20280  |
| 84 | RW3DJO | SOSB-144 | 21 | 5198 | 112 | RW4PKJ   | SOSB-144 | 4  | 760  | 12             | UA3ARC | SOSB-1296 | 9   | 6570   |
| 85 | UA6YM  | SOSB-144 | 17 | 5012 | 113 | RN4ABM   | SOSB-144 | 4  | 737  | <b>Турция</b>  |        |           |     |        |
| 86 | RU3XB  | SOSB-144 | 21 | 4565 | 114 | RA3QTU   | SOSB-144 | 12 | 620  | 1              | TA7OM  | SOSB-144  | 9   | 7990   |
| 87 | RA4ACS | SOSB-144 | 7  | 3558 | 115 | UA4WIZ   | SOSB-144 | 2  | 562  | <b>Украина</b> |        |           |     |        |
| 88 | RX3QVN | SOSB-144 | 19 | 3354 | 116 | RW4ND    | SOSB-144 | 8  | 355  | 1              | UU7J   | MOMB      | 305 | 629151 |
| 89 | UA3DFR | SOSB-144 | 12 | 3312 | 117 | UA1AVU   | SOSB-144 | 3  | 276  | 2              | UW2M   | MOMB      | 255 | 537772 |
| 90 | RW3AI  | SOSB-144 | 21 | 3188 | 118 | RZ4SWM/P | SOSB-144 | 2  | 266  | 3              | UR7D   | MOMB      | 498 | 511852 |
| 91 | UA4WFR | SOSB-144 | 11 | 3031 | 119 | UA3EUW   | SOSB-144 | 4  | 259  | 4              | UT7QF  | MOMB      | 291 | 467485 |
| 92 | RA1ARM | SOSB-144 | 10 | 3003 | 120 | RA3VR    | SOSB-144 | 3  | 113  | 5              | UW2I   | MOMB      | 196 | 448560 |
| 93 | RK3SWS | SOSB-144 | 10 | 2897 | 121 | RA3WUG   | SOSB-144 | 3  | 110  |                |        |           |     |        |
| 94 | RA4PTI | SOSB-144 | 11 | 2806 | 122 | UA6LTI   | SOSB-144 | 1  | 18   |                |        |           |     |        |
| 95 | RA1AR  | SOSB-144 | 8  | 2799 |     | RU4FA    | SOSB-144 | 0  | 0    |                |        |           |     |        |

|    |        |      |     |        |    |        |          |     |        |    |         |           |    |        |
|----|--------|------|-----|--------|----|--------|----------|-----|--------|----|---------|-----------|----|--------|
| 6  | UX4E   | MOMB | 221 | 390017 | 35 | UR4MWU | MOMB     | 29  | 23600  | 9  | US5MPO  | SOSB-144  | 36 | 11346  |
| 7  | UU1DX  | MOMB | 182 | 363492 | 36 | US2IS  | MOMB     | 36  | 16662  | 10 | UR3CMA  | SOSB-144  | 21 | 9262   |
| 8  | UW5Y   | MOMB | 354 | 310394 | 37 | UU4JZS | MOMB     | 16  | 3894   | 11 | UR5AMK  | SOSB-144  | 26 | 9011   |
| 9  | UY9IA  | MOMB | 196 | 301972 | 38 | UR4LQ  | MOMB     | 3   | 766    | 12 | US0YA   | SOSB-144  | 24 | 7976   |
| 10 | UW9I   | MOMB | 196 | 273317 | 1  | UT5JCW | SOMB     | 142 | 400547 | 13 | UR9LL   | SOSB-144  | 19 | 7360   |
| 11 | UT2IU  | MOMB | 179 | 256306 | 2  | UV2L   | SOMB     | 126 | 211655 | 14 | UR7INK  | SOSB-144  | 27 | 6419   |
| 12 | UT7IY  | MOMB | 175 | 237513 | 3  | UT4LA  | SOMB     | 104 | 186655 | 15 | US5LSK  | SOSB-144  | 20 | 5316   |
| 13 | UT3LK  | MOMB | 106 | 229455 | 4  | UT5ID  | SOMB     | 127 | 130060 | 16 | UR5IFN  | SOSB-144  | 25 | 4941   |
| 14 | UR6EC  | MOMB | 121 | 227100 | 5  | UT3LL  | SOMB     | 51  | 107178 | 17 | US5IW   | SOSB-144  | 24 | 4495   |
| 15 | UT0H   | MOMB | 179 | 223279 | 6  | UT6LX  | SOMB     | 50  | 56880  | 18 | UR5EYI  | SOSB-144  | 13 | 3165   |
| 16 | UR3EE  | MOMB | 159 | 216691 | 7  | UR4LSK | SOMB     | 71  | 38539  | 19 | US6ITX  | SOSB-144  | 15 | 2363   |
| 17 | UT1E   | MOMB | 56  | 213034 | 8  | UX1LK  | SOMB     | 52  | 29458  | 20 | UT3EK   | SOSB-144  | 8  | 1608   |
| 18 | UZ1I   | MOMB | 184 | 203511 | 9  | UT3NW  | SOMB     | 24  | 22505  | 21 | UR4LJ   | SOSB-144  | 8  | 1276   |
| 19 | UU9JJ  | MOMB | 113 | 198739 | 10 | UU7JR  | SOMB     | 18  | 16238  | 22 | UT5UAK  | SOSB-144  | 4  | 1054   |
| 20 | UW3E   | MOMB | 135 | 165840 | 11 | UT2LU  | SOMB     | 20  | 11886  | 23 | UV5EDJ  | SOSB-144  | 5  | 748    |
| 21 | UT1IC  | MOMB | 115 | 139599 | 12 | UR5IKM | SOMB     | 23  | 10709  | 24 | UY0IR   | SOSB-144  | 7  | 335    |
| 22 | UR7IWZ | MOMB | 124 | 139375 | 13 | UT5IL  | SOMB     | 30  | 10130  | 25 | UY7MY   | SOSB-144  | 3  | 156    |
| 23 | UR5LX  | MOMB | 130 | 92775  | 14 | UR8MH  | SOMB     | 13  | 5524   | 1  | UT2EG   | SOSB-432  | 51 | 137572 |
| 24 | UT0LWR | MOMB | 21  | 85830  | 15 | UR4LG  | SOMB     | 12  | 2756   | 2  | UY2MQ   | SOSB-432  | 47 | 93472  |
| 25 | UT0IH  | MOMB | 94  | 84607  | 16 | US5IND | SOMB     | 12  | 882    | 3  | UT5ST/P | SOSB-432  | 34 | 59300  |
| 26 | UR4IK  | MOMB | 107 | 79659  | 17 | UR3AA  | SOMB     | 1   | 228    | 4  | UX7MA   | SOSB-432  | 28 | 51300  |
| 27 | US5QGL | MOMB | 133 | 71736  | 1  | UW5W   | SOSB-144 | 181 | 97514  | 5  | UR4IU   | SOSB-432  | 16 | 27520  |
| 28 | UT2WT  | MOMB | 120 | 63616  | 2  | UX2SB  | SOSB-144 | 169 | 80192  | 6  | UR4LRH  | SOSB-432  | 17 | 23272  |
| 29 | UT5A   | MOMB | 61  | 47094  | 3  | UY5MD  | SOSB-144 | 89  | 45642  | 7  | UR5MGW  | SOSB-432  | 10 | 16292  |
| 30 | UX3IW  | MOMB | 69  | 45353  | 4  | US0GB  | SOSB-144 | 72  | 42000  |    | US5IUY  | SOSB-432  | 0  | 0      |
| 31 | UR8IDX | MOMB | 72  | 43131  | 5  | UX2H   | SOSB-144 | 83  | 40423  | 1  | UR5EUP  | SOSB-1296 | 23 | 115080 |
| 32 | UR7IGZ | MOMB | 76  | 36875  | 6  | UT3HG  | SOSB-144 | 60  | 23515  | 2  | UY5ON   | SOSB-1296 | 17 | 79580  |
| 33 | US5IPD | MOMB | 73  | 26732  | 7  | UR4QX  | SOSB-144 | 58  | 23226  | 3  | UX1IW   | SOSB-1296 | 9  | 27880  |
| 34 | UR8IN  | MOMB | 67  | 25422  | 8  | UX7HO  | SOSB-144 | 38  | 18842  | 4  | UR3EP   | SOSB-1296 | 1  | 820    |

## Антенные решетки УКВ диапазона с вертикальной поляризацией

Иван ШОР (RA3WDK), г. Курск

Поводом сконструировать антенну диапазона 264/388 МГц послужила поломка у моего знакомого антенны для телефона "Senaо" HARVEST DX-60 после очередного шквала. Было решено спроектировать четырехэлементную антенную решетку с дипольными элементами, подобными описанным в [1], которая должна была превзойти характеристики импортной антенны по коэффициенту усиления.

Но в отличие от радиолюбительских диапазонов 145 и 435 МГц, которые являются кратными, диапазоны 260...270 и 380...390 МГц не кратны, поэтому элемент был изготовлен по размерам, показанным на рис. 1, и оптимизирован под сопротивление 50 Ом.

Элементы выполнены из медного провода диаметром 4 мм. Для сохранения приемлемого коэффициента усиления и одновременно для размещения всей антенны на трехметровой стеклопластиковой мачте было выбрано расстояние между центрами элементов 750 мм. Это расстояние лежит между половиной длины волны для частоты 265 МГц и длиной волны для частоты 385 МГц. Вместо согласующего трансформатора 12,5/50 Ом была применена последовательно-параллельная схема суммирования сигналов четырех антенн, подобная описанной в [2].

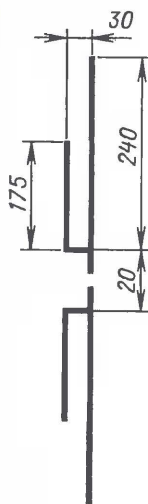


Рис. 1

Общая электрическая схема антенной решетки показана на рис. 2. Знаками плюс и минус обозначена фазировка элементов.

Длина кабеля до элементов оптимизирована для двух частот одновременно. Длина кабеля с полиэтиленовой изоляцией выбрана равной 1,5 м, что с учетом коэффициента укорочения составляет 2 и 3 длины волны для частот 265 и 385 МГц соответственно.

При установке элементов на стеклопластиковую мачту необходимо соблюдать фазировку согласно рис. 2.

После изготовления антенны не понадобилась никакая-либо настройка. Если при изготовлении антенны не будет возможности использовать четырехмиллиметровую медную проволоку,

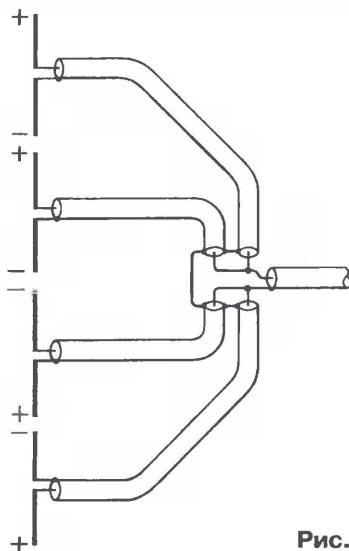


Рис. 2

длину элементов можно будет пересчитать в программе MMANA для нового диаметра. После изготовления их по отдельности целесообразно проверить и подстроить по минимуму КСВН.

При установке антенны на парапете пятиэтажного здания и длине кабеля 25 м обеспечивалась устойчивая связь на расстоянии свыше 50 км, что превышало расстояние, полученное при работе антенны ранее промышленной антенны.

Данную схему антенны можно применить и для диапазонов 145 и 435 МГц. Элементы антенны необходимо изготовить согласно [1]. Длина элемента на 435 МГц будет равна 330 мм при диаметре 6 мм, расстояние до элемента 145 МГц уменьшится с 30 до 20 мм. При этом входное сопротивление элемента на частоте 435 МГц будет близко к 50 Ом. Кабель сопротивлением 50 Ом от каждого элемента до сумматора имеет длину 2 м (для коэффициента укорочения 0,66). Можно применить кабель РК-50-4-11 или РК-50-4-13 с двойной медной оплеткой. Для фидера желательно выбрать кабель с малыми потерями — РК-50-9-11 или импортный 10D-FB. Сумматор с фидером необходимо закрепить на оттяжке, а кабели, соединяющие сумматор и элементы, расположить таким образом, чтобы они минимально затеняли собой элементы антенной решетки. Неравномерность диаграммы направленности в горизонтальной плоскости, по сравнению с антенной [1], будет немного больше, но усиление возрастет и на частоте 145 МГц составит 8 дБн, а на частоте 435 МГц — 11 дБн. Несмотря на то что диаграмма направленности в вертикальной плоскости сузится в два раза, по сравнению с диаграммой двухэлементной антенной решетки [1], наличие многочисленных боковых лепестков в вертикальной плоскости позволит также работать с данной антенной через ИСЗ.

### ЛИТЕРАТУРА

- Шор И. Двухдиапазонная УКВ антенна. — Радио, 2006, № 6, с. 67.
- Харченко К. УКВ антенны. — М.: ДОСААФ, 1969.

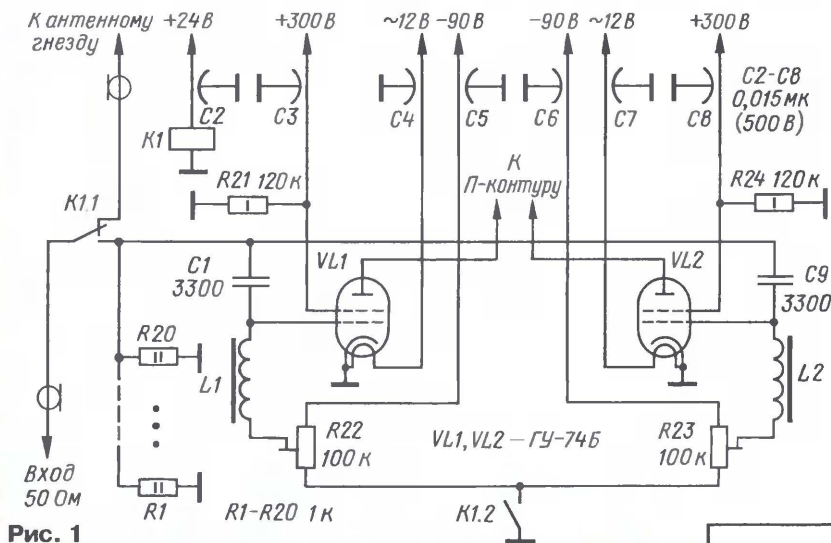
Редактор — С. Некрасов, графика — Ю. Андреев

## Модуль выходного каскада усилителя мощности

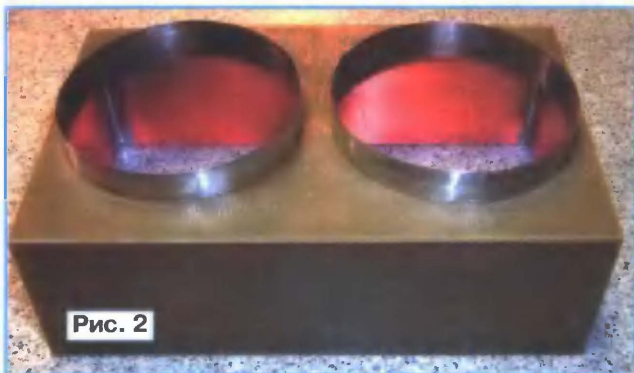
**Олег ПЛАТОНОВ (RA9FMN), г. Пермь**

Описываемый модуль выходного каскада является составным компонентом коротковолнового усилителя мощности "Командор", разработанного

Все требуемые напряжения для питания ламп подаются в модуль через проходные конденсаторы C2—C8. И хотя в усилителе мощности



**Рис. 1**



**Рис. 2**

автором. Принципиальная схема модуля показана на **рис. 1**. Он выполнен на двух параллельно включенных лампах VL1 и VL2 — мощных генераторных тетродов ГУ-74Б. Так как усилитель предназначен для работы с импортными трансиверами и требует для «раскачки» мощность порядка 20...30 Вт, на его входе внутри модуля установлен эквивалент нагрузки, который обеспечивает согласование усилителя с трансивером. Он состоит из двадцати соединенных параллельно резисторов R1—R20 типа МЛТ-2 1 кОм и имеет общее сопротивление 50 Ом при мощности 40 Вт. Эквивалент включен в цепь управляющих сеток ламп и на нем выделяется требуемое напряжение возбуждения. Эквивалент нагрузки охлаждается воздушным потоком от вентиляторов и выдерживает при работе кратковременную мощность 100 Вт. Переключение усилителя в активный режим осуществляет реле К1.

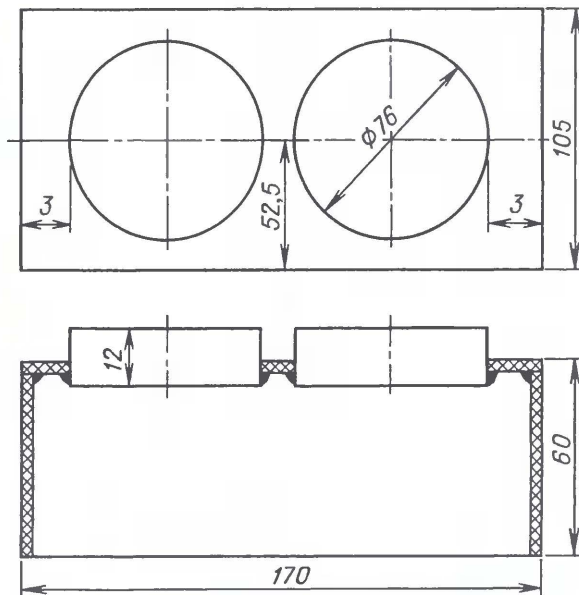
длина проводов от модуля до блока питания составляет 70 см, тем не менее все работает очень устойчиво. Особое внимание уделено общему проводу ("минусовому"), соединяющему модуль с блоком питания. Это должен быть медный провод, лента или шина с сечением не менее 6 мм<sup>2</sup>.

При разработке конструктивного варианта модуля автор ставил перед собой несколько задач, которые были успешно решены, а именно:

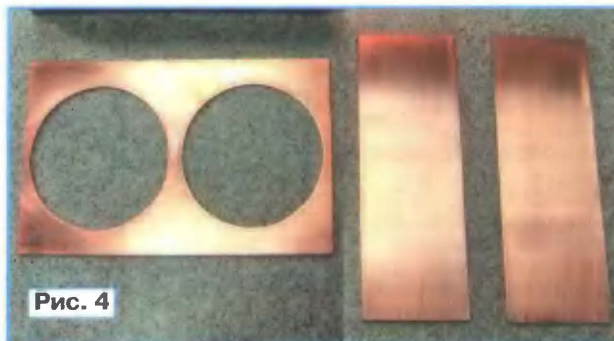
- устойчивость в работе;
- эффективное охлаждение ламп;
- простота и технологичность изготовления;
- хорошая ремонтпригодность и возможность модернизации;
- низкий уровень шума от работы вентиляторов.

В процессе конструирования проводились измерения интенсивности воздушного потока над анодами ламп (на выходе), температуры анодов ламп и уровня шума вентиляторов. В результате модуль приобрел конфигурацию закрытого коробчатого шасси, разделенного внутри поперечной перегородкой, с продуванием каждого отсека отдельным вентилятором. По периметрам отверстий под панели ламп установлены аэродинамические выравнивающие кольца, которые обеспечивают интенсивное равномерное обдувание анодов ламп.

При изготовлении модуля особое внимание следует обратить на два размера — это высота шасси модуля и высота аэродинамических колец. Если шасси сделать высотой менее 50 мм, то снижается эффективность охлаждения и возрастает уровень шума за счет появления обратного выброса воздуха. Высоту аэродинамических колец также увеличивать не стоит, так как возрастает уровень шума и уменьшается зазор между кольцом и анодом лампы.



**Рис. 3**



**Рис. 4**

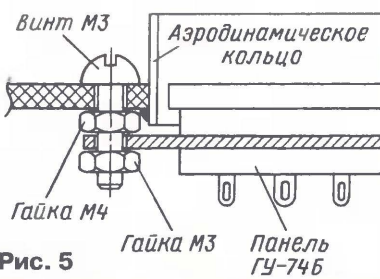


Рис. 5

вале модуля получается идеальная медная "земля", что благотворно сказывается на работе усилителя. Аэродинамические кольца сделаны из полосок медной или латунной фольги толщиной 0,3...0,5 мм. Между панелями ламп в подвале шасси должна быть установлена (см. ниже по тексту) перегородка размерами 58×100 мм из двусторонне фольгированного стеклотекстолита.

Порядок сборки модуля следующий. Сначала в подвале модуля распаивают

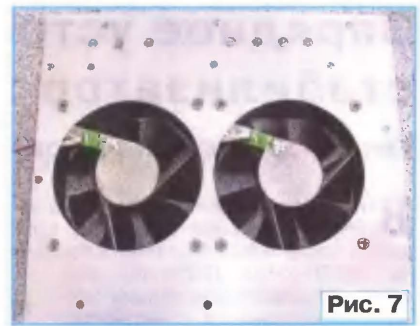


Рис. 7

лен ряд отверстий по числу проводов питания, и в эти отверстия установлены изолирующие втулки.

Анодная контурная система усилителя на схеме не показана, так как здесь могут быть различные решения в зависимости от предпочтений конструктора. Отметим лишь, что в режиме SSB при анодном напряжении 1800 В и токе каждой лампы 600 мА модуль устойчиво работает как с П-контуром с параллельным питанием, так и с последовательным. При работе РТТУ рекомендуем снизить ток анода лампы до 300 мА.

При необходимости оперативно снизить мощность усилителя вдвое, можно отключить напряжение экранной сетки одной из ламп. Можно также снизить мощность усилителя на более длительное время, отключив напряжение накала этой же лампы.

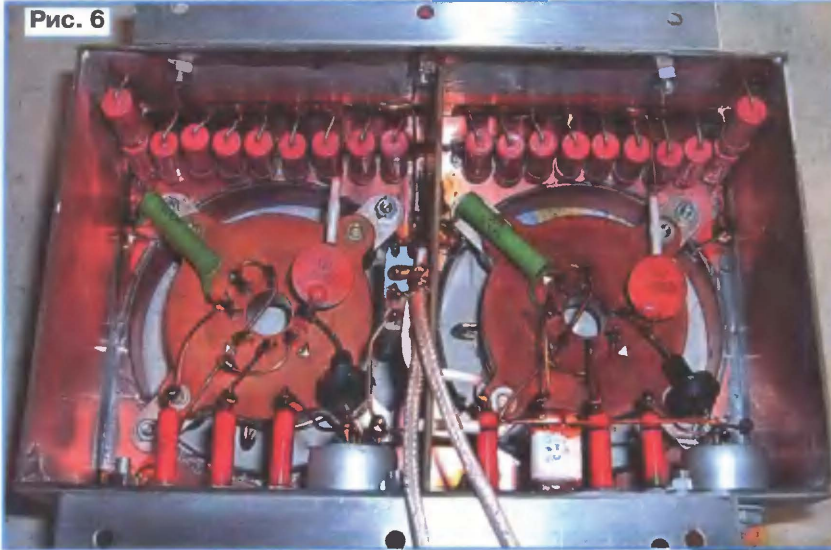


Рис. 6

Напряжение накала ламп ГУ-74Б не должно превышать его номинального значения — 12,6 В. Это позволит после завершения работы в эфире полностью выключать усилитель, в том числе и вентиляторы. При этом температура анодов ламп за счет внутренней теплоотдачи возрастает всего лишь до +70...80 °С.

При напряжении накала 13 В, после выключения усилителя и вентиляторов, температура анодов ламп возрастает до 120 °С. Проверено экспериментально, и естественно, второй вариант не приемлем.

В модуле применены детали: дроссели L1, L2 — ДМ-0,2 500 мкГн (можно телевизионные с намоткой типа "Универсаль"), подстроечные резисторы — СП4-2Ма, конденсаторы С2—С8 — КТП-3, остальные — КД, СГМ, КСО. Реле К1 — РЭС54А (исполнение ХП4.500.012-01 или ХП4.500.011-03). Монтаж модуля выполнен голым медным проводом диаметром 1 мм.

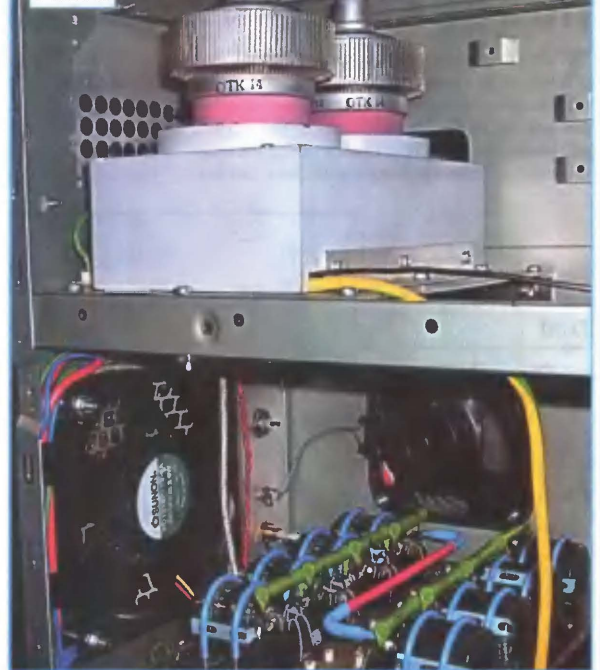
Конструкция шасси модуля хорошо видна на фотографии (рис. 2), а его эскиз представлен на рис. 3. Все необходимые заготовки вырезают из односторонне фольгированного стеклотекстолита толщиной 2...2,5 мм (рис. 4). На одной из длинных боковых заготовок резакон по всей длине вырезают изолированную площадку шириной 8...10 мм, к которой при монтаже модуля паяют выводы резисторов эквивалента нагрузки. Во второй длинной боковой заготовке просверлен ряд отверстий для установки проходных конденсаторов и подстроечных резисторов. Детали шасси соединяют между собой пайкой, фольгированной стороной внутрь. В результате в под-

резисторы R1—R20. Затем устанавливают панели ламп, которые крепят к шасси изнутри винтами М3. Чтобы панели не упирались в аэродинамические кольца, которые выступают внутрь шасси на 2 мм (для пайки), под каждую крепежную лапку панели подкладывают гайки М4 (рис. 5).

К перегородке припаивают корпус реле К1 и впаивают перегородку на место. Затем устанавливают подстроечные резисторы сеточного смещения. Последними устанавливают проходные конденсаторы. Делать это нужно осторожно, так как конденсаторы очень хрупкие. Рекомендую для этой операции воспользоваться торцевым ключом. После установки всех деталей на места производят распайку компонентов устройства согласно схеме (рис. 6).

Готовый модуль устанавливают на дюралевую пластину размерами 180×160 мм и закрепляют с помощью двух дюралевых уголков размерами 15×15×150 мм. В пластине вырезаны два отверстия диаметром 75 мм под компьютерные вентиляторы (рис. 7). Вентиляторы крепят к пластине просвер-

Рис. 8



Налаживание усилителя сводится к установке начального тока каждой лампы в пределах 120...150 мА, без подачи входного сигнала.

Данный модуль, его внешний вид на фотографии рис. 8, был повторен более десяти раз и показал себя в работе надежной и устойчивой конструкцией.

Редактор — С. Некрасов,  
графика — Ю. Андреев, фото — автора

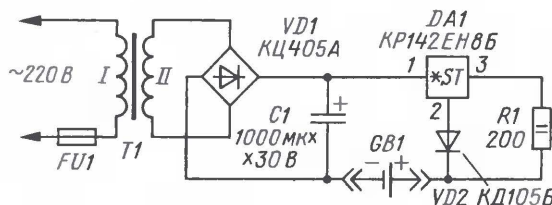
# Зарядное устройство-стабилизатор тока на ИМС

Евгений ДАВИДЕНКО, г. Новосибирск

В недавнем времени для нужд внутрислужебной связи мне пришлось воспользоваться радиостанциями 70РТП-2-ЧМ. Достались они нашему учреждению в весьма плачевном состоянии и, в частности, без штатных аккумуляторов ЦНК-0,45, взамен которых я применил аккумуляторы емкостью 600 мА·ч фирмы SANYO. А когда возник вопрос об их правильной дальнейшей эксплуатации, мной было разработано простое и надежное зарядное устройство, схема которого приведена на рисунке.

Напряжение сети понижается трансформатором Т1 до 20 В, затем выпрямляется диодным мостом VD1 и поступает на стабилизатор тока, выполненный на микросхеме DA1 KP142EH8Б, которая позволяет получить высокостабильное напряжение 12 В при изменении тока нагрузки от 0 до 1,5 А.

Известно, что выходное напряжение стабилизатора можно повысить, увеличив потенциал общего вывода ИМС отно-



сительно минуса цепи питания. Именно это обстоятельство позволило использовать микросхему как генератор стабильного тока. Как видно на схеме, аккумуляторная батарея с номинальным напряжением 7,2 В включена в разрыв общего провода DA1 и минуса источника питания. В свою очередь микросхема нагружена резистором R1, который опреде-

ляет ее выходной ток. Иначе говоря, этот резистор позволяет задать ток зарядки аккумуляторной батареи. Так для аккумуляторов емкостью 600 мА·ч он должен быть равен 60 мА, что соответствует сопротивлению резистора R1 200 Ом.

При подключении аккумулятора к устройству он начинает заряжаться, а напряжение на нем постепенно увеличивается, одновременно растет и потенциал общего вывода микросхемы, что вызывает увеличение напряжения и на ее выходе. Таким образом, напряжение между выходным и общим выводами DA1 остается постоянным и зарядный ток также неизменен на протяжении всех 15 часов и равен 60 мА.

В устройстве можно заряжать и отдельные аккумуляторы с напряжением 1,2 В, например, при профилактике сборных батарей. Оно не боится коротких замыканий, так как ток короткого замыкания — 60 мА.

Диод VD2, рассчитанный на прямой ток не менее 100 мА, служит для развязки общего провода от аккумулятора в случае пропадания напряжения сети.

Редактор — С. Некрасов, графика — Ю. Андреев

## За рубежом

### Кварцевый фильтр с изменяемой полосой пропускания

Хотя в современных трансиверах все чаще в качестве фильтра основной селекции используют кварцевые фильтры на частоты в несколько мегагерц, есть немало конструкций, в которых применяют и электромеханические филь-

Hawker, "Technical Topics", RadCom, 2005, December, p. 74—76). Схема экспериментального фильтра приведена на рис. 1. По существу, это — дифференциально-мостовой однокристалльный фильтр, в котором вместо трансформа-

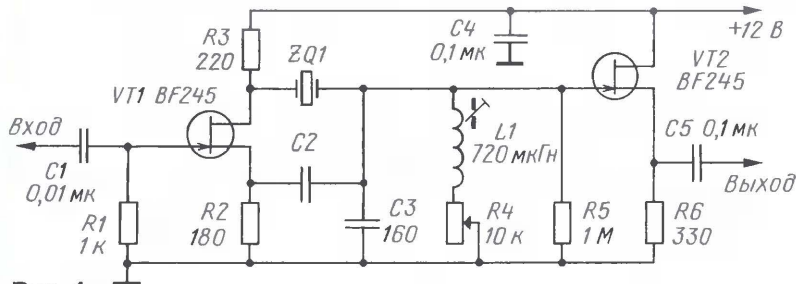


Рис. 1

ры (ЭМФ). Наибольшее распространение получили ЭМФ с полосой пропускания 2,4...3 кГц, позволяющие обеспечить оптимальную фильтрацию SSB сигнала. Сложнее дело обстоит с "телеграфными" ЭМФ — они встречаются заметно реже, и при этом их центральная частота редко стыкуется с полосой пропускания основного фильтра — приходится переключать резонаторы в гетеродине смесительного детектора.

Между тем еще с начала применения кварцевых резонаторов в фильтрах были разработаны схемы, которые позволяли регулировать в определенных пределах их полосу пропускания. Об одном из них напомнил в своей статье G3VA (Pat

тора с отводом от средней точки применен каскад с разделенной нагрузкой, выполненный на полевом транзисторе. Полоса пропускания этого фильтра регулируется изменением сопротивления его нагрузки. Она представляет собой резонансный контур, настроенный на частоту кварцевого резонатора ZQ1. Его сопротивление изменяется переменным резистором R4, который включен последовательно с катушкой индуктивности. Для того чтобы можно было реализовать по максимуму ее добротность, последующий каскад включен через истоковый повторитель.

Номинал конденсатора C2 в оригинале статьи не приведен, но исходя из общих соображений, его емкость должна быть равна параллельной емкости кварцевого резонатора. Для точной балансировки фильтра этот конденсатор обычно делают подстроечным.

Характеристики изменения полосы пропускания такого фильтра приведены на рис. 2. Эти кривые были получены для катушки L1 с добротностью 110 (реальная добротность на частотах в сотни килогерц). В статье приведен только характер изменения АЧХ фильтра — числовые значения полосы пропускания при различных значениях сопротивления R4 не указаны. Нагрузку фильтра можно регулировать и электронным способом.

Такие фильтры реализуются обычно на относительно невысоких частотах — до 1...2 МГц. Дело в том, что высокочастотные резонаторы среза АТ имеют очень малую эквивалентную индуктивность и требуемые значения индуктивности нагрузочного контура также получаются очень маленькими (десятки наногенри). Более того, нестабильность нагрузочного контура на высоких частотах сильно влияет на АЧХ фильтра.

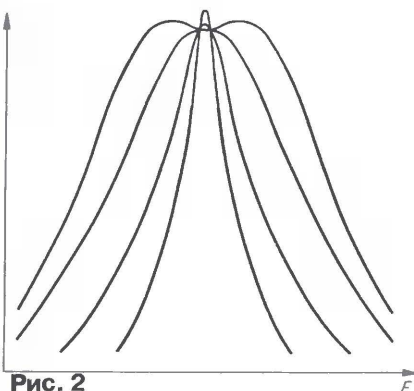


Рис. 2

Редактор — С. Некрасов, графика — Ю. Андреев

**Александр ГОЛЫШКО, канд. техн. наук, г. Москва**

*На свете больше всего восьмых чудес...*

### Новая серия шагов

В закончившейся в январе этого года серии статей мы рассмотрели 12 шагов в будущее человечества, которые хорошо известны, логичны и видны практически невооруженным взглядом в новостях науки и техники. Между тем в прошлый раз мы выяснили, что это далеко не все шаги, которые предстоит сделать нашей цивилизации. Поэтому очередные шаги, о которых мы поговорим, будут нумерованными, ибо в отличие от прошлого изложения весьма трудно указать сроки и последовательность их реализации в процессе развития цивилизации.

А пока продолжим наше повествование очередными прогнозами и текущей статистикой.

### Цифровые ценности

Компания YouGov в 2008 г. опросила свыше 5 тыс. респондентов из Великобритании, Франции, Германии, Испании, России и выяснила, что для нового "цифрового" поколения РФ доступ в Интернет (88 %), обладание настольным ПК (68 %) и ноутбуком (51 %) более значимы, чем обладание автомобилем (39 %) или стиральной машиной (35 %). Находясь в Интернете, российские пользователи чаще всего загружают и выгружают фотографии (более 80 %), ищут музыку (более 83 %), играют в игры (почти 75 %) и скачивают фильмы (более 70 %). Самая востребованная функция для россиян — преобразование речи в текст электронных писем (свыше 67 % высказались именно так); на втором месте — возможность помощи в организации своей социальной жизни (34 %).

### Футуристическая технотека

В отличие от шарлатанов или психически нездоровых людей, готовых поделить своими видениями грядущего, футурологи экстраполируют существующие технологические тенденции, пытаясь предугадать направление развития технического прогресса. Скажите, сколько людей в начале 80-х годов прошлого века могло себе просто представить роль ПК и мобильного телефона в повседневной жизни человека? Разве можно было вообразить, что через пару десятилетий дети будут играть в

глобальной сети? А цифровизация человека путем расшифровки его генома и клонирование животных, включая приматов? А глобальные проблемы, связанные с изменением климата из-за неразумной деятельности человечества, увлекшегося информатизацией? И похоже, грядущие изменения будут происходить еще быстрее.

Вот, к примеру, очередные выдержки из американского журнала "Technology Review" Массачусетского технологического института (MIT) с технологиями, которые в ближайшие годы будут иметь особенно большое значение.

Прежде всего, это уже упоминавшиеся нами нано-радиочипы (углеродные нанотрубки), позволяющие улучшить характеристики радиочастотных приемопередатчиков, в частности, понизить их энергопотребление и, соответственно, повысить время автономной работы конечных устройств от батарей.

Методика "моделирования непредвиденных ситуаций" путем совмещения накопленных данных в различных областях и современных компьютерных технологий позволит лучше прогнозировать различные события.

Атомные магнитометры — миниатюрные сенсоры магнитного поля, которые позволят вывести средства магнитно-резонансной томографии на качественно новый уровень.

Дальнейшие исследования технологий изготовления графеновых транзисторов в перспективе приведут к появлению сверхбыстрых компьютерных процессоров с невысоким энергопотреблением.

Так называемые "вероятностные чипы", которые при выполнении определенных задач будут давать приближенные ответы в обмен на выигрыш в производительности и энергопотреблении.

В ближайшие годы будут активно развиваться web-приложения, доступные с любого ПК.

Через более чем сотню лет после Николы Теслы наконец-то актуализировались исследования технологий беспроводной передачи электроэнергии. Их можно будет использовать для беспроводной подзарядки аккумуляторов портативных устройств или для питания бытовых приборов.

Наконец, считает "Technology Review", немаловажную роль в ближайшие годы начнут играть принци-

ально новые модели, объясняющие работу человеческого мозга. Не секрет, что там, в мозге, еще много для нас непонятого.

По прогнозу аналитиков из компании Gartner вскоре появятся информационные технологии, которые в ближайшие 25 лет полностью изменят способы ведения бизнеса. К примеру, создание естественных интерфейсов и систем автоматического голосового перевода. Последние будут совмещать в себе активно разрабатывающиеся в настоящее время системы машинного перевода и распознавания речи.

Ожидается, что к 2033 г. появятся надежные носители информации, причем данные на них можно будет хранить в обычных условиях десятки лет. На бизнес сильно повлияет стократное увеличение производительности труда программистов. Они смогут повторно использовать большие объемы кода.

Последним из ожидаемых технологических прорывов аналитики назвали появление возможности предсказать судьбу инвестиций в ИТ проекты. В настоящее время финансовой модели такого рода просто не существует.

Использование многоядерных процессоров приведет к развитию параллельного программирования, которое задействует все возможности чипа по разделению задачи на несколько процессов.

По прогнозам известного футуролога Рэя Хаммонда, в 2030 г. на планете будет более одного миллиарда людей старше 65 лет. Люди будут носить беспроводные устройства, контролирующие состояние здоровья и оповещающие службу спасения. Контроль за самочувствием каждого человека облегчится революционными достижениями в медицине: в ходу будет личная картография ДНК, мощнейшие лекарства, изготовленные на базе геноterapiи, и активное использование стволовых клеток. Осталось лишь уточнить, как это изменится в условиях мирового кризиса.

В домашнем хозяйстве будут широко использоваться роботы-няньки, внутренние органы человека начнут выращивать на заказ, как овощи в огороде, а средняя продолжительность жизни составит не менее 130 лет. Использование энергии будет более эффективным, а общение с живыми педагогами станет лишь частью общей образовательной системы, включающей и виртуальное дистанционное обучение.

Люди будут подключаться к высокоинтеллектуальной глобальной сети через нейрошунты. Интернет будет всеобщим, вседоступным, всеобъемлющим и неотключаемым. Люди, животные и триллионы неодушевленных предметов будут каждую секунду отправлять в эту глобальную сеть невероятное количество всевозможной информации, включая голографические 3D-изображения, а также данные для тактильного, обонятельного и вкусового моделирования. То есть абсолютно всем будет чем заняться.

А вот климат к 2030 г. изменится так, что человечество начнет массово переходить к естественным и возобновляемым источникам энергии, использующим солнце, ветер и воду. Впрочем, уже сегодня можно встретить базовые станции мобильной связи, питаемые "ветряками".

Из множества других встречающихся в Интернете прогнозов можно узнать, что через 50 лет люди прекратят стареть, встретятся с инопланетянами и научатся разговаривать с рыбами (газета "Таймс"). Эксперты считают, что человечество изобретет лекарство, которое поможет регенерировать поврежденные ткани. У роботов появится интуиция. А специальное устройство позволит понимать настроение животных и даже читать некоторые их мысли (говорят, эта инициатива не нравится некоторым политикам).

### Трансгуманизм

Искусственный интеллект имеет своих "фанатов". Известный американский изобретатель и футуролог Рэй Курцвайль предсказывает целую эру искусственного интеллекта, когда человеческий мозг будет оснащен компьютерами, а киборги смогут подарить человечеству бессмертие. Он даже заключил пари, что к 2029 г. появится компьютер, который сдаст экзамен на так называемый "тест Тьюринга".

Тест Тьюринга — это эмпирический тест, идея которого была предложена Аланом Тьюрингом в 1950 г., а в современной интерпретации выглядит так: "Человек взаимодействует с двумя компьютерами. На основании ответов на вопросы он должен определить, с кем он разговаривает: с человеком или компьютерной программой. Задача компьютерной программы — ввести человека в заблуждение, заставив сделать неверный выбор".

Имя Курцвайля хорошо знакомо музыкантам-электронщикам благодаря "Kurzwel K250" — первому семплизатору. Прогнозы Курцвайля основаны на так называемом "законе ускоряющейся отдачи". "Конек" изобретателя — технологии распознавания. В 1976 г. он создал устройство для слабовидящих размерами со стиральную машину, которое сканировало текст и зачитывало его вслух (первым его обладателем был слепой музыкант Стиви Уандер). Курцвайль предсказал, что уже в начале XXI века незрячие смогут читать текст с помощью прибора, который умещается в руке. На последнем Всемирном научном фестивале в Нью-Йорке изобретатель продемонстрировал устройство размером с "мобильник", которое прочло вслух программу мероприятия.

Курцвайль предсказал взрывоподобный рост Интернета в 1990-е годы. Он же пообещал, что в 1998 г. компьютер одержит победу в шахматном турнире, и "ошибся" всего на год: "Deer Blue" обыграл Гарри Каспарова в 1997-м.

По мнению Курцвайля, прогресс по экспоненте сейчас идет в таких областях, как нанотехнологии, расшифровка геномов, четкость снимков, получаемых при томографии мозга. Первым шагом к созданию нового типа живого организма станет вживление в человеческий мозг искусственных интеллектуальных биологических наноблоков, что многократно увеличит мыслительный уровень людей и расширит их возможности за счет скорости сбора и обработки информации. Микрочипы позволят людям запоминать, просчитывать варианты со скоростью компьютера и даже общаться с виртуальным миром через собственную нервную систему.

На вопрос, не воплотится ли в жизнь картина с участием Уилла Смита по Айзеку Азимову "Я — робот", ученый с уверенностью ответил: "Нет". "В сущности, наша цивилизация и сегодня является машинно-человеческой. Машины осуществляют сотни видов деятельности на уровне человека или даже лучше. Мы используем их, чтобы приумножить наши физические и умственные возможности. Следующим шагом станет непосредственное слияние человека с машиной", — процитировала Курцвайля BBC.

А еще Курцвайль — главный гурзу современного трансгуманизма, который появился из конвергенции психоделической культуры 60-х и информационно-технологической революции 70—80-х. В частности, трансгуманизм был "родным" для экспериментаторов с "расширением" сознания с помощью LSD, который раздавали во время экспериментов в Гарварде. И пока государство говорило наркотикам "нет!", нейробиологи работали над исследованием тонких мозговых химических процессов, синтезируя вещества для улучшения работы головы — смарт-драгс, "лекарства для ума", типа ноотропила с риталином. Впрочем, достижения молекулярной инженерии и нанотехнологий, когнитивной психологии и нейропсихологии, медицины и, главное, всего комплекса информационных технологий пока еще не создали "человека улучшенного".

Трансгуманизм объединил всех тех, кто предвкушает надвигающиеся изменения общества, и, прежде всего, человека как вида. Это некая общая идеология, объединяющая самых разных людей, надеющихся на естественную силу высоких технологий. Среди них есть и серьезные исследователи, и "продвинутые" энтузиасты, и "подвинутые" богатеи. Последним особенно близка (и финансово доступна) одна из ключевых идей трансгуманизма — иммортализм, то есть надежда на грядущее открытие "лекарства от смерти" или, что более реально, разработку генетических и медицинских методов значительного продления срока жизни.

Другое направление трансгуманизма связано с идеей сингулярности — необратимого изменения жизни каждого отдельного человека и человечества в целом, которое наступит

после появления искусственного интеллекта.

В 2007 г. в Исследовательском центре им. Эймса (HACA) состоялось учредительное собрание Университета сингулярности (Singularity University), в котором приняли участие Рэй Курцвайль, один из основателей Google Ларри Пейдж, директор Space Adventures Питер Диамандис, университетские ученые и представители исследовательских подразделений таких крупных технологических компаний, как Cisco и IBM. Цель — распространение и поддержка технологий в сфере биологии, нанотехнологий и информационных технологий. Примечателен уровень участвующих в собрании под крылом HACA людей, а также высокая степень скрытности, окружавшей мероприятие.

Развитие прямых человеко-машинных интерфейсов — на основе фундаментальных исследований мозга и нанотехнологий — рано или поздно приведет к тому, что прямое подключение нервной системы к компьютеру перестанет быть фантастикой. К примеру, благодаря интенсивности разработок уже скоро появится первый киборгический глаз с разрешением дисплея. И этот глаз можно будет подключить не только к видеокамере, но и к медиаплееру или к программе для чтения электронных книг.

Стремительно растущая вычислительная мощность компьютеров, как один из главных пунктов программы сингулярности Курцвайля, сделает возможной "обратную инженерную разработку" мозга: чудо природы будет сканировано до последней молекулы и разобрана биомеханика его работы. А это позволит реконструировать работу мозга и наконец создать искусственный разум. В сущности, сложности и вычислительным способностям мозга уже соответствует совокупная мощность всех компьютеров мира и сложность и разветвленность Сети, которой всего 15 лет назад еще не существовало. Другое дело, что набор нейронов, как и стойки суперкомпьютера, — это еще не интеллект. Ведь у человека есть интуиция, предвидение, любовь и даже способность ошибаться.

### "Влажные" киборги

А тут еще художники со своим раскрепощенным сознанием, жаждущим прочувствовать мир, преобразованный с помощью новых технологий. В 2000 г. англичанин Рой Скотт, один из пионеров кибернетического и телематического направлений в современном искусстве, опубликовал так называемый "Влажный манифест". "Влажная жизнь объединяет цифрового индивида и биологическое существо, — констатировал он. — Именно на стыке сухого силиконового мира интерактивной среды с влажной биологией живых систем можно обнаружить новый субстрат и движущую силу искусства, которую я определяю как влажную среду (moist-

media) (англ. moist — сырой, влажный)... Влажная среда состоит из битов (bits), атомов (atoms), нейронов (neurons) и генов (genes) (так называемая "большая четверка" — B.A.N.G.)...". Не нужно обладать сильным прогностическим даром, чтобы понять, что следующим шагом на пути развития технологий "влажной жизни" станет сращивание уже полнфункциональных кремниевых электронных чипов с нейронами коры головного мозга. Сначала — крыс, а потом и людей.

"Интересная задача — установление физической связи между нейронами и чипами, — писал в 1996 г. в книге "Принципы работы головного мозга" немецкий ученый, отец синергетики Герман Хакен. — Мы находимся здесь в самом начале пути, и делать сколько-нибудь определенных прогнозы относительно будущего развития, например, относительно чипов, имплантированных в поврежденный мозг, или увеличения информационной емкости мозга (протезы мозга), одновременно. Только будущее покажет, имеем ли мы дело с научной фантастикой или реальностью". Но с абстрактной точки зрения это возможно.

Иными словами, мы попадаем в неизведанную еще зону взаимодействия виртуального и реального миров. Р. Эскотт подчеркивает, что со времен средневековья идею отражения Природы глубоко чтит художники, прикладывая для этого максимум усилий и фантазии. Однако теперь это устарело, и Природа вряд ли будет использоваться в формате так называемой "постбиологической" культуры. На фоне быстрых технологических изменений Природа кажется чересчур медленной.

И вот уже за постиндустриальным обществом замаячила постбиологическая культура, призванная улучшить матушку-природу, помимо пирсинга, какими-нибудь микрочипами. Получается, что отдельные "продвинутые" люди уже превзошли Природу и хотят чего-то иного. Быть может, чтобы стать для человечества тем, чем они уже сегодня являются для своих собак?

## Вперед в прошлое

Наряду с несомненной пользой от "цифрового мира" и информатизации общества не стоит закрывать глаза и на грядущие проблемы, которые сегодня нам кажутся незначительными, но способные очень серьезно повлиять на ход истории. Самыми незащищенными оказались, как всегда, дети.

Профессор психологии и руководитель Детского цифрового медиацентра в Лос-Анджелесе Патриция Гринфилд изучала влияние информационного изобилия на способность молодежи принимать обоснованные и взвешенные решения. Выяснилось, что, несмотря на кажущуюся более выгодную позицию, имеющие доступ в Интернет решили свои задания хуже

тех, у кого такой возможности не было.

Профессор исследовательского института приматов университета Киото и доктор философии университета Осаки (Япония) Нобуо Масатака — автор бестселлера "Обезьяны с мобильными телефонами". Он обратил внимание на то, что молодые люди в последнее время стали вести себя как-то по-другому, и применил свои профессиональные навыки. И выяснил, что японцев губят мобильные телефоны, которые позволили людям общаться друг с другом 24 часа в сутки, что решительно изменило природу отношений, которую человечество создавало в течение эволюции.

Деградация в последние годы зашла так далеко, что молодежь уже можно спутать с шимпанзе: они пасутся, кормятся, проявляют агрессивное поведение аналогично своим дальним родственникам. В интервью журналу "Sapio" ученый рассказал, что у нее утрачена способность проводить различия между своим и чужим, между общественным и частным пространством. "Мобильные" юноши и девушки сформировали то, что Масатака называет "дзаруки-дзоку" — племена.

Сегодня карманные гаджеты берут на себя решение задач, которые раньше выполнял сам человек, например, такие, как думать и говорить. Если так будет продолжаться, люди постепенно утратят способность думать. "Информационные технологии, возможно, освободили нас от целого ряда повседневных трудностей, но они же теперь ослабляют нас и губят, — сожалеет Масатака. — Вы можете сколько угодно критиковать меня за то, что я уподобил человека обезьяне. Но я изучаю приматов так долго, что я могу точно сказать: это — факт". И вот уже не выглядят столь злой шуткой заключительные строки известного романа Пьера Буля "Планета обезьян":

*"Филлис снова задумалась...*

*— Ты прав, Джинн. Я тоже так думаю. Разумные люди? Люди, наделенные мудростью? Люди, обладающие душой, умеющие мыслить? Нет, это невозможно: тут автор перешел все границы. А жаль, право, жаль!*

*— Совершенно с тобой согласен, — откликнулся Джинн. — Однако нам пора возвращаться.*

*Он полностью распустил парус, подставив всю его поверхность световым потокам трех солнц. Затем он начал передвигать многочисленные рычажки управления, ловко пользуясь всеми четырьмя руками, а Филлис энергично потрясла волосатыми ушами, чтобы отогнать последнюю тень сомнения, вынула пудреницу и, поскольку порт был уже близок, легкой розовой пуховкой припудрила свою очаровательную мордочку самки-шимпанзе."*

## И конец света

Дабы завершить иллюстрацию будущего постиндустриального обще-

ства — пару слов о планете. Прогнозы ученых относительно состояния атмосферы, которые озвучивались в последнее время, оказались, к сожалению, неверными. Если раньше у человечества по расчетам оставалось еще сто лет, прежде чем концентрация углекислого газа в атмосфере достигнет критического уровня, то сейчас оказалось, что этот момент уже наступил. Более того, планета прошла точку невозвращения, после которой остановить катастрофические изменения климата уже невозможно.

Помимо нынешнего затяжного экономического и продовольственного кризиса, миру грозит еще и водный, и масштабный экологический кризис. Благодаря развитию технологий человек уже стал использовать больше земных ресурсов, чем планета в состоянии производить. 100-процентного дефицита ресурсов следует ожидать уже через 30 лет. Если люди не изменят свой стиль жизни, им вскоре понадобится другая планета, предупреждают ученые. Об этом недавно говорилось в Риме в международном докладе Всемирного фонда дикой природы (WWF). Иными словами, речь идет о планетарном дефиците — "экологической рецессии" — и этот дефицит достигнет 100 % уже к 2040 г., если ничего не изменится. Исследования показали, что еще с 1986 г. на Земле стало происходить что-то аномальное. В 2005 г. было подсчитано, что расходуется на 30 % больше ресурсов, чем позволяют имеющиеся на Земле запасы. К этому времени на 30 % сократилось и число позвоночных. Экологический след человечества, отражающий антропогенное давление на живые ресурсы Земли, в настоящее время превышает способность планеты к восстановлению примерно на 30 %. И этот глобальный перерасход продолжает увеличиваться, приводя к разрушению экосистем, а также накоплению отходов и загрязняющих веществ в воздухе, в воде и на суше. Например, для того чтобы обеспечить всем необходимым среднестатистического британца (пища, одежда, переработка отходов), сегодня необходимо 5,3 га поверхности Земли. Это вдвое превышает средний показатель потребления ресурсов, составляющий 2,7 га на человека.

Что в итоге? Если рассматривать человеческое общество в виде суперорганизма, где роль нервной системы играют коммуникационные каналы и информационные системы, то, учитывая наличие в нем многочисленных конфликтов, неконструктивного столкновения интересов и другие проблемы глобального характера, его эффективность оказывается чрезвычайно низкой по сравнению с эффективностью объединения множества клеток в биологический организм. И мы это видим.

Ко всему вышеизложенному остается добавить — в связи с финансовым кризисом свет в конце туннеля будет отключен в целях экономии электроэнергии.

А оптимизма мы добавим в следующий раз.



# Новые средства измерений на базе персональных компьютеров

Средства измерений АКІП™ на базе персонального компьютера (ПК) отличаются от уже существующих на рынке виртуальных приборов ориентацией на использование в профессиональной сфере — в стационарных метрологических лабораториях, мобильных измерительных стандах, для оборудования рабочих мест на производстве или в лабораториях разработчиков. Аналогичных по своим техническим характеристикам виртуальных приборов в настоящий момент на российском рынке не существует.

В новую группу средств измерений на базе ПК в настоящее время входят самые разнообразные средства, позволяющие решать широкий круг профессиональных задач.

- ◆ Цифровые запоминающие осциллографы (ЦЗО) с полосой пропускания до 12 ГГц; в том числе комбинированные приборы, совмещающие функции осциллографа, генератора сигналов произвольной формы (СПФ) и логического анализатора.

- ◆ Генераторы СПФ до 125 МГц, ВЧ генераторы до 3 ГГц.

- ◆ Анализаторы спектра.
- ◆ Логические анализаторы.

Приборы на базе персональных компьютеров (на фото 1, 2 показаны цифровой осциллограф АКІП-4111 и ВЧ генератор АКІП-3201) становятся более востребованными в сфере производства, конструирования, образования, сервиса и пр. Причины, обуславливающие применение средств измерений на базе персональных компьютеров, следующие.

**Экономия рабочего пространства и меньший вес.** При сопоставимых технических характеристиках массогабаритные параметры лучше — например, стробоскопический осциллограф с полосой пропускания 12 ГГц и массой 1,3 кг (17×25×4 см) против классического ЦЗО с массой 18—23 кг (26×40×50 см).

**Экономия на стоимости приборов** за счет отказа от встроенного управляющего устройства (CPU) и дорогостоящего индикатора. Снижение себестоимости прибора происходит также за счет отказа от дорогостоящей лицензионной операционной среды. Программное обеспечение, установленное на компьютере пользователя, способно управлять несколькими приборами. Кроме того, один компьютер может управлять несколькими виртуальными приборами.

**Универсальность в использовании монитора ПК.** Даже самый простой монитор дает более широкие возможности по отображению пользовательского интерфейса, результатов измерений и их обработки.

**Сохранение и обработка большого объема данных.** Возможности ограничены только ресурсами и характеристиками используемого компьютера.

В настоящее время наиболее распространенным интерфейсом для связи ПК с измерительным прибором является USB, поэтому такие приборы иногда объединяют термином "USB-приборы".

Понятие "виртуальные приборы" появилось несколько десятилетий назад, когда большая часть средств измерений разрабатывалась на принципах жесткой логики. Управляющее устройство таких приборов, в лучшем случае, имело микропроцессор и микропрограмму с заложенным алгоритмом обработки. Использование в качестве управляющего устройства внешнего персонального компьютера с мощной операционной средой, большими вычислительными возможностями и всеми другими дополнительными преимуще-

ств анализаторы спектра. В настоящее время большинство современных средств измерений построено на принципе "открытой платформы" и используются в составе все элементы стандартного персонального компьютера (материнскую плату, жесткий диск, клавиатуры, мышь и пр.) и операционную среду Windows. По сути, эти приборы также являются виртуальными, но объединены в одном корпусе с персональным компьютером.

В последнее время происходит своеобразная технологическая конвергенция, т. е. постепенное стирание различий между реальными и виртуальными приборами. Практически любой современный прибор имеет возможность подключения к ПК, а программное обеспечение входит в комплект. При подключении такого прибора к ПК пользователь имеет возможность управлять им, хранить и обрабатывать данные, что превращает сам реальный прибор уже в часть "виртуального".

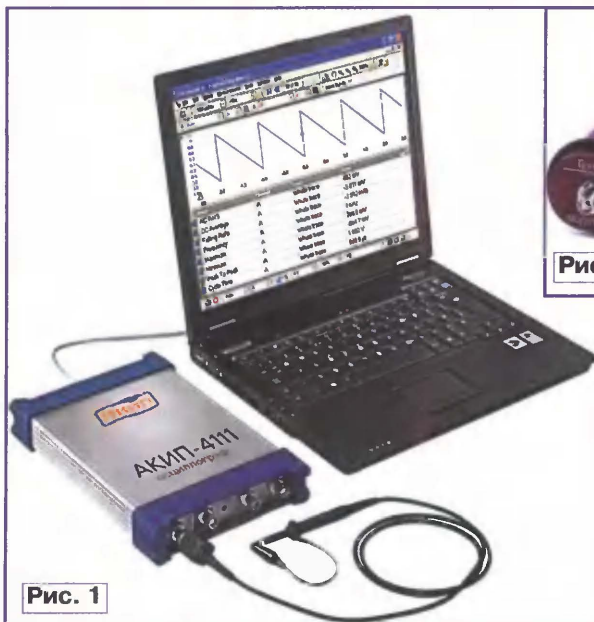


Рис. 1



Рис. 2

Консорциум ведущих мировых производителей и пользователей контрольно-измерительного оборудования в 2004 г. объявил о создании специализированного протокола LXI (LAN extensions for Instruments). Использование нового стандарта измерительных систем позволяет отказаться от установки программного обеспечения на компьютере, поскольку необходимые для связи программы уже установлены в самом приборе. При подключении такого прибора к компьютеру по локальной сети Ethernet (IEEE 802.3) полноценное управление прибором происходит через обычный браузер, такой как Internet Explorer.

С учетом изложенного выше становится понятным, что с течением времени выражение "виртуальный прибор" перестало отражать его первоначальный смысл, и в настоящее время более корректно такие приборы называть "средствами измерений на базе персональных компьютеров".

**Подробные технические характеристики приборов можно найти на сайте <WWW.prist.ru>. Консультации по вопросам измерительной техники — по тел. (495) 777-55-91 и по e-mail <info@prist.com>.**

ствами открыло новые горизонты для разработчиков измерительной техники. Но поскольку в те годы все новое и связанное с использованием компьютера носило приставку "виртуальный", как, например, "виртуальная реальность", то и приборы, не способные полностью функционировать без внешнего компьютера, стали называть "виртуальными приборами". Использование в качестве управляющего устройства компьютера было по достоинству оценено ведущими разработчиками средств измерений, особенно при конструировании сложных приборов, требующих для получения результата измерения обработки гигантских массивов данных, например, цифровые осциллографы, измерители КСВ или

# Средства измерений на базе ПК

АКИП™ — современные средства измерений



## Профессионально

Параметры профессиональных лабораторных средств измерений.



## Удобно

Удобство обработки, наблюдения, документирования.



## Экономно

Экономия пространства, денег, энергопотребления.



В линейку приборов АКИП™ на базе персональных компьютеров входят самые разнообразные средства измерений, позволяющие решать широкий круг профессиональных задач.

**Типы средств измерений:** цифровые осциллографы, генераторы сигналов произвольной формы, ВЧ генераторы, анализаторы спектра, ВЧ измерители мощности, логические анализаторы, измерители вольтамперных характеристик полупроводниковых приборов, генераторы тока произвольной формы, самописцы.



Москва, ул. Орджоникидзе, д. 8/9  
Тел.: (495) 777-5591, 952-1714, 958-5776  
Факс: (495) 633-8502  
prist@prist.ru; [www.prist.ru](http://www.prist.ru)



www.zetms.ru

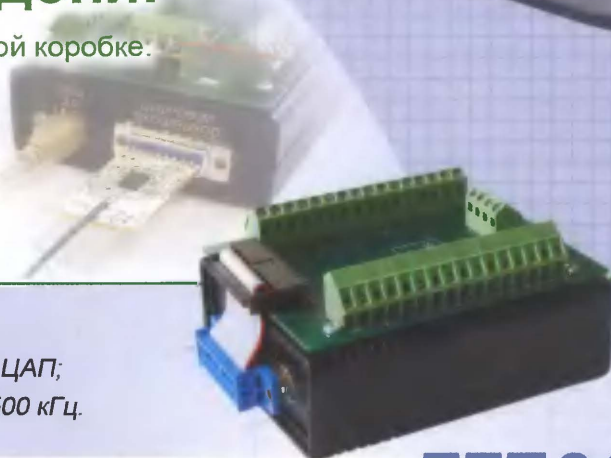
124482, г. Москва, г. Зеленоград,  
Савёлкинский пр., д. 4, оф. 2101,  
телефон: (495) 744-81-60; (495) 922-03-56;  
телефон/факс: (495) 228-01-11.

## **ZET 210 – измерительная лаборатория на ладони!**

20 виртуальных приборов в одной коробке:

- осциллографы;
- вольтметры;
- анализаторы спектра;
- генераторы;
- ...

- количество аналоговых входов – 16;
- аналоговый выход – 2 канала, 16 бит ЦАП;
- суммарная частота преобразования 500 кГц.



**ZET 210**

## **Осциллограф ZET 302 + ПК – всё, что нужно радиолюбителю!**

- простота подключения;
- высокая эффективность;
- точность в измерениях;
- ZETLab входит в комплект.

- количество входных каналов – 2;
- частота преобразования до 50 МГц;
- эффективная частота до 500 Мвыб/с.



**ZET 302**